

La fisica delle astroparticelle e l'esperimento AMS-02 sulla ISS

**CERN Teacher Programme
14 Ottobre 2016**

Sonia Natale

1912 - 2012: 100 anni di scoperte

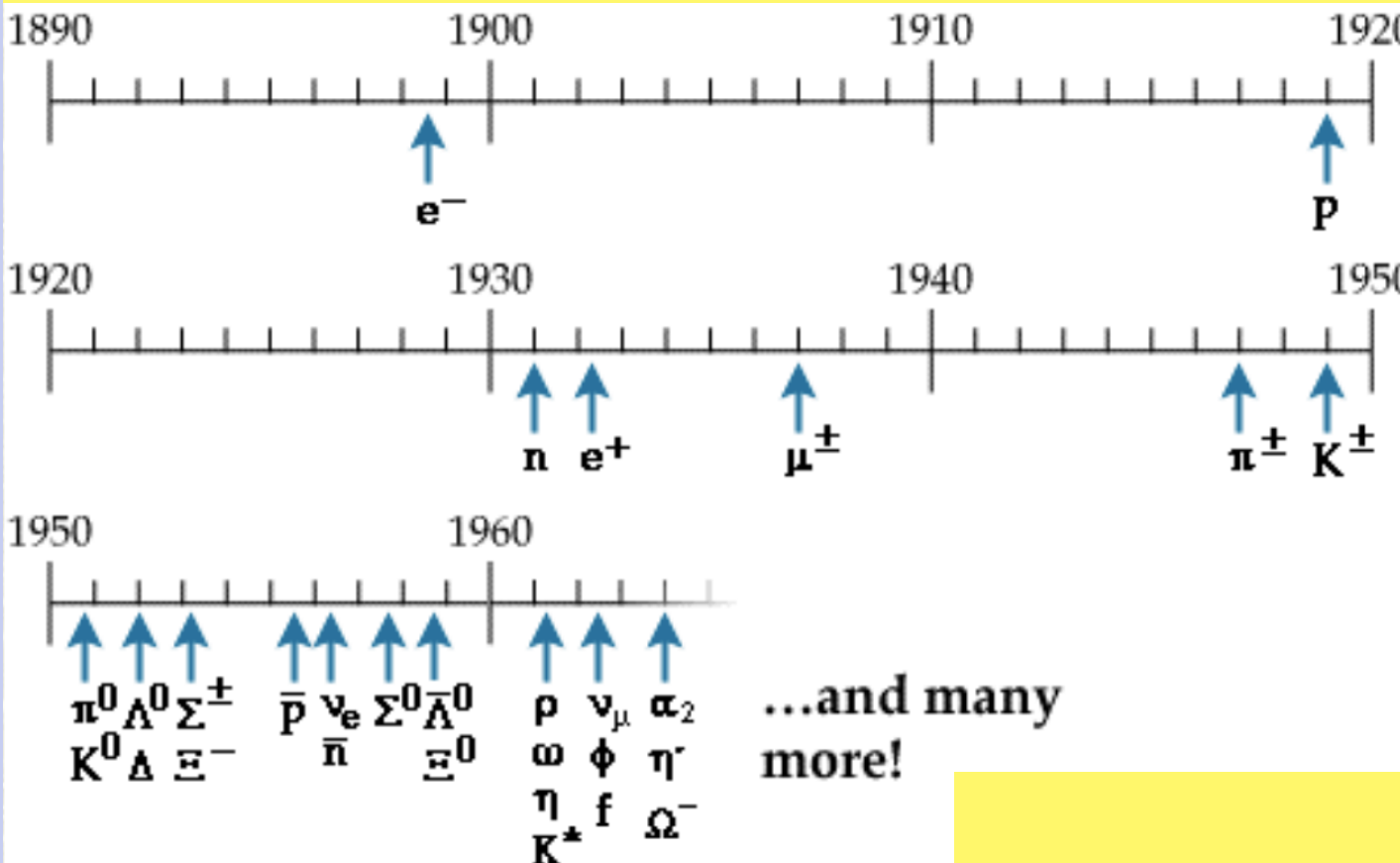


La rivelazione della radiazione cosmica puo' essere considerata la scoperta del secolo e ha modificato la nostra visione del cosmo.

A ragione puo' essere considerata una pietra miliare degli inizi della fisica delle particelle

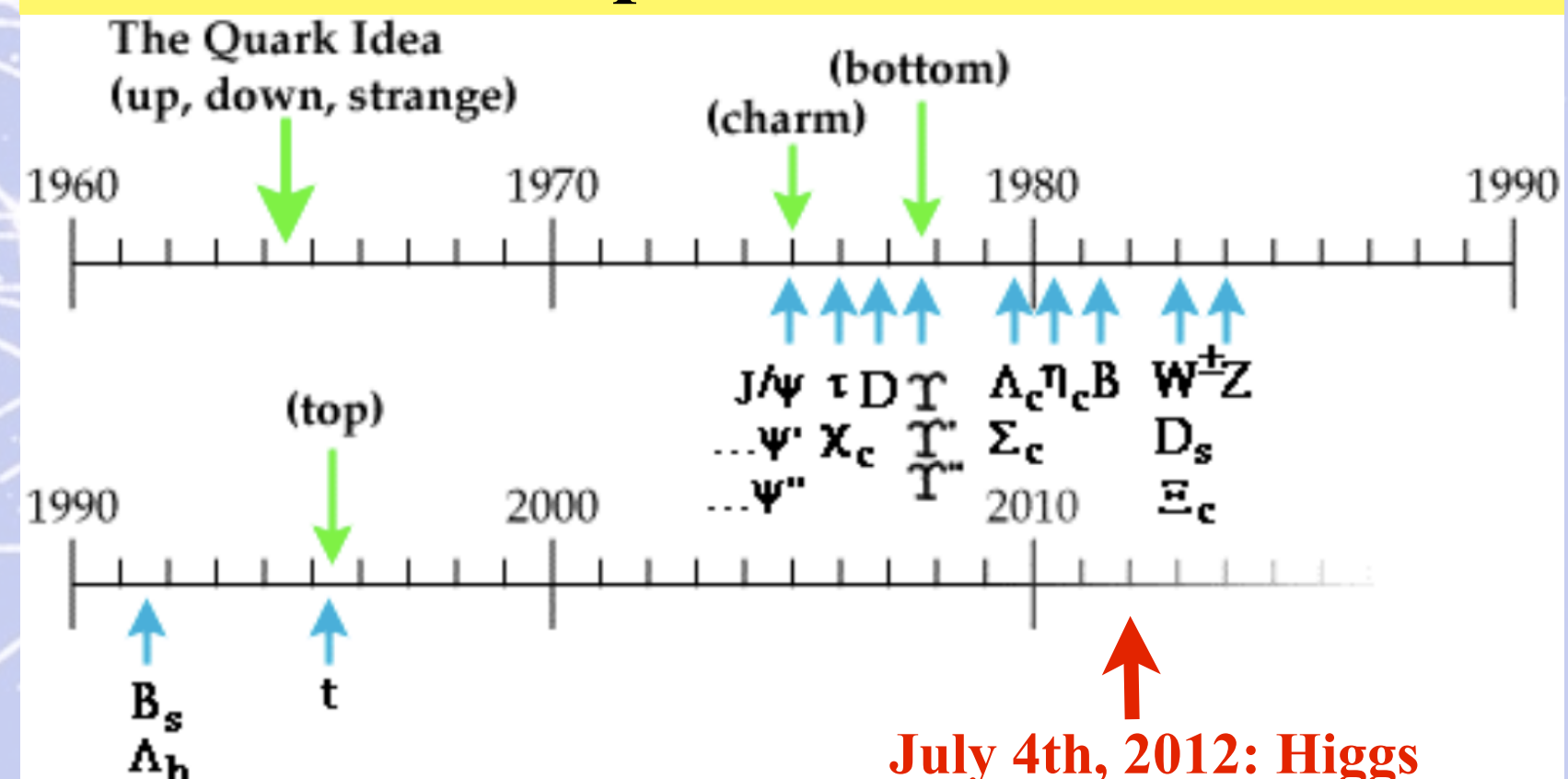
Prima dello sviluppo della fisica degli acceleratori, la ricerca sui raggi cosmici ha portato alla scoperta di molte importanti particelle elementari come ad esempio l'anti-particella dell'elettrone, il positrone, cosi' come il muone ed il pione.

Scoperte dal 1898 al 1964



Cronologia della scoperta delle particelle

Scoperte dal 1964



Cronologia delle Fisica delle Particelle

**Gli inizi:
sinergia tra l'infinitamente piccolo e
l'infinitamente grande**

1895 Scoperta dei raggi X (W. Roentgen)

1896 Scoperta della radioattività (H. Becquerel)

1897 Scoperta dell'elettrone (J.J. Thomson)

1898 Isolamento del radio (M. Curie and P. Curie)

1905 Teoria della relatività speciale (A. Einstein)

1909 La particella α è un nucleo di elio (Rutherford and Royds)

1911 Scoperta del nucleo dell'atomo (E. Rutherford)

1912 Scoperta della radiazione cosmica (Victor Hess)

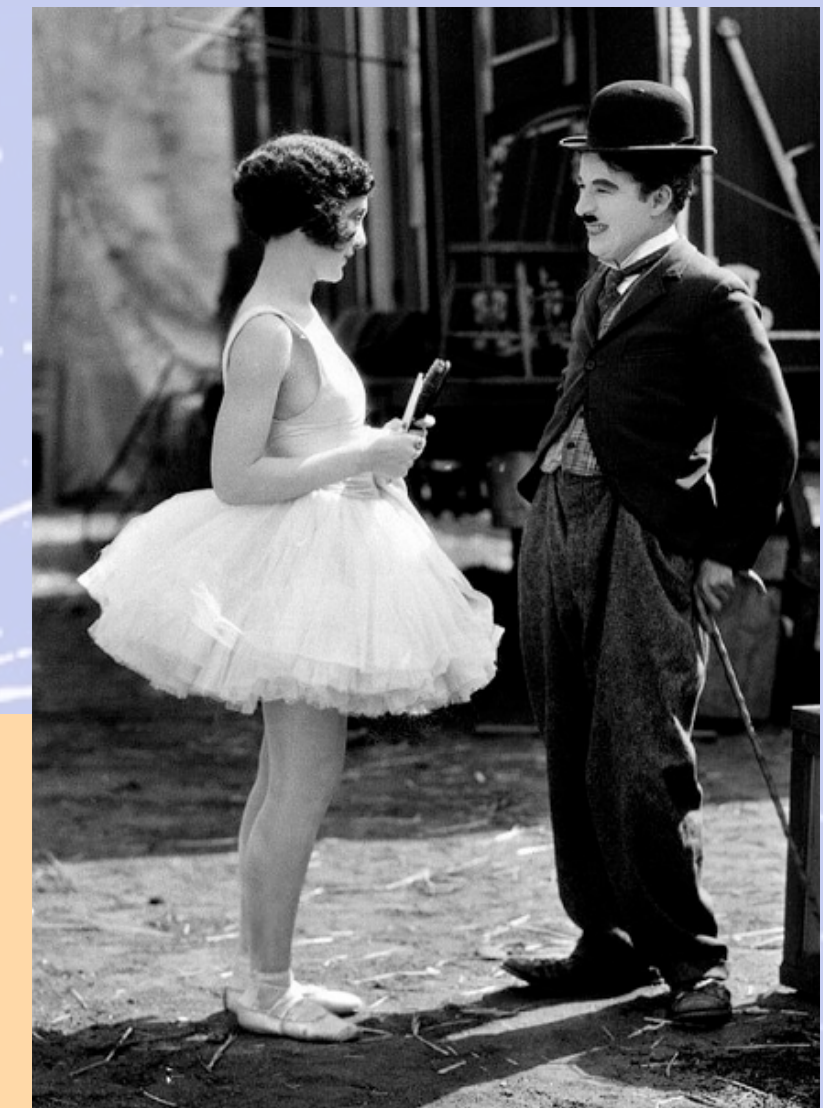
1913 Modello atomico planetario (N. Bohr)

1915 Teoria della relatività generale (forma finale) (A. Einstein)

1919 Eddington osserva deviazione della luce in una eclisse totale del Sole

1926 Meccanica quantistica (E. Schrödinger)

1927 Equazione di Dirac e predizione delle anti particelle (P. Dirac)



Cronologia delle Fisica delle Particelle

**Il periodo intermedio:
i tempi d'oro dell'infinitamente grande**

1928 Teoria della radioattività α (Gamow, Gurney, Condon)

1930 Hubble scopre L'espansione dell'universo

1930 Ipotesi esistenza neutrino (W. Pauli)

1930 Invenzione del ciclotrone (E.O. Lawrence)

1932 Scoperta del neutrone (Chadwick)

1933 Scoperta del positrone nei raggi cosmici (Anderson)

1934 Teoria della radioattività β (E. Fermi)

1935 Ipotesi dei mesoni (Yukawa)

1937 Scoperta del muone nei raggi cosmici (Neddermeyer, Anderson)

1947 Scoperta del pione nei raggi cosmici(Powell)

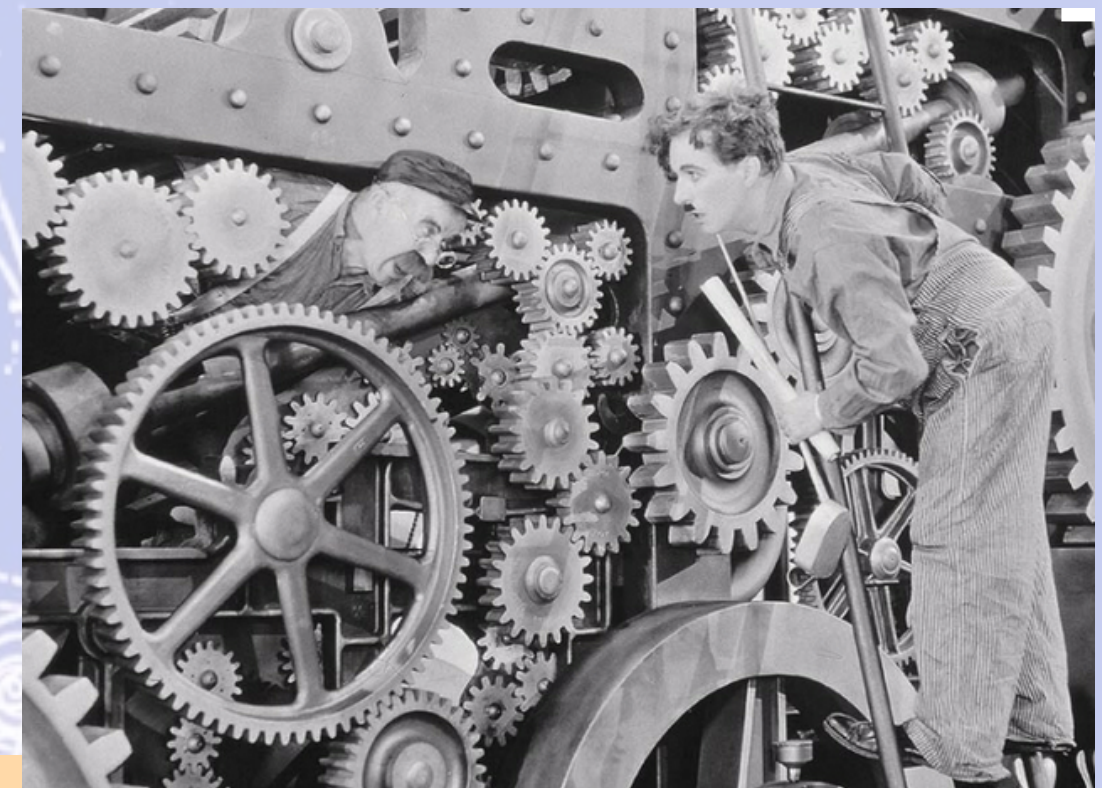
1947 Scoperta kaone e “particelle strane”nei raggi cosmici (Rochester & Butler)

1950 Scoperta del barione “strano Λ (Hopper & Biswas)



Cronologia delle Fisica delle Particelle

Tempi Moderni:
l'era d'oro dell'infinitamente piccolo



- 1952** Altre particelle “strane” (Ξ , Σ) scoperte nei raggi cosmici.
- 1955** Scoperta dell’antiproton al Bevatron (Chamberlain & Segre)
- 1956** Scoperta dell’antineutrone al Berkeley Bevatron
- 1956** Rivelazione sperimentale del neutrino (Reines, Cowan @ Los Alamos)
- 1974** Scoperta della risonanza J/ψ (quark Charm) (Richter & Ting)
- 1975** Scoperta del leptone τ (Perl SLAC-LBL)
- 1977** Scoperta del quark bottom (E288 Fermilab)
- 1983** Scoperta dei bosoni W e Z (Rubbia & Van der Meer)
- 1995** Scoperta del quark top (D0 e CDF)
- 2000** Scoperta del neutrino τ (DONUT)
- 1995-** Scoperta delle oscillazioni e della massa del neutrino (neutrino solare ed atmosferico) (Homestake, GALLEX, SAGE, Super-K, SNO, ...)
- 2012** Scoperta del bosone di Higgs all’ LHC (ATLAS, CMS)

Cronologia della Fisica delle Particelle

Per risolvere il “puzzle” delle particelle, i fisici richiedono delle energie sempre maggiori di quelle che la odierna tecnologia degli acceleratori e’ in grado di offrire.
Ecco perche’ alcuni di essi hanno deciso di



TORNARE ALLA RICERCA NEL COSMO !

Sin dalla metà’ degli anni ’80 fino ad ora, la fisica delle **ASTRO-PARTICELLE** e’ stata un campo di attivita’ sempre crescente.

Infatti, qualsiasi sia il metodo utilizzato per ricercare le particelle (dai raggi cosmici o utilizzando la tecnologia degli acceleratori) **la maggior parte delle domande e’ comune ad entrambi i campi.**

Il Modello Standard della Fisica delle Particelle



100 anni per svilupparlo!

Verificato con incredibile precisione!

Tiene conto di tutti i dati raccolti della fisica delle particelle!

Il bosone di Higgs era il solo “pezzo del puzzle” rimasto inosservato e rappresenta un portale verso settori nascosti di nuova fisica

Ci sono due osservazioni non ancora spiegate dal Modello Standard che potrebbero essere correlate con nuova fisica alla scala elettrodebole

Materia Oscura nell'Universo

**Un tipo di materia invisibile e trasparente
(non interagisce con i fotoni)
la cui presenza e' dedotta attraverso i suoi
effetti gravitazionali.**



**15% materia barionica
(1% stelle, 14% gas)**

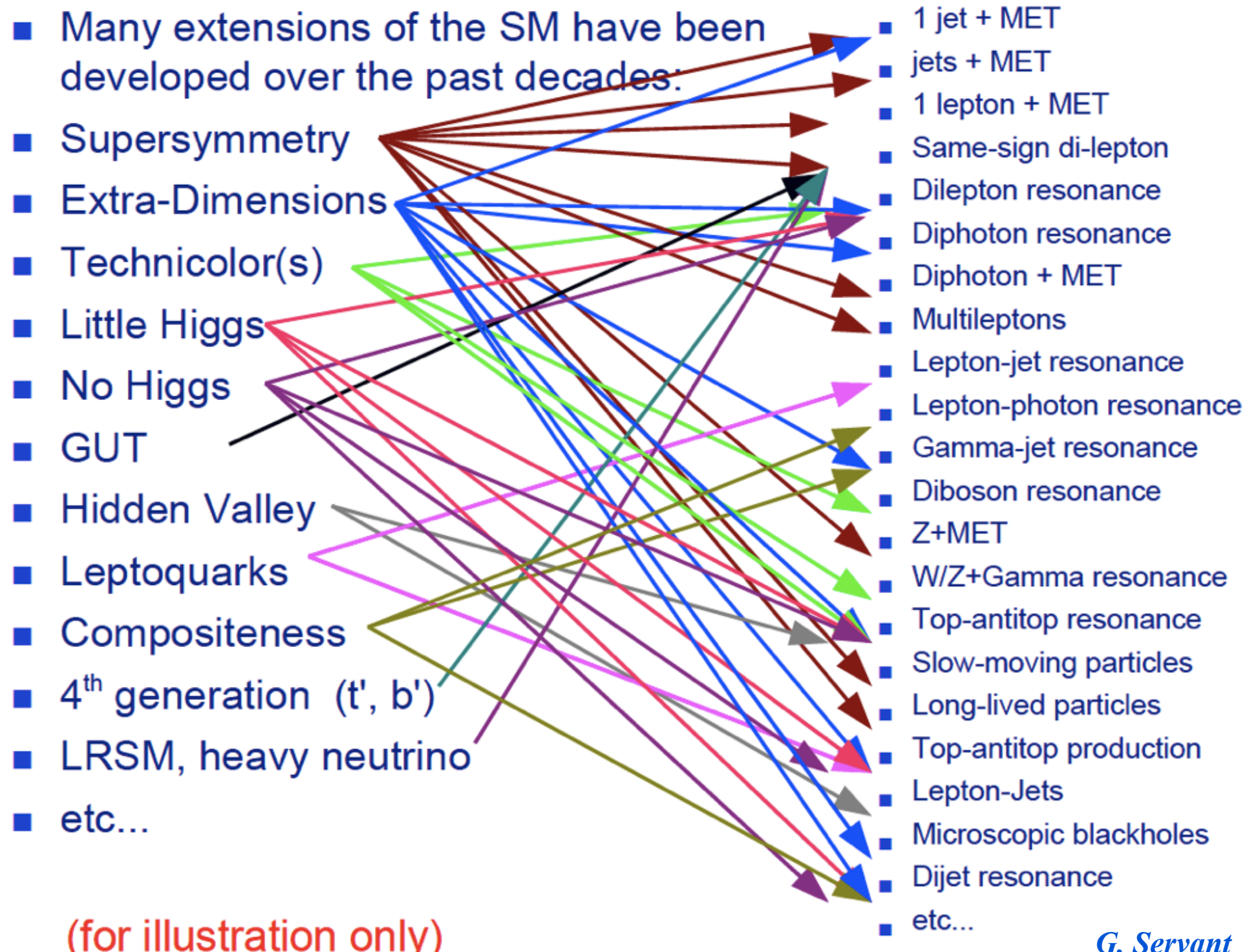
**85% materia "oscura"
sconosciuta**

G. Servant

(Quasi) assenza di antimateria nell' Universo

Asimmetria barionica: $\frac{n_B - \bar{n}_B}{n_B + \bar{n}_B} \sim 10^{-10}$

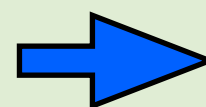
Dall' LHC non ci sono ancora segni di nuova fisica



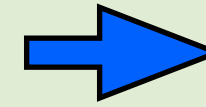
G. Servant

Candidati della Materia Oscura: due principali possibilità'

molto leggera & accoppiamento solo gravitazionale → stabile su scale cosmologiche



Long-lived
(stabile su scale cosmologiche)



$\tau_{\text{DM}} > \tau_{\text{universe}} \sim 10^{18} \text{ s}$

DM = Dark Matter

OR

interazione misurabile (ma non per via forte) con lo SM → simmetria necessaria per garantire la stabilità'



stabile rispetto ad una simmetria



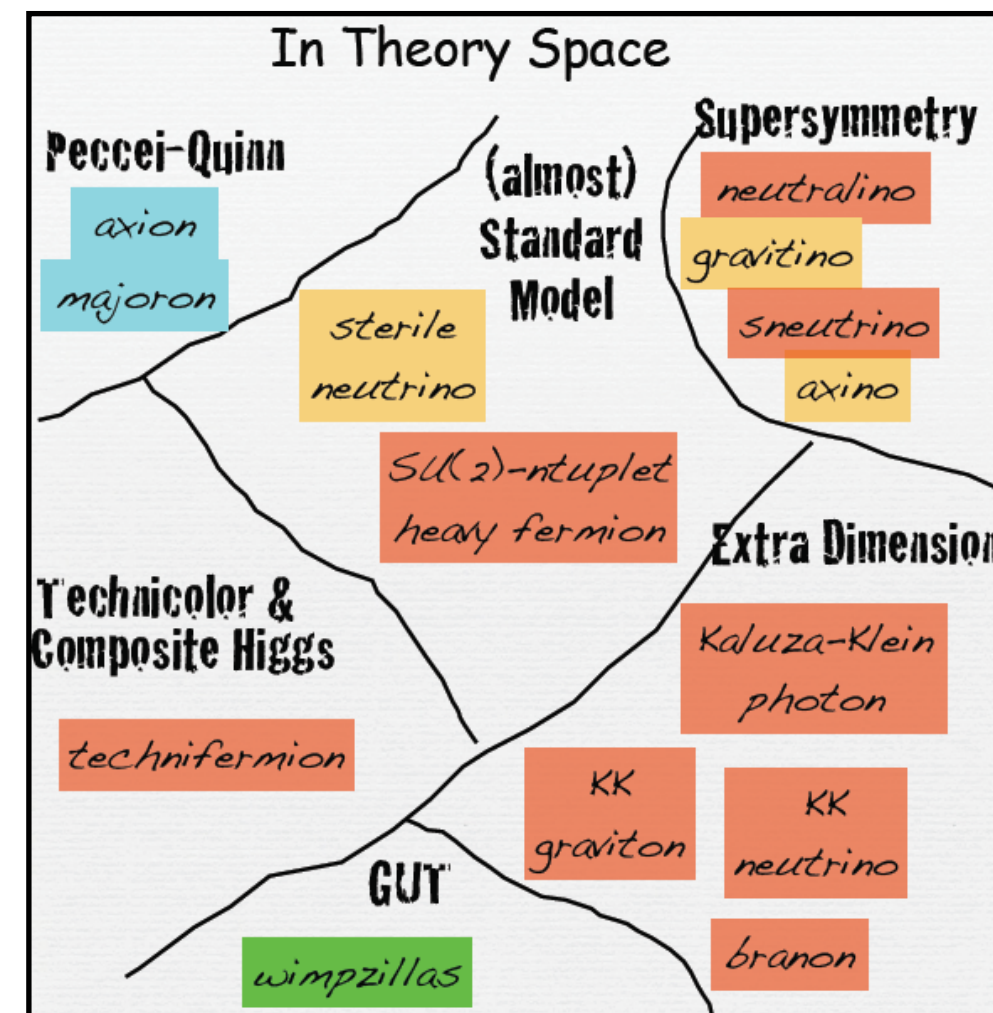
WIMP

WIMP = Weak Interactive Massive Particle

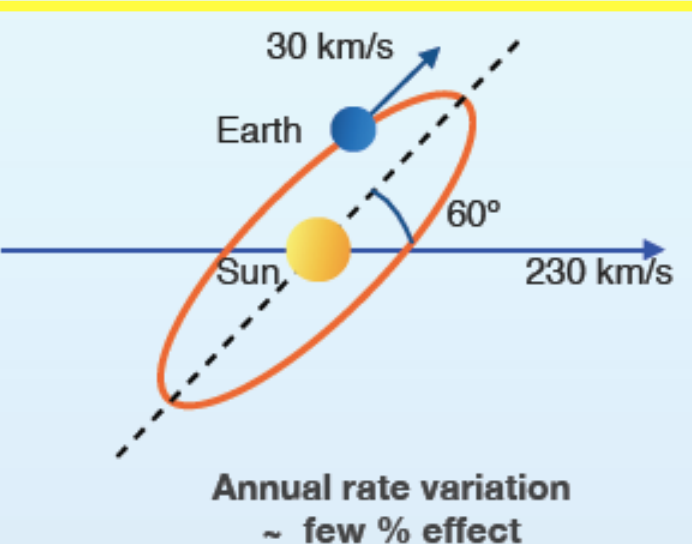
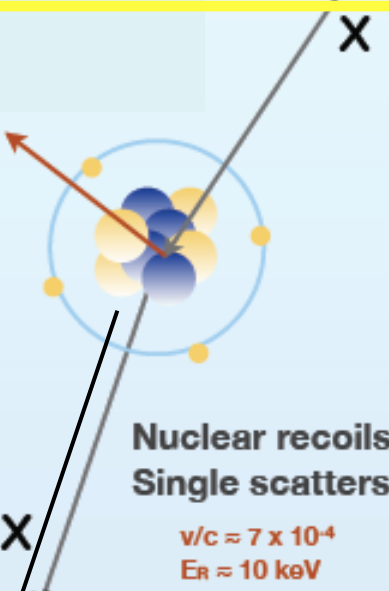
La restante abbondanza di un tipo di particella stabile segue dal generico meccanismo di “freeze-out” termico dell’espansione dell’universo.

Thermal relic: $\Omega_{\text{DM}} \propto 1/\sigma_{\text{annih}}$

$\sigma_{\text{annih}} \approx 1 \text{ pb}$ conduce alla corretta abbondanza di DM

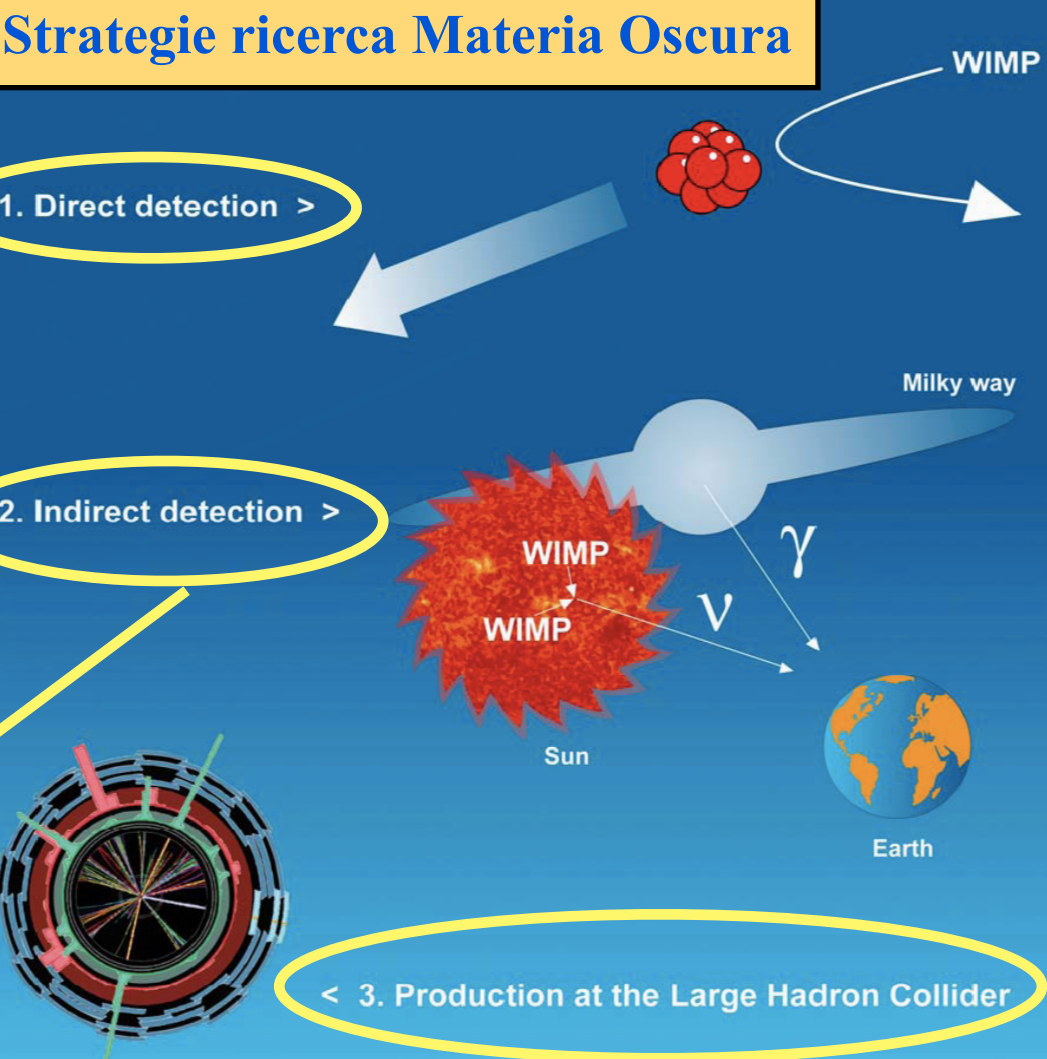


Candidati
della Materia
Oscura
con $\Omega_{\text{DM}} \sim 1$



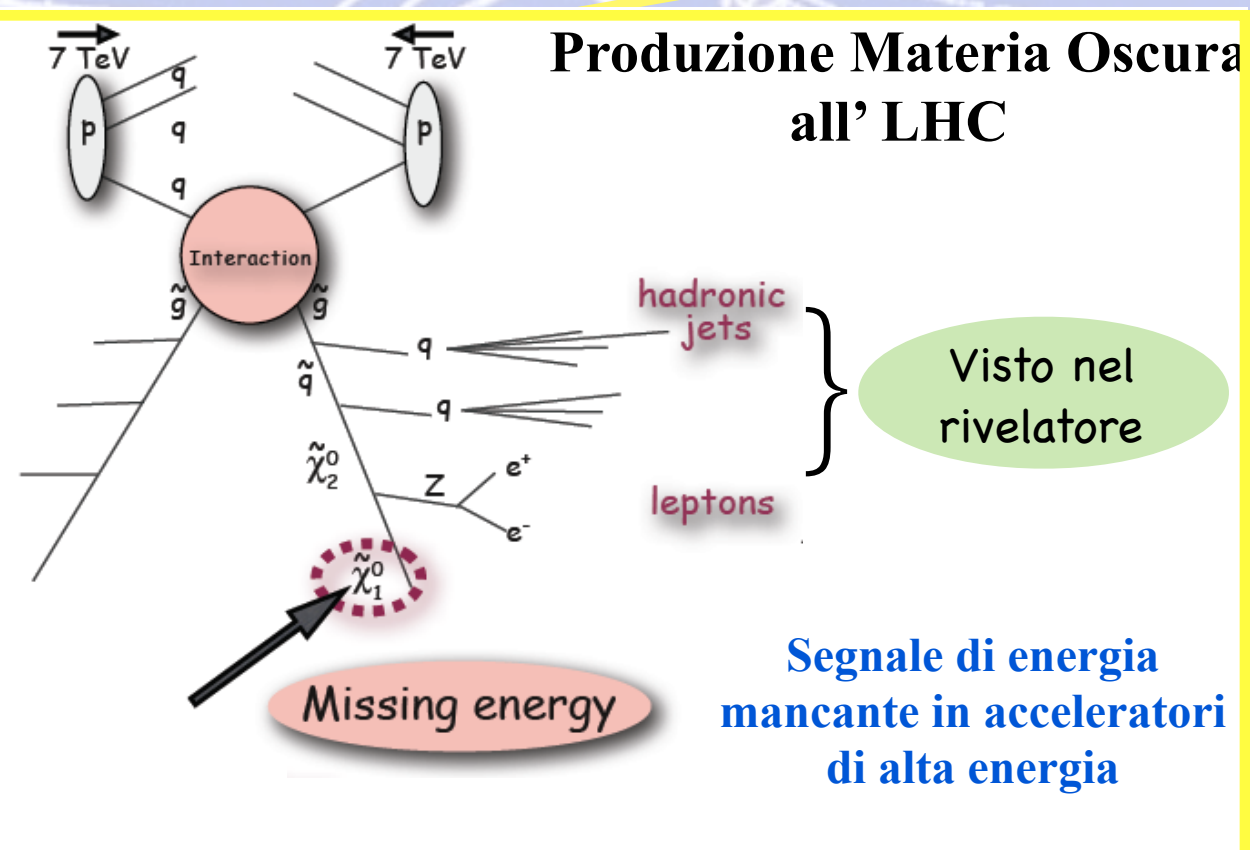
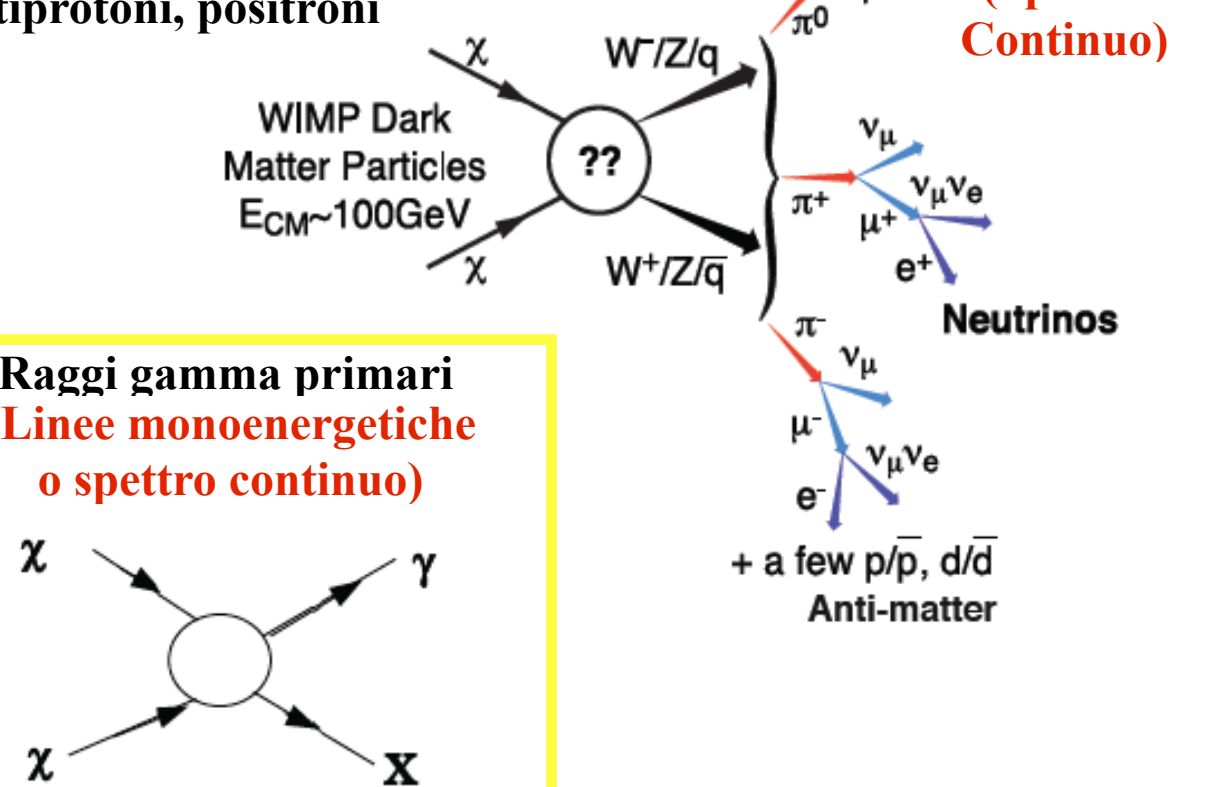
WIMP flux on Earth: $\sim 10^5 \text{ cm}^{-2}\text{s}^{-1}$ (for a 100 GeV WIMP)

Segnale di “Elastic Scattering” in esperimenti sotterranei



Segnale di annichilazione nello spazio

La Materia Oscura puo' produrre fotoni, elettroni, protoni, neutrini, antiprotoni, positroni

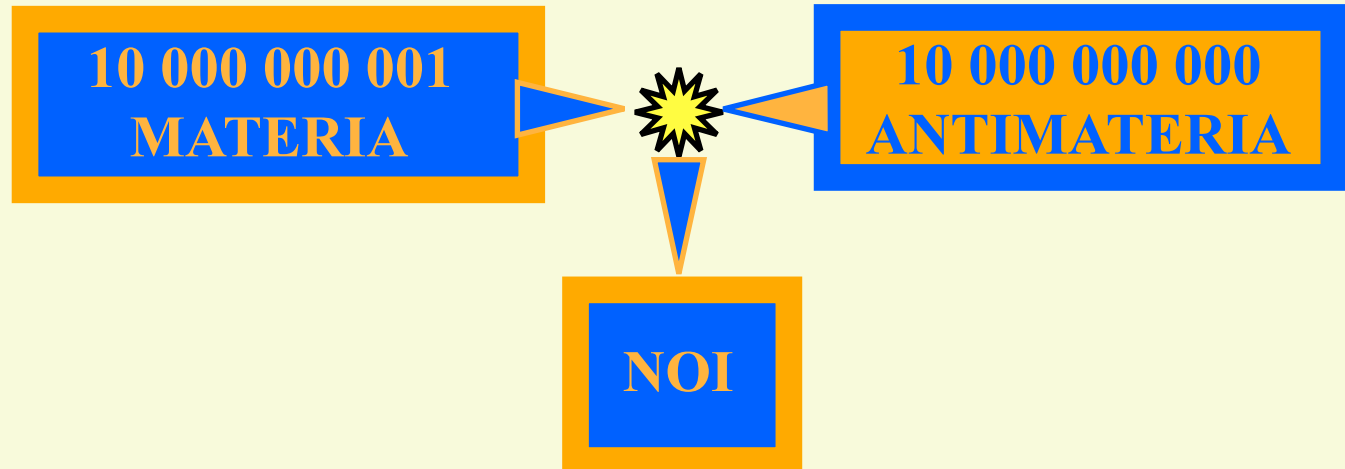


Antimateria: problemi e domande

La Teoria del Big Bang richiede una uguale abbondanza di materia e antimateria.

Dopo l'inizio dell' "era" delle particelle, non si e' trovato alcun processo che possa cambiare il numero netto di particelle dell'universo.

A partire da un millisecondo dopo il Big Bang, il bilancio tra materia ed antimateria e' stato fissato per sempre.



Esiste una qualche ASIMMETRIA nel modo in cui la natura tratta materia e antimateria?

Una linea di investigazione molto promettente e' quella delle CP violazioni della simmetria CP nei decadimenti di particelle via interazione debole.

La principale evidenza sperimentale proviene dal decadimento del kaone neutro, che mostra una piccola violazione della simmetria CP. Nel decadimento dei kaoni in elettroni, abbiamo una netta distinzione tra materia e antimateria, e cio' potrebbe essere almeno una delle spiegazioni della predominanza di materia rispetto all'antimateria nell'universo.

Una prima evidenza (3.5σ) si e' avuta a LHCb con 0.8% di differenza nel tasso di decadimento del mesone D e della sua antiparticella (2011).

Questo potrebbe essere un altro contributo alla soluzione del problema dell'antimateria.

Antimateria: problemi e domande

**La presenza di antimateria entro il nostro gruppo di galassie
e' esclusa:
il segnale di annichilazione e' troppo piccolo.**

...ma se una volta e' esistita, dov'e' ora ?

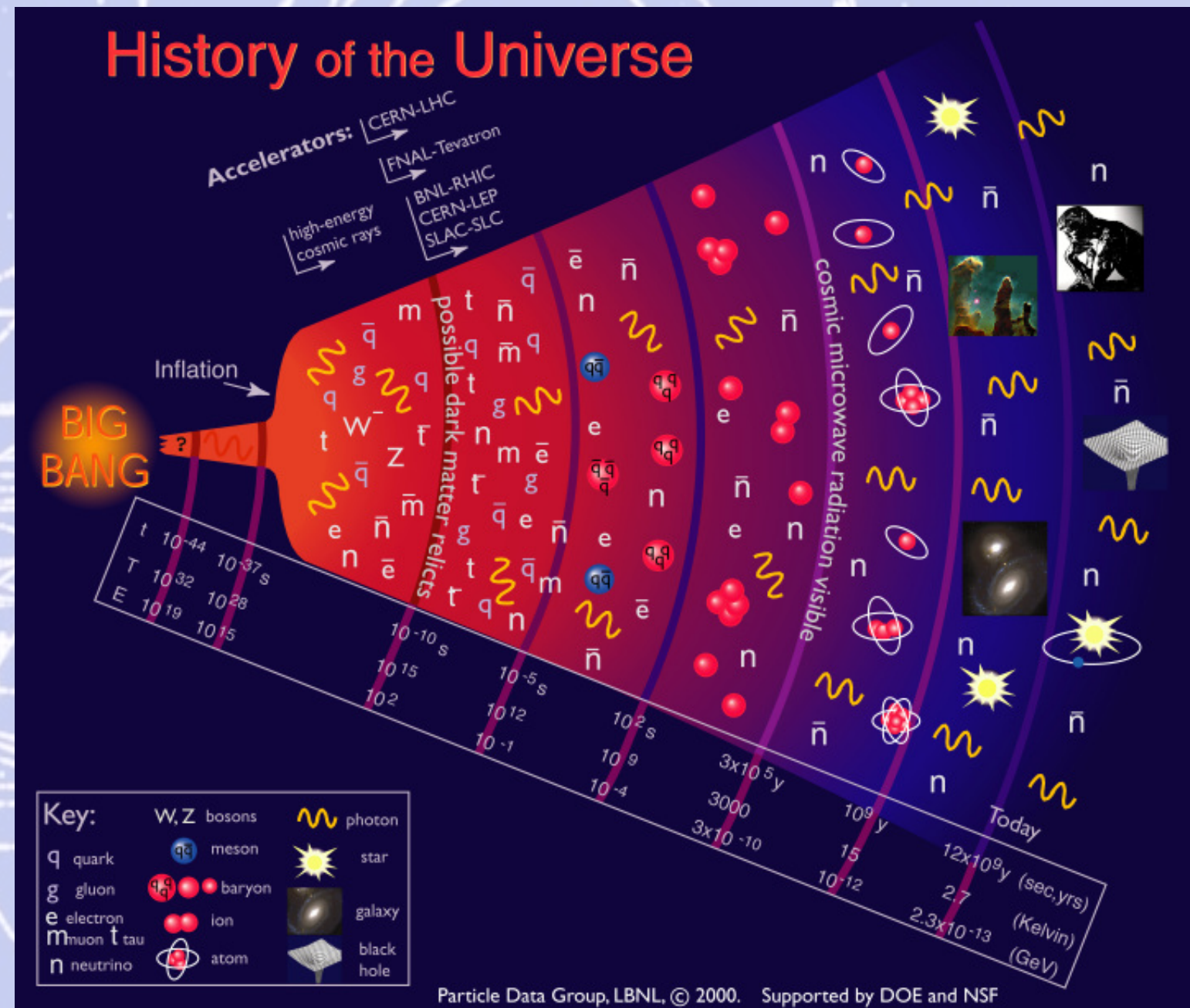
Lontano da noi ?

Esiste un qualche resto di antimateria nell'Universo vicino?

**Singolo nucleo di anti-He nei raggi cosmici:
Agglomerati di Antimateria**

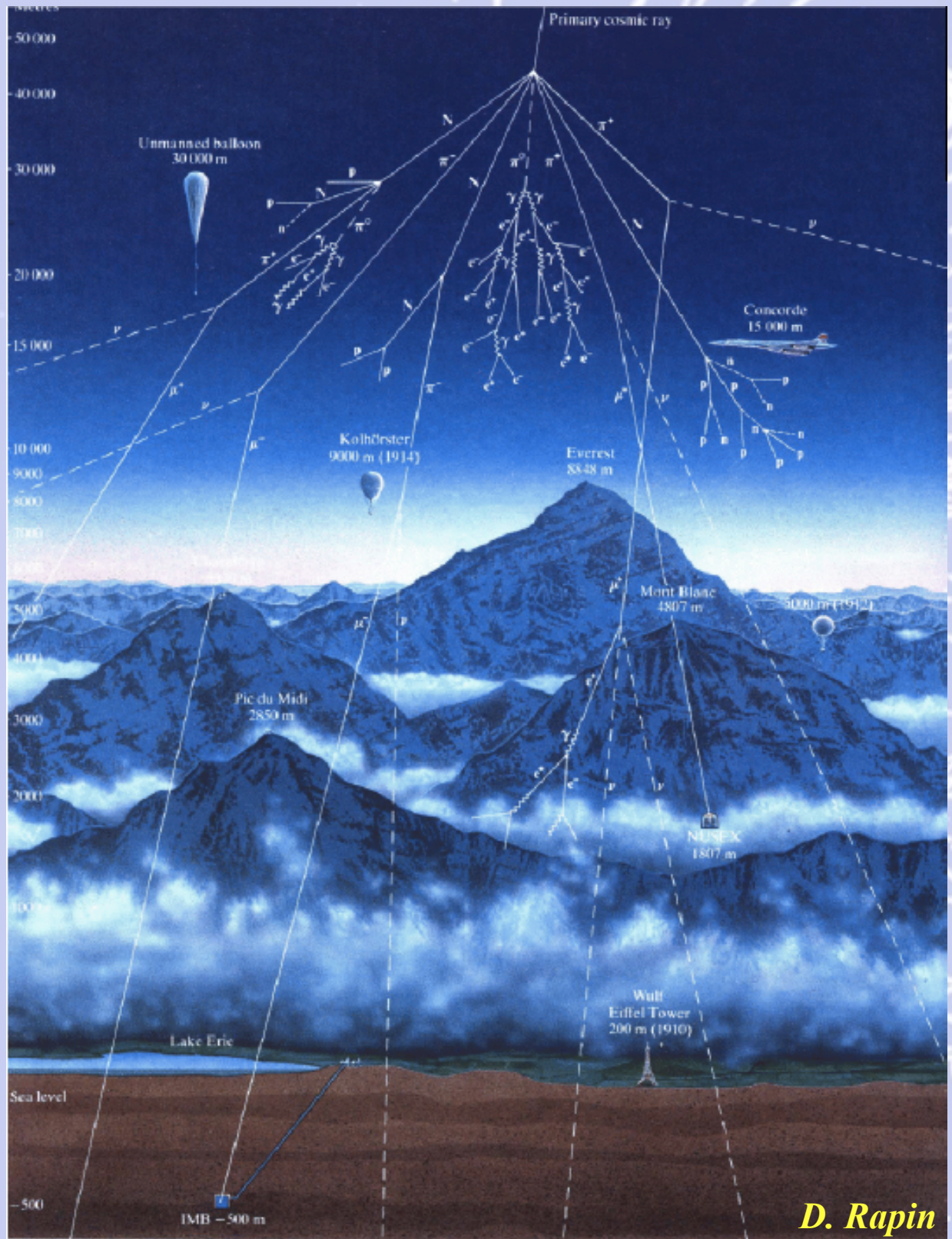
**Singolo nucleo di anti-C nei raggi cosmici:
Stelle di Antimateria**

NON conosciamo ancora la fisica dei primi istanti dopo il BigBang !



.... Materia Oscura e Antimateria sono solo due esempi tra i tanti segreti dell' Universo!

Perche' investigare nello spazio?



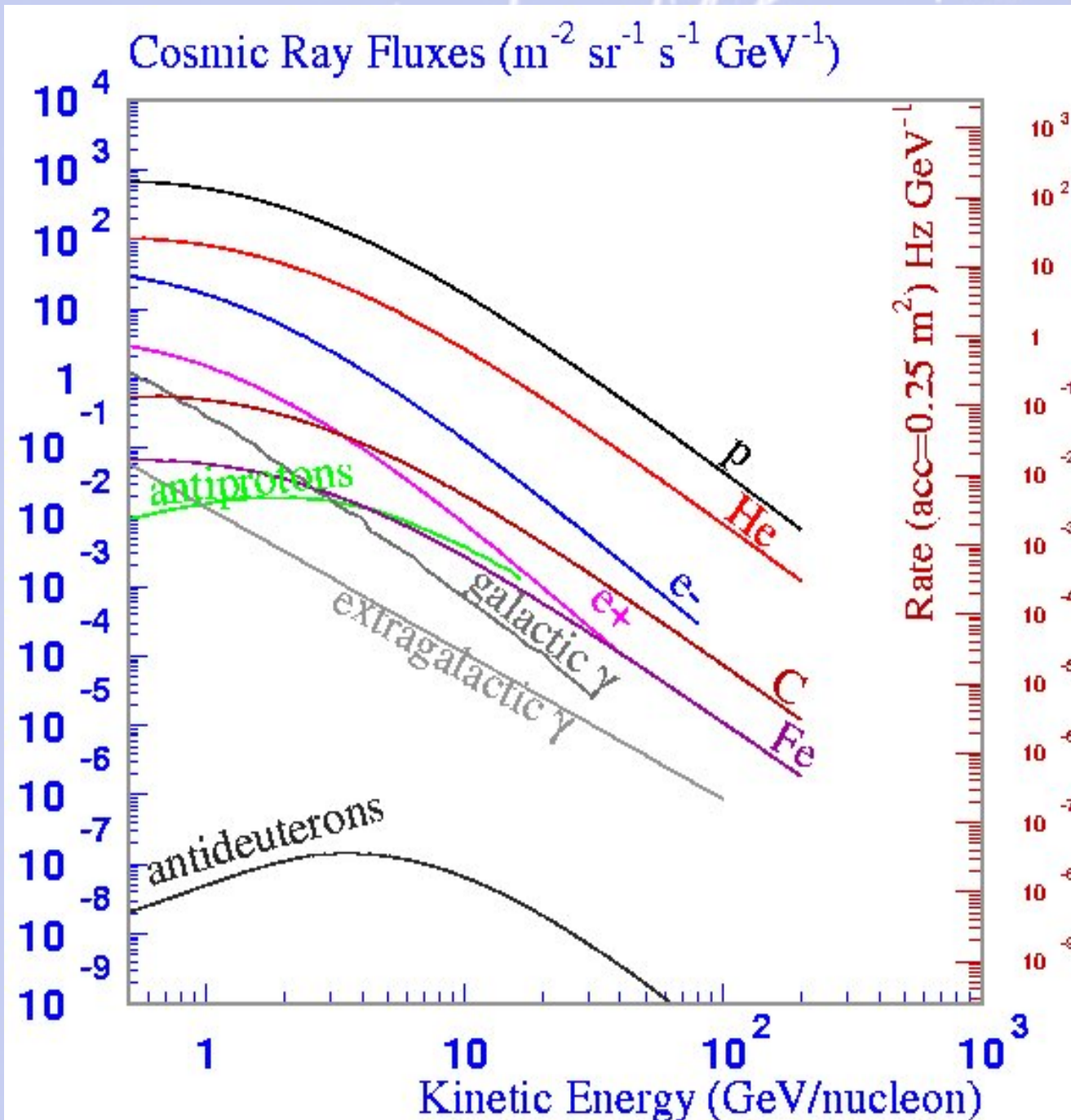
L'atmosfera non e' transparente alle particelle cariche o ai raggi X e gamma: le interazioni degradano l'informazione della particella iniziale.

Il suo spessore in termini di massa (1kg/cm^2) e' equivalente ad uno schermo di 4 m di cemento.

Palloni aerostatici a 35 km (5 g/cm^2) ma il tempo di esposizione e' limitato a ~20 giorni.

I rivelatori su satellite hanno un tempo di esposizione piu' lungo dell'ordine di qualche anno (3→15).

Qual e' la composizione dei Raggi Cosmici primari?



- p: componente dominante
- He: 5% del flusso p @ 10GeV
- D, Li, Be, B e C
- Anti-protoni: $\sim 10^{-4}$ del flusso p

Protoni: un modo per misurare l'attivita' solare

Isotopi: informazioni sulla propagazione dei Raggi Cosmici nella Galassia.

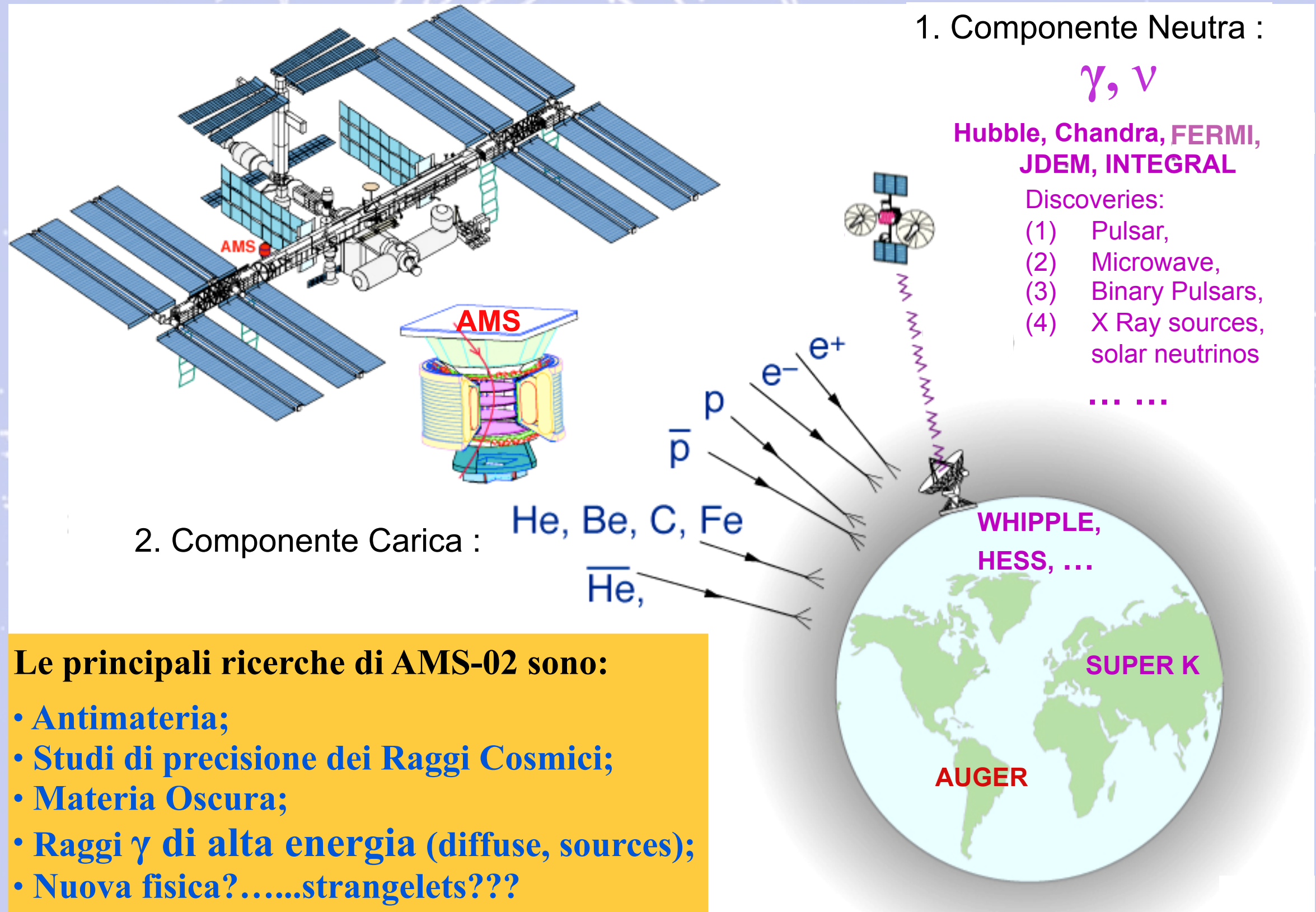
$^{10}\text{Be}/^{9}\text{Be}$ ratio ($^{10}\text{Be}, \tau_{1/2}=1.6 \times 10^6 \text{ yrs}$):

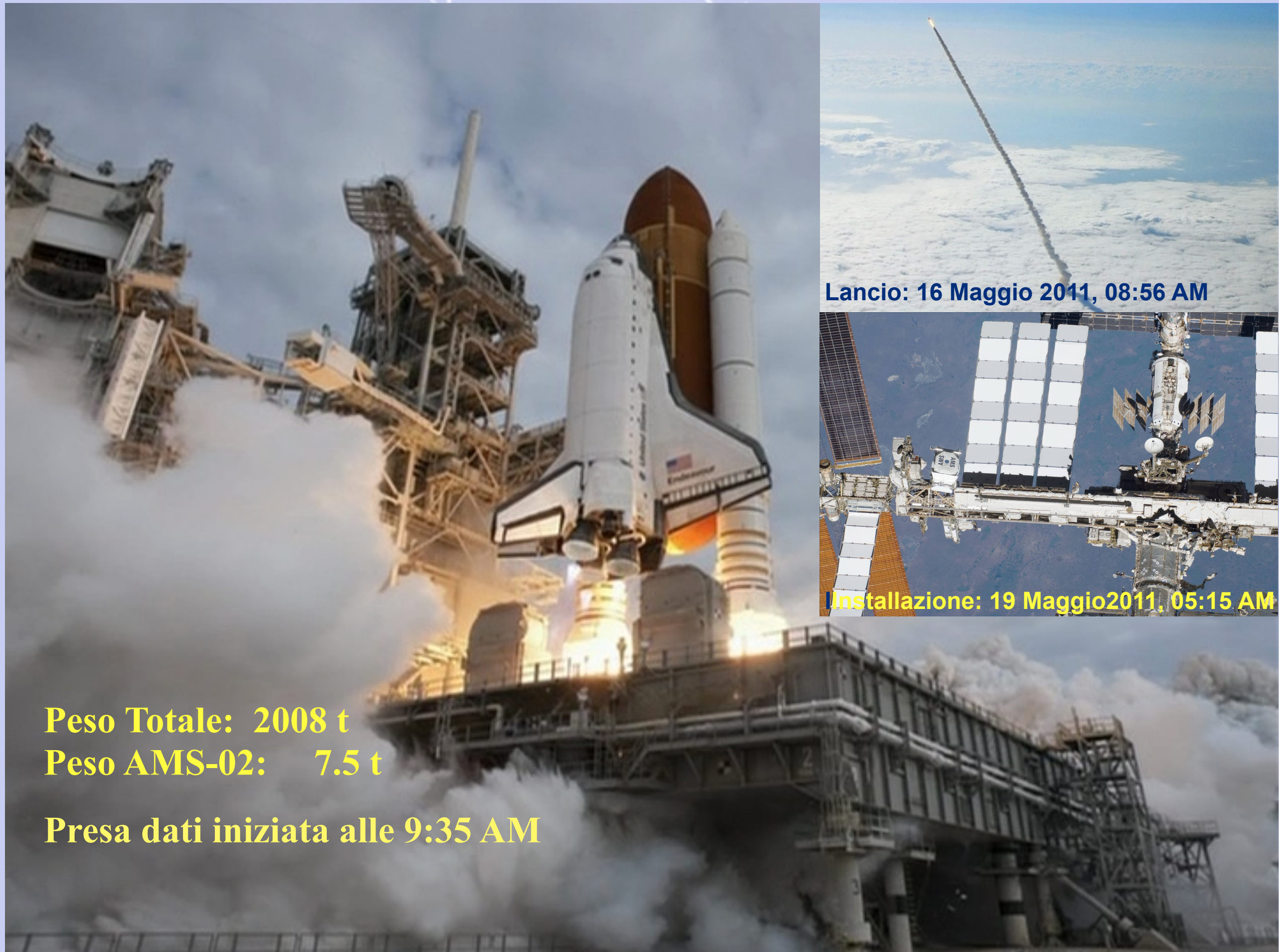
- Tempo di confinamento dei Raggi Cosmici nella Galassia.
- Densita' media del materiale interstellare attraversato.

L'esperimento AMS-02 sulla ISS



AMS-02: un esperimento “multipurpose” di fisica delle particelle operante nello spazio





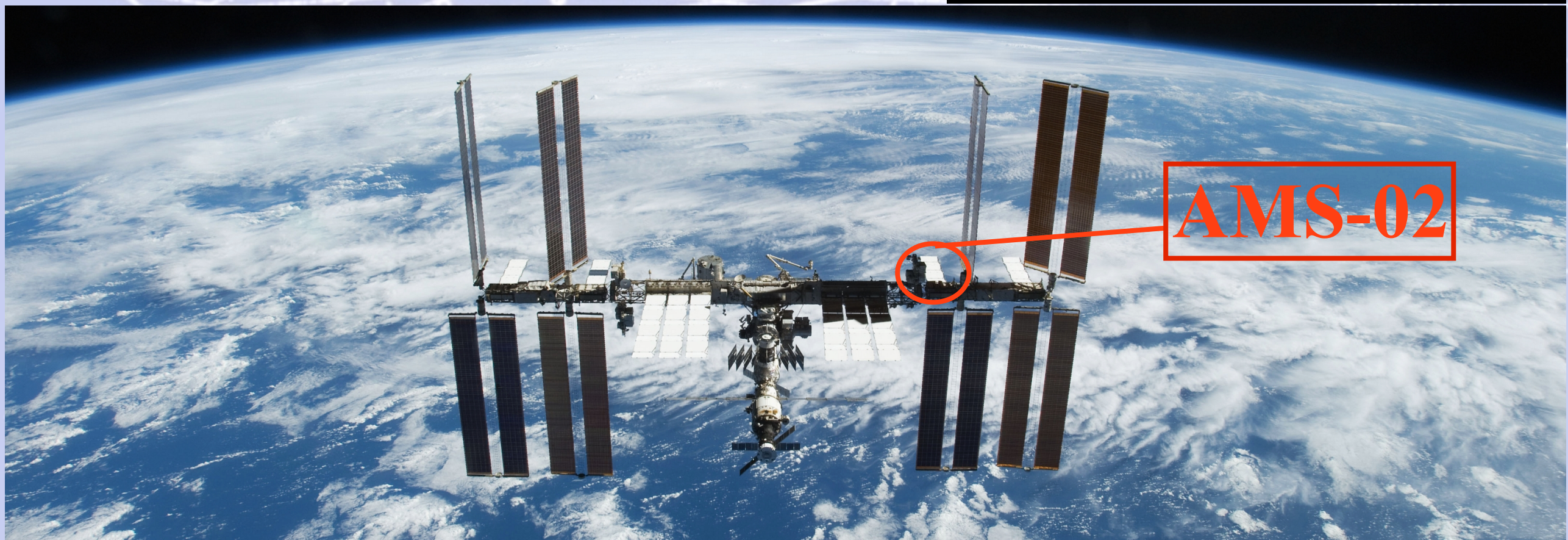
Peso Totale: 2008 t

Peso AMS-02: 7.5 t

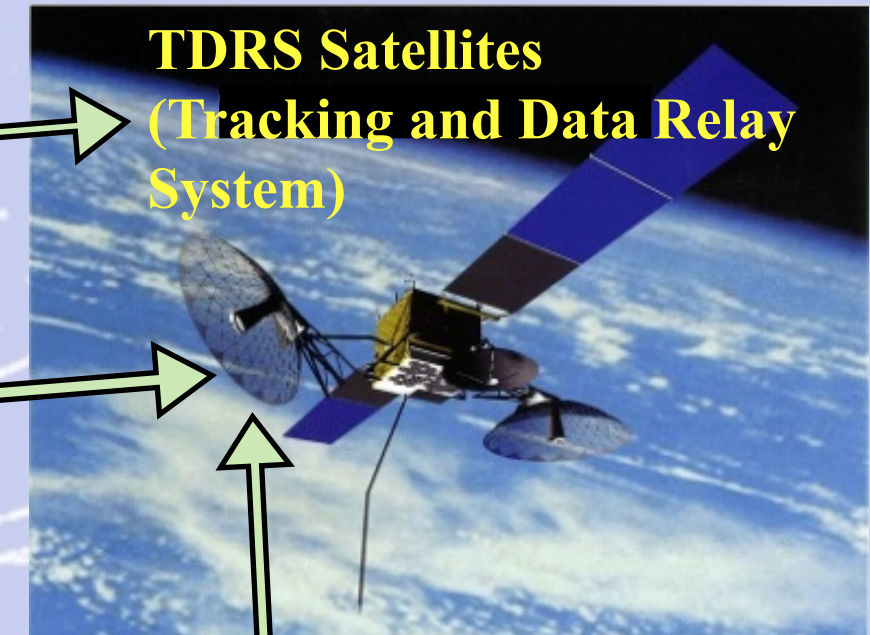
Presatdati iniziata alle 9:35 AM

Lancio: 16 Maggio 2011, 08:56 AM

Installazione: 19 Maggio 2011, 05:15 AM



Come opera AMS-02 in volo e a terra



Ku-Band
High Rate (down):
Events <10Mbit/s>

Flight Operations

Ground Operations



S-Band
Low Rate (up & down):
Commanding: 1 Kbit/s
Monitoring: 30 Kbit/s



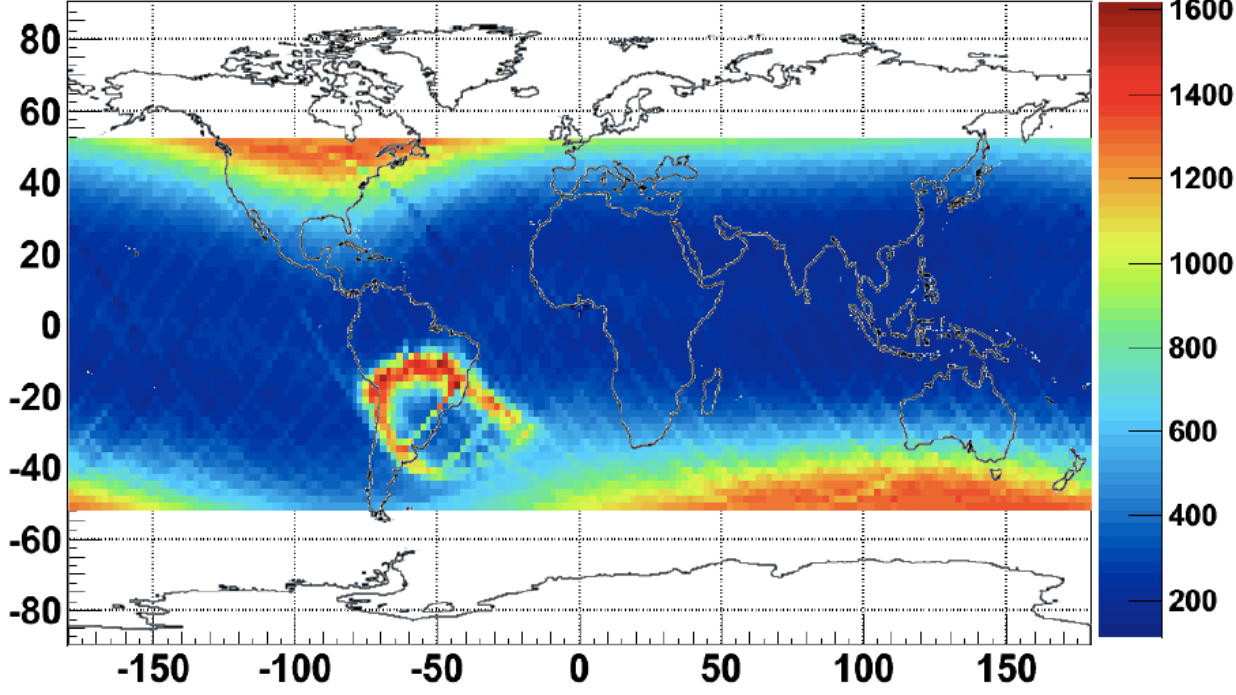
AMS Payload Operation Control and Science Operation Centers (POCC, SOC) at CERN

AMS Computers
MSCF, Alabama

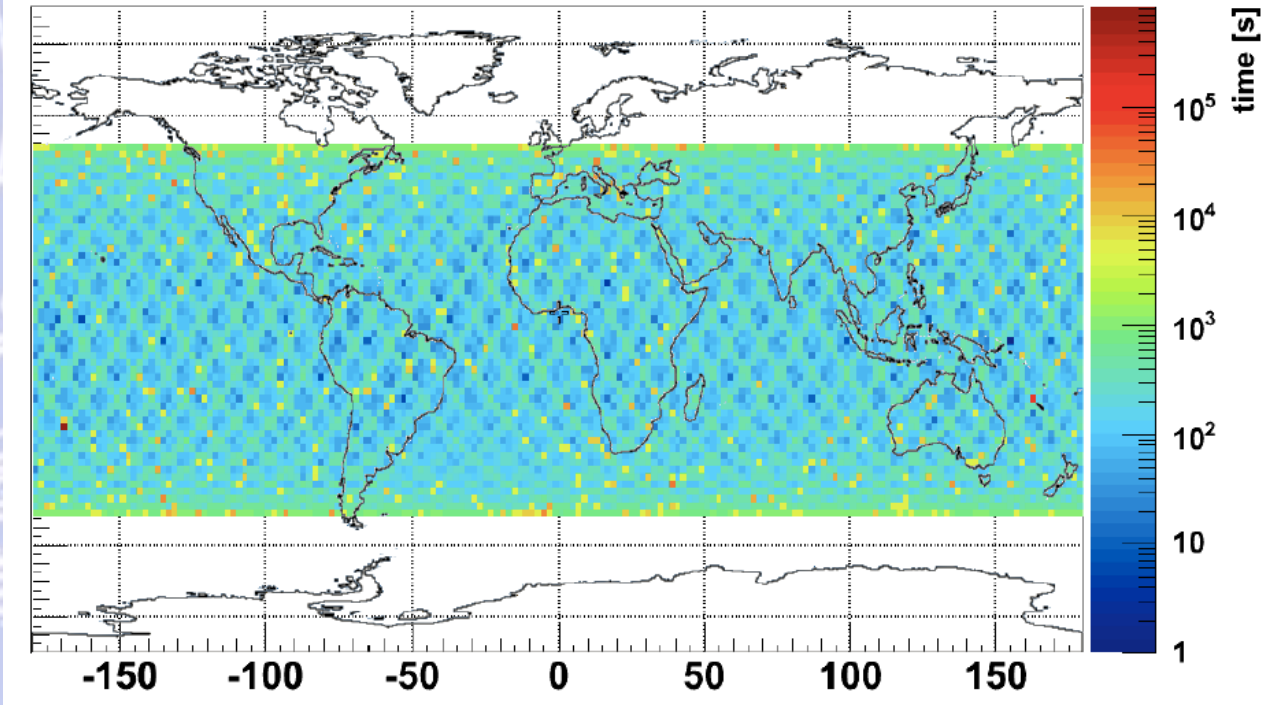
White Sands Ground terminal, New Mexico

Parametri orbitali del DAQ di AMS-02

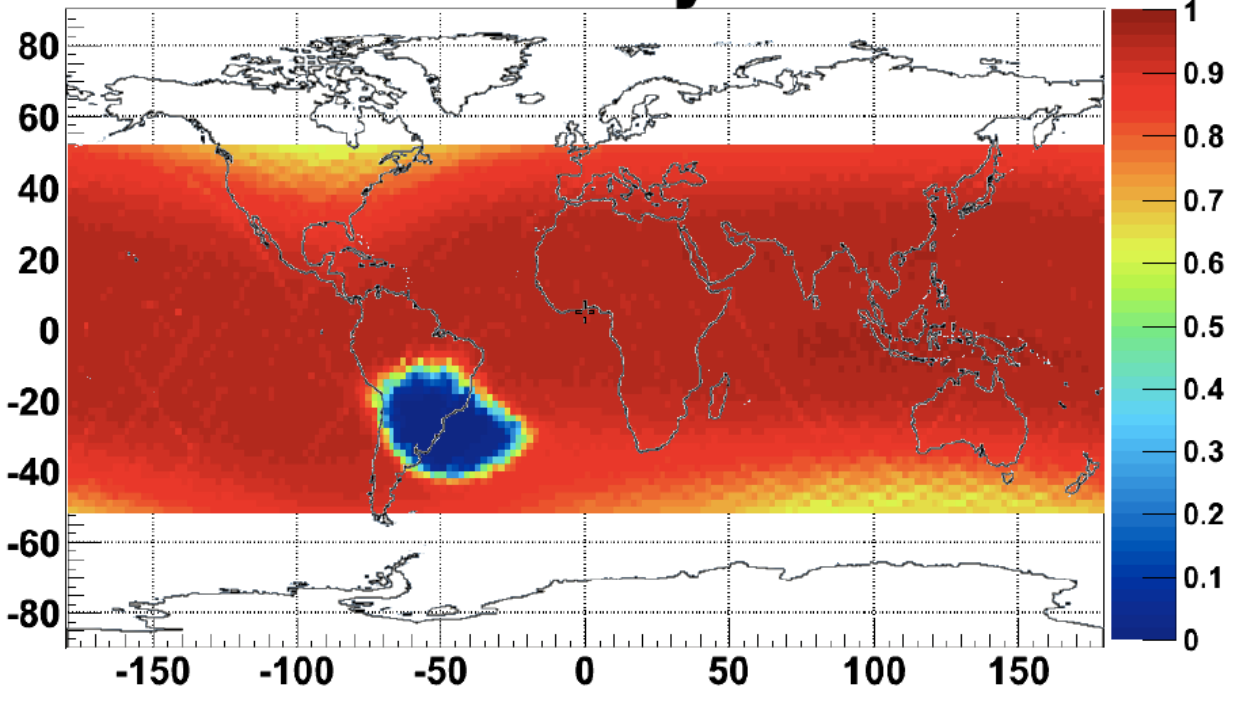
Acquisition rate [Hz]



Time at location [s]



DAQ efficiency



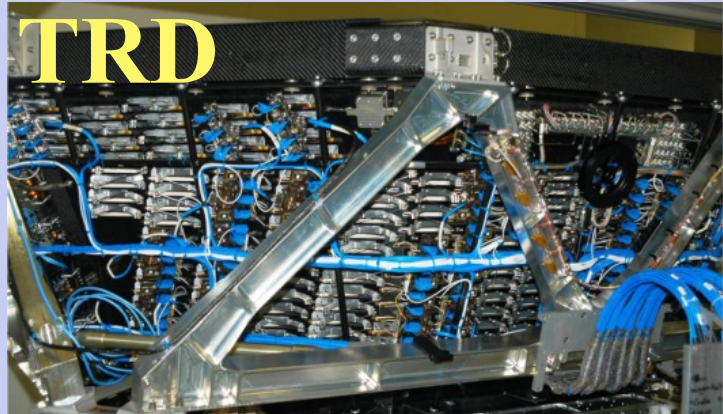
“Particles rate” varia da
200 to 2000 Hz per orbita

In media:

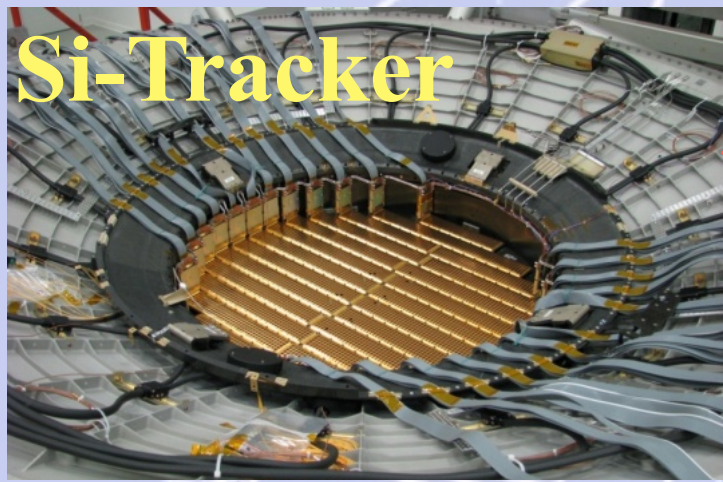
DAQ efficiency 85%

DAQ rate ~700Hz

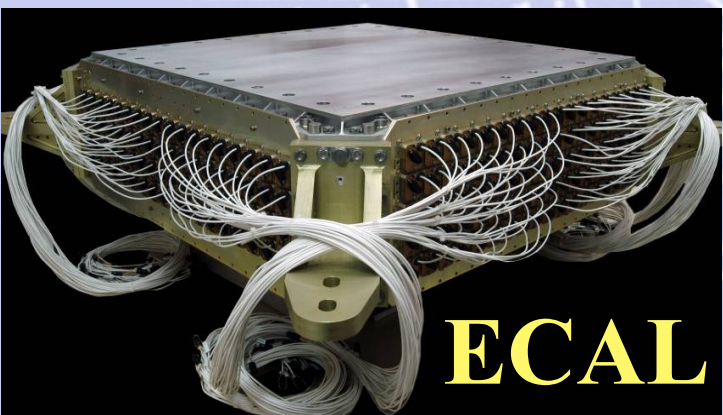
AMS-02: uno spettrometro di precisione per energie GeV/TeV



Identify e^+ , e^- , Z

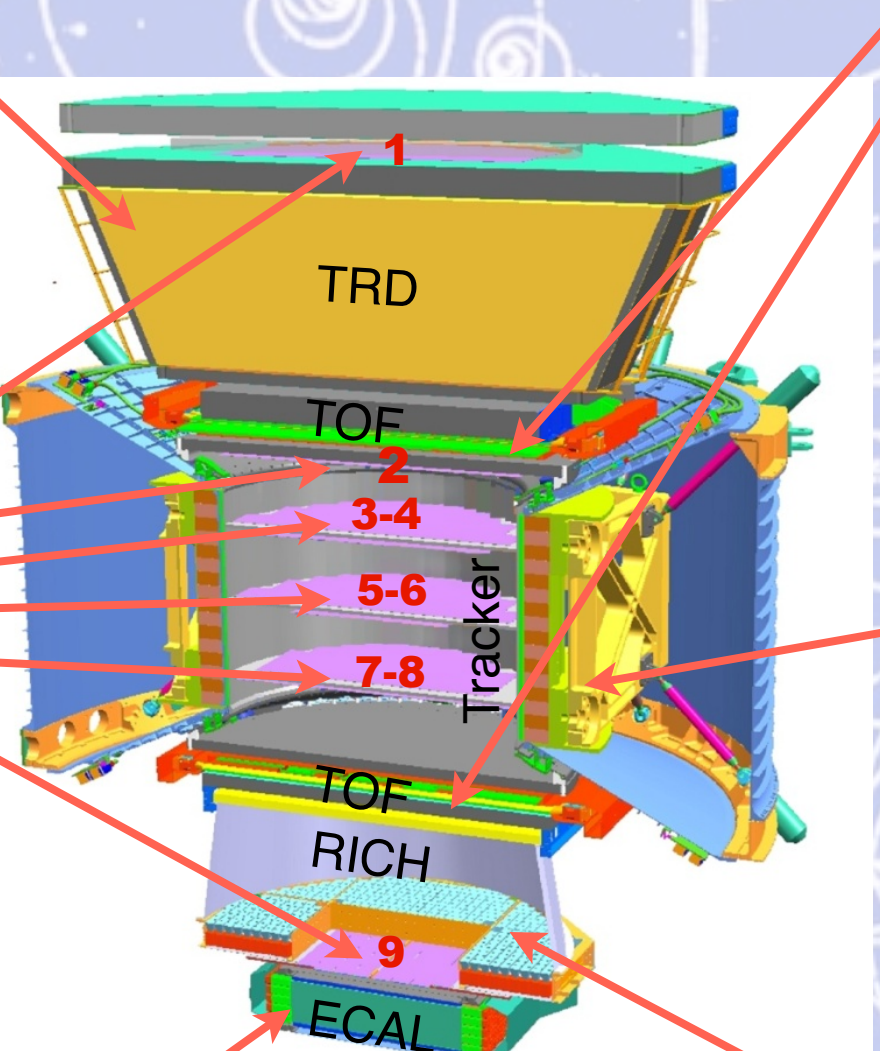


Identify Z, Measure P



Measure E of e^+ , e^- , γ

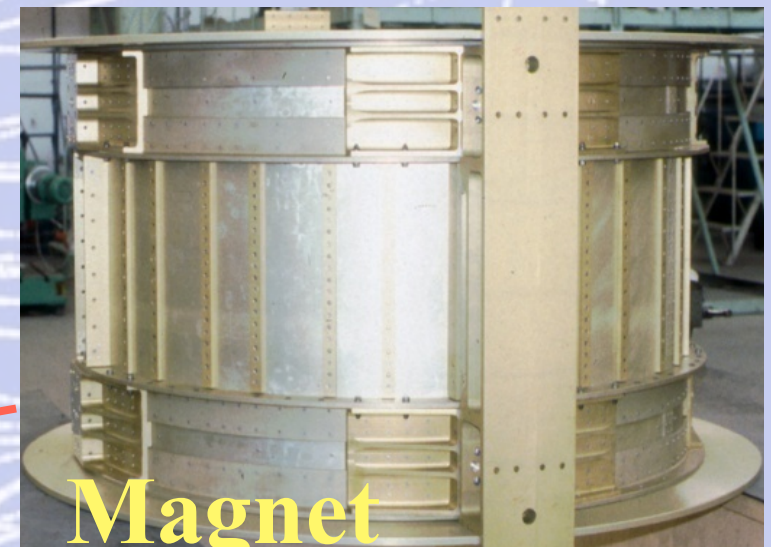
Le particelle ed i nuclei sono definiti dalla loro carica (Z) e dall'energia (E~P)



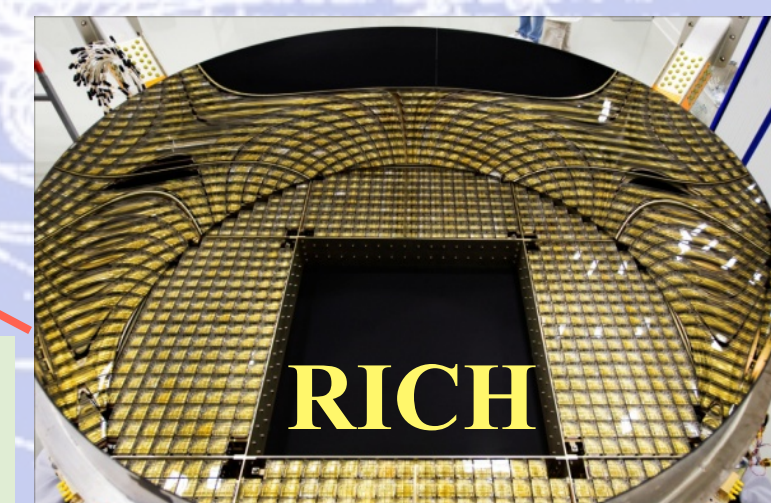
Z, P sono misurati independentemente dal Tracker, RICH, TOF e ECAL



Identify Z, Measure E



Identify $\pm Z$



Identify Z, Measure E

Potenziale di fisica di AMS-02

Ricerca dell'antimateria primordiale:

- anti-nuclei: $\bar{\text{He}}$, ... ;

Ricerca della Materia Oscura:

- e^+ , e^\pm , \bar{p} , γ , ... ;
- osservazione simultanea di diversi canali di segnale ;

Ricerca di nuove forme di materia :

- strangelets, ... ;

Misura degli spettri dei CR - “fine tuning” del modello di propagazione:

- D , He , Li , Be , B ,
...Fe;

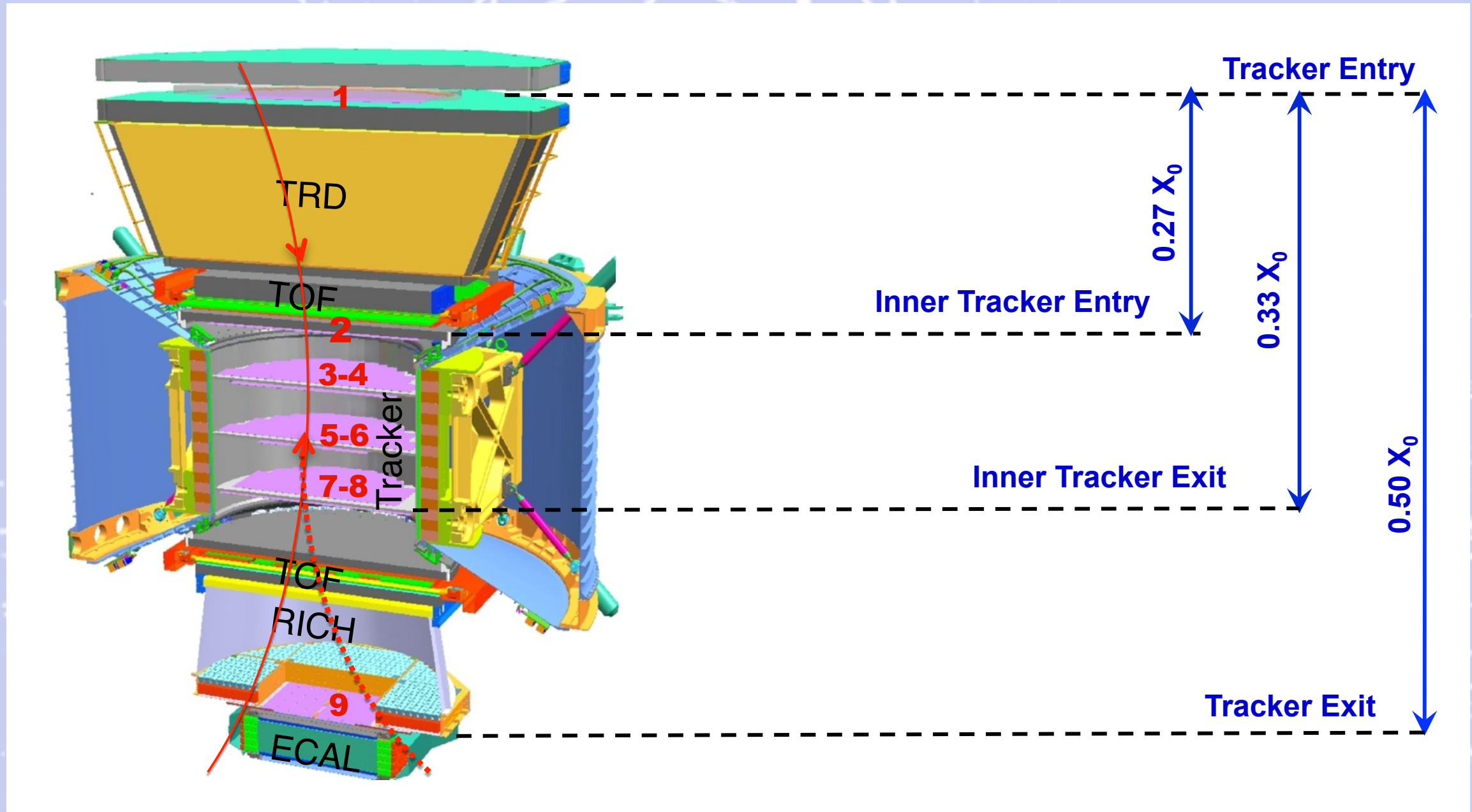
Studi di sorgenti locali (astrofisica dei raggi γ):

- SuperNovae Remnants, Pulsars, Primordial Black Holes,

Studio degli effetti della modulazione solare sugli spettri dei CR lungo tutto il ciclo solare (11 anni) ;

.....

Sensitività della ricerca dell'Antimateria: $\text{He}/\overline{\text{He}} > 10^{10}$



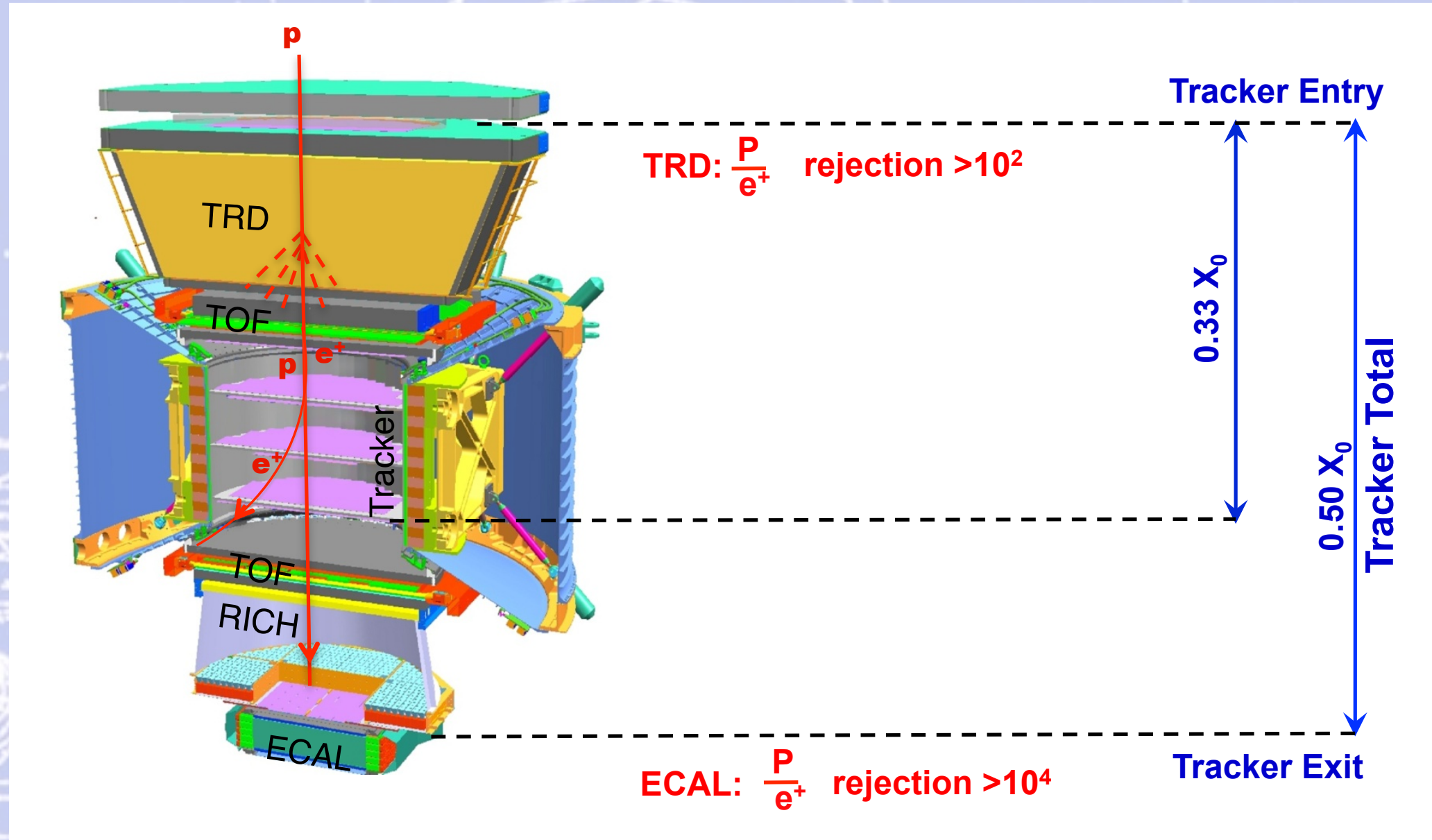
a) **Minimo materiale nel rivelatore:**

quindi il rivelatore **NON** diventa una sorgente di “large angle scattering”;

b) **Misure ripetute dell'impulso:**

per assicurare che le particelle con “large angle scattering” non siano confuse con il segnale.

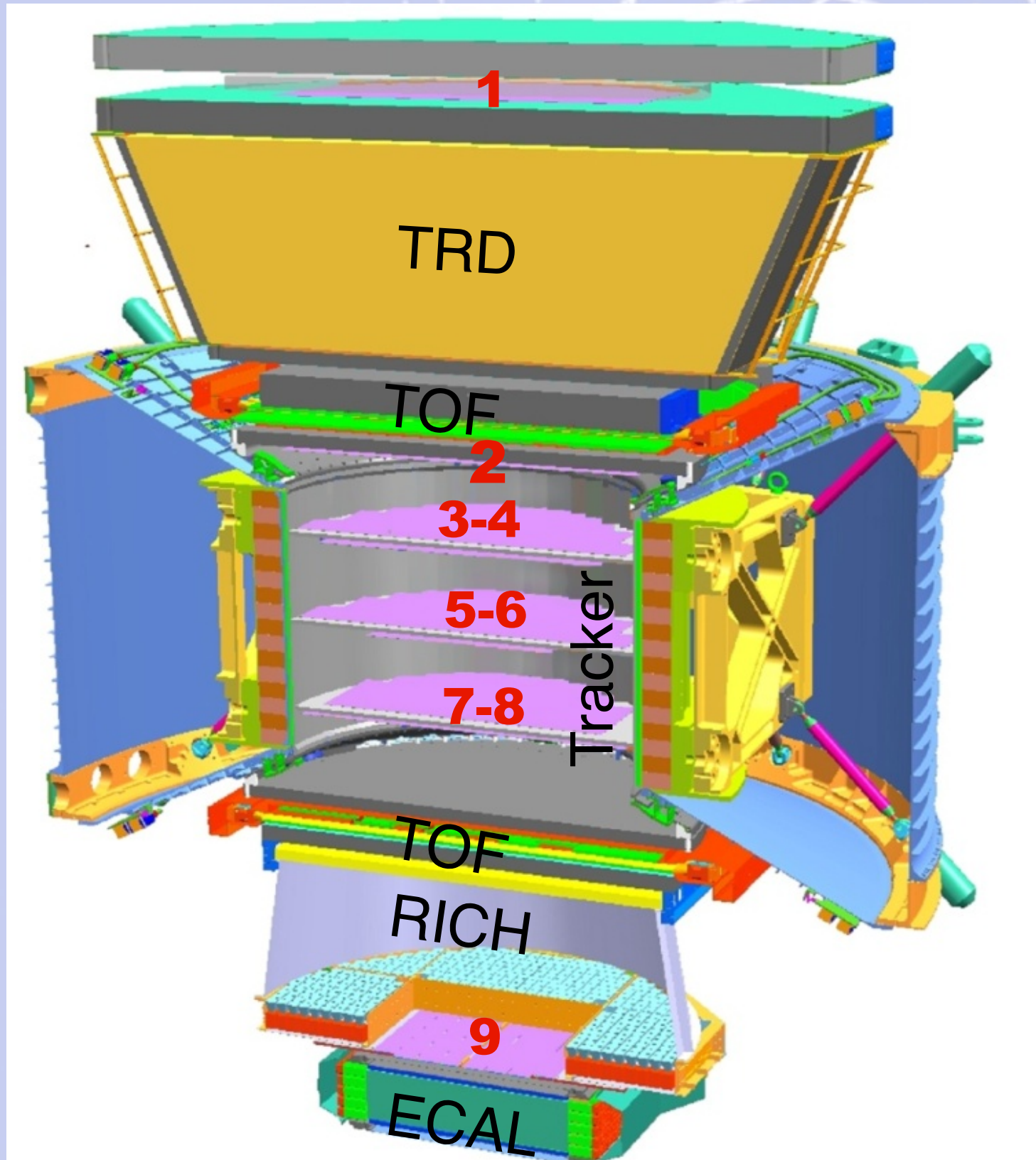
Sensitività della ricerca dell'origine della materia Oscura: $p/e^+ > 10^6$



- a) **Minimo materiale nel TRD e nel TOF:**
quindi il rivelatore **NON** diventa una sorgente di e^+ ;
- b) **Il magnete separa il TRD e ECAL così gli e^+ prodotti nel TRD sono deviati e non entrano nell'ECAL:**
in tal modo il “rejection power” del TRD e dell’ ECAL sono indipendenti;
- c) **“Matching” dell’impulso dai 9 piani del Tracker con le misure di energia dell’ ECAL.**

La precisa identificazione delle particelle si ha combinando le risposte dei diversi sotto rivelatori (ridondanza ...utile anche per eventi rari)

\rightarrow TeV	e^-	P	He,Li,Be,..Fe	γ	e^+	\bar{P}, \bar{D}	\bar{He}, \bar{C}
TRD							
TOF							
Tracker							
RICH							
ECAL							
Physics example	Cosmic Ray Physics Strangelets				Dark matter		Antimatter



Ulteriori dettagli sui rivelatori di AMS-02 saranno/sono stati forniti durante la visita (vedi appendice)

Performance del rivelatore AMS-02 sulla ISS

L'esperimento AMS-02 sta operando senza particolari problemi.
In oltre 50 mesi di attivita' ha raccolto piu' di 70 miliardi di particelle.

Ogni anno , si raccolgono circa 16×10^9 eventi
che in 10-20 anni saranno $160-320 \times 10^9$.

Questa capacita' AMS-02 fornisce una sensitivita'
senza precedenti per la ricerca di nuova fisica.

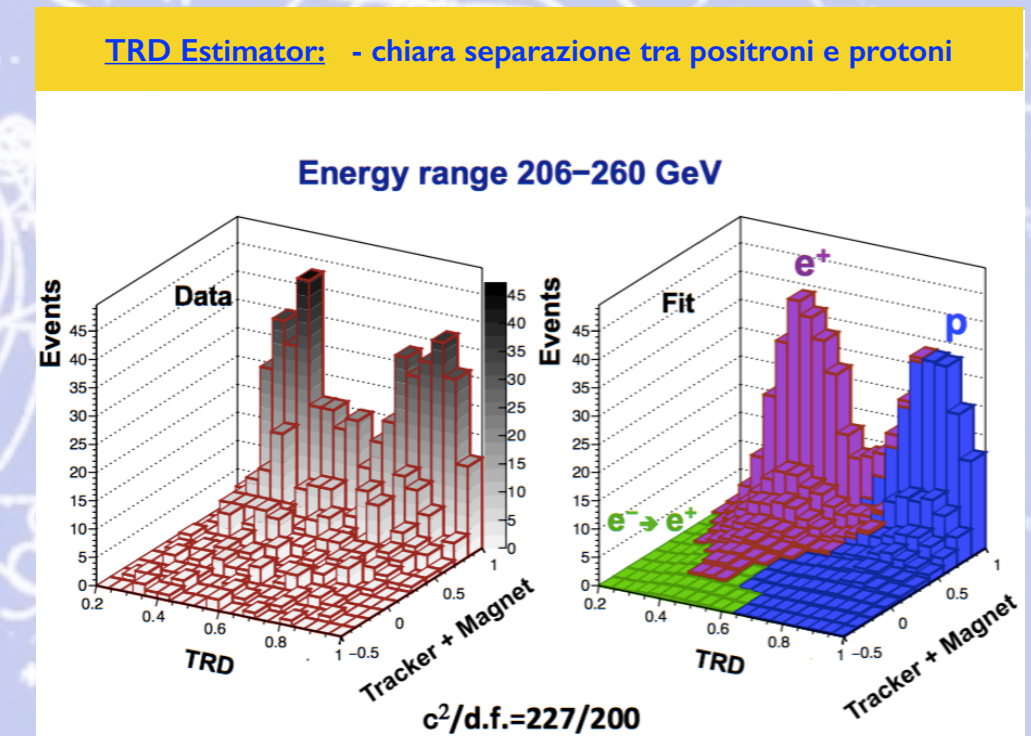
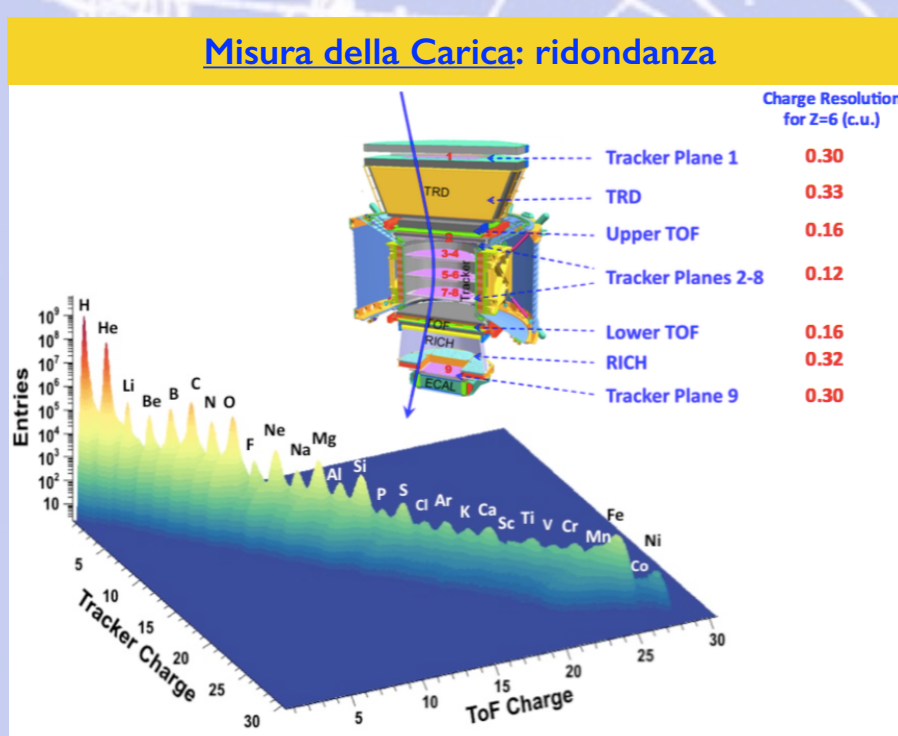
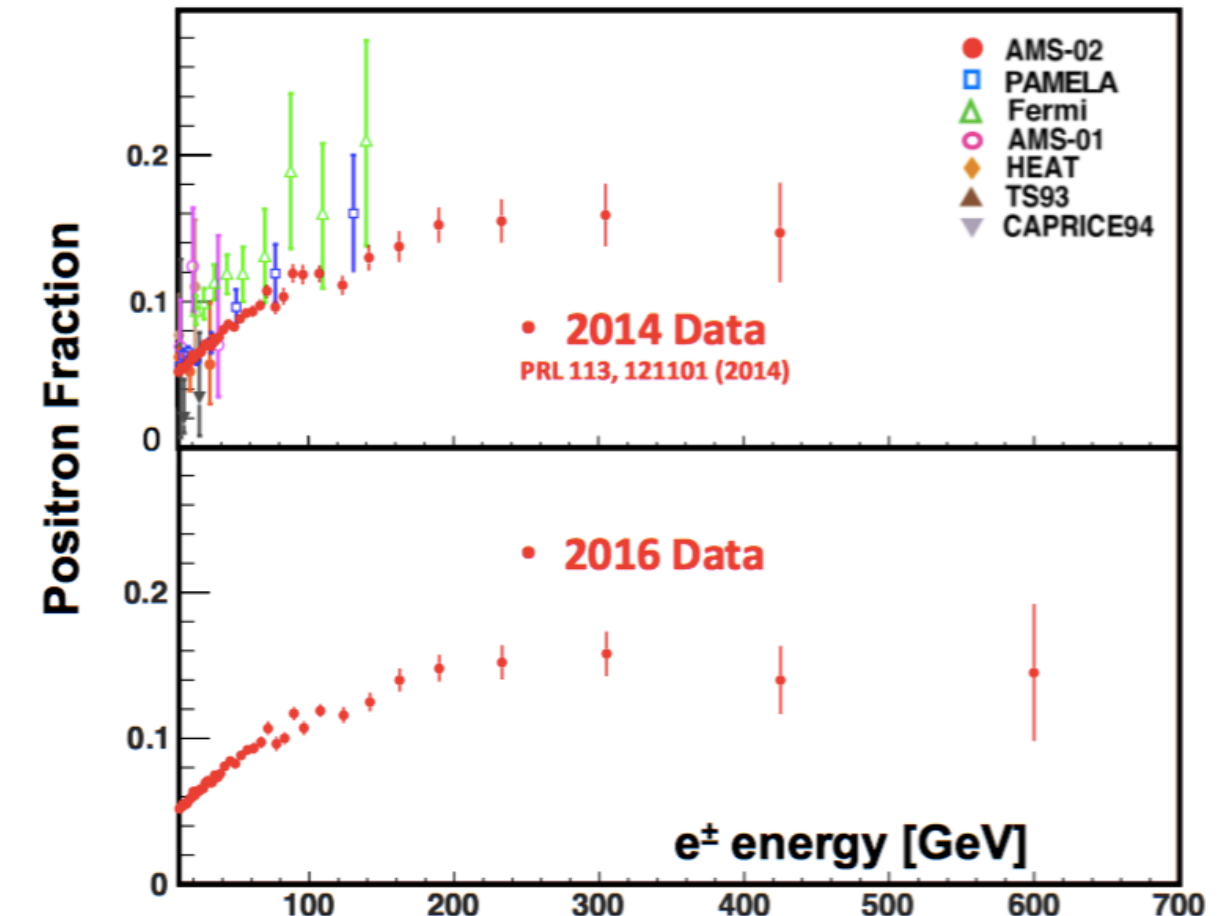
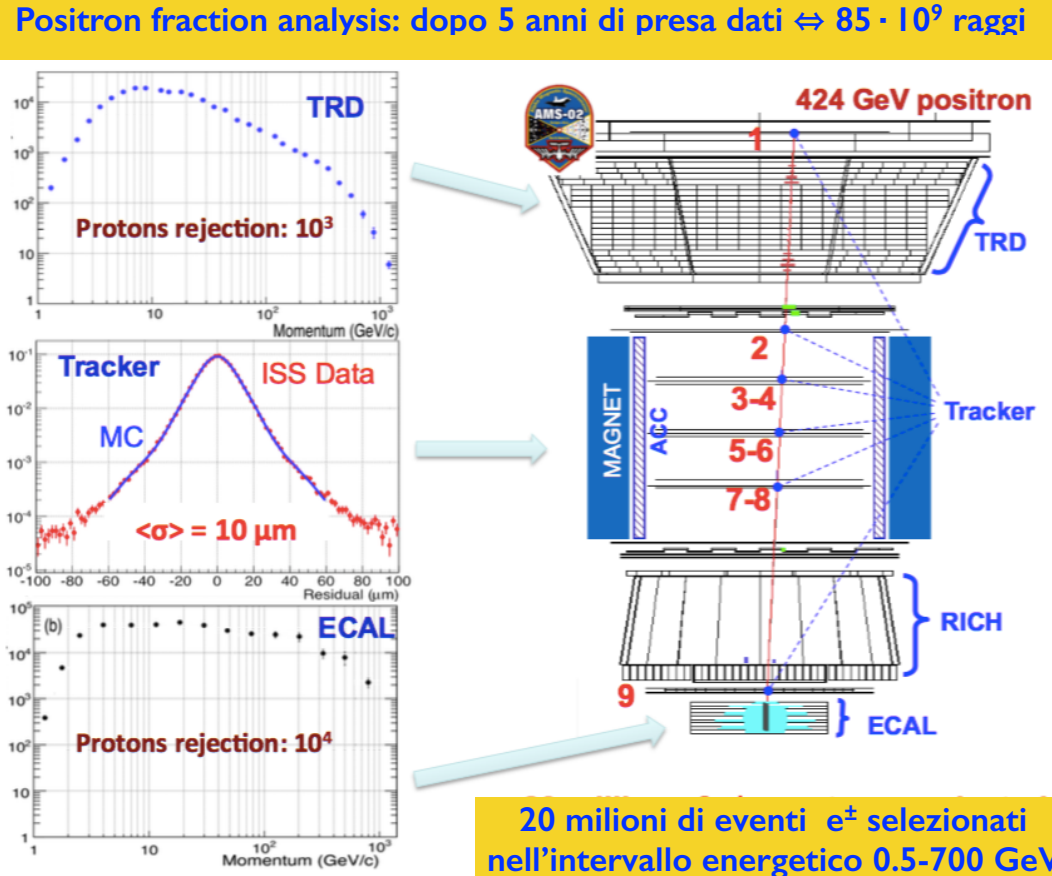
Risultati dell'esperimento AMS-02 e “physics expectations” dal maggio 2011 a settembre 2014

(Vedi appendice 13)

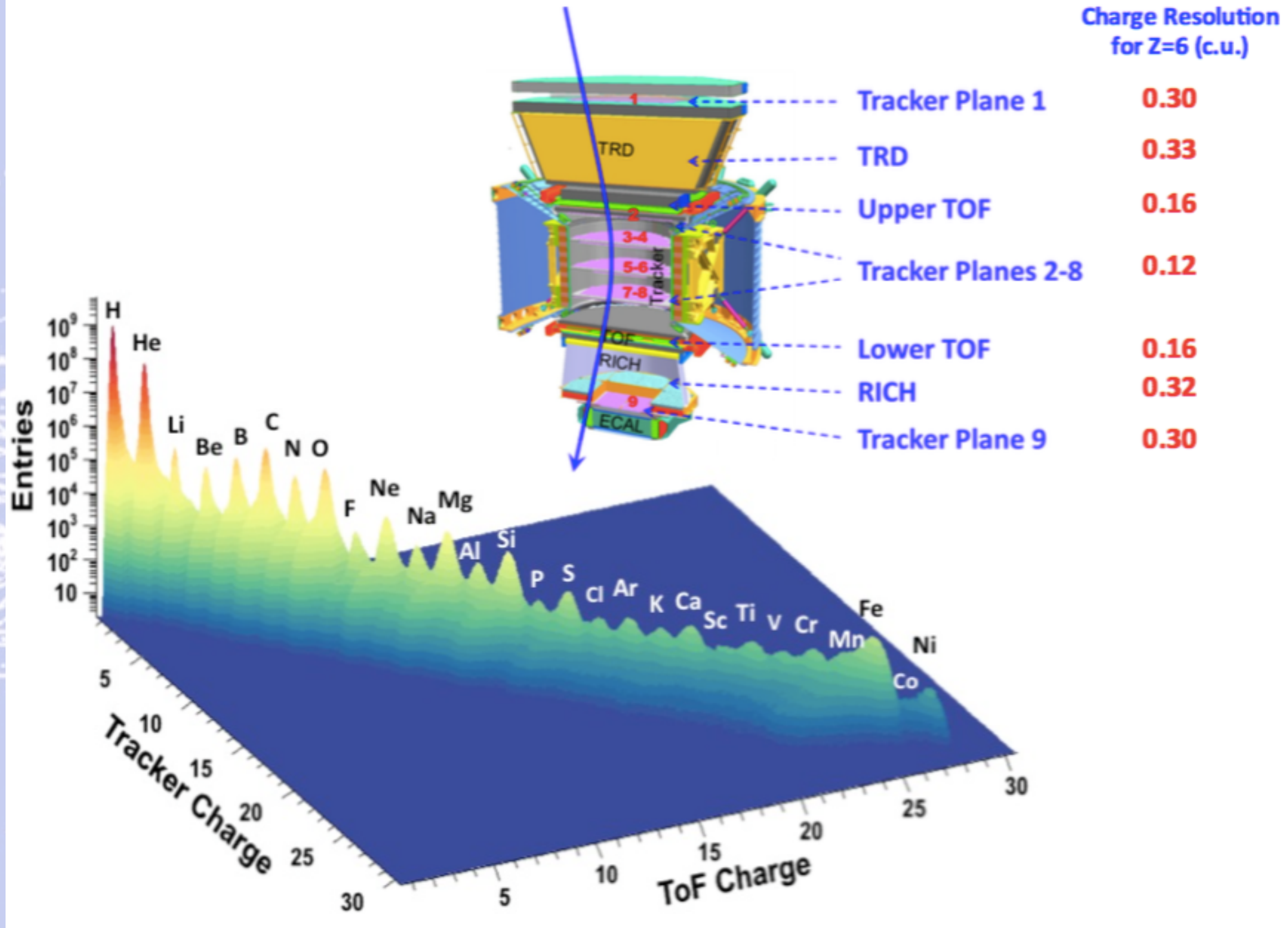
Risultati dell'esperimento AMS-02 e “physics expectations” aggiornati a Settembre 2016

Positroni ed elettroni

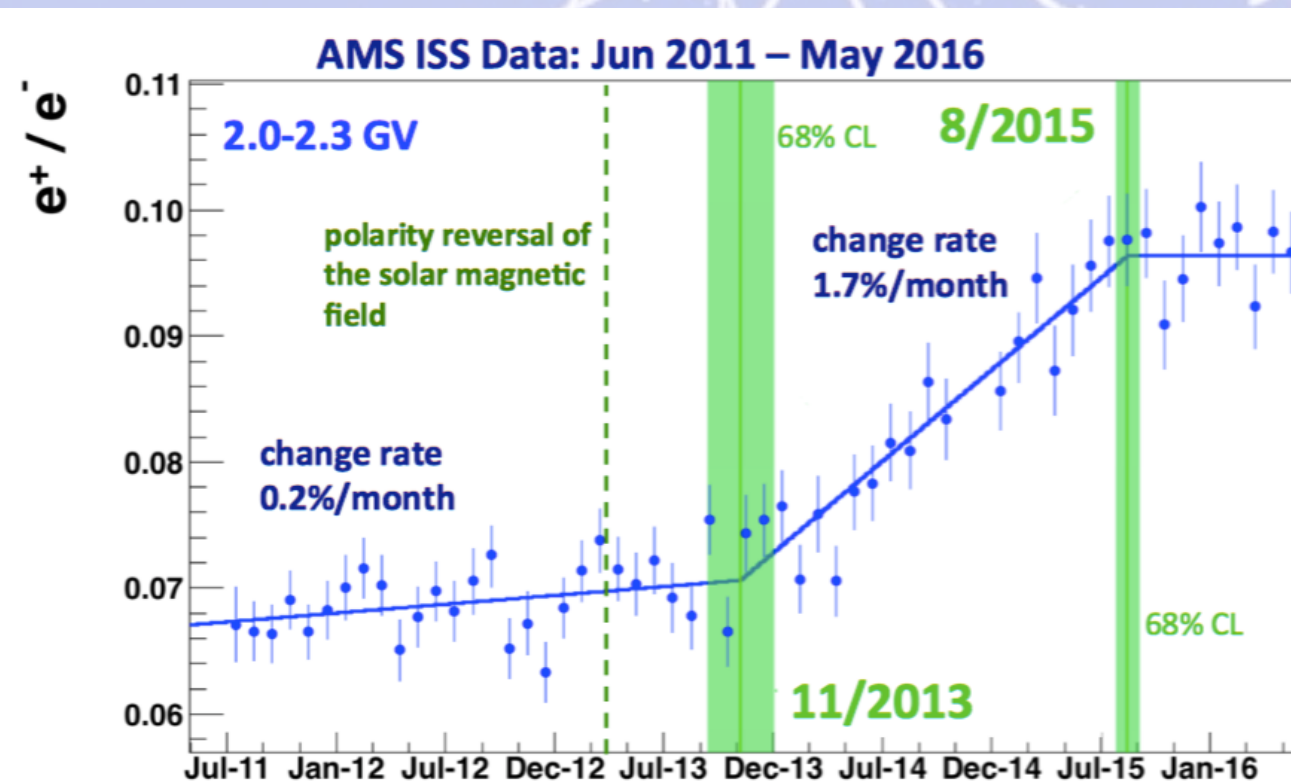
Rispetto al 2014: - intervallo energetico e' esteso a 700 GeV
- statistica e' aumentata da 11 a 20 milioni di e^\pm



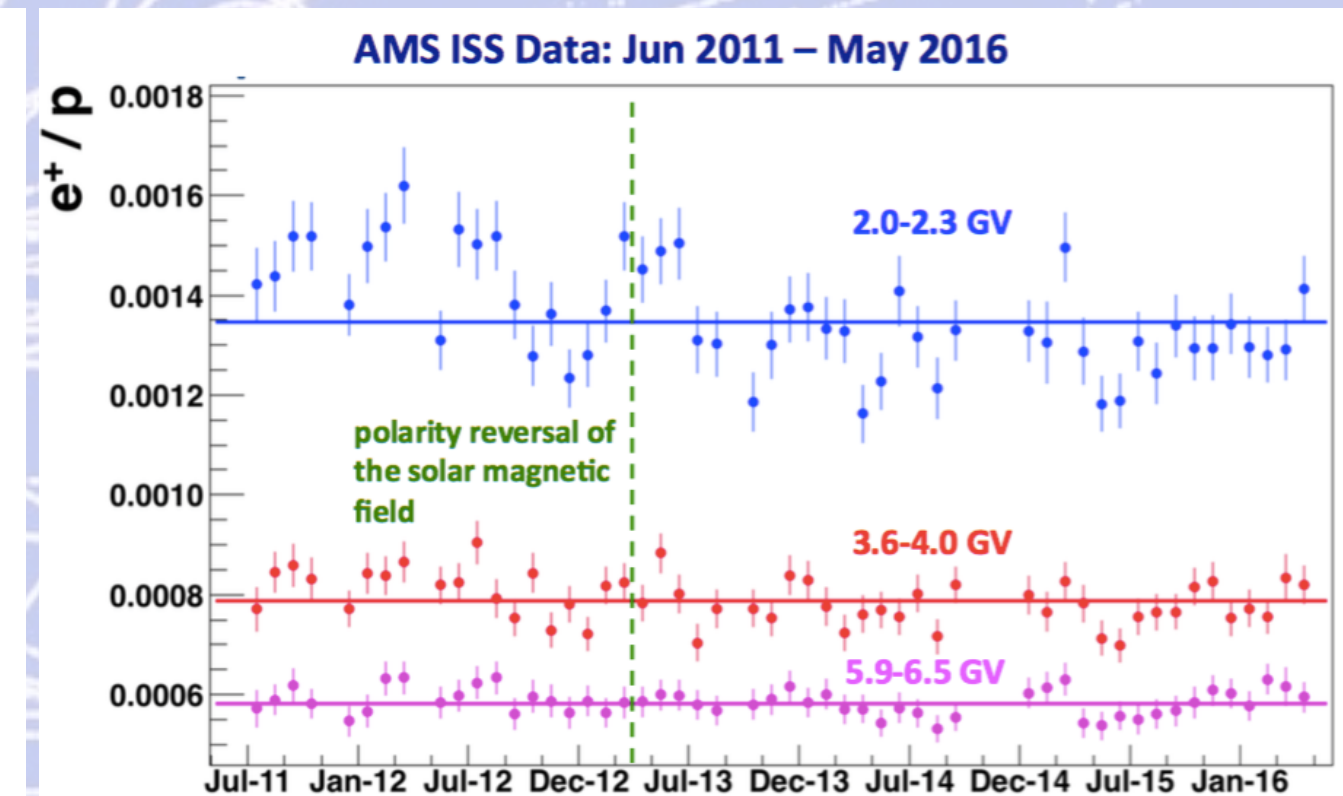
Multiple Measurements of Charge



Ciclo solare: inversione del campo magnetico solare



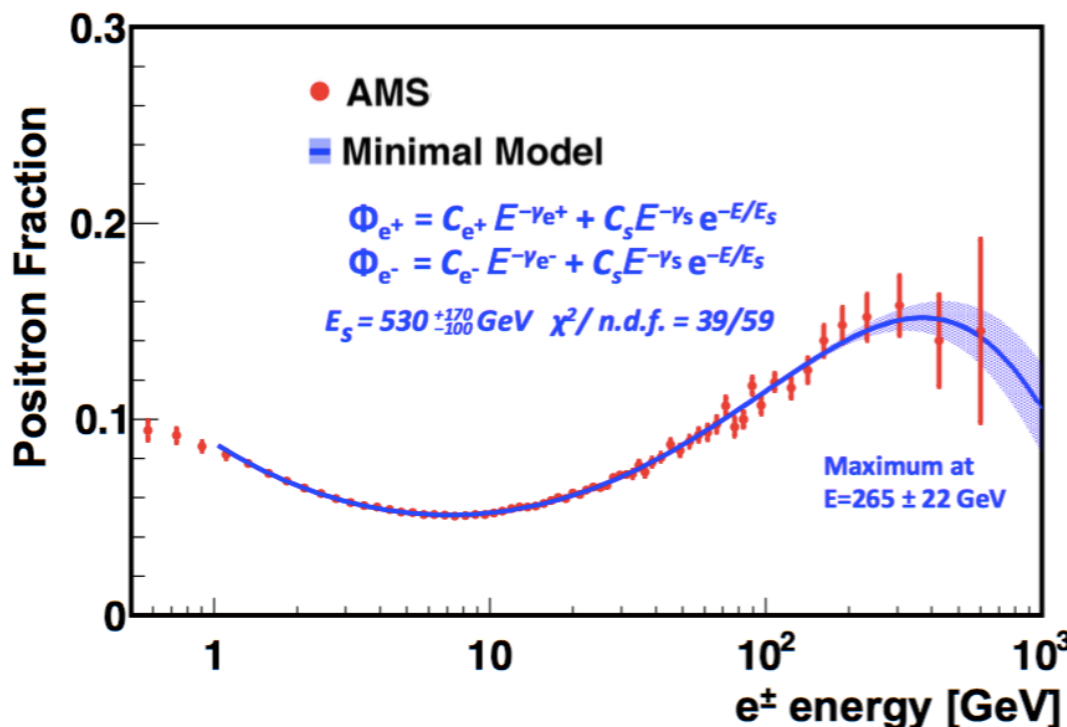
- After the reversal of the solar magnetic field in 03/2013 it takes (8 ± 1.5) month till this has a visible effect on the e^+/e^- ratio.
- It takes (21 ± 1) month to stabilize the e^+/e^- ratio again.



- The e^+/p ratio does not show large variations as a function of time.
- The full power of the AMS high precision data sets can only be explored after time dependent effects are extracted and the data can be used to constrain the local interstellar spectra.

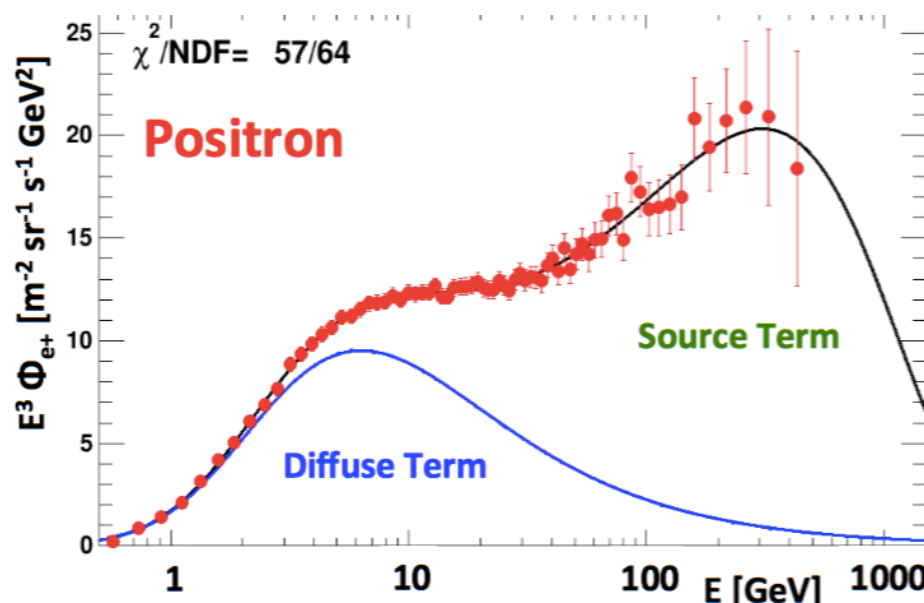
AMS ed il monitoraggio continuo intorno alla Terra

Additional source of positrons

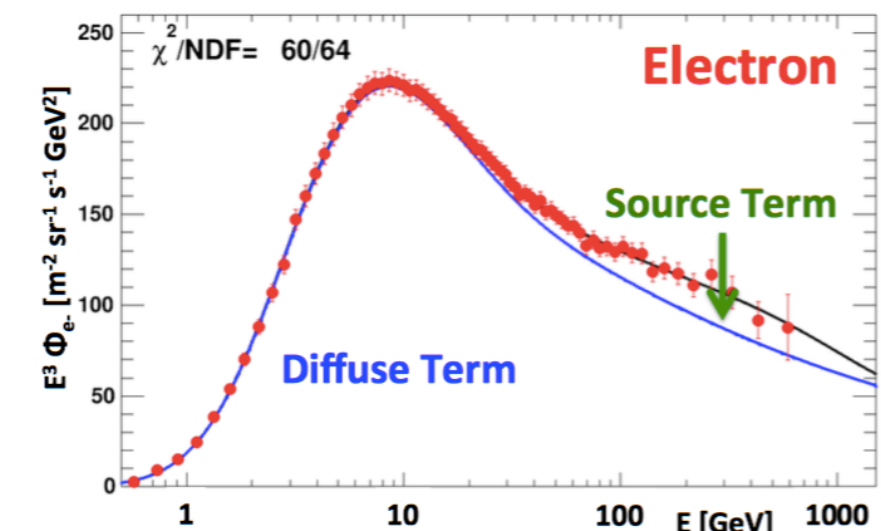


Positroni ed elettroni: lo spettro (1)

The Positron Flux has no sharp structures and is dominated at high energies by the source term.



The source term parameters are constrained from the positron flux fit.



The Electron Flux

- has no sharp structures and is dominated by the diffuse term.
- is consistent with a charge symmetric source term.

The spectral index of the diffuse term has to become energy dependent:

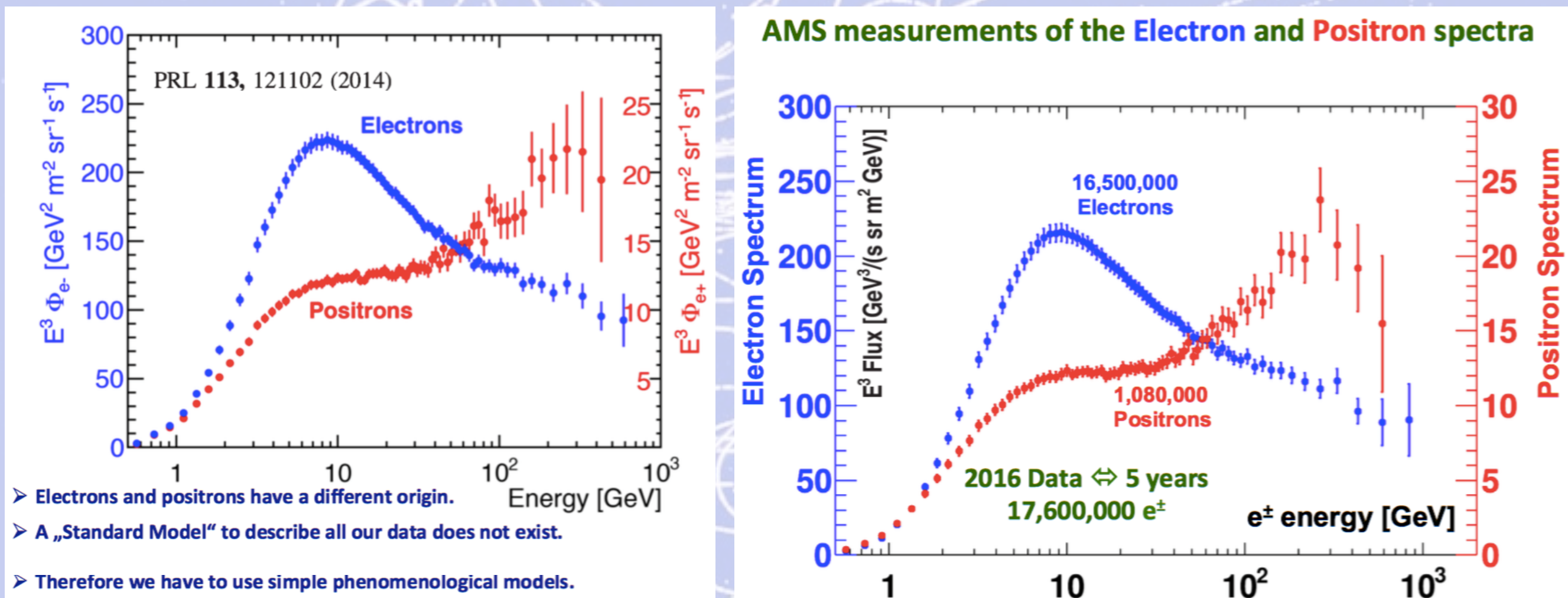
$$\Phi_{e-}(E) = \frac{E^2}{\hat{E}^2} \left[C_{e-} \hat{E}^{\gamma_{e-}(\hat{E})} + C_s \hat{E}^{\gamma_s} \exp(-\hat{E}/E_s) \right]$$

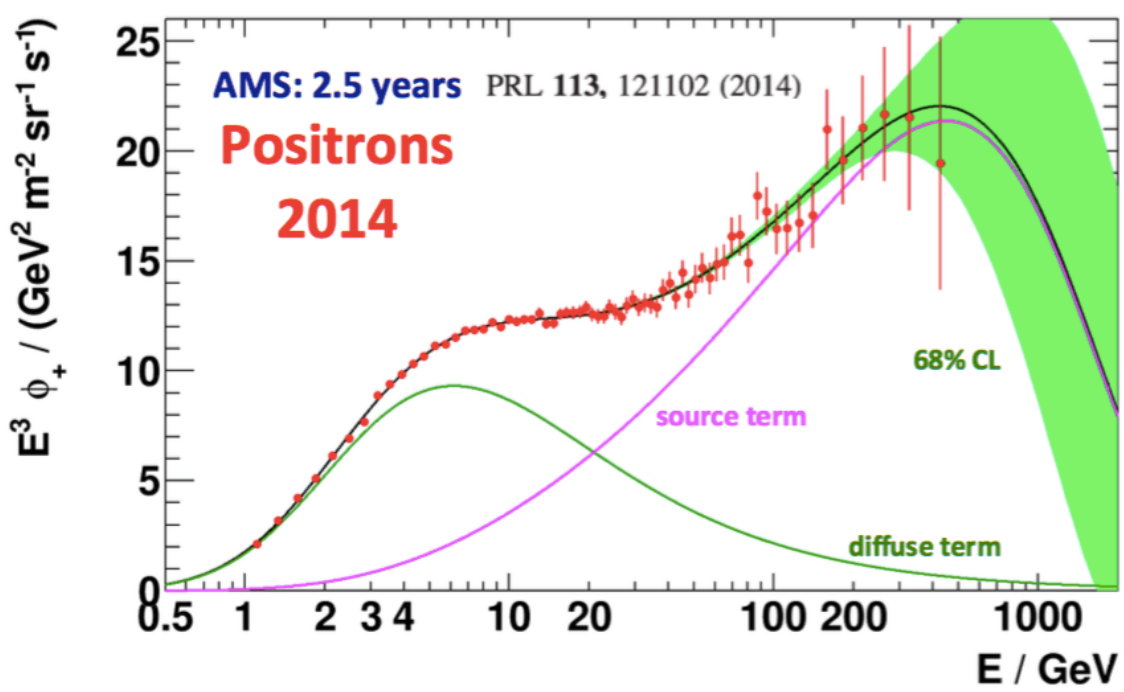
The source term parameters are constrained from the positron flux fit.

$$\Phi_{e+}(E) = \frac{E^2}{\hat{E}^2} \left[C_{e+} \hat{E}^{\gamma_{e+}} + C_s \hat{E}^{\gamma_s} \exp(-\hat{E}/E_s) \right] \text{ with } E_s = 530 \text{ GeV from the } e^+/(e^+ + e^-) \text{ fit}$$

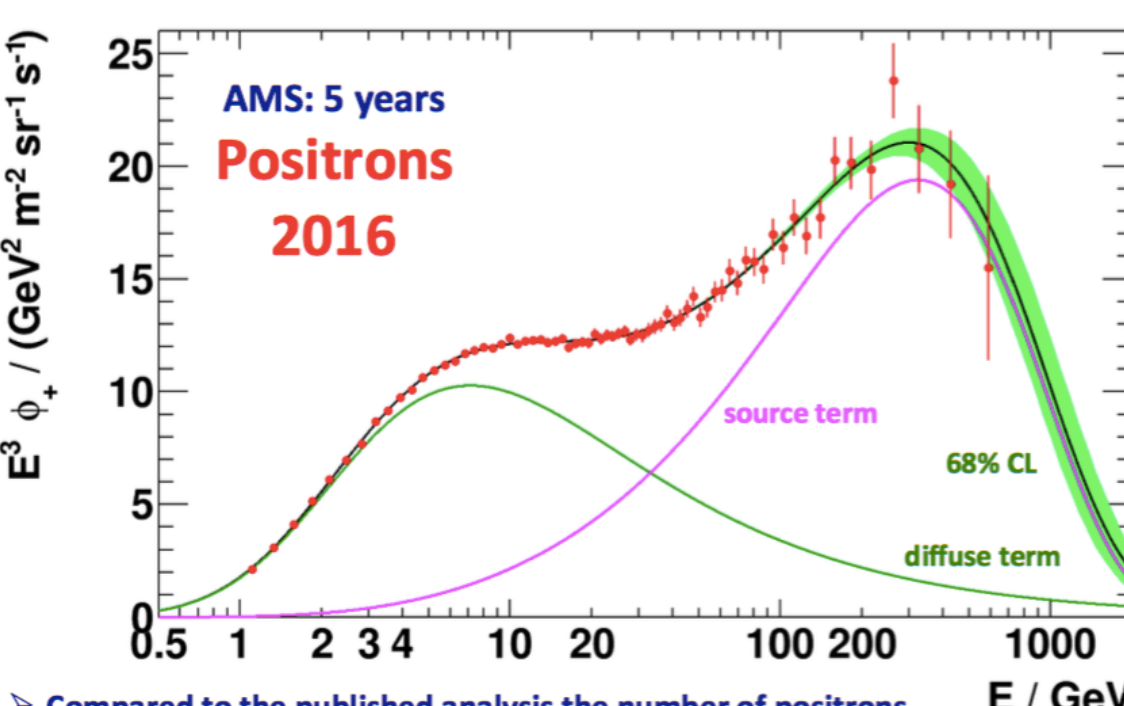
and $\hat{E} = E + \Psi$ as the energy scale of the LIS

Positroni ed elettroni: lo spettro (3)



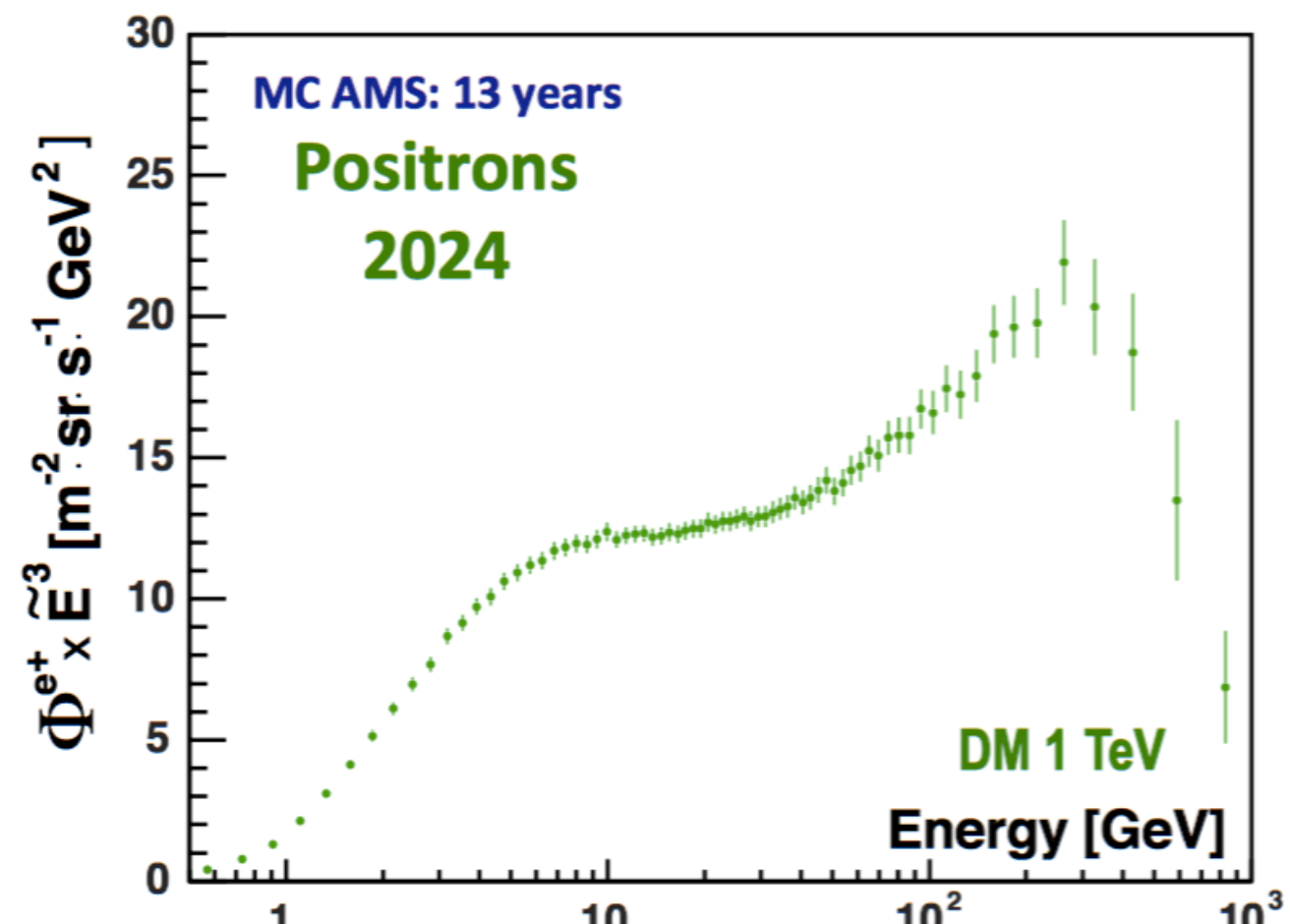


- The AMS measurements are dominated by statistical errors for $E > 50$ GeV.
- The energy range is limited up to 500 GeV.
- The significance of the energy cutoff in the source term is at the level of 2σ .



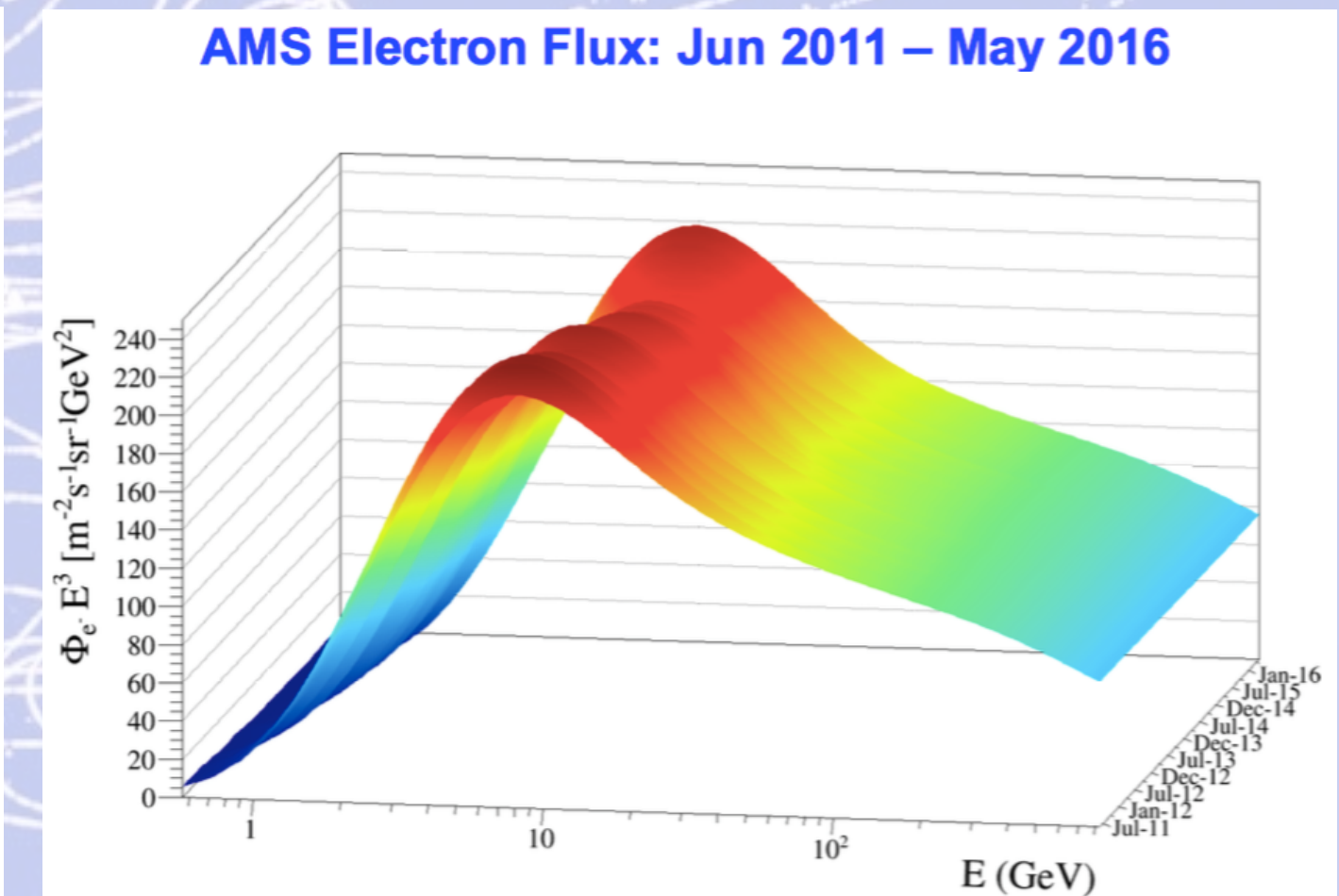
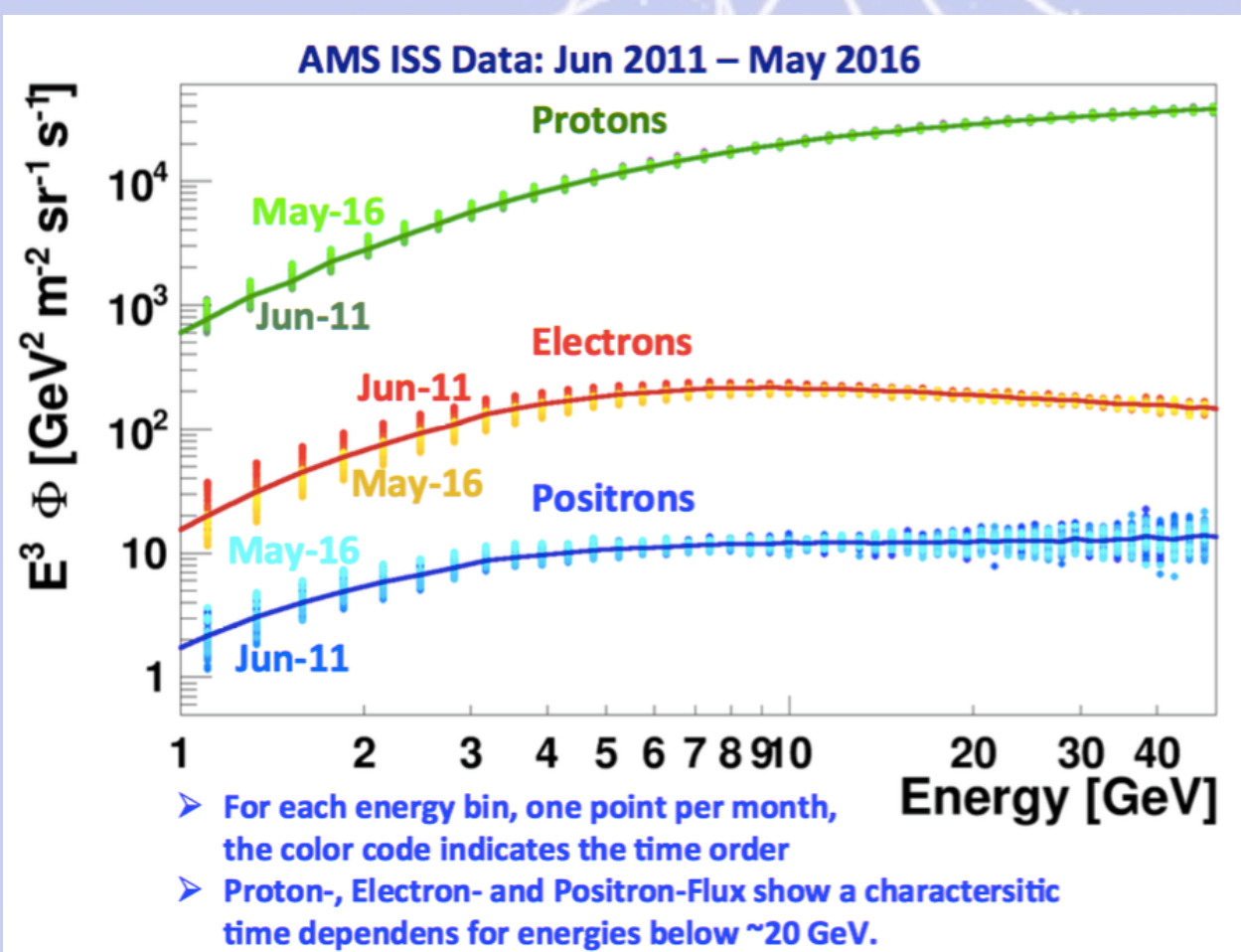
- Compared to the published analysis the number of positrons has been increased from 0.58 Million to 1.08 Million.
- The energy range has been extended up to 700 GeV.
- The significance of the energy cutoff of the source term has increased to 3σ .

Positroni: dati e previsioni

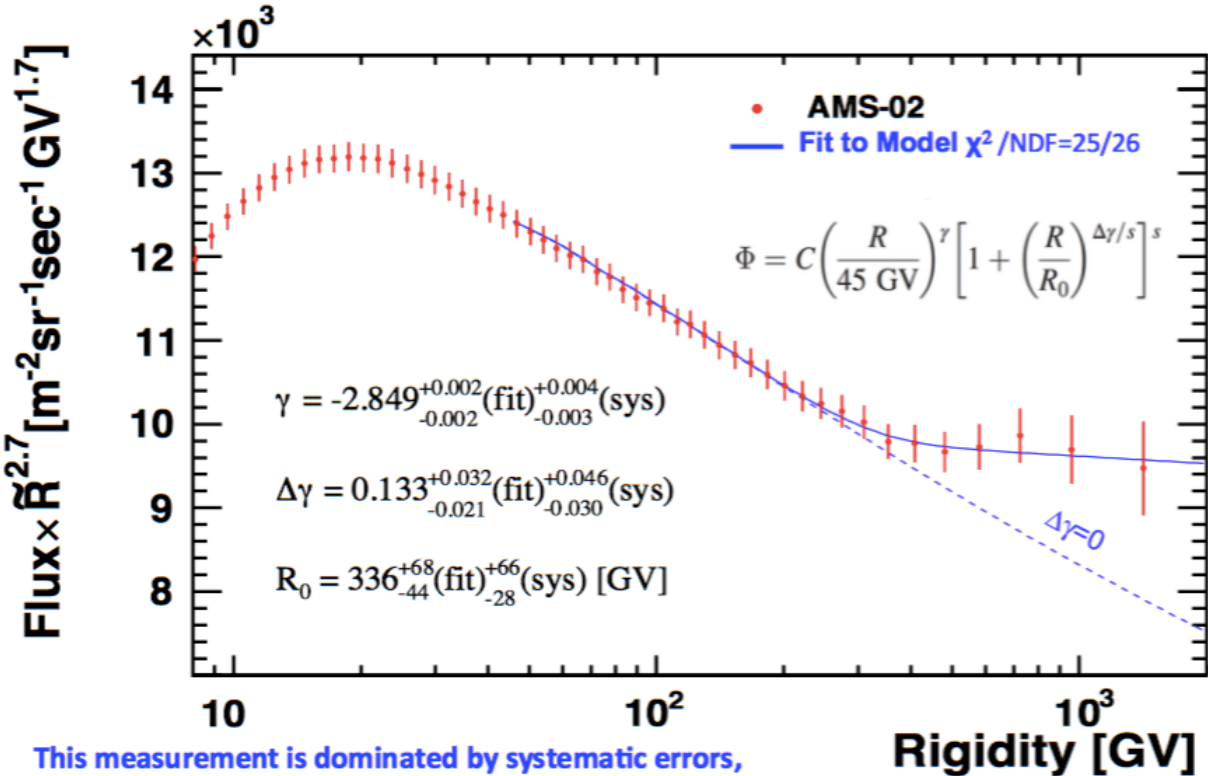


- The significance of the energy cutoff of the source term will have increased by 2024 to $> 5\sigma$.

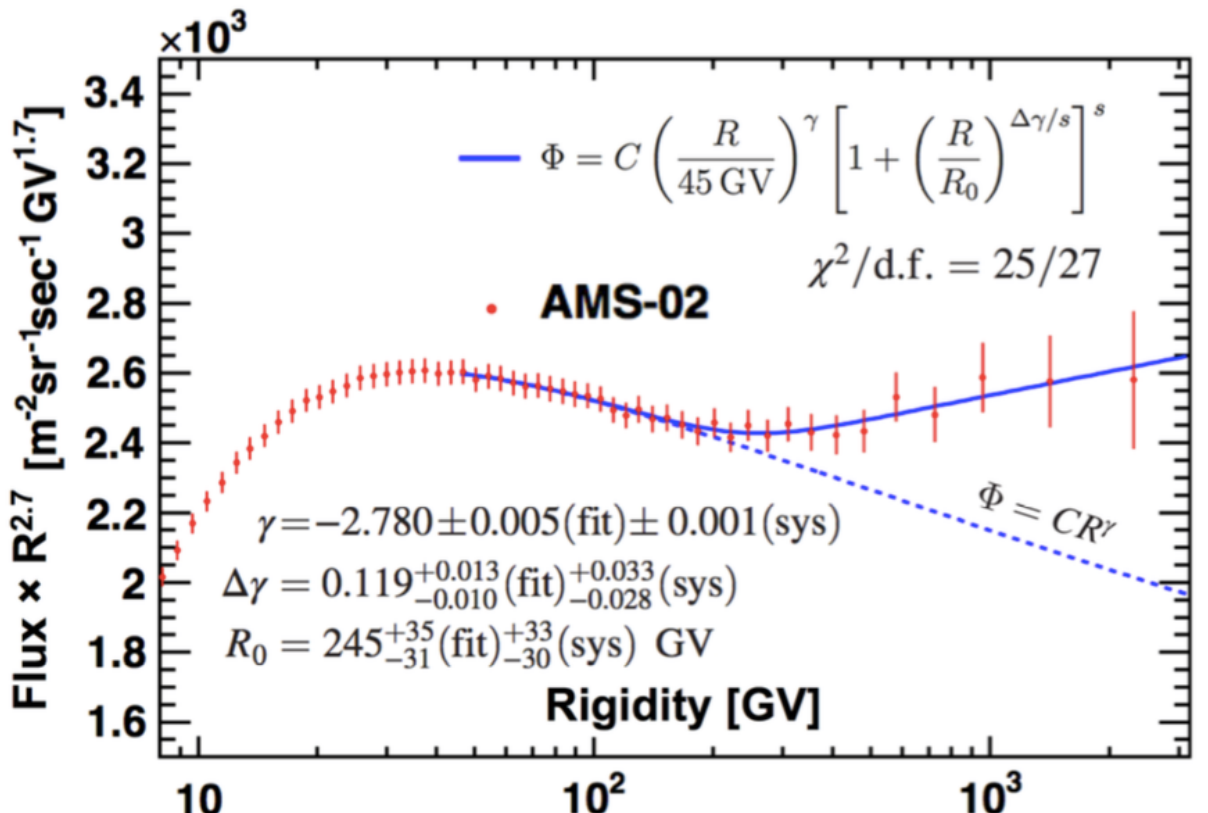
Positroni, elettroni e protoni: segnale e fondo



It was expected that the proton flux could be described with a single power law with spectral index $\gamma=-2.7$.

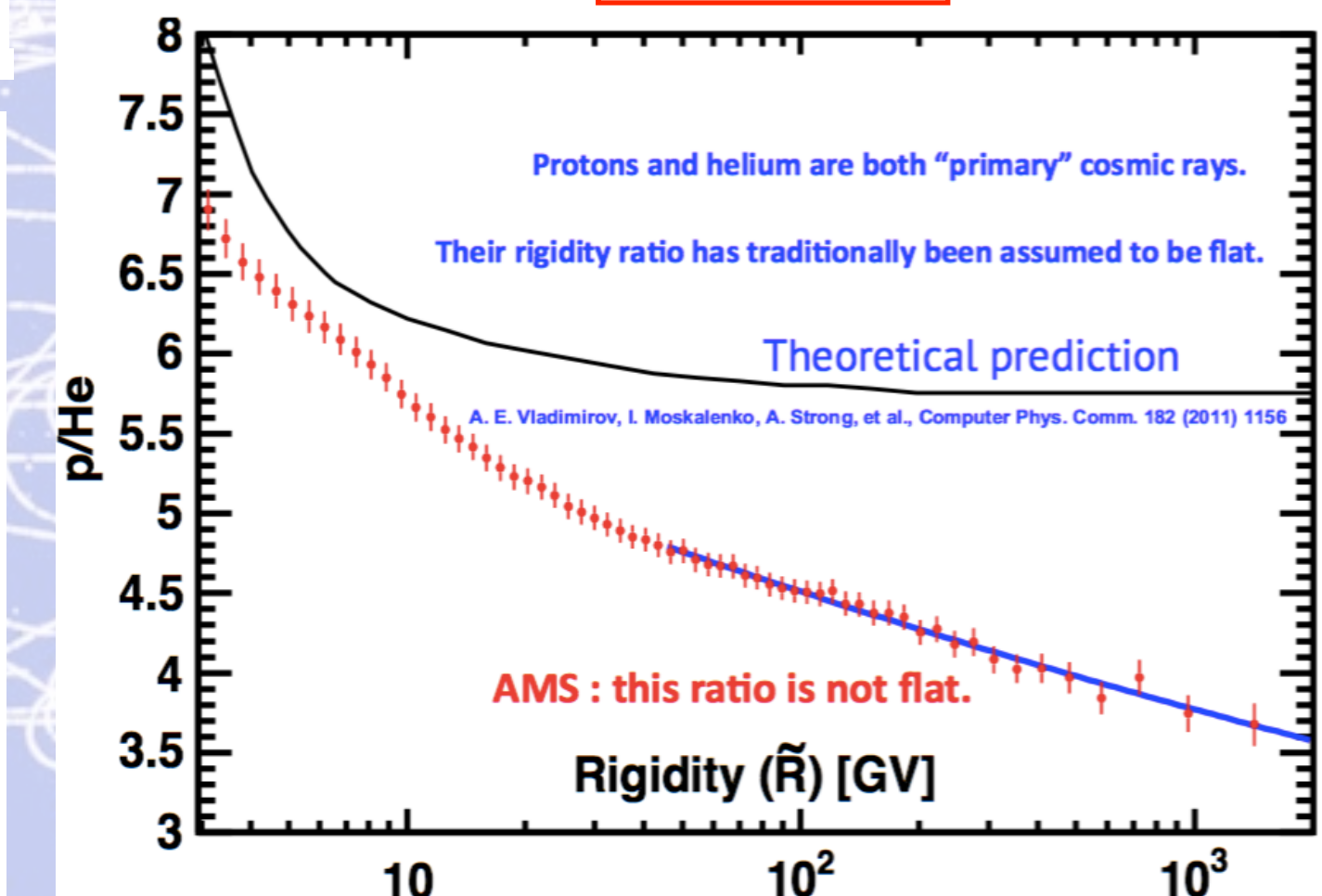


It was expected that the He flux could be described with a single power law with spectral index $\gamma=-2.7$.

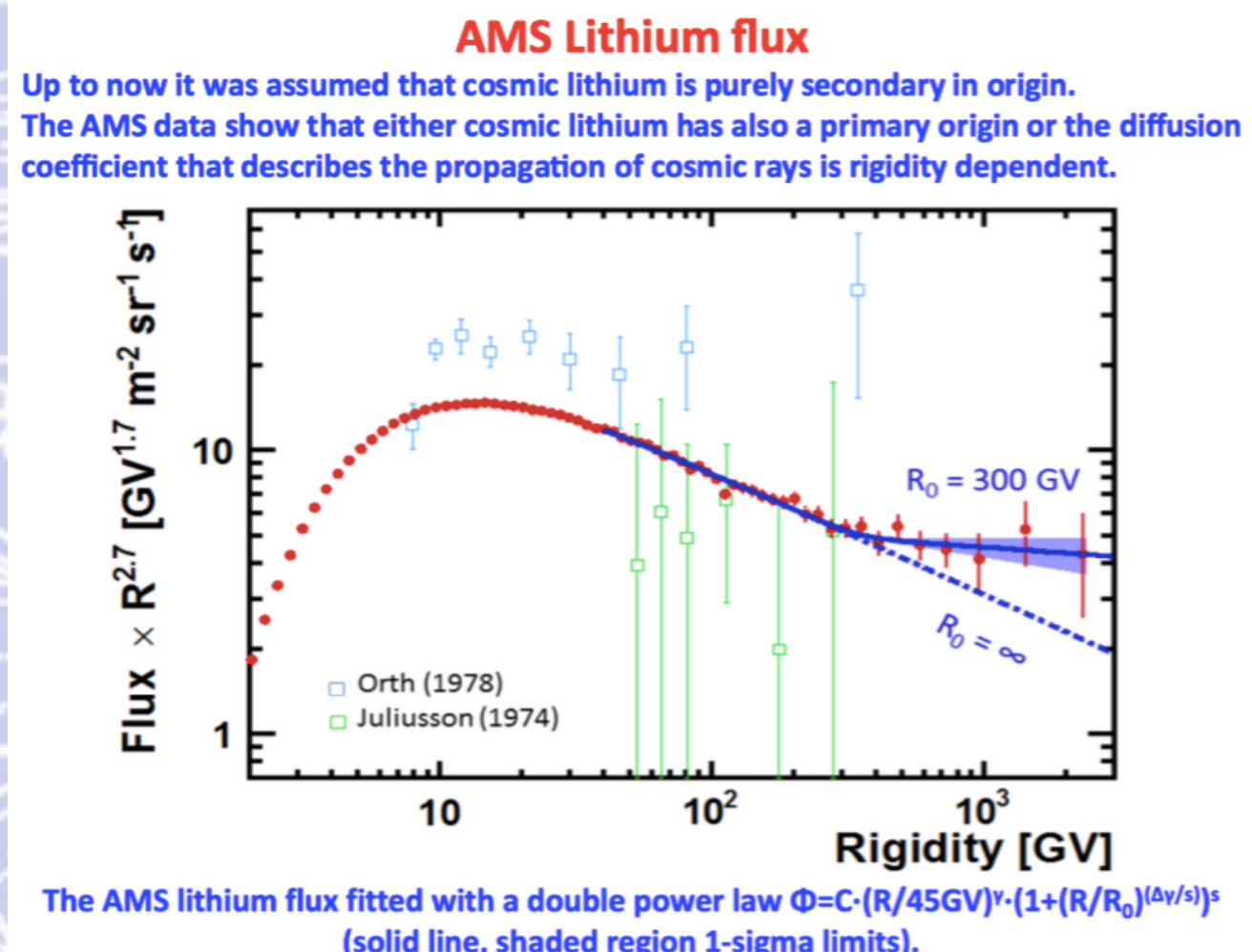
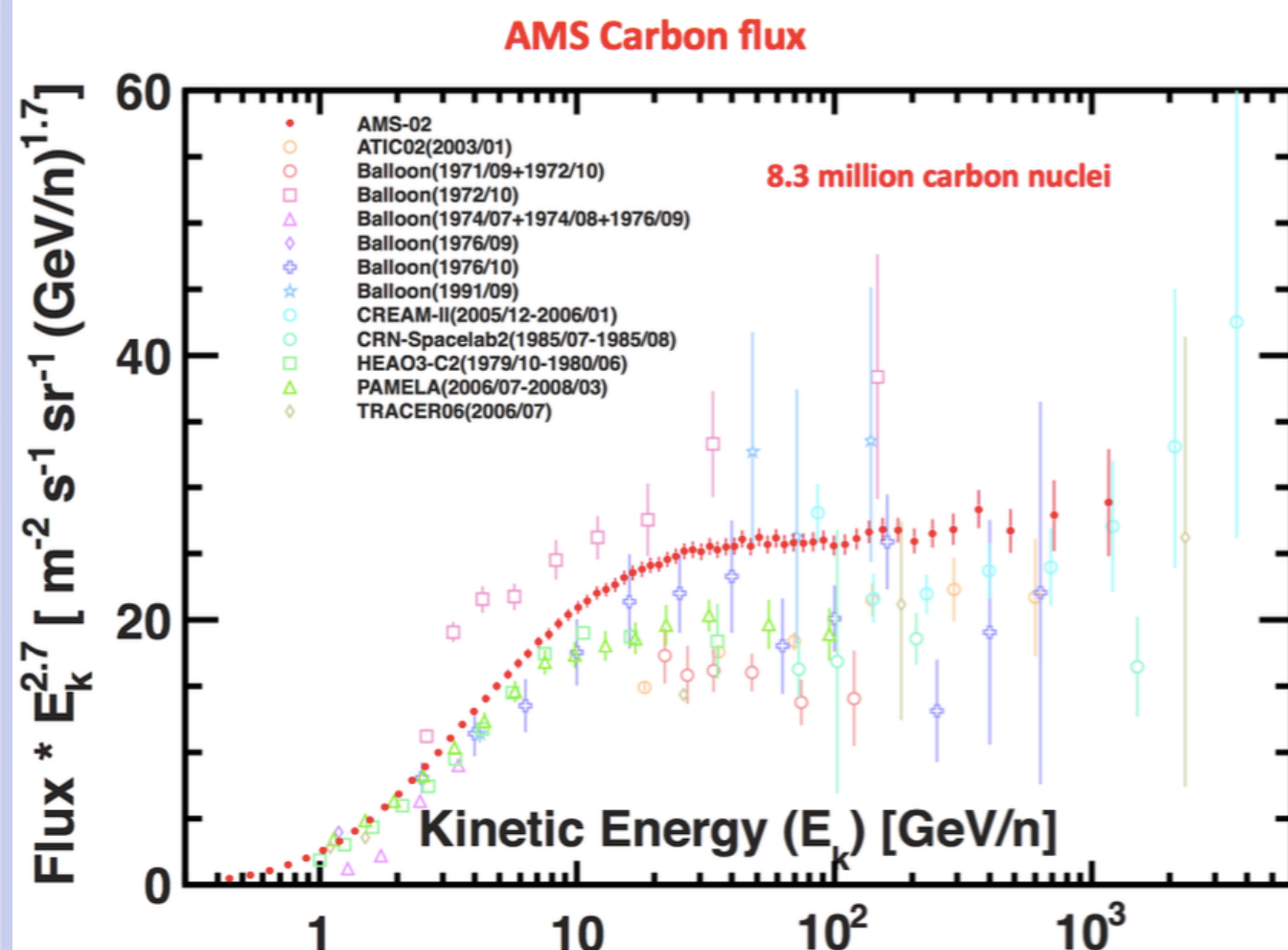


Protoni ed elio: flusso

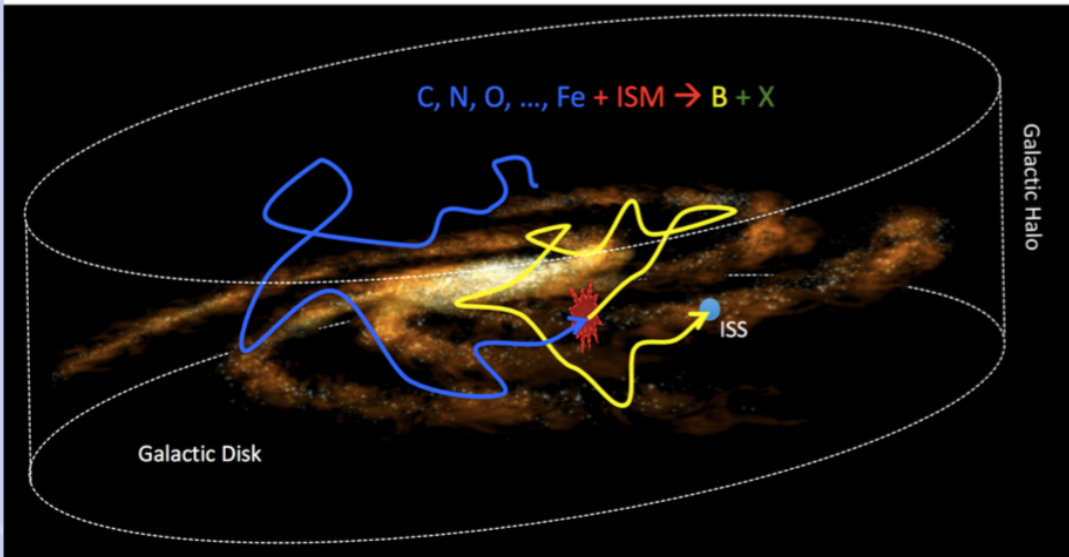
The AMS proton/helium flux ratio



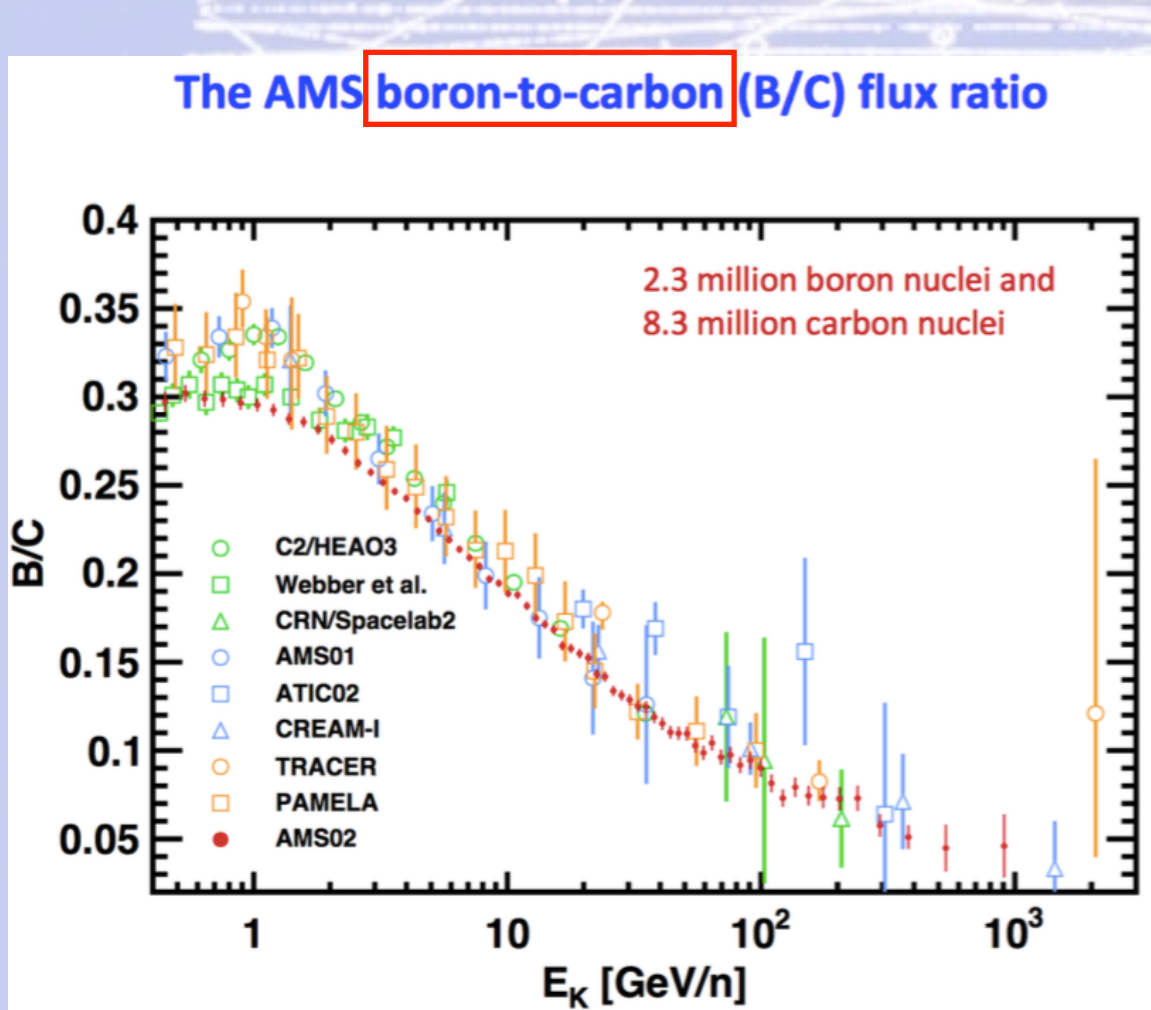
Carbonio e Litio: flusso



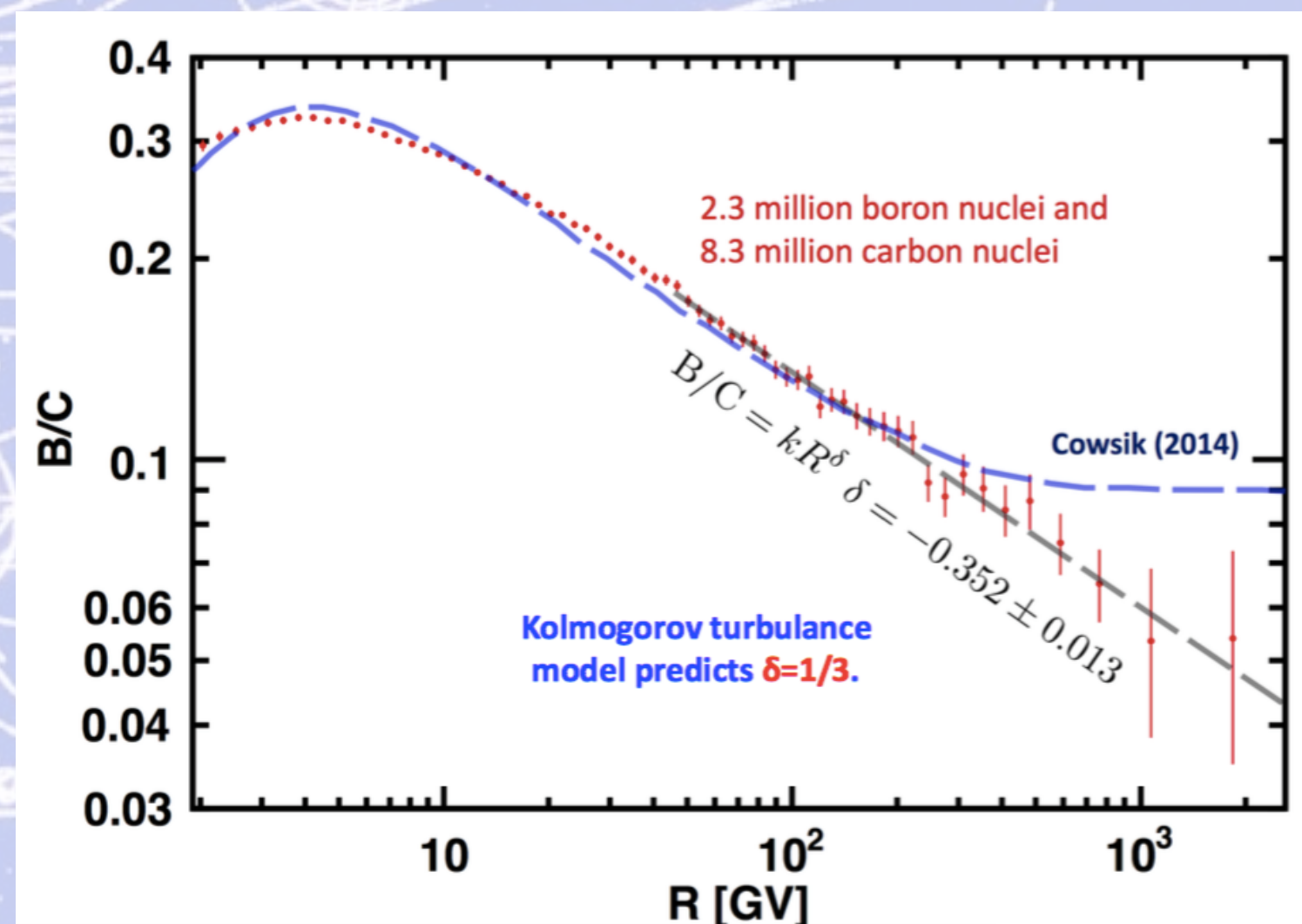
Flux Ratios: Boron/Carbon and cosmic ray propagation



The boron-to-carbon ratio (B/C) is important in the determination of cosmic ray propagation. Boron is assumed to be produced from the collision of primary cosmic rays, such as carbon (C), with the interstellar medium (ISM), hence the B/C ratio provides information on cosmic ray propagation.



Boro/Carbonio: dati e previsioni

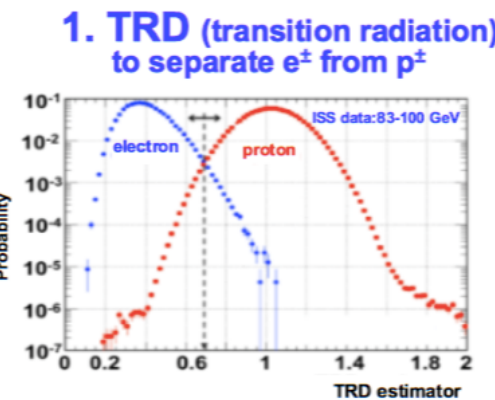
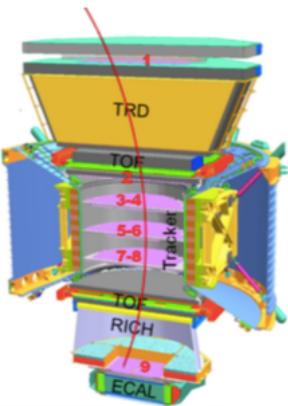


(Dettagli sui modelli teorici in appendice 6)

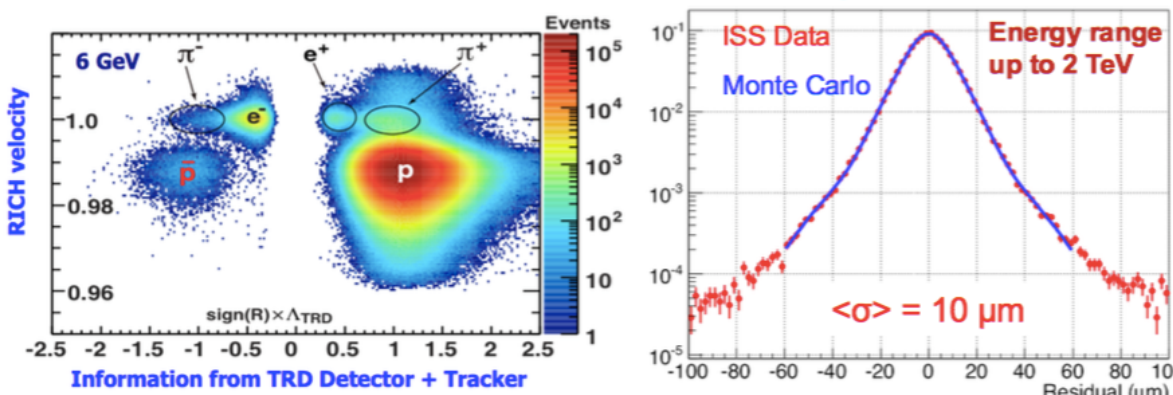
Protoni ed antiprotoni

Antiproton analysis

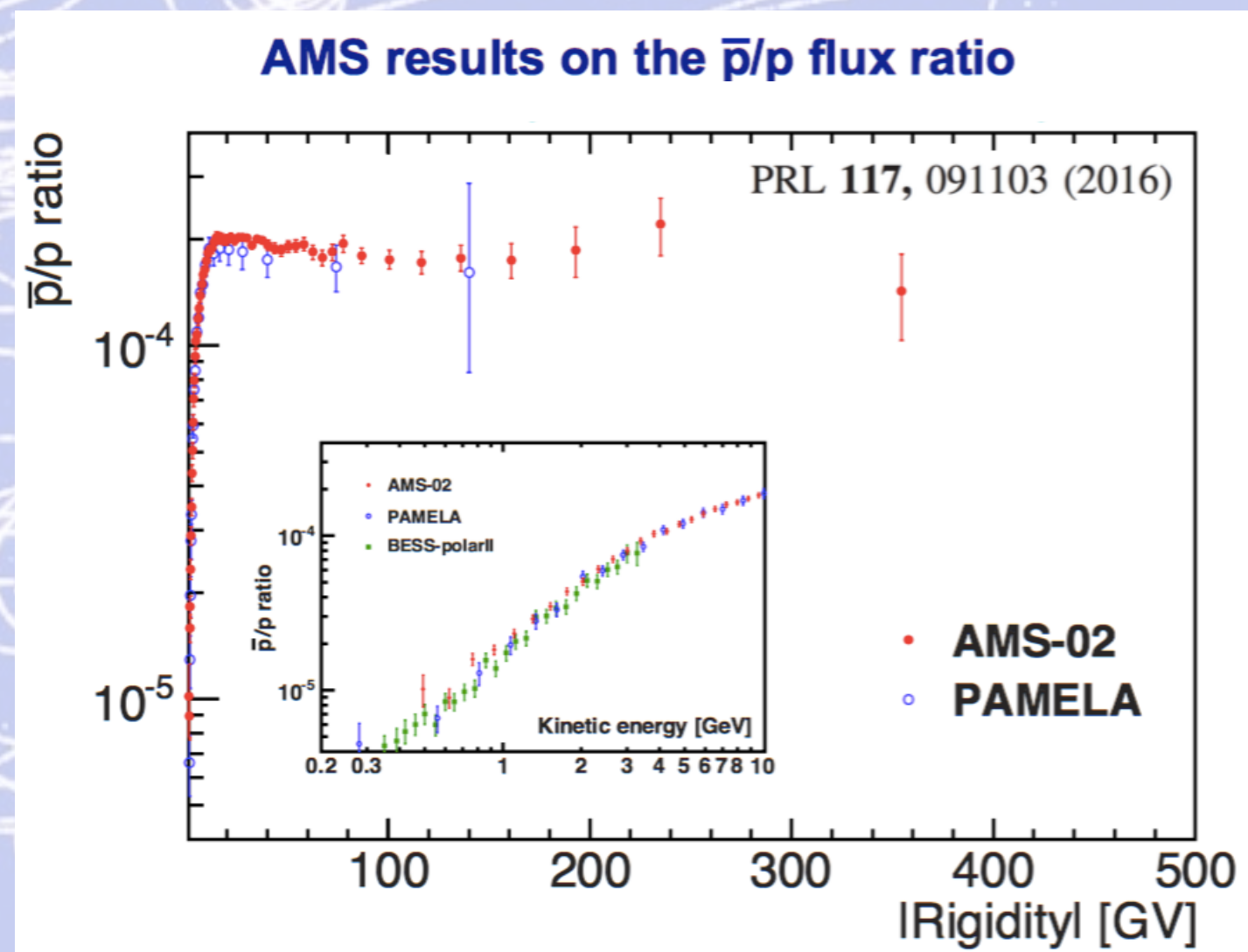
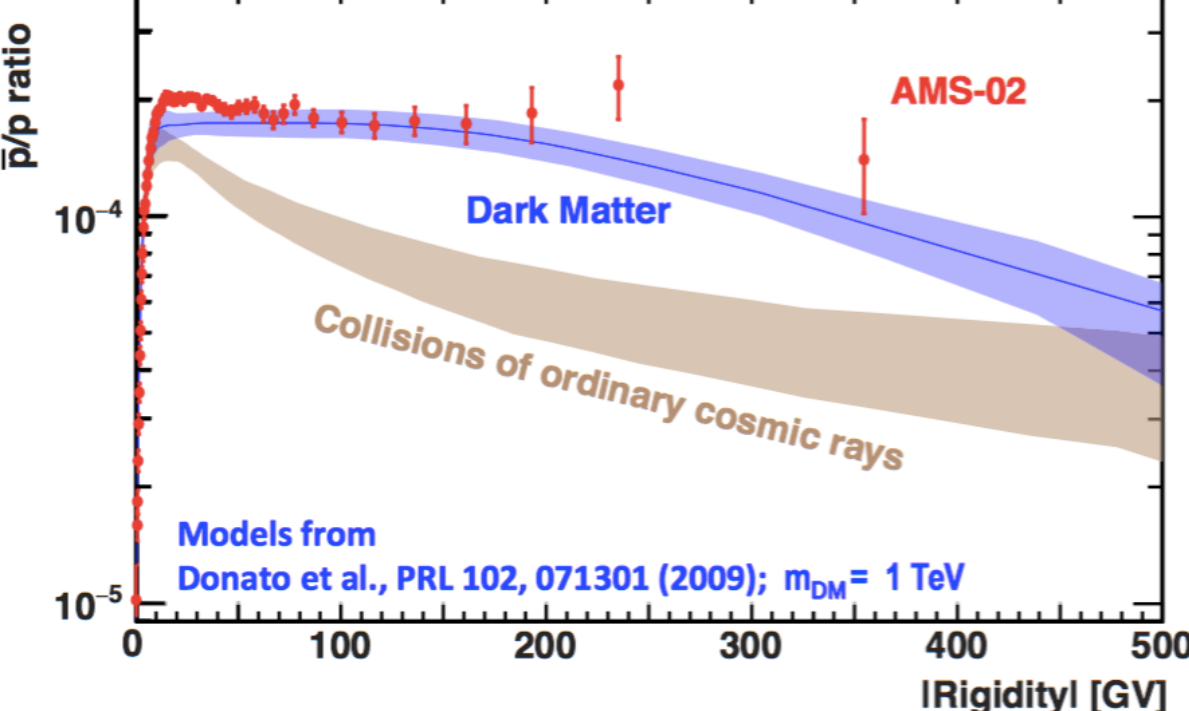
$6.5 \cdot 10^{10}$ cosmic rays
 $3.49 \cdot 10^5$ antiprotons
 $2.42 \cdot 10^9$ protons



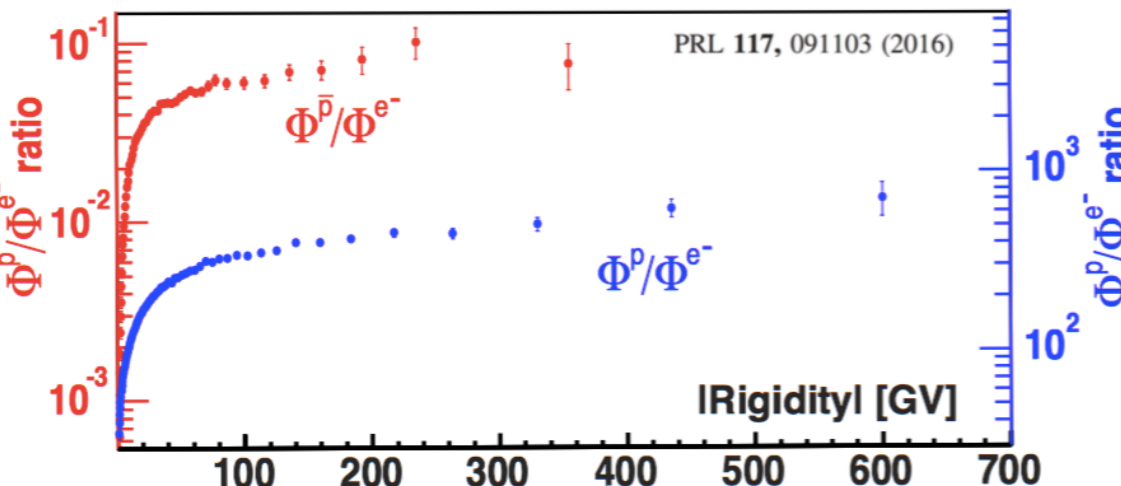
3. RICH measures velocity,



AMS \bar{p}/p results and modeling

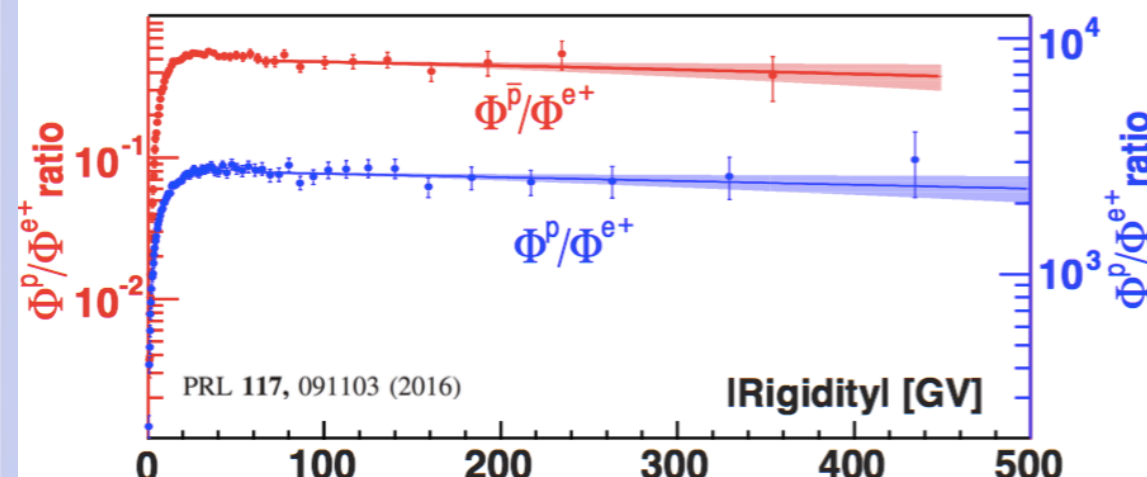


Flux Ratios \bar{p}/e^- and p/e^- are **not energy independent in the interval 60–450 GV**



As expected: significant energy losses of e^- due to synchrotron radiation

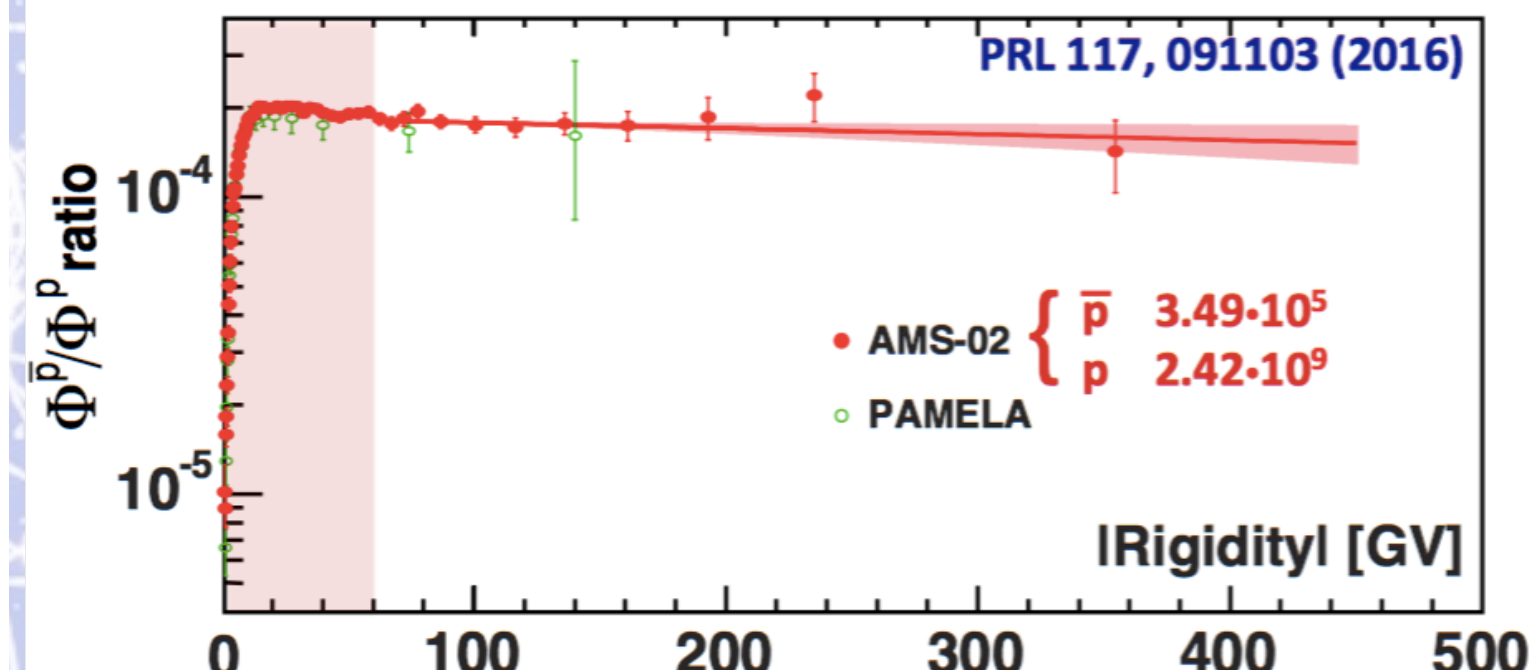
Flux Ratios \bar{p}/e^+ and p/e^+ are also energy independent in the interval 60–450 GV



Dipendenza energetica dei flussi

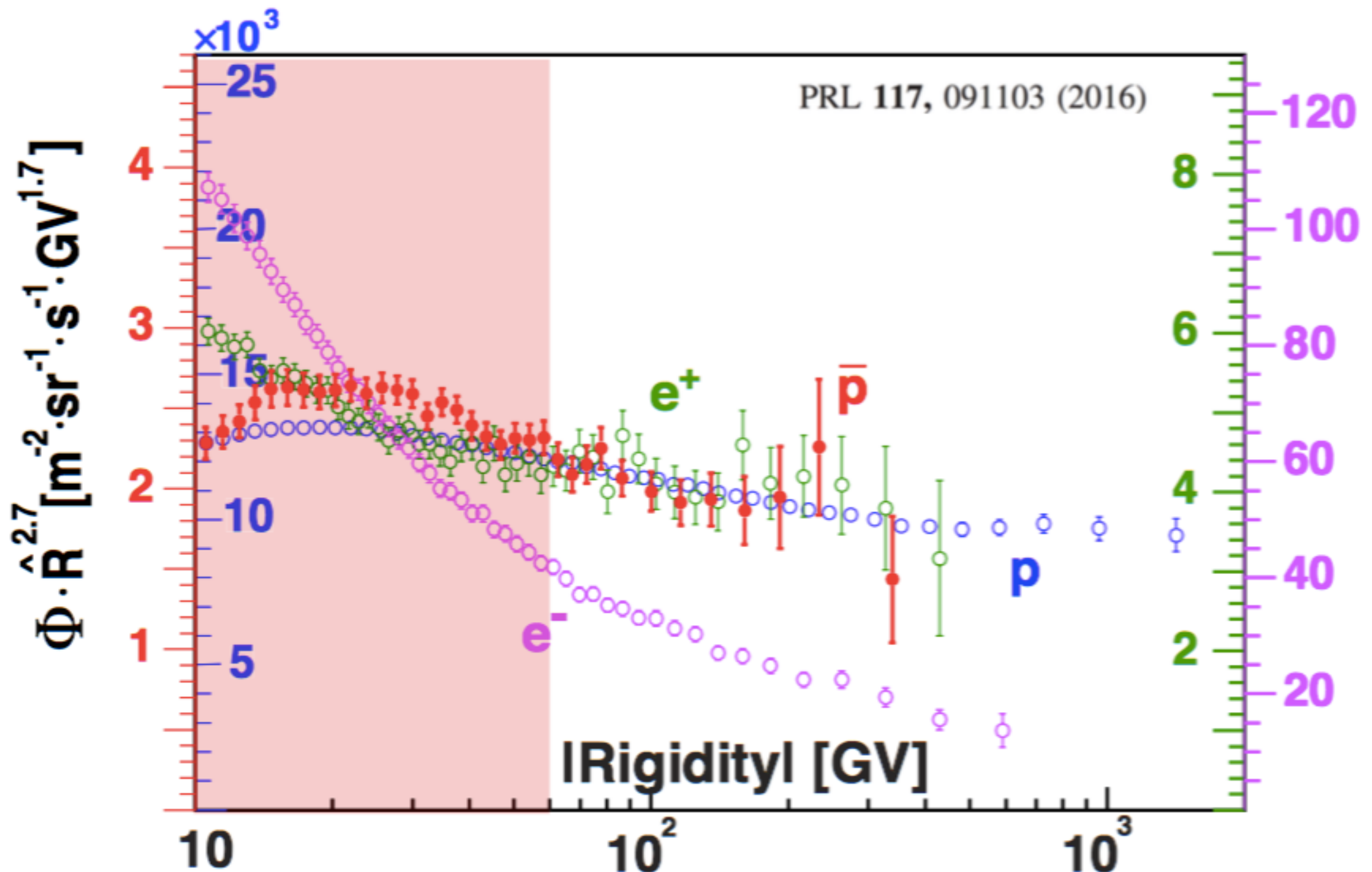
Unexpected Result

Flux Ratio of Elementary Particles \bar{p}/p is energy independent above 60 GeV



Summary

AMS results on the fluxes of elementary particles



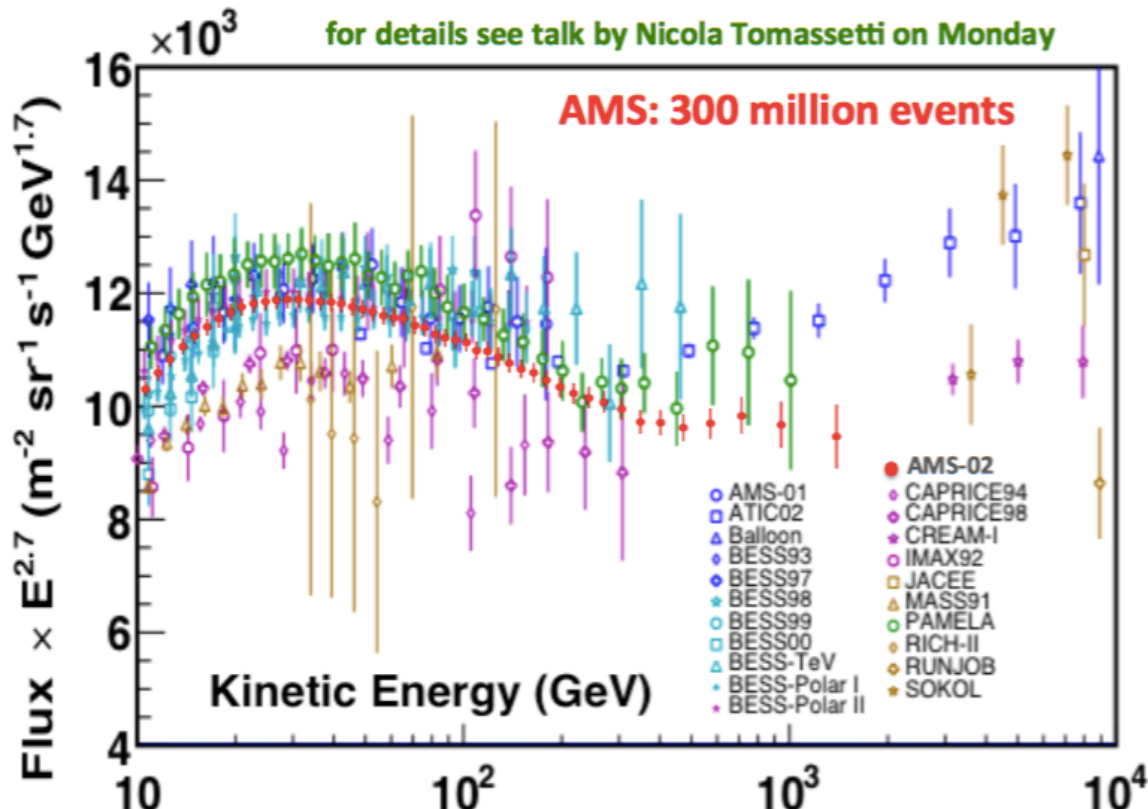
Alcune pubblicazioni: protoni ed elio (2015)

PRL 114, 171103 (2015)

PHYSICAL REVIEW LETTERS

week ending
1 MAY 2015

Precision Measurement of the Proton Flux in Primary Cosmic Rays from Rigidity 1 GV to 1.8 TV with the Alpha Magnetic Spectrometer on the International Space Station

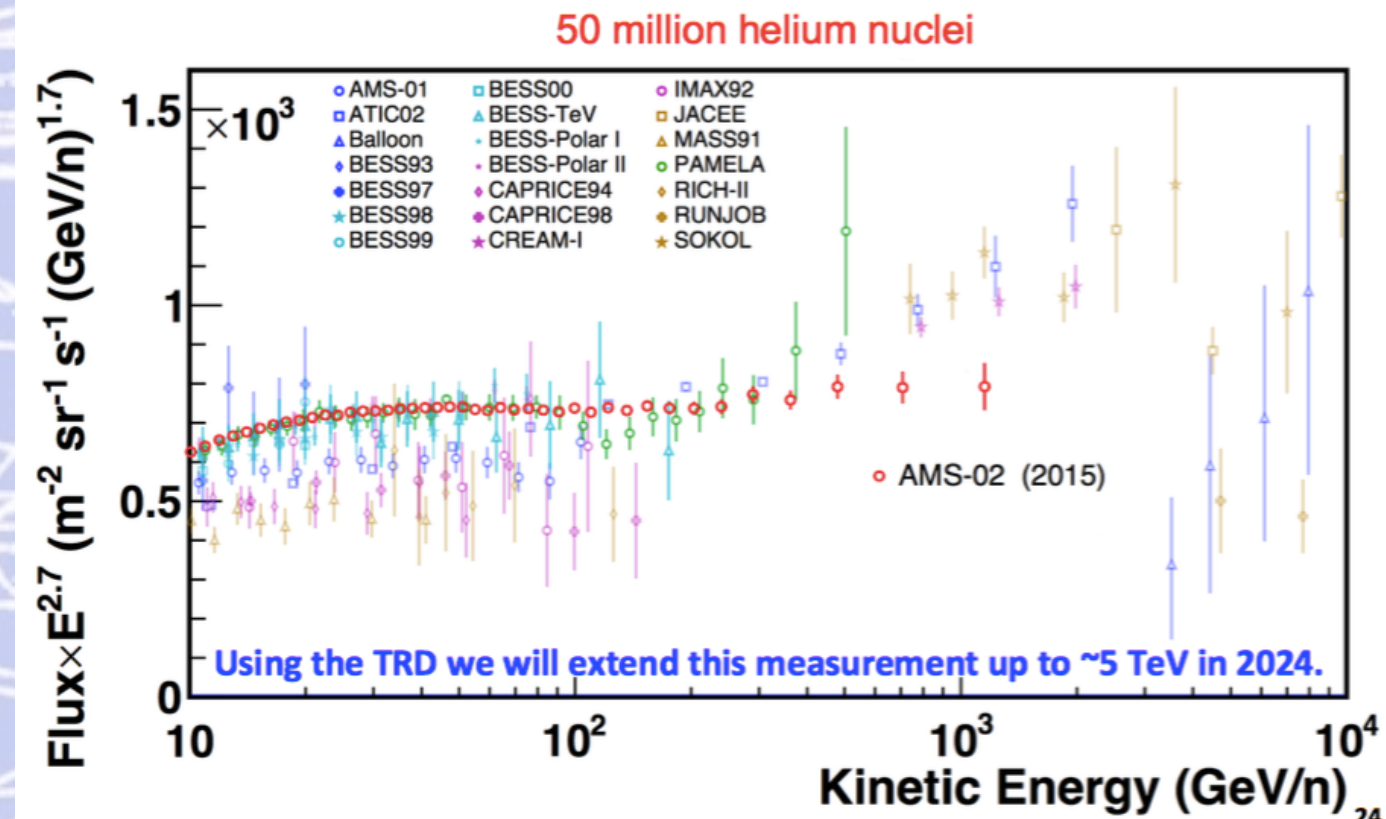


PRL 115, 211101 (2015)

PHYSICAL REVIEW LETTERS

week ending
20 NOVEMBER 2015

Precision Measurement of the Helium Flux in Primary Cosmic Rays of Rigidities 1.9 GV to 3 TV with the Alpha Magnetic Spectrometer on the International Space Station



L'Universo e' il vero laboratorio !

I raggi cosmici sono accelerati ad energie enormemente maggiori di quelle raggiungibili da un qualsiasi dispositivo umano.



L'obiettivo principale di AMS e' di investigare l'ignoto, ricercare fenomeni naturali che non abbiamo ancora immaginato o per i quali non abbiamo ancora sviluppato i mezzi per riprodurli e capirli.



**Questa, percio', non e' la fine della storia!
Siamo solo all'inizio dei
“*Tempi Moderni*”**

Grazie!

Ringraziamenti;
**A. Kounine, V. Kudryavtsev,
D. Rapin, P. Salati,
S. Schael, G. Servant**

Appendice 1

(I rivelatori di AMS-02)

Link utili:

Generalita':

<http://math.ucr.edu/home/baez/physics/>

<http://home.web.cern.ch/topics>

<https://cds.cern.ch/collection/Videos> (*cercare poi l'argomento specifico in "search"*)

<http://www.windows2universe.org/>

<http://www.cernland.net/>

Astroparticelle:

<http://www.astroparticelle.it/>

<http://www.aspera-eu.org/>

Raggi Cosmici:

<http://scienzagiovane.unibo.it/100RC.html>

<http://scienzagiovane.unibo.it/100RC/2/AlbumFoto-IIF.html>

<http://scienzagiovane.unibo.it/100RC/3/AlbumFoto-IIIIF.html>

<http://www.palazzosomeda.it/Osservatorio/Raggicosmicheattivitsolare.htm>

Materia Oscura:

http://www.ge.infn.it/~pesce/research/dm_tesina.pdf

<http://ned.ipac.caltech.edu/level5/Bosma2/frames.html>

Antimateria:

http://www.nationalgeographic.it/scienza/spazio/2012/02/16/news/nell_antimateria_il_segreto_dell_energia_oscura_-855266/

http://planet.racine.ra.it/testi/mat_osc.htm

http://scienzapertutti.lnf.infn.it/index.php?option=com_content&view=article&id=7:materia-e-antimateria&catid=5&Itemid=79

<http://home.web.cern.ch/topics/antimatter/matter-antimatter-asymmetry-problem>

AMS e NASA:

<http://www.ams02.org/> (*in "Multimedia" ci sono filmati interessanti*)

<http://ams.nasa.gov/>

<http://www.ustream.tv/NASAHTDV> (*in "Videos" sono disponibili diversi filmati*)

Lavori didattici:

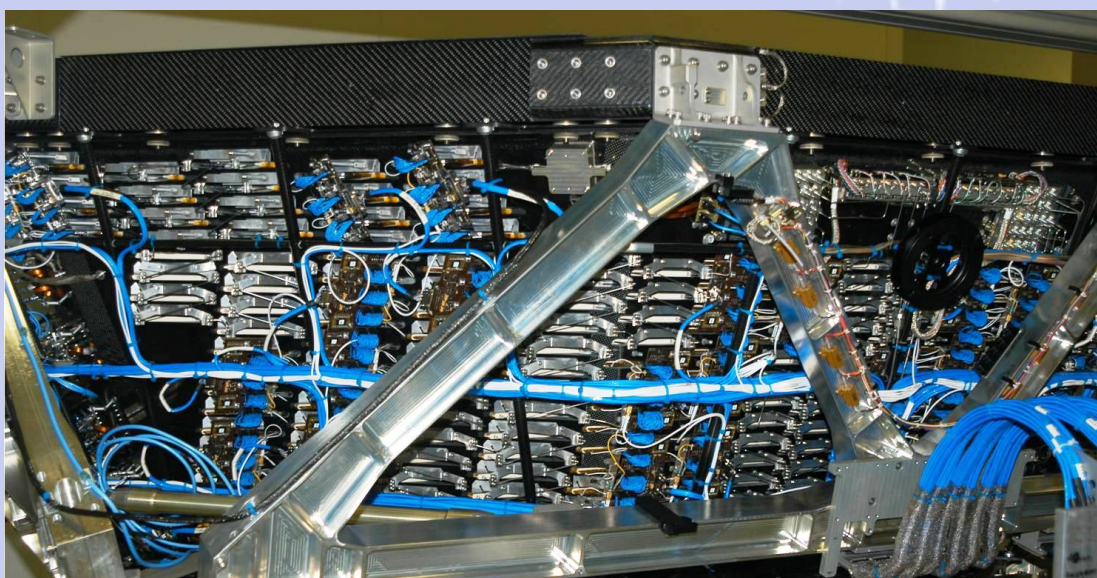
http://try.iprase.tn.it/old/in05net/upload/doc/libri/U1011t3n729_Raggi_cosmici.pdf

http://www.liceogioberti.it/didattica/prog_EEE_articoloCeresole.pdf

http://eee.centrofermi.it/component/k2/item/download/1_80cbadb159b503626a30e04b169f2372

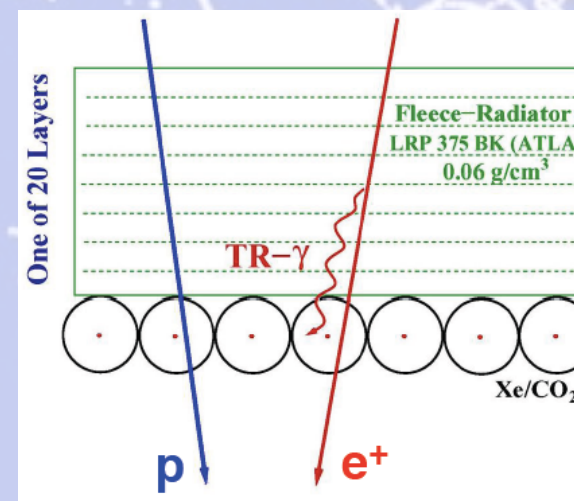
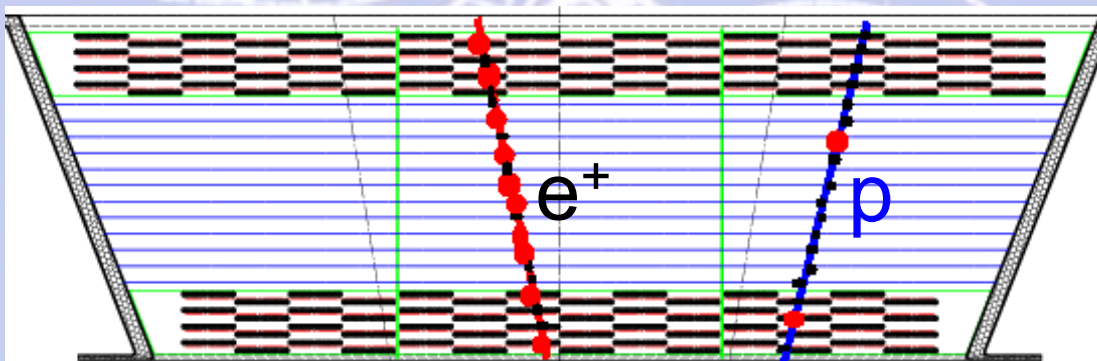
http://appunti.studentville.it/appunti/tesine-6/tesina_antimateria_realta_o_fantasia-3391.htm (*scaricare il file*)

Transition Radiation Detector (TRD)

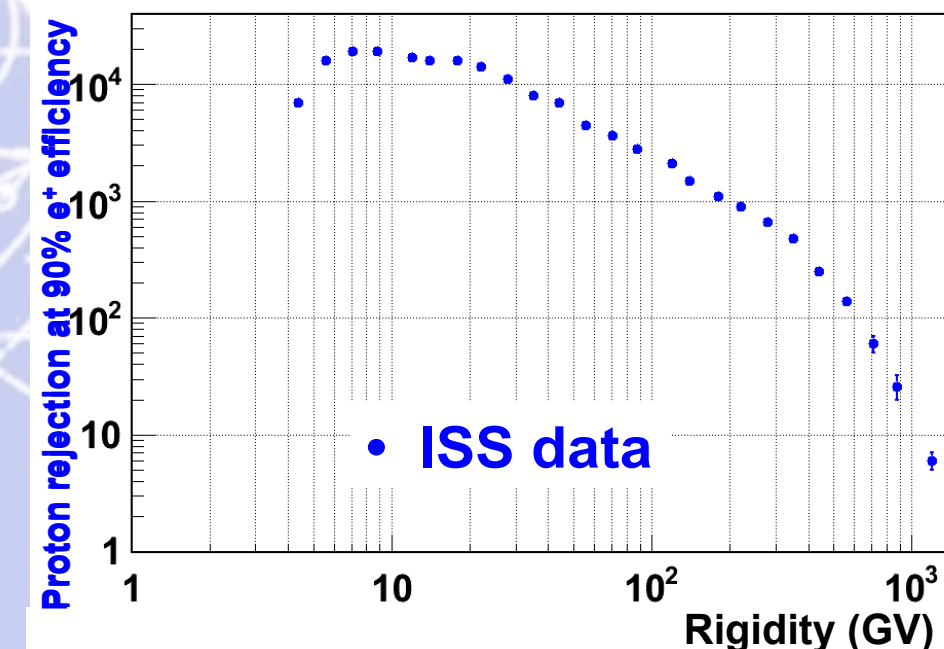
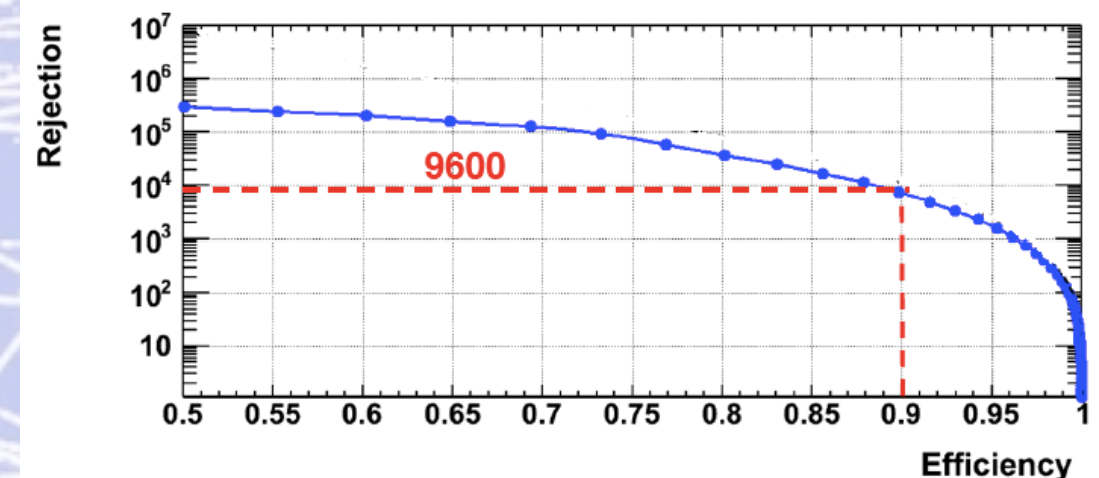
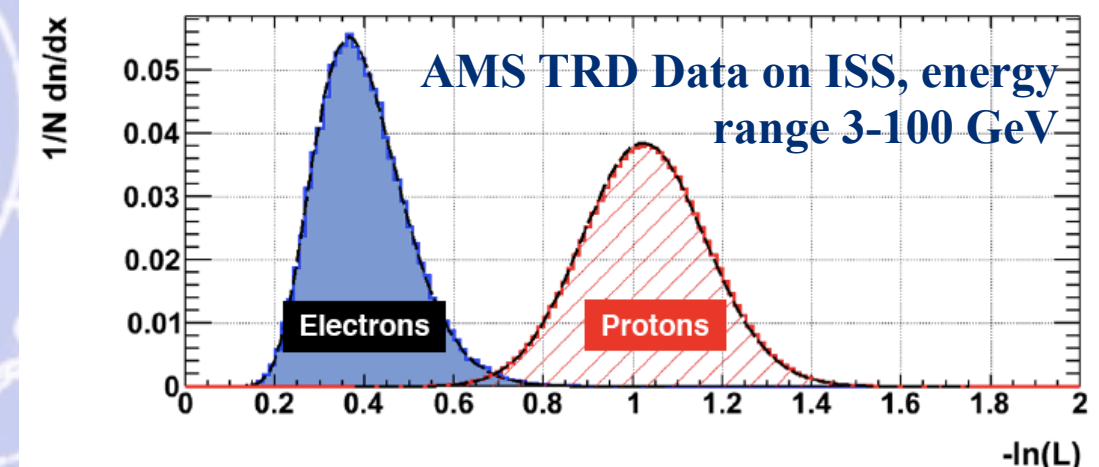


20 layers assembled in octagonal structure;
328 modules of fleece and straw tubes;
Gas mixture: 80% Xe – 20% CO₂;

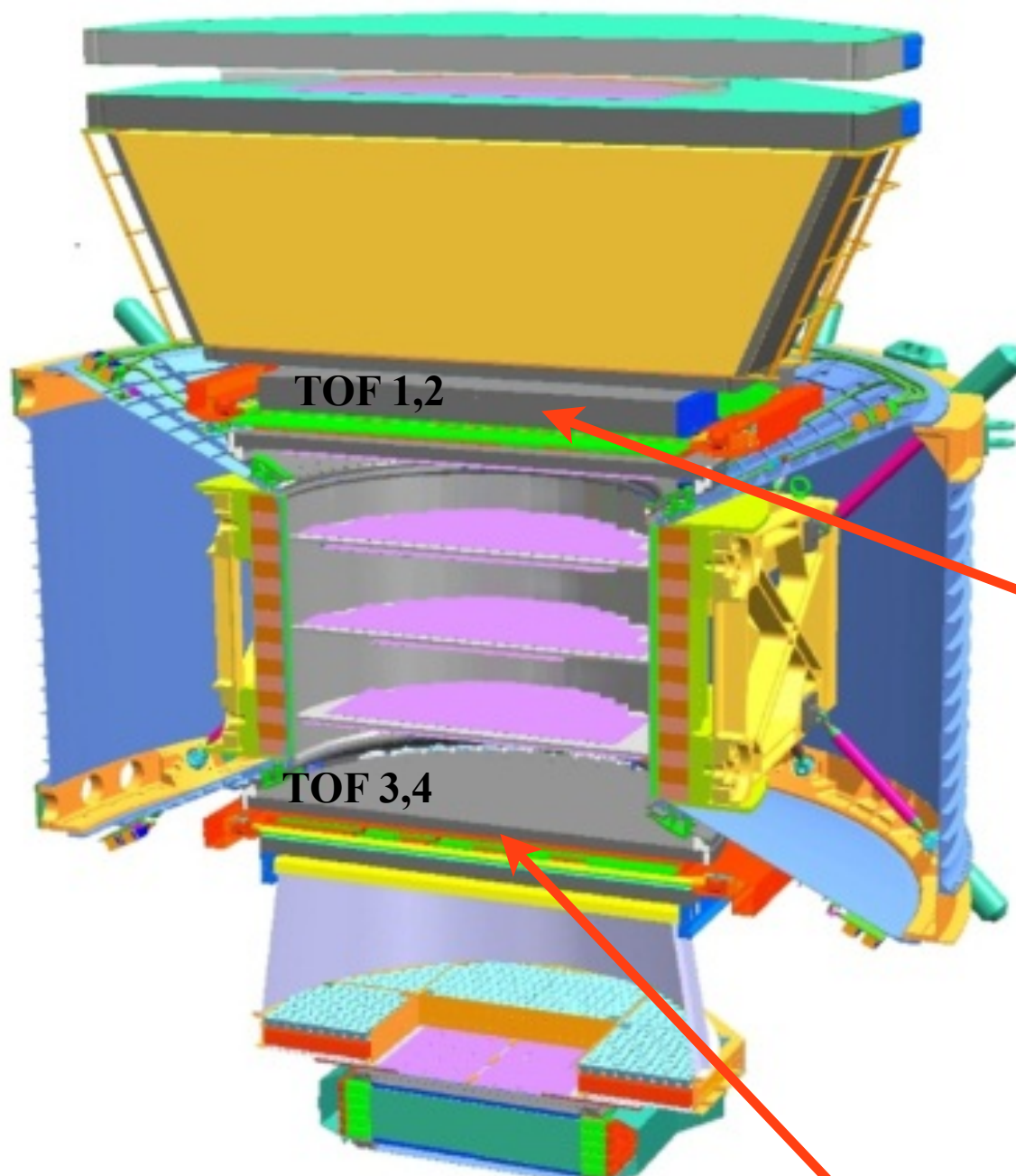
Leakrate of 5 µg/s, caused by CO₂ diffusion,
corresponds to a lifetime ~20 years in Space



identifies e \pm by transition radiation
and Nuclei by dE/dX



Time of Flight (TOF)

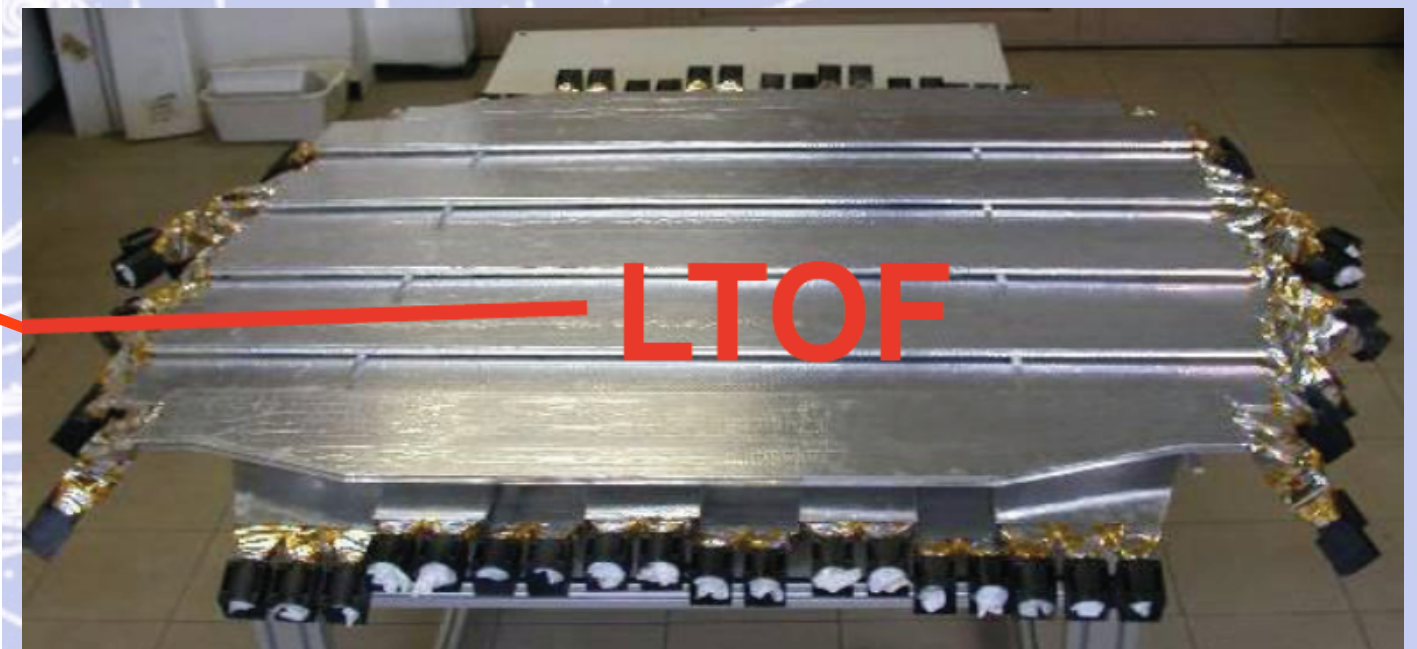


Measures the time of relativistic
protons to 160 picoseconds

Provides trigger for charged particles

Trigger time is synchronized
to UTC time to 1 μ s

Measures Velocity and Charge of particles

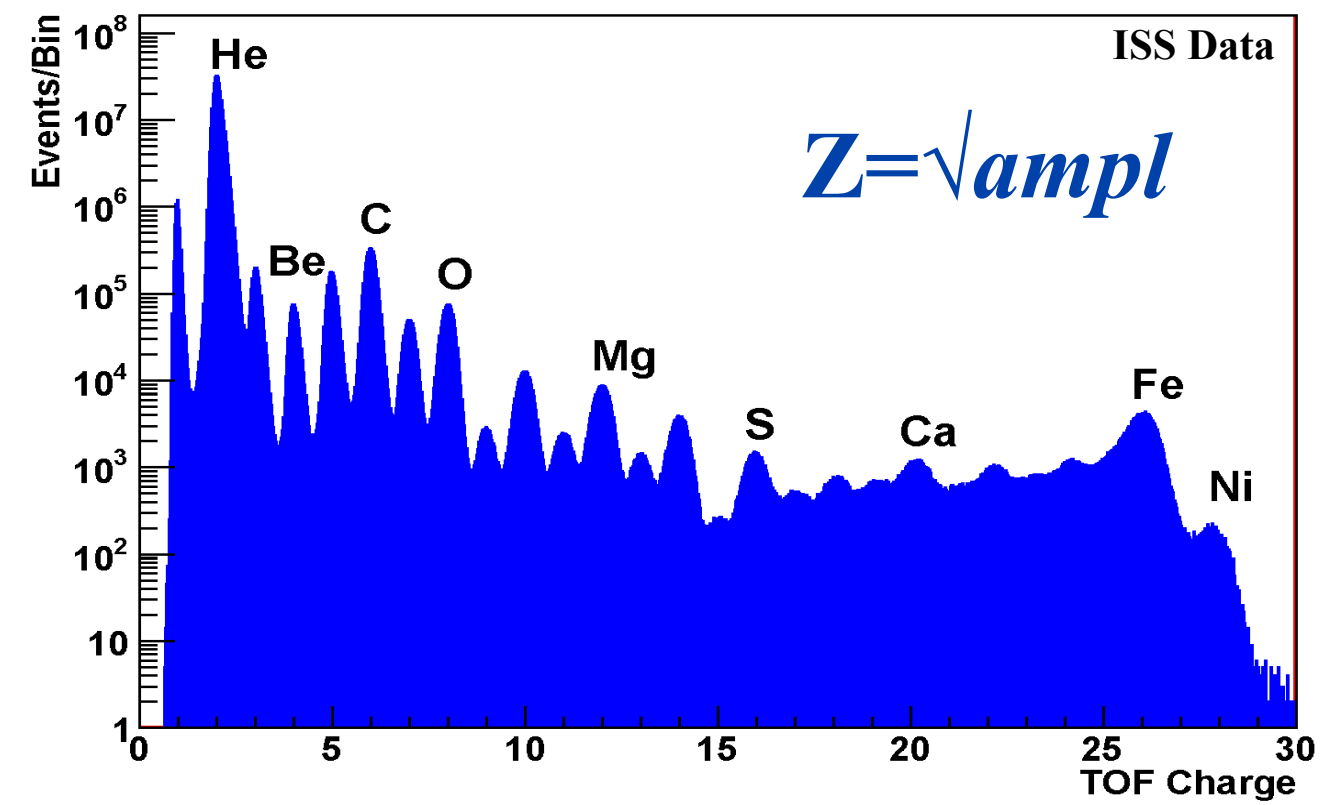
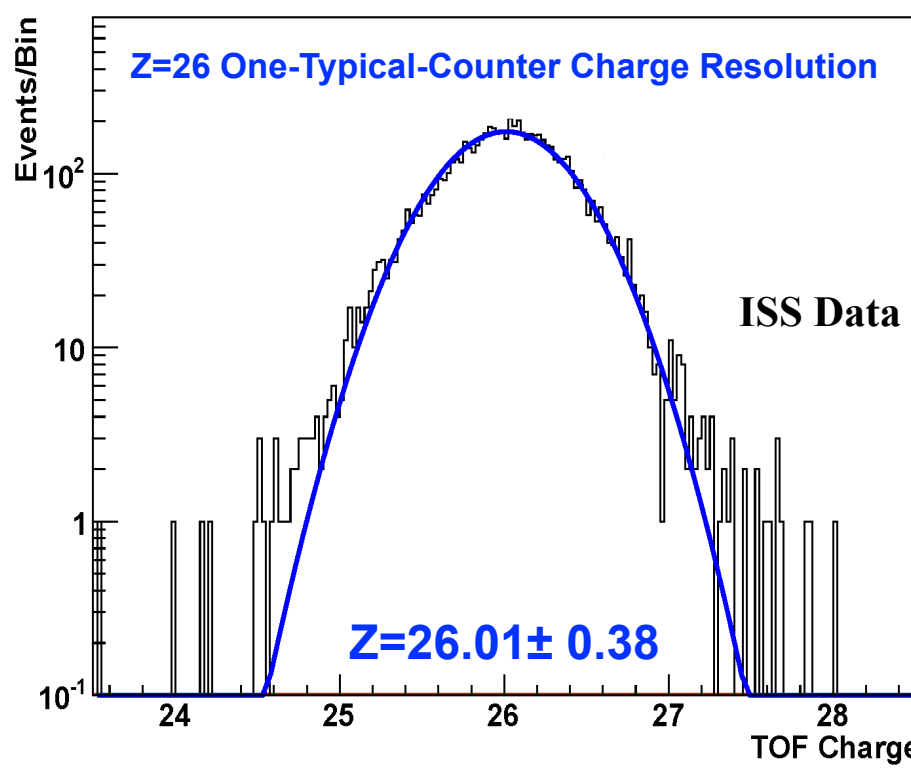
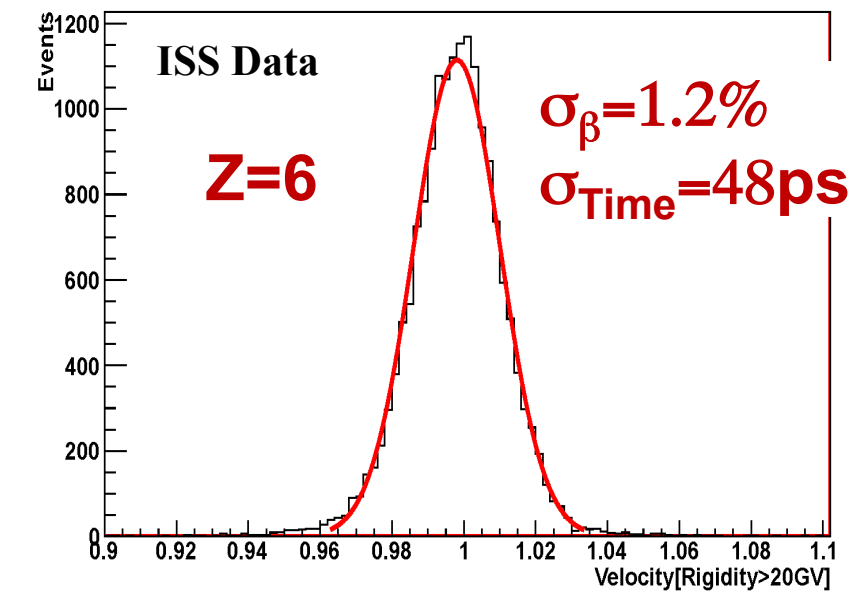
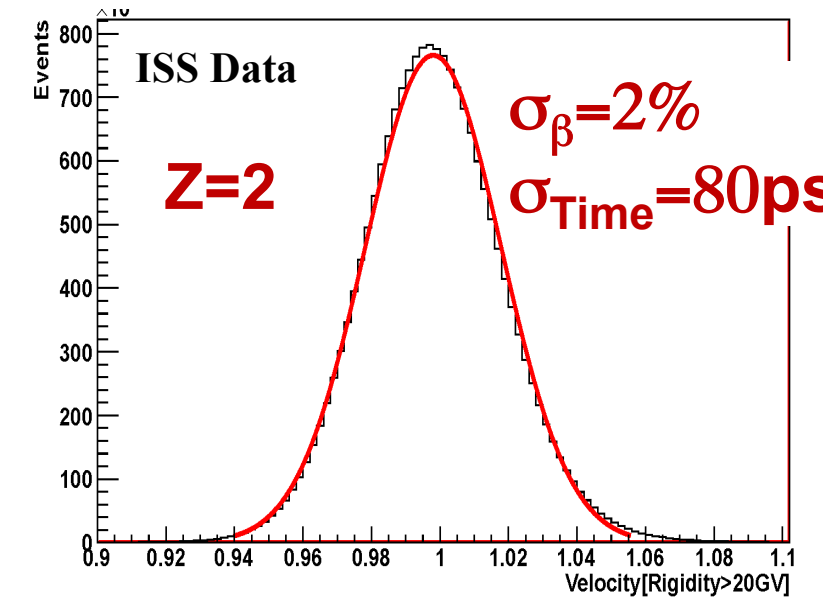
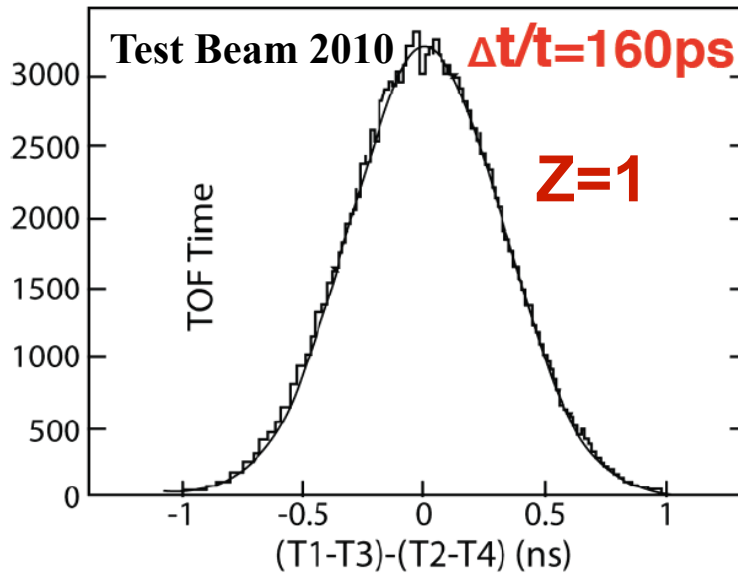


2x2 planes + total of 34 scintillator paddles
(seen by 2 (or 3) PMTs on each side);

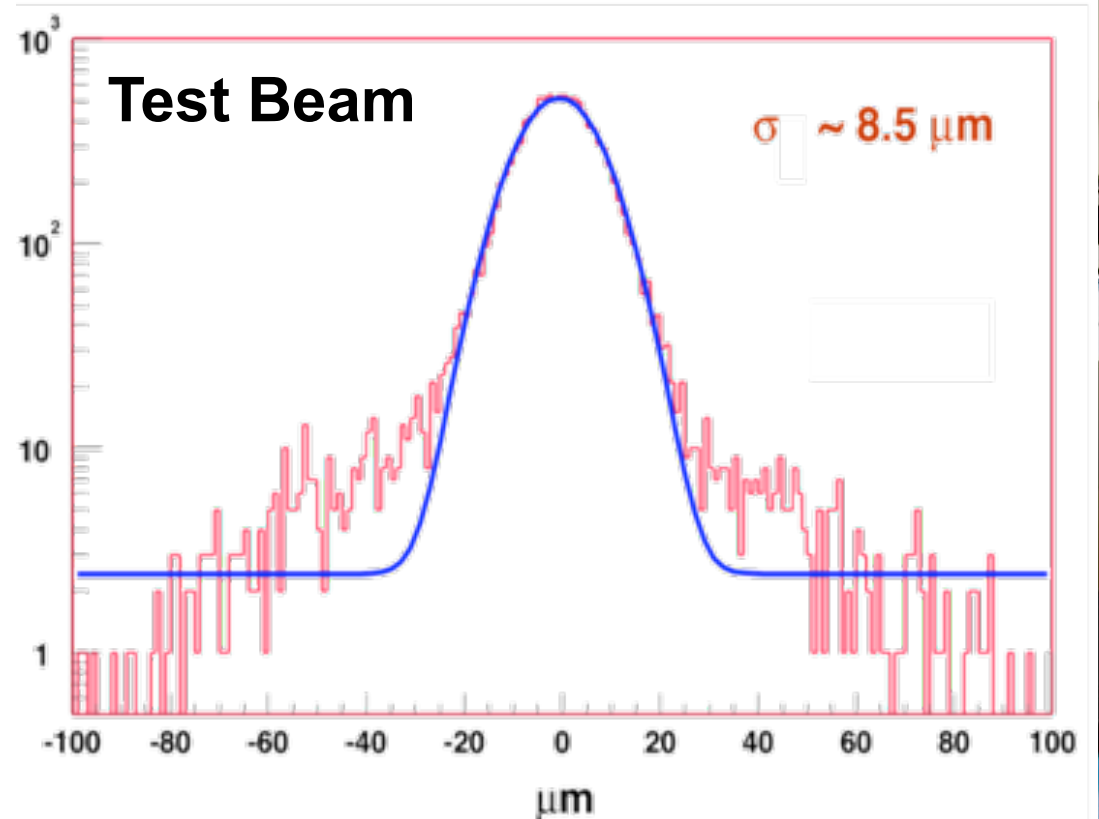
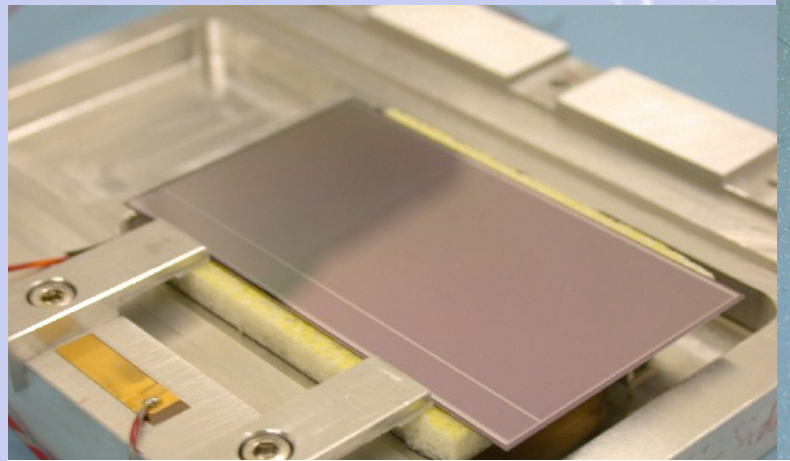


Time of Flight (TOF):

Measures Velocity and Charge of particles



Tracker



9 layers of double sided silicon sensors (detector material $\sim 0.04 X_0$)

$6.6\text{m}^2 \rightarrow 192$ Ladders $\rightarrow 196\text{k}$ channels $\rightarrow 192$ Watts dissipated

Spatial resolution:

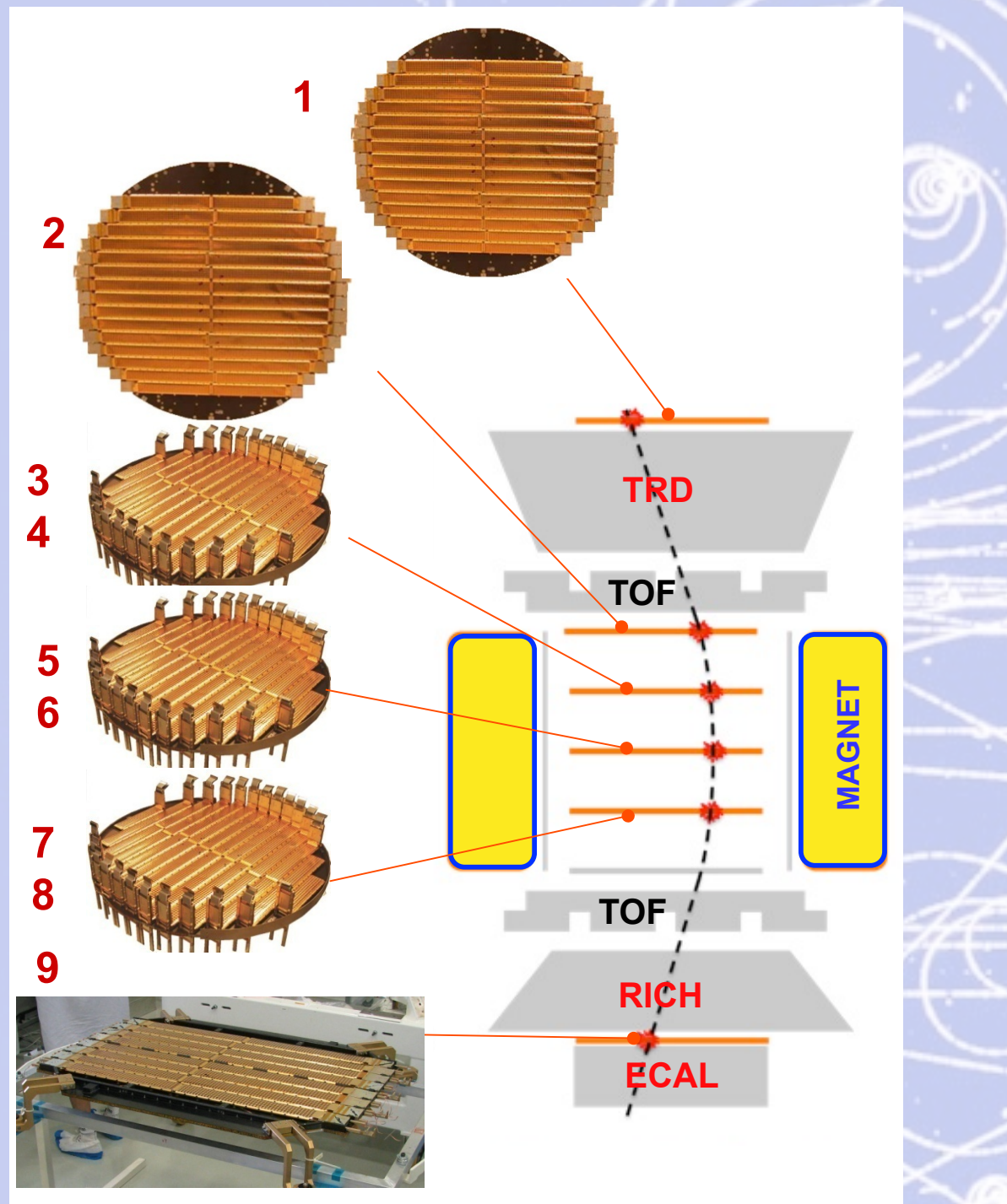
- $(\sigma) \sim 8\mu\text{m}$ (bending plane)
- $(\sigma) \sim 30\mu\text{m}$ (non bending plane)

Momentum resolution $\sim 10\%$ at 10 GV

Wide temperature range
(-20/+40 survival, -10/+25 oper.)

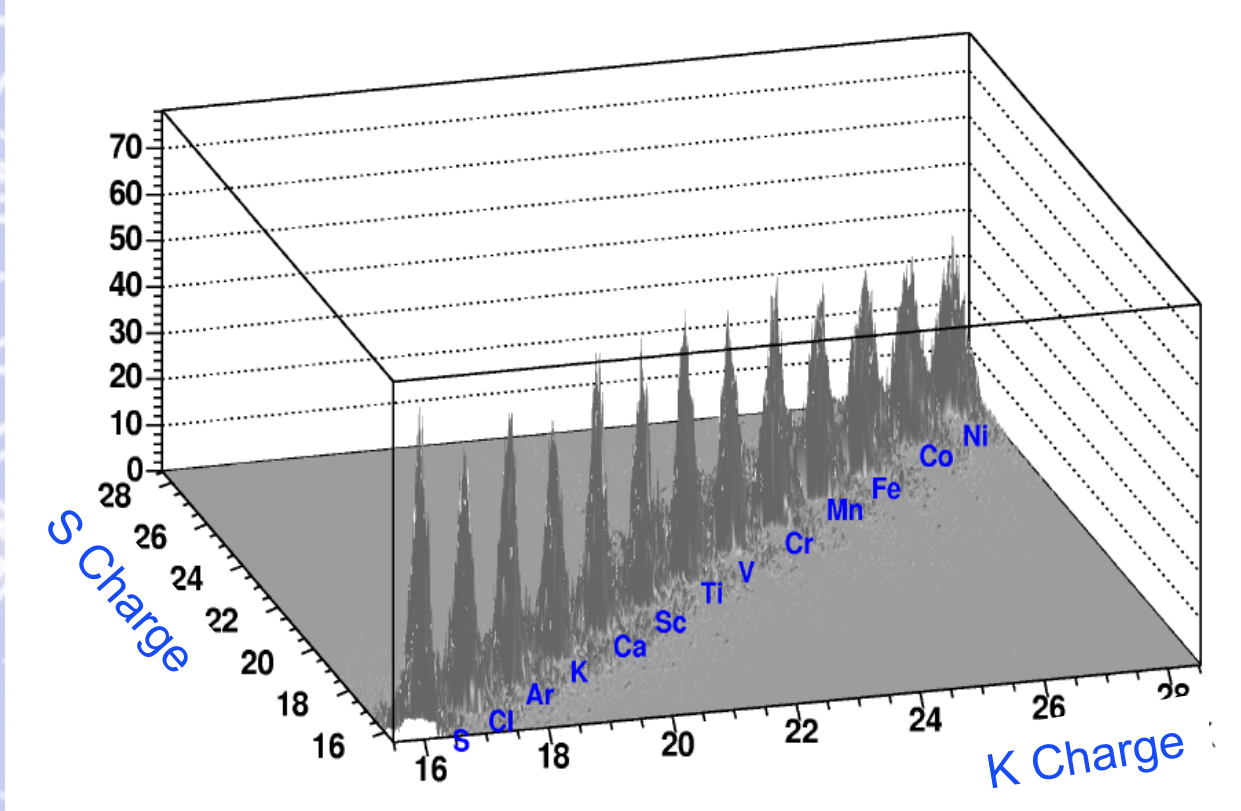
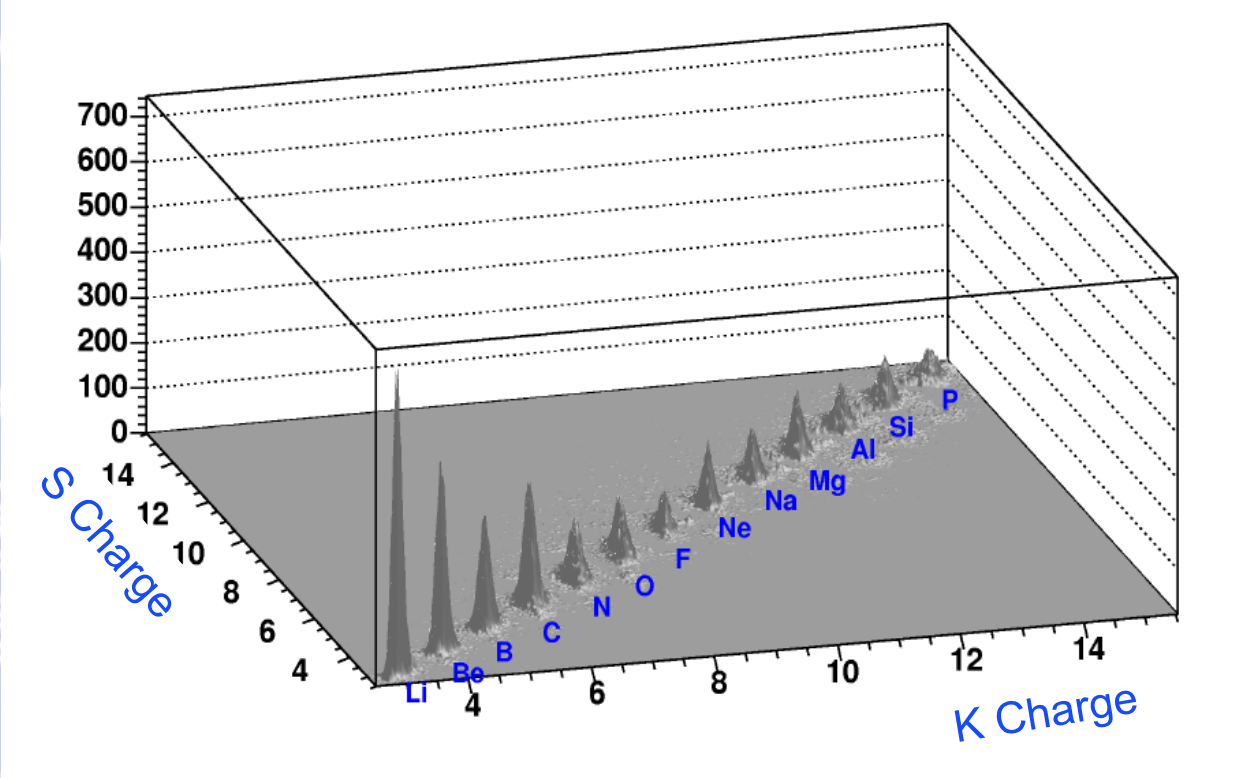
High dynamic range front end for
charge measurement

Tracker



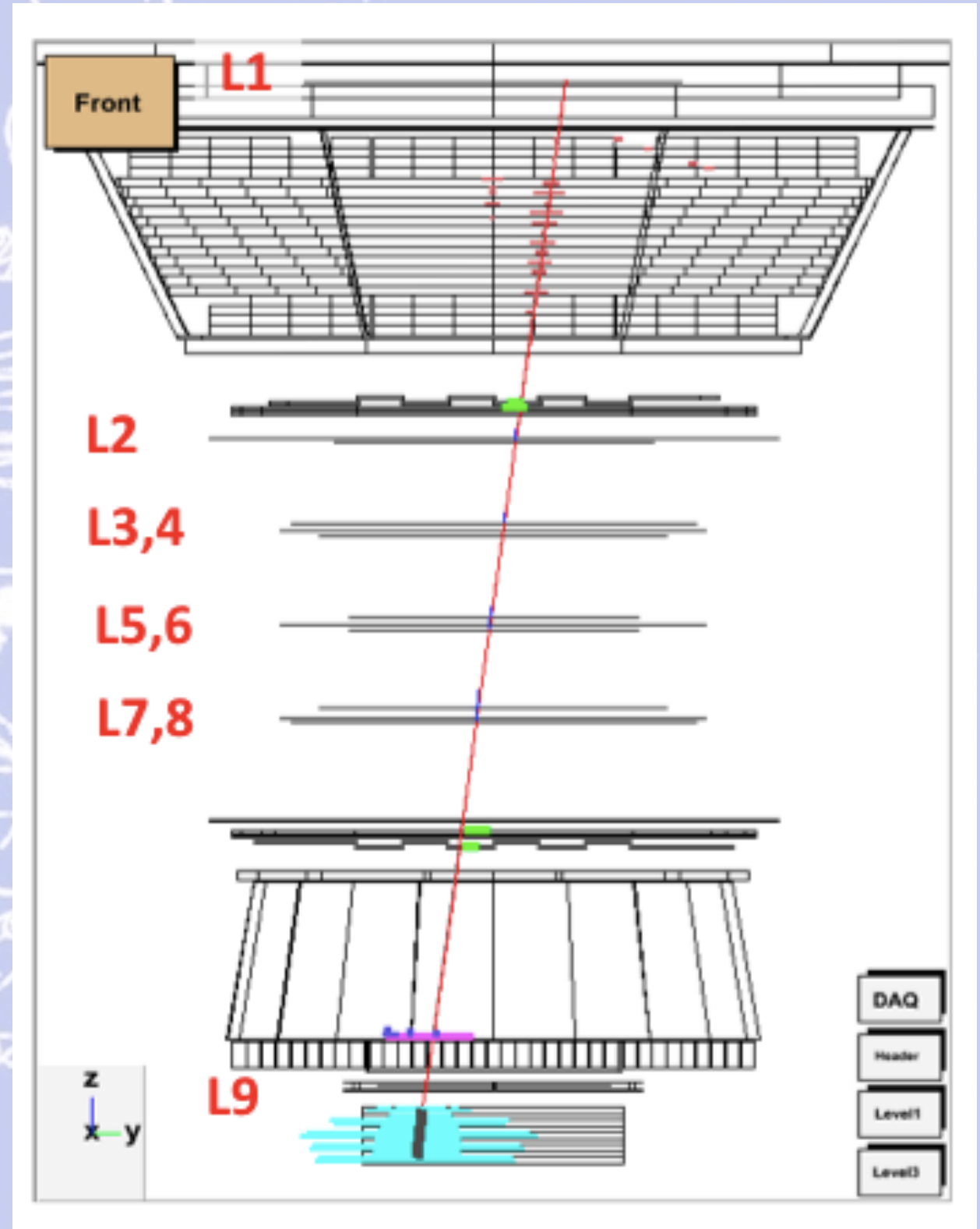
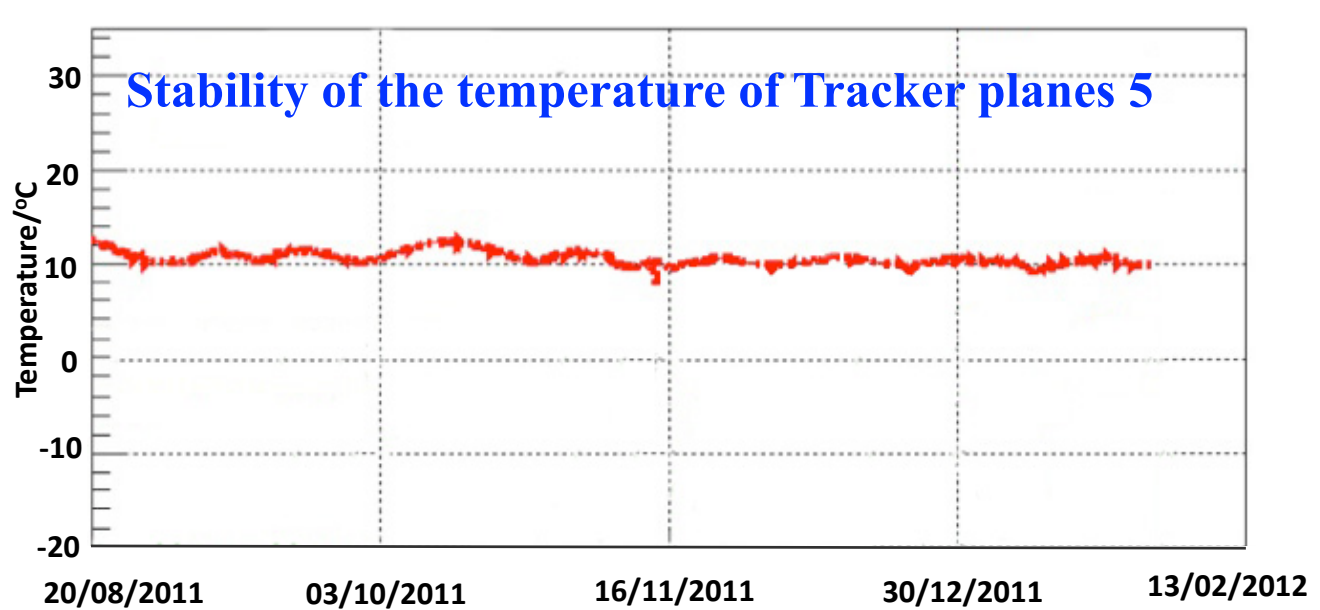
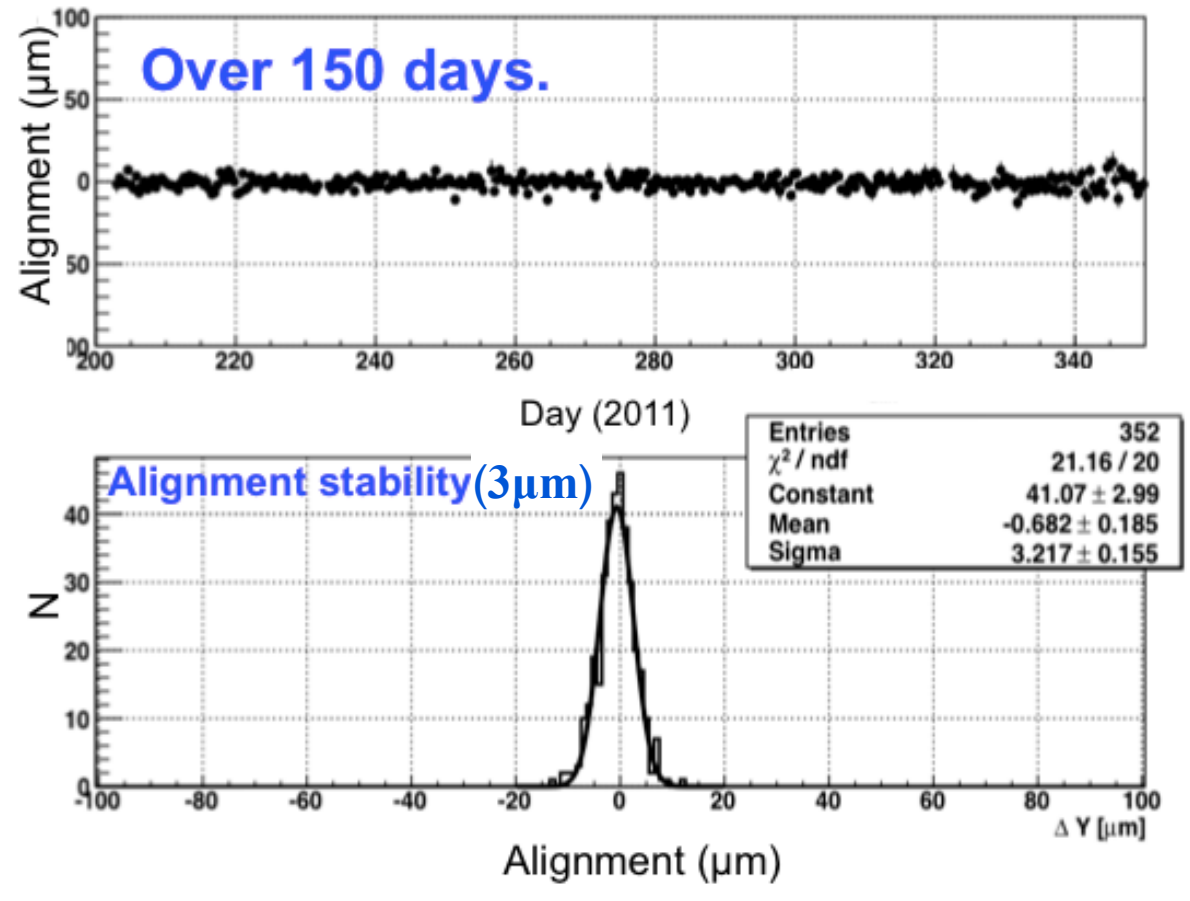
The particle trajectory is measured on several points (9) by its intersection with silicon microstrips detector layers.

Nuclei identification

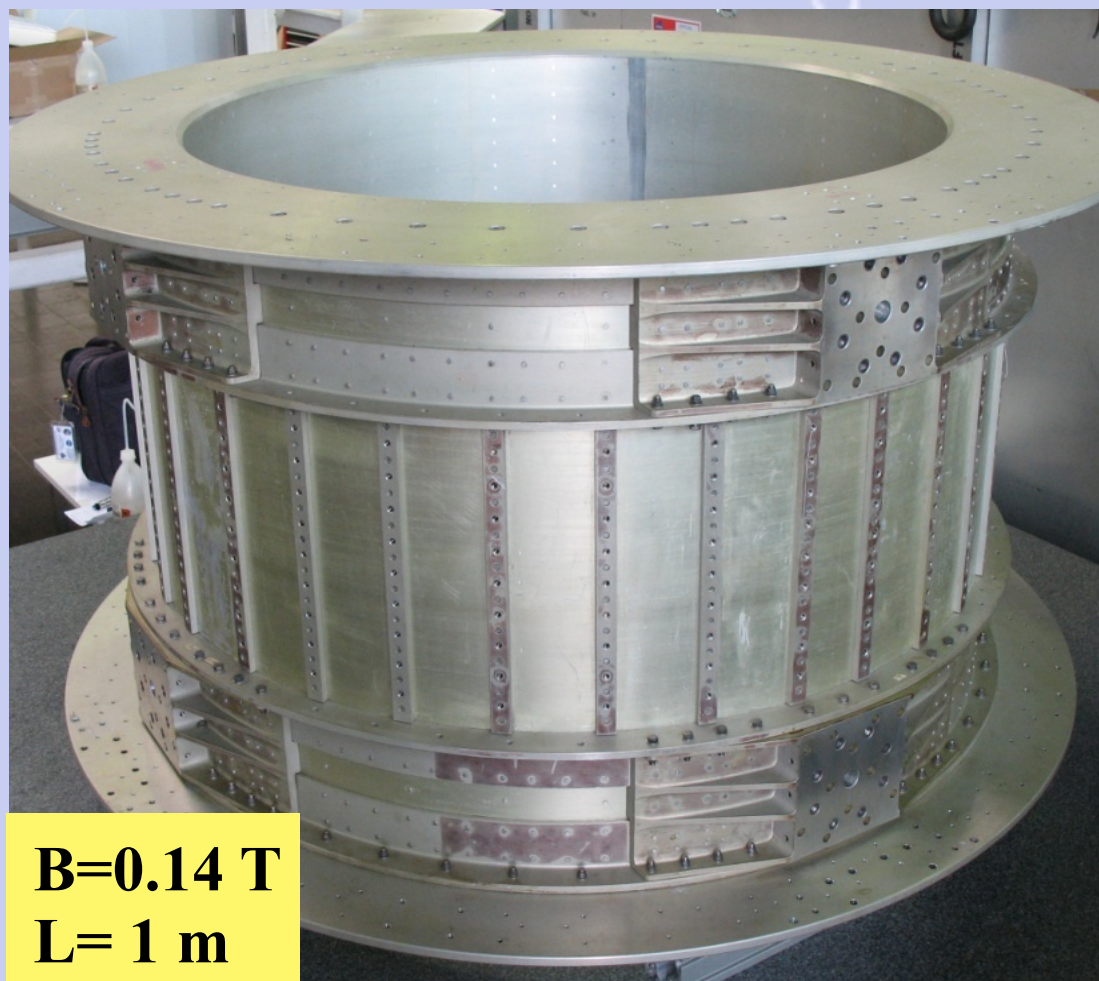


Tracker Performance on ISS

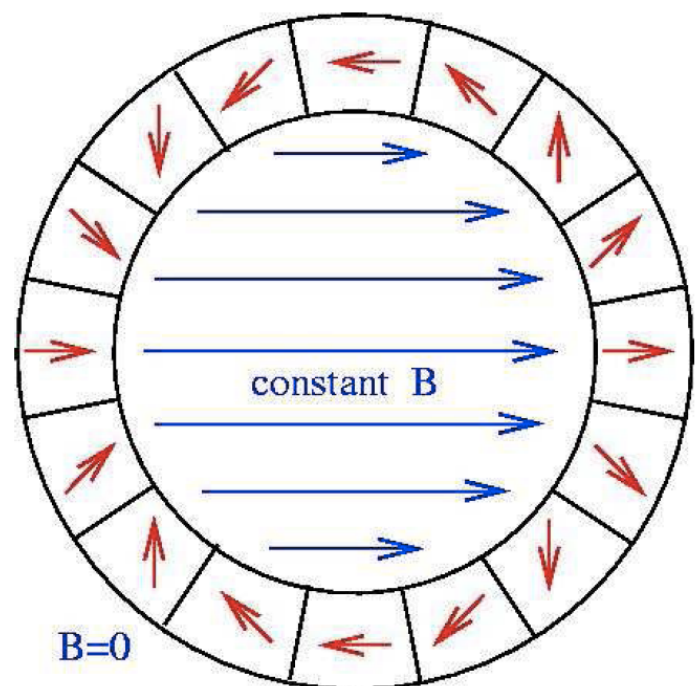
The alignment stability ($3\mu\text{m}$) of the uppermost Tracker plane (L1)



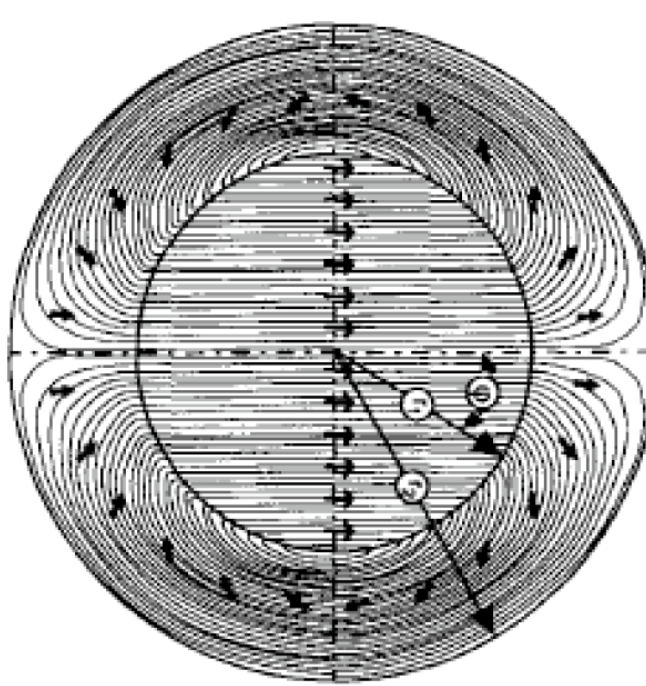
The AMS-02 permanent Magnet



$B=0.14 \text{ T}$
 $L=1 \text{ m}$

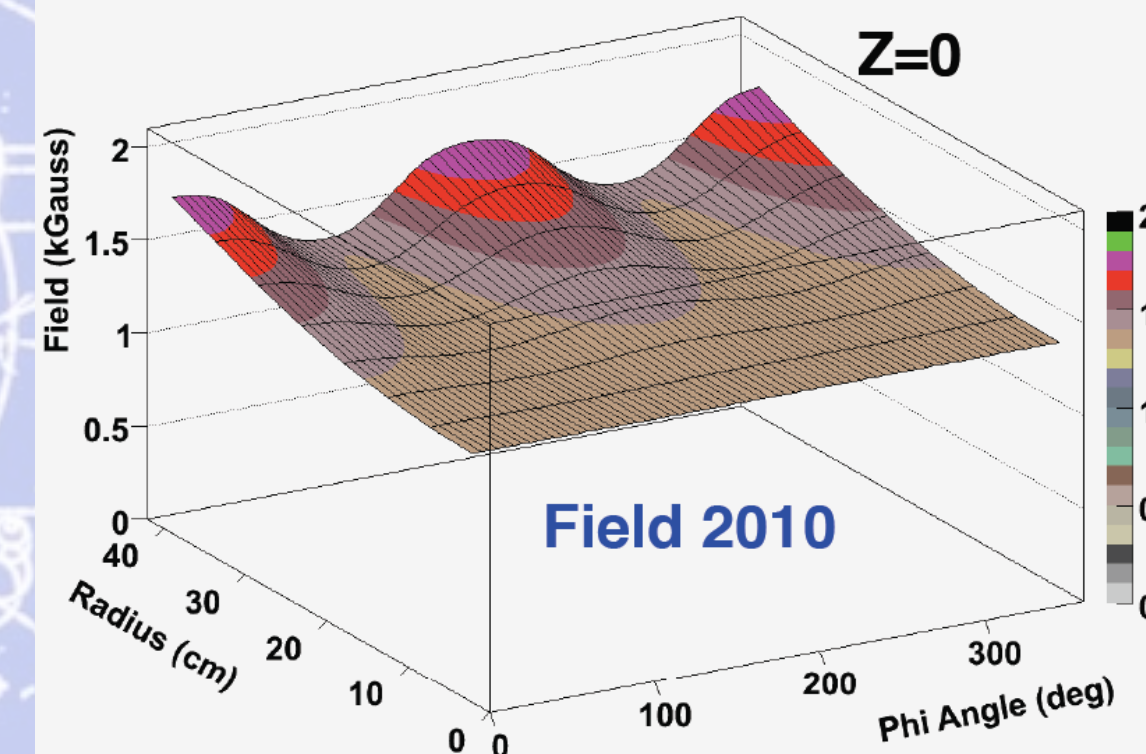


Magnetic field distribution at a cross-section of the centre of the magnet



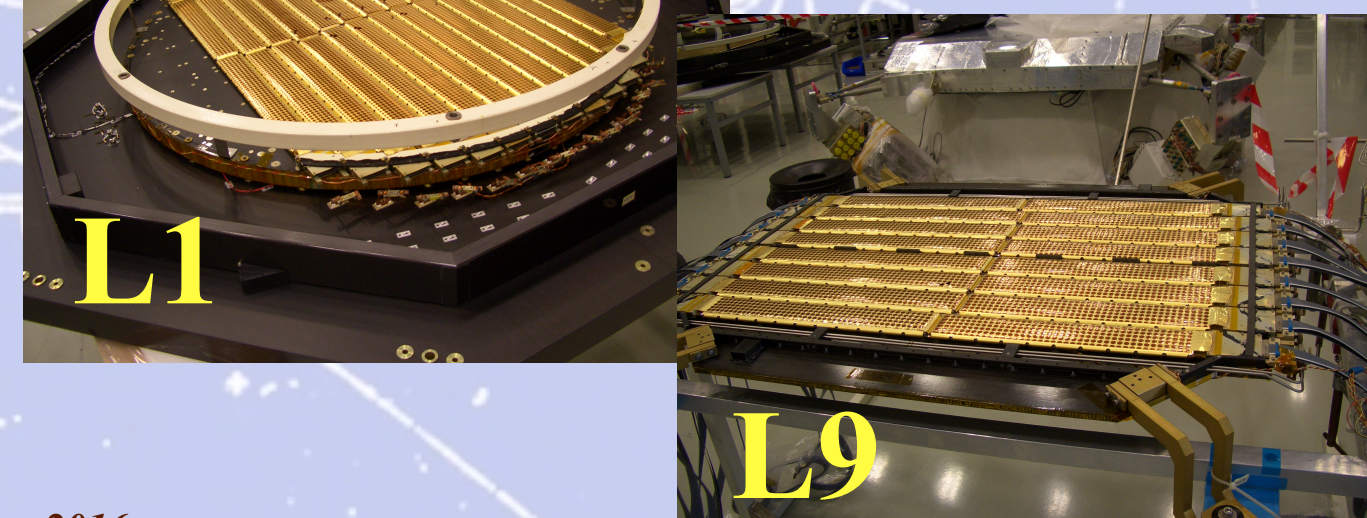
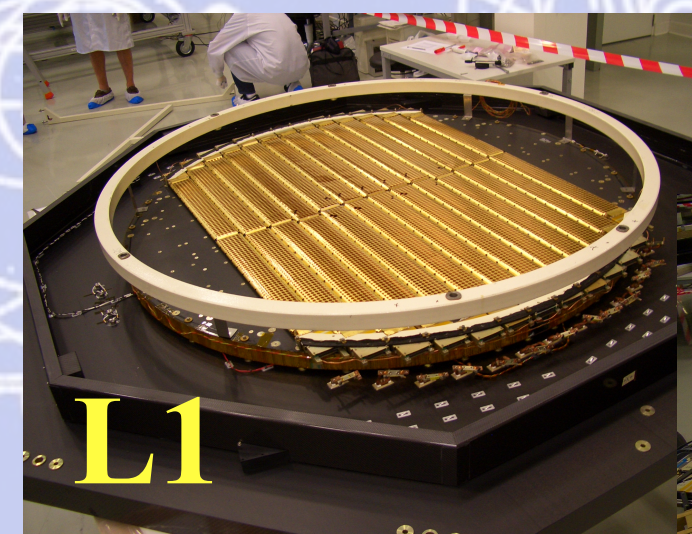
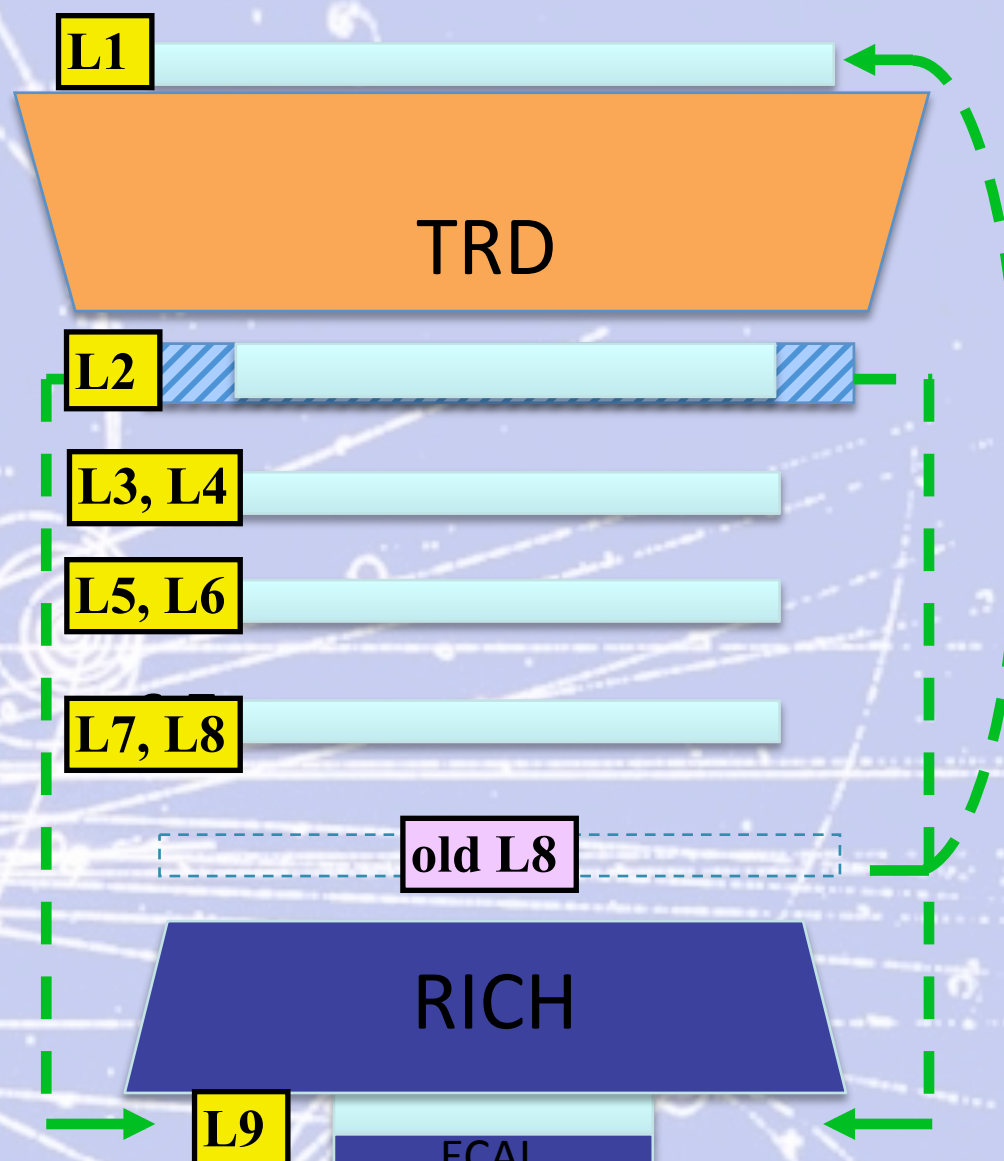
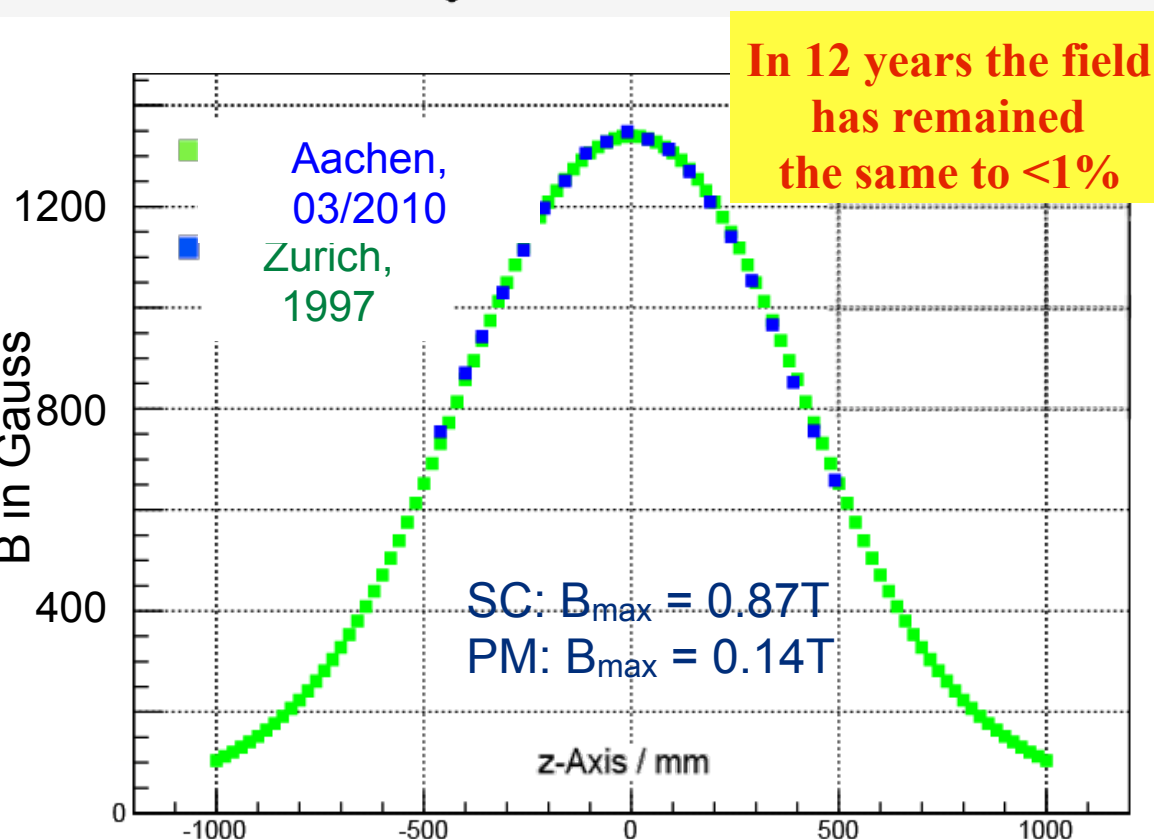
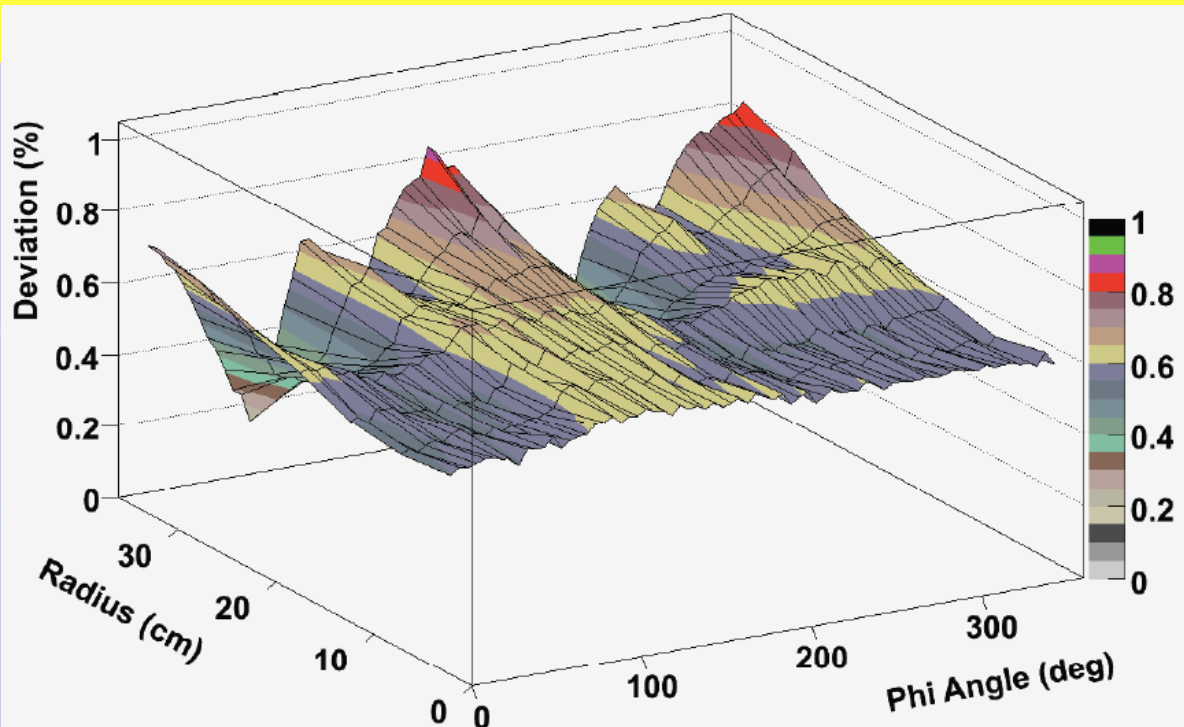
Torques are forbidden in space so the total magnetic torque of the AMS-02 magnet must be zero!

The detailed 3D field map (120k locations)

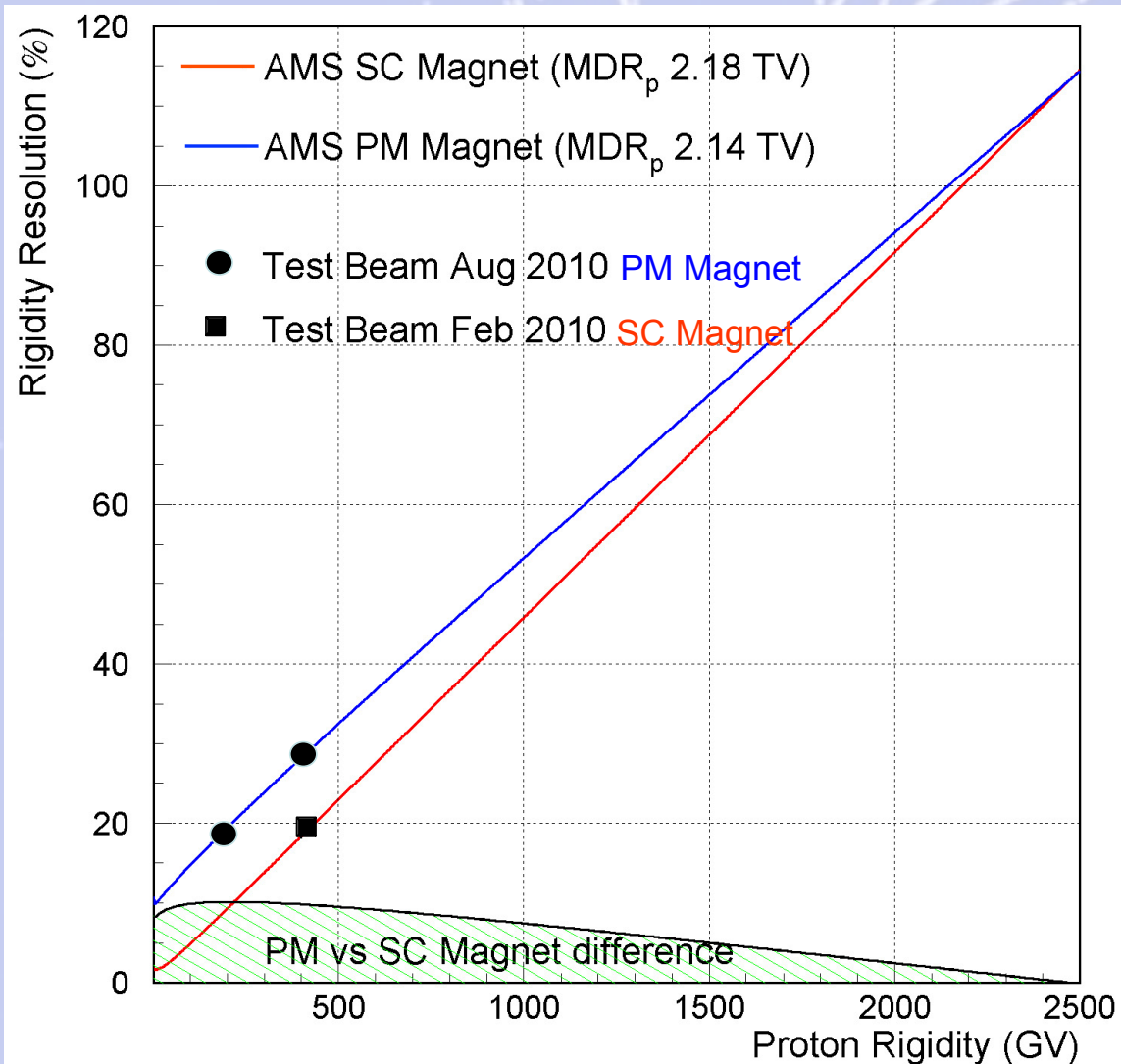


The AMS-02 Spectrometer modifications

Deviation from 1997 measurements



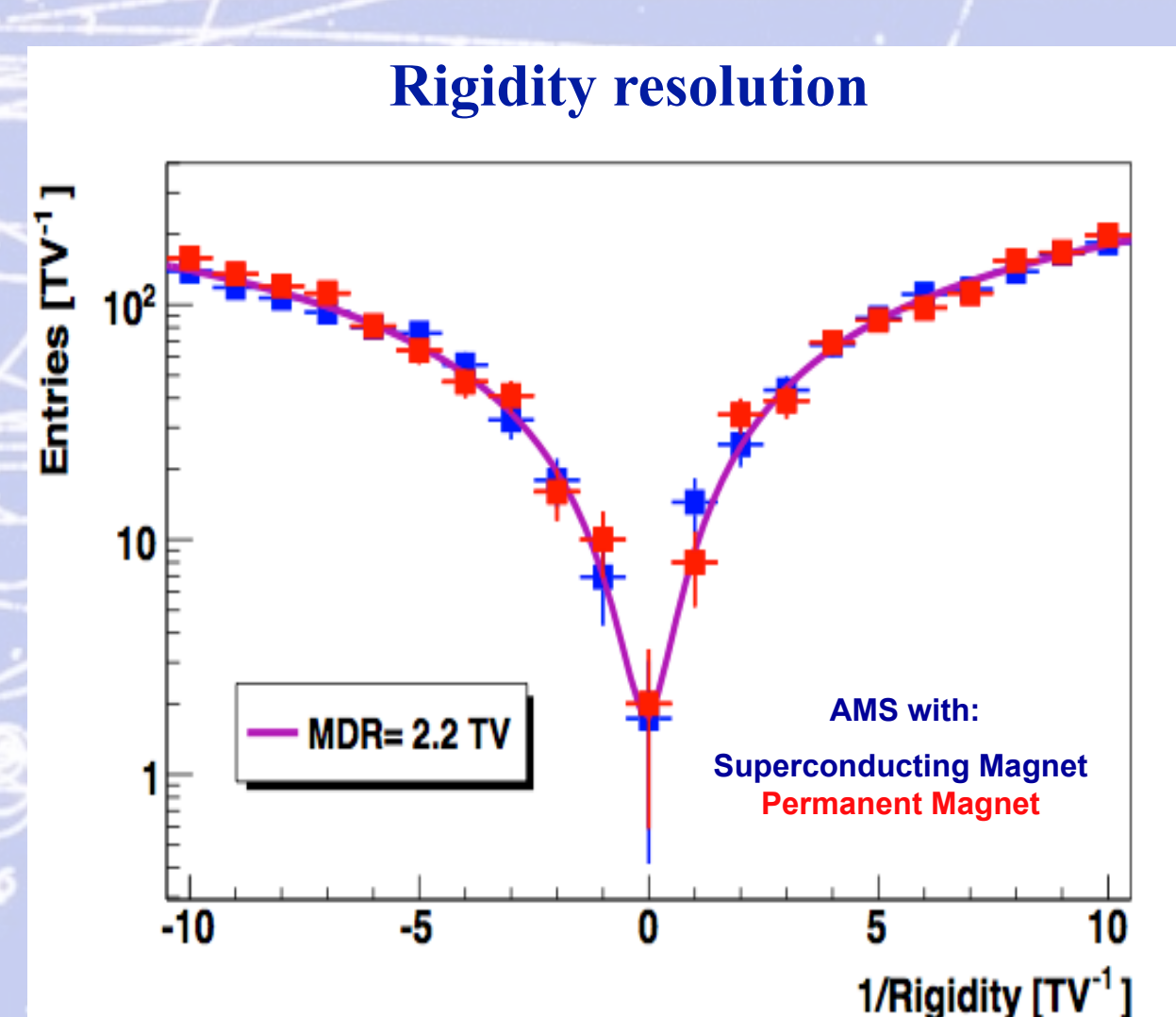
The AMS-02 Spectrometer performance



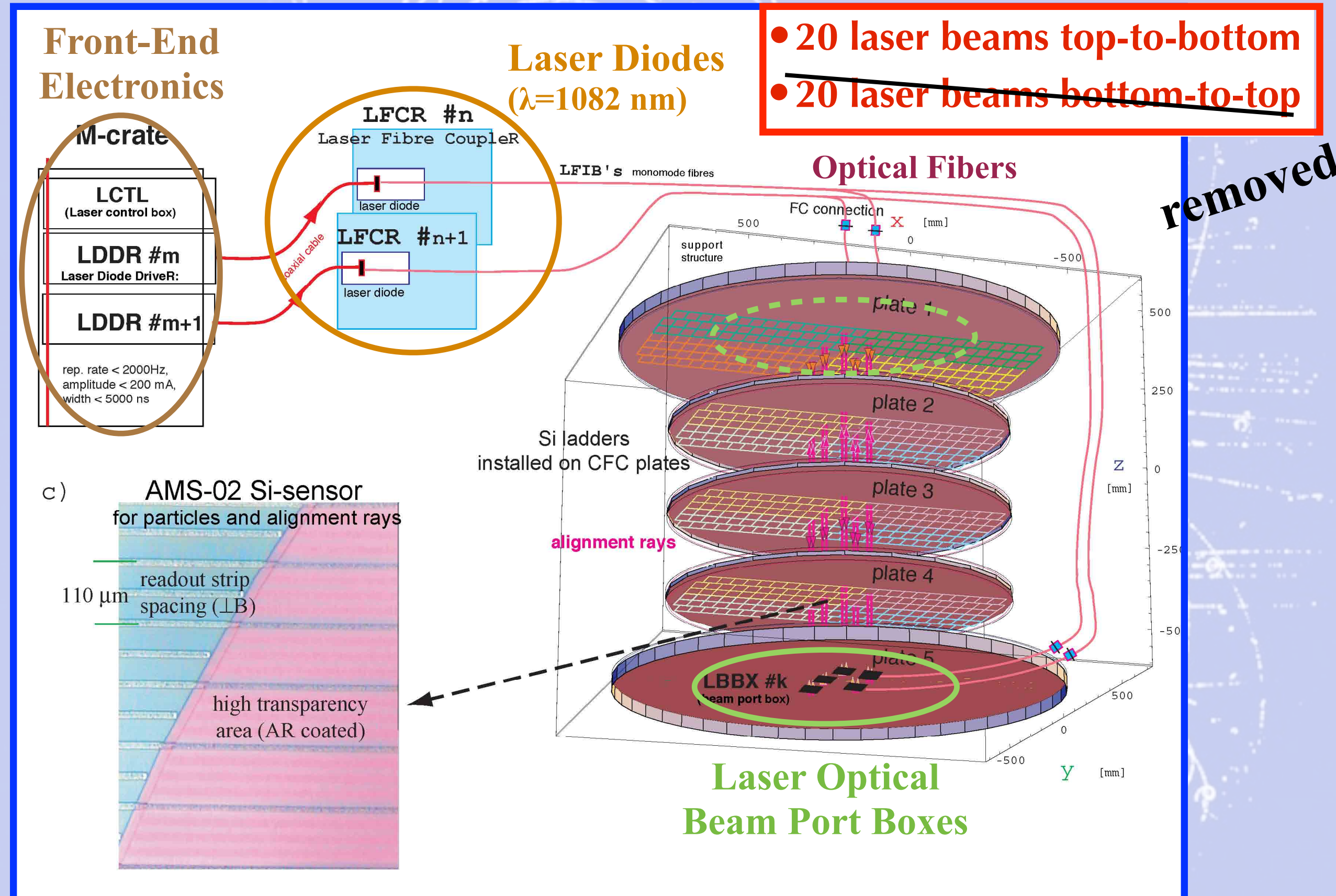
With 9 tracker planes in the new configuration, the rigidity resolution of AMS with the permanent magnet is equal (within 10%) to that of the superconducting magnet.

- For helium nuclei, the MDR(*) for the permanent magnet is 3.75 TV.
- Alignment will be done with 10'000 CR tracks per minute in orbit.

(*) Max detectable rigidity ($R=pc/Ze$)

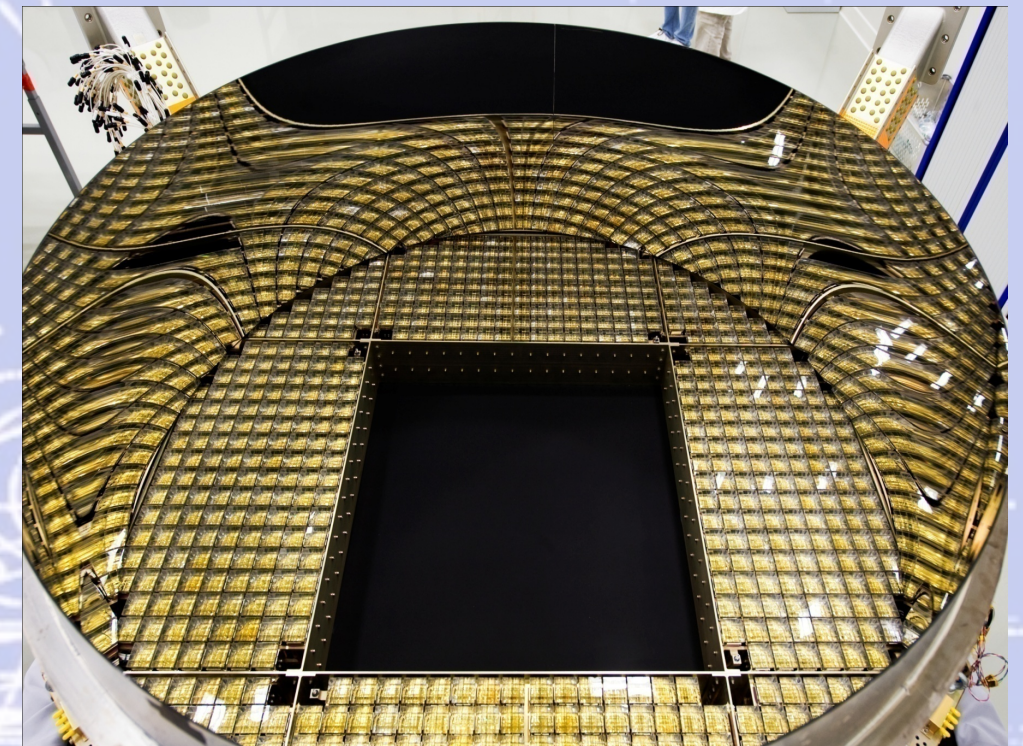
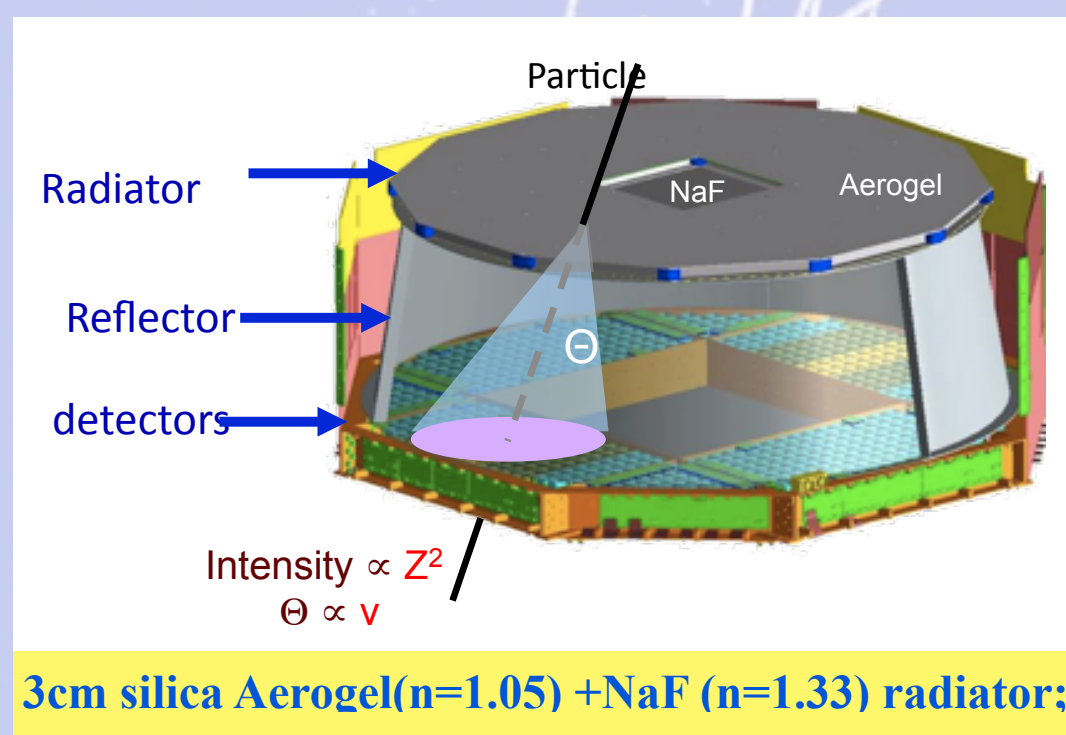


The AMS-02 Tracker Alignment System Layout

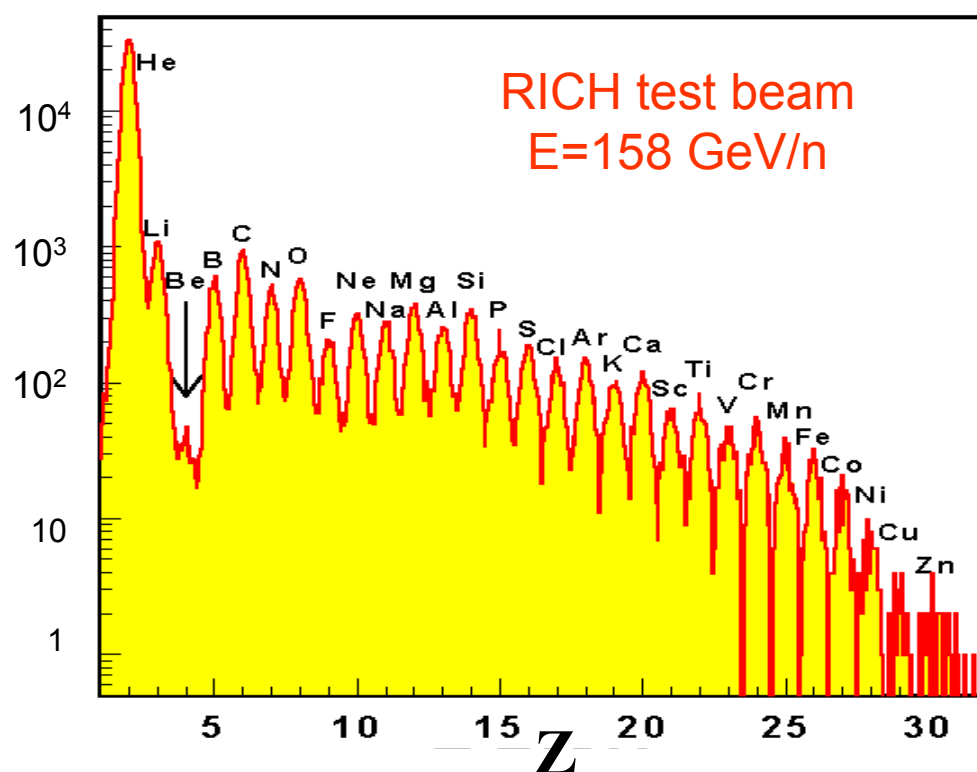


Ring Imaging Cherenkov (RICH)

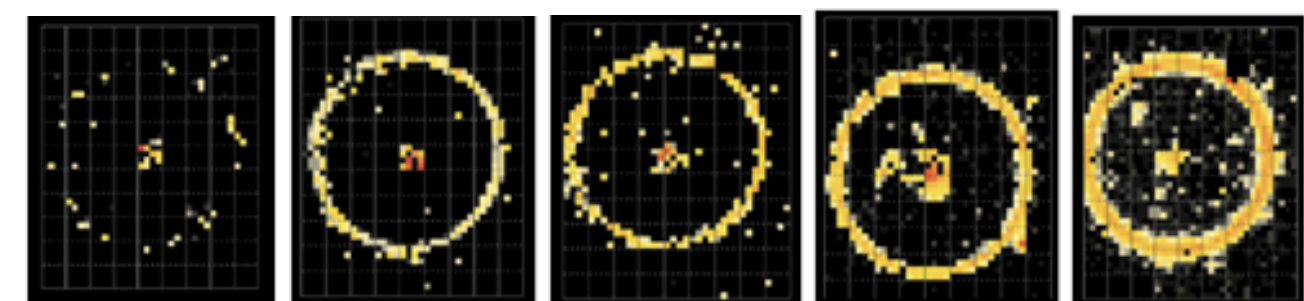
identify nuclei and their energy



?

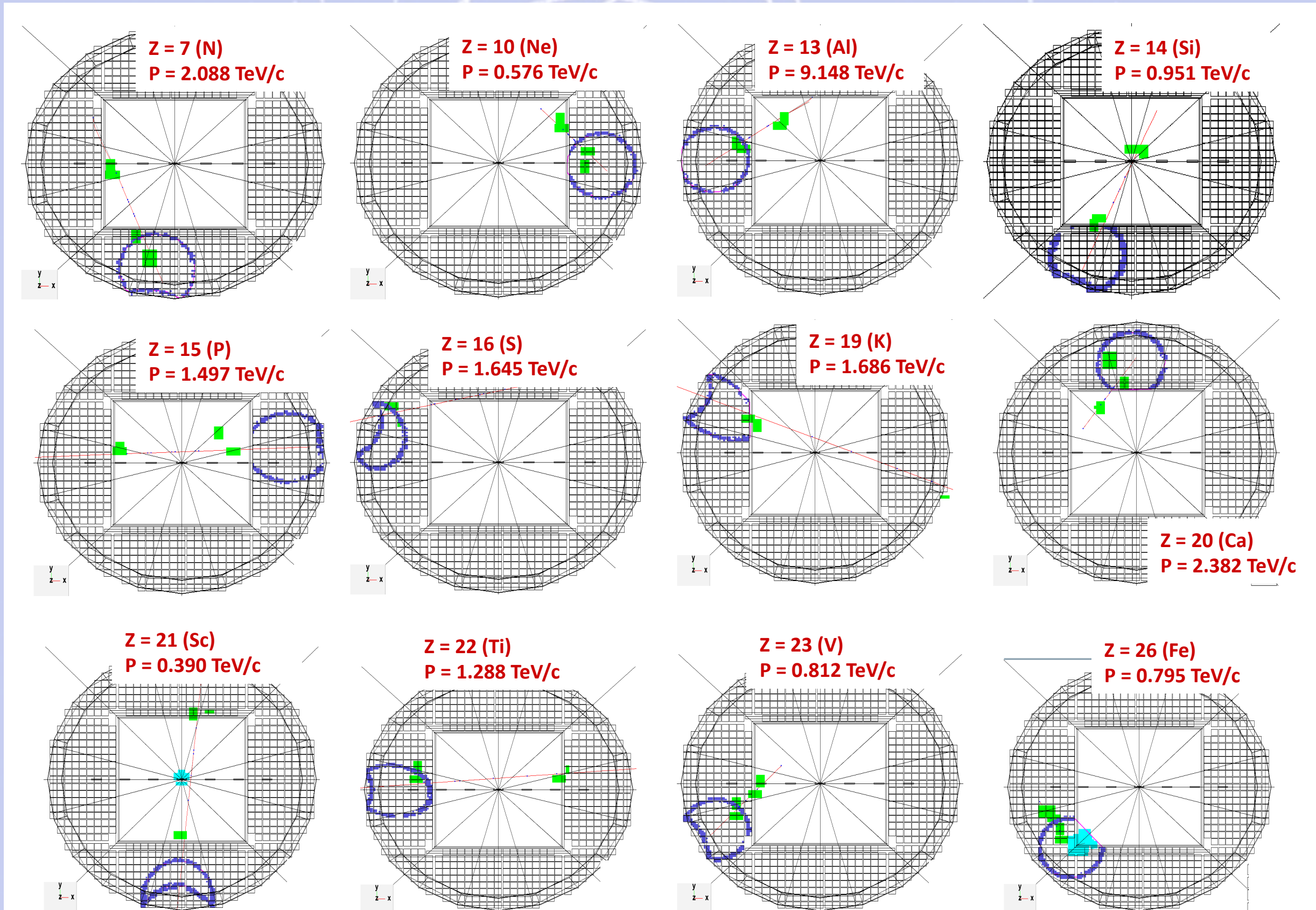


Single Event Displays from RICH test beam E=158GeV/n

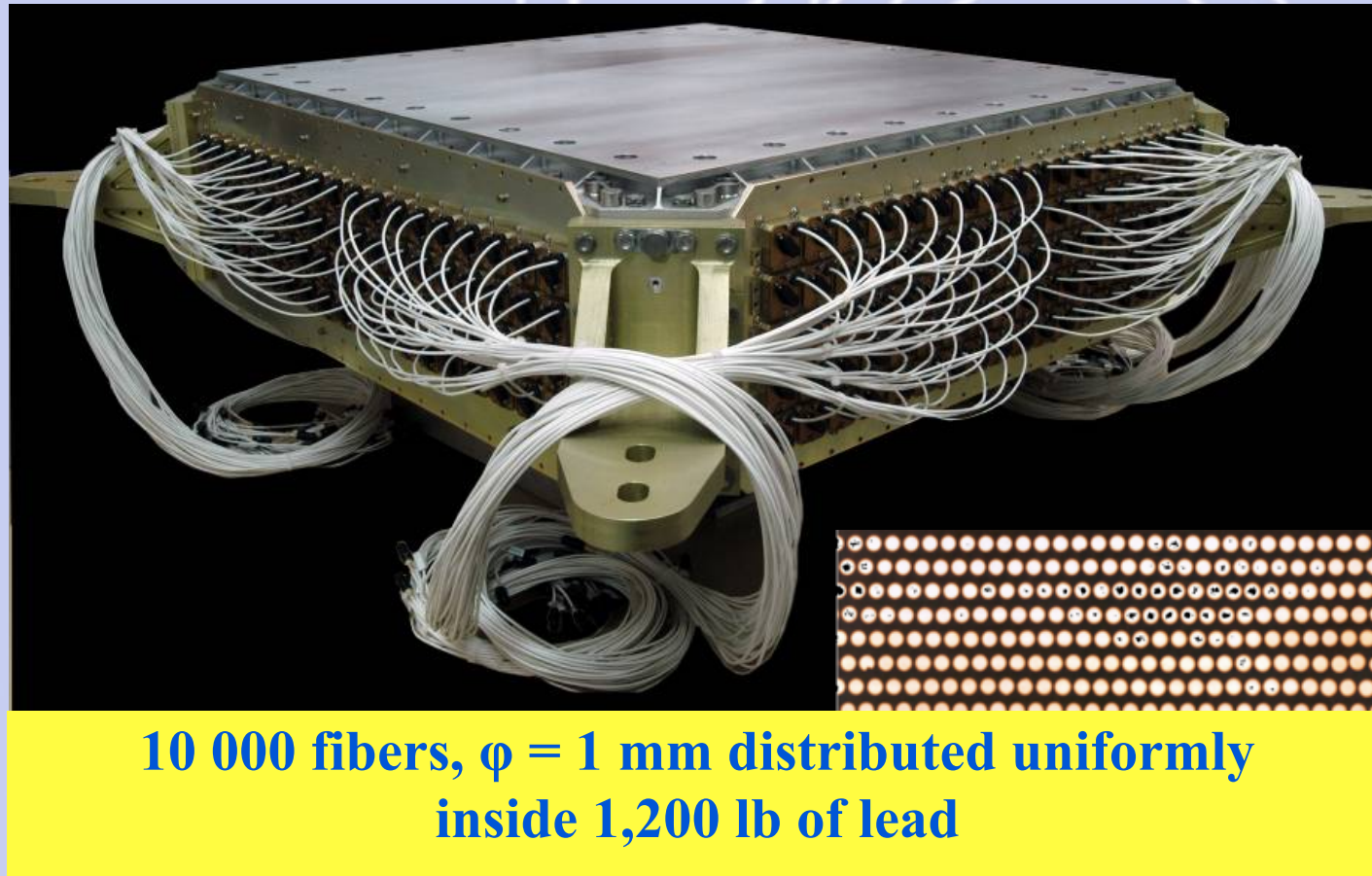


$\sigma(\beta)/\beta = 0.1\% @ \beta=1$ (protons)
 $\Delta Z \sim 0.2$ up to Fe

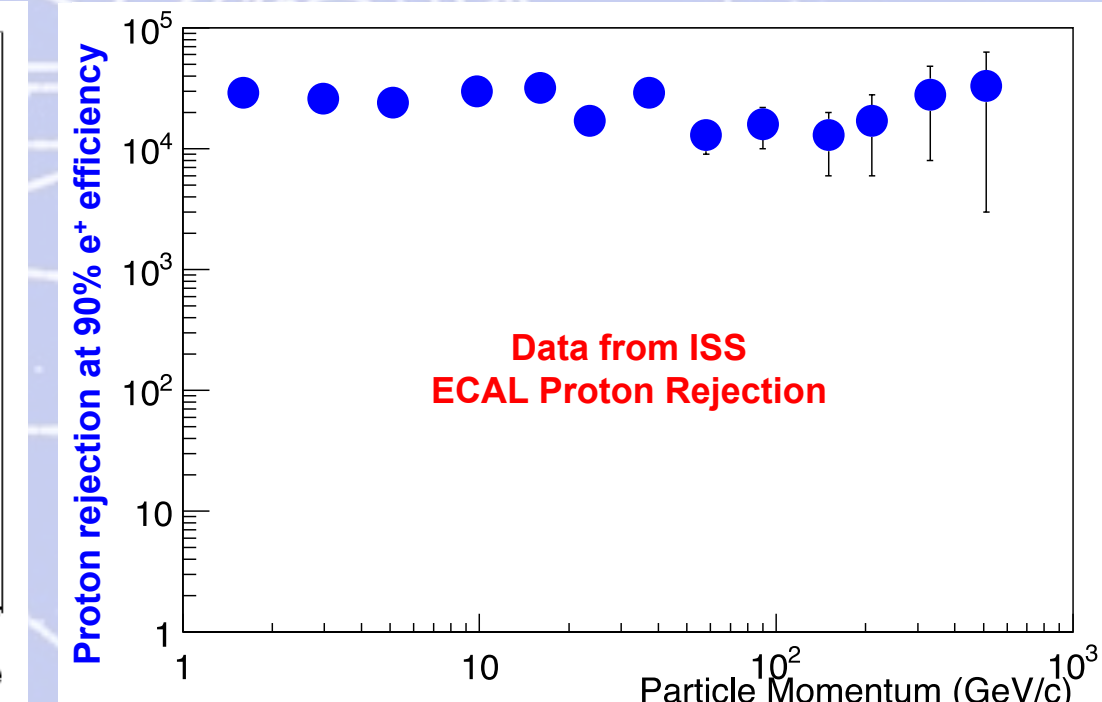
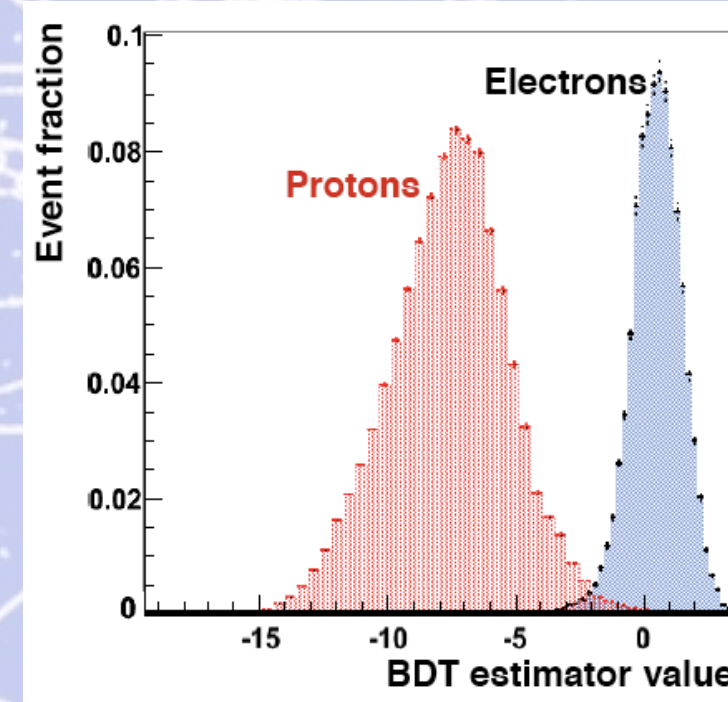
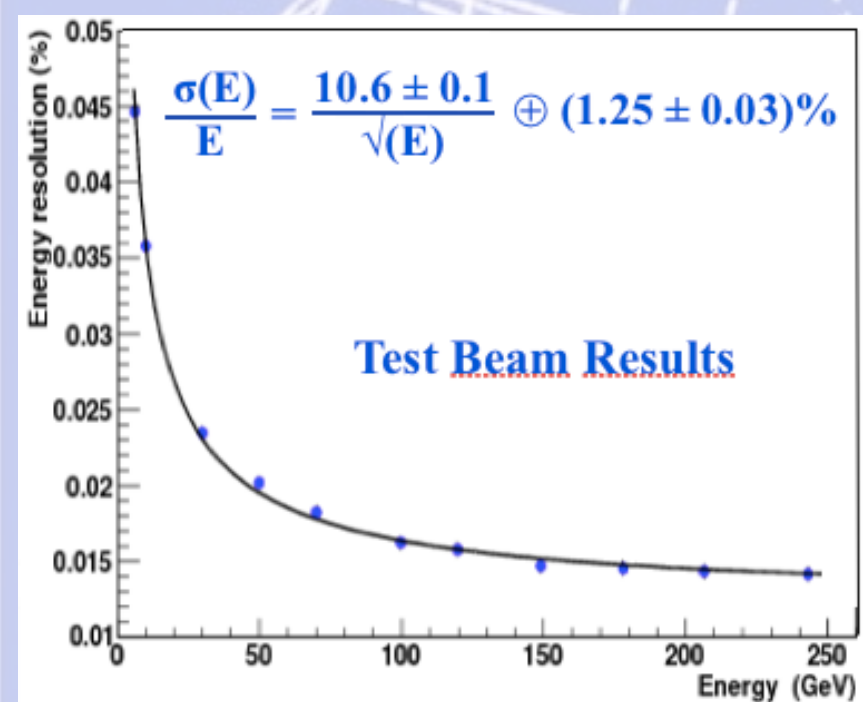
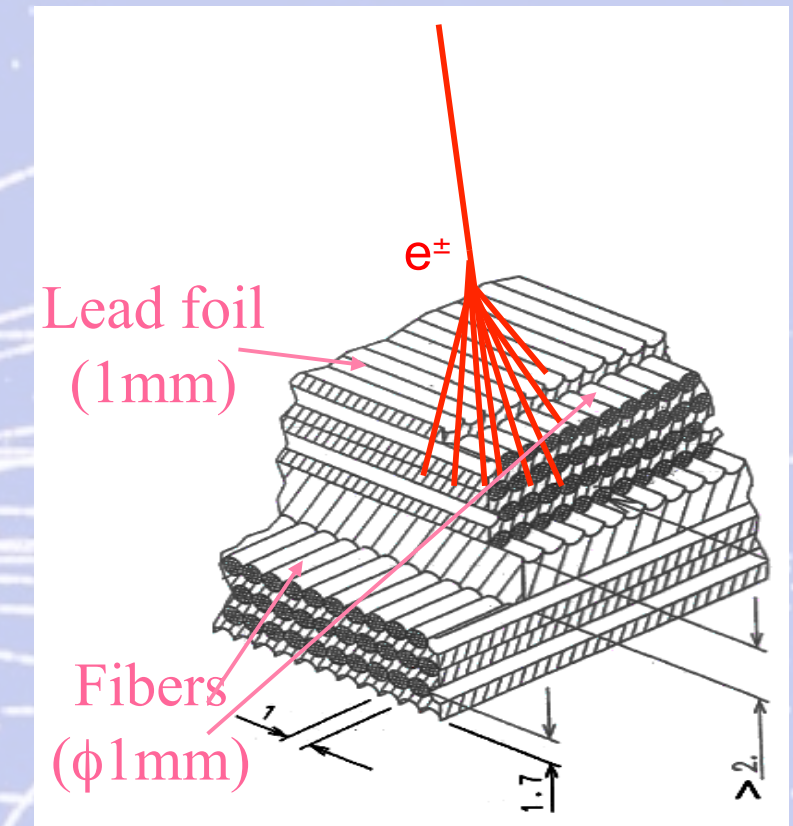
Data from ISS: Nuclei identification from RICH



Calorimeter (ECAL)



A precision, $17 X_0$, TeV, 3-dimensional measurement of the directions and energies of light rays and electrons



AMS electronics

**650 processors,
300,000 channels.
up to 400% redundancy**

**Reduce data volume
7 Gbit/s to 10 Mbit/s**



To read out 300,000 channels at up to 2 KHz, a large set of computers (650) which are programmable from the POCC have been developed.

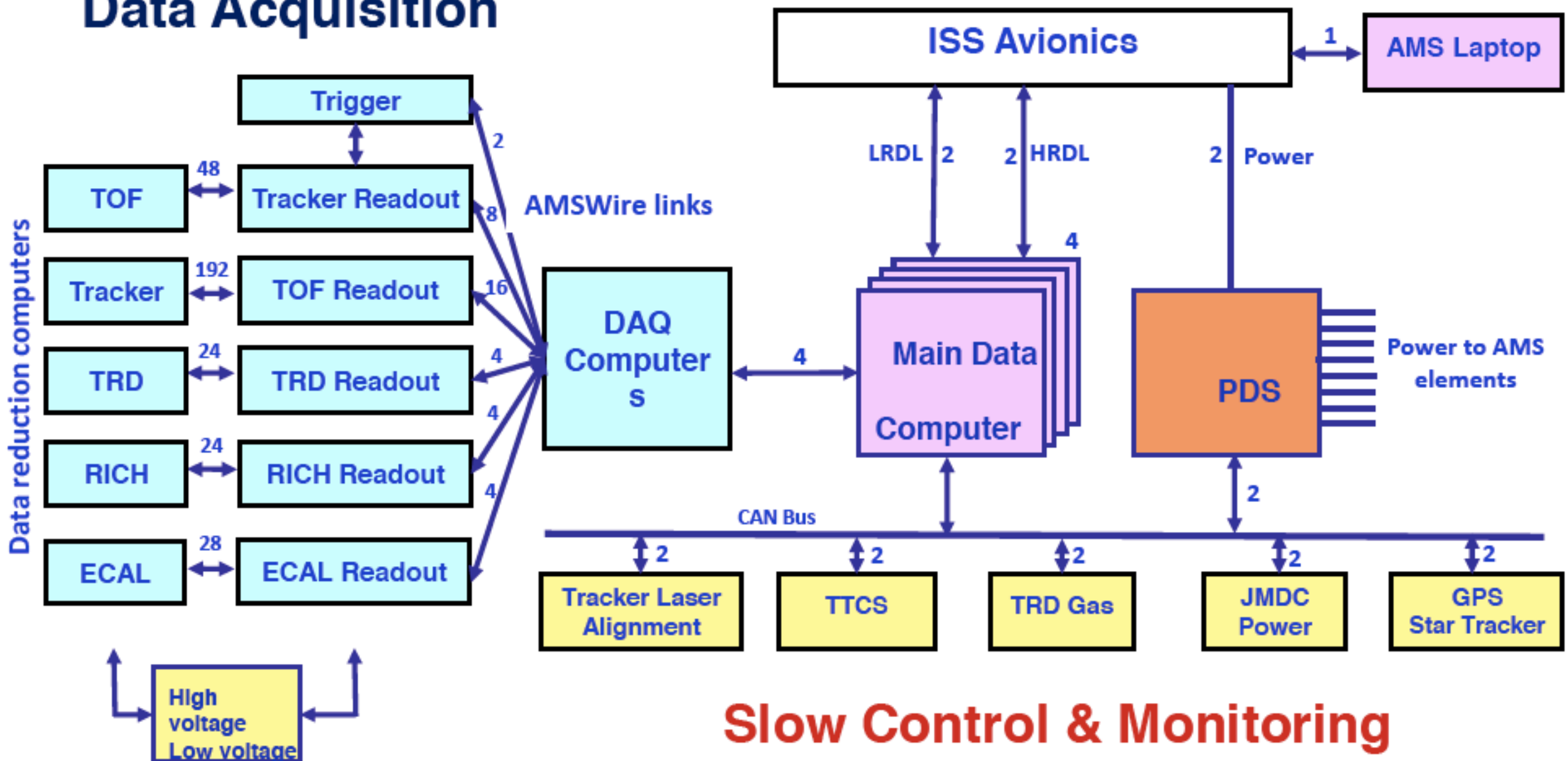
All the different detectors are readout with up to 400% redundancy.

Hundreds of these computers are interconnected in a tree like structure with an 100 MBit/s serial link.



AMS electronics

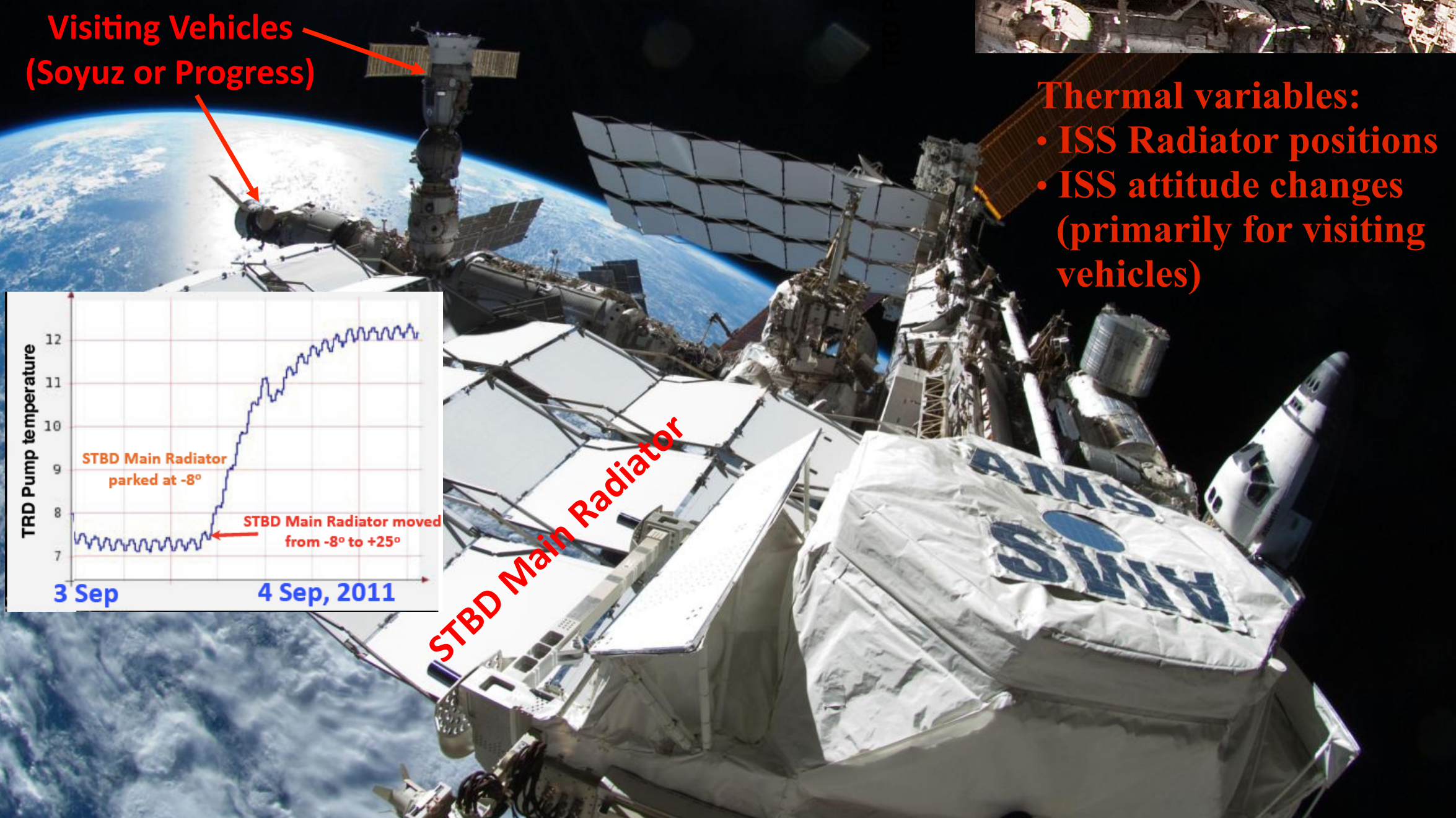
Data Acquisition



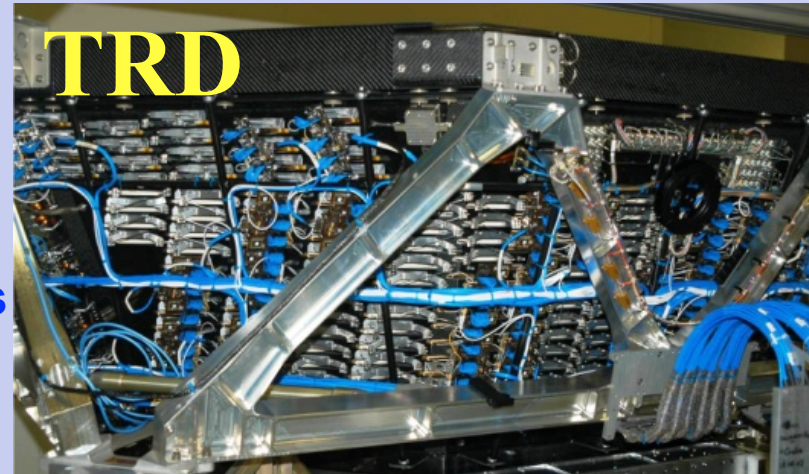
Thermal Control is the most challenging task in the operation of AMS

The thermal environment on ISS is constantly changing due to:

- Solar Beta Angle (β)
- Position of the ISS Radiators and Solar Arrays
- ISS Attitude



TRD



24 Heaters, 8 Pressure Sensors
482 Temperature Sensors

TOF & ACC



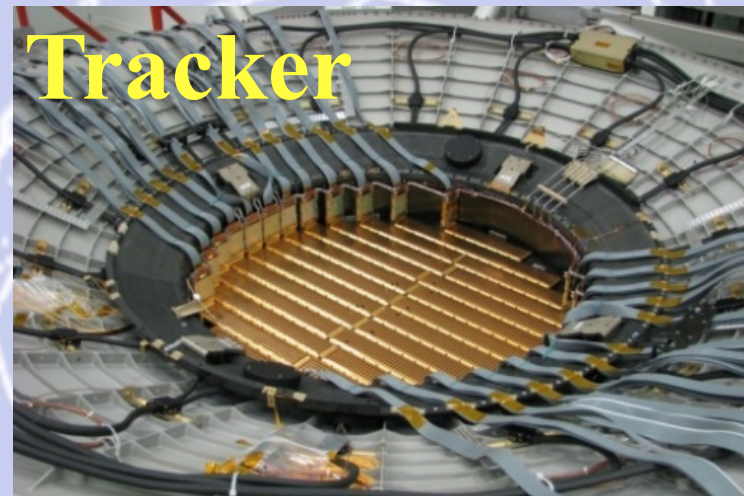
64 Temperature Sensors

RICH

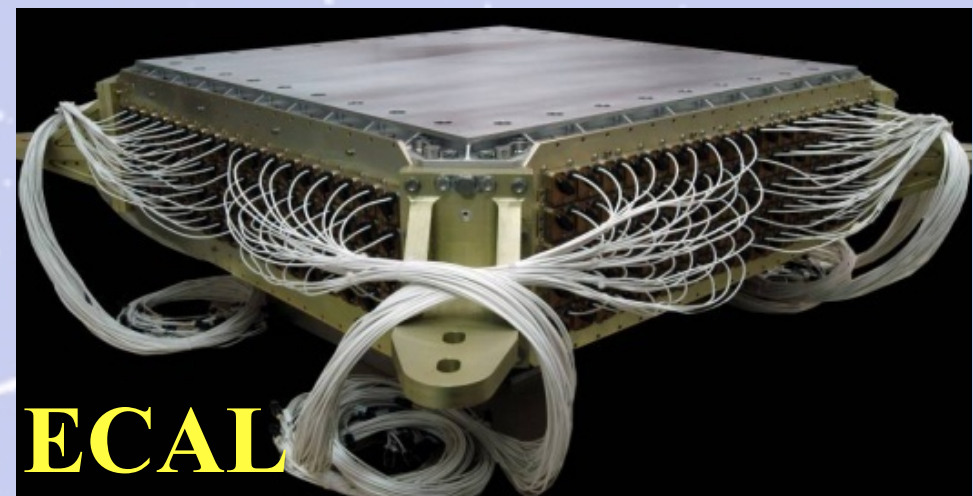


96 Temperature Sensors

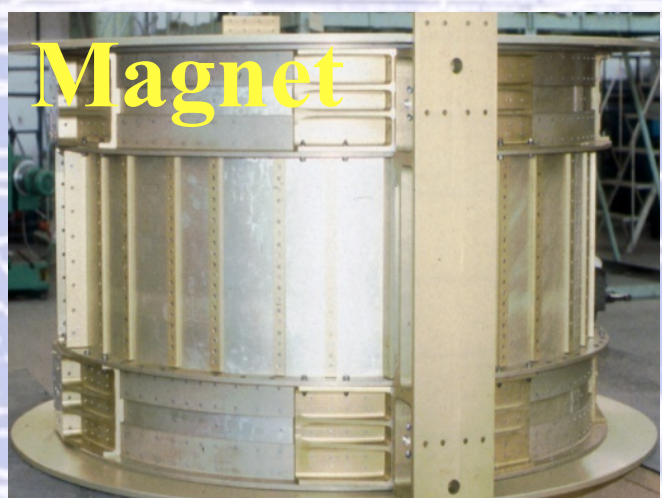
AMS Flight Electronics for Thermal Control



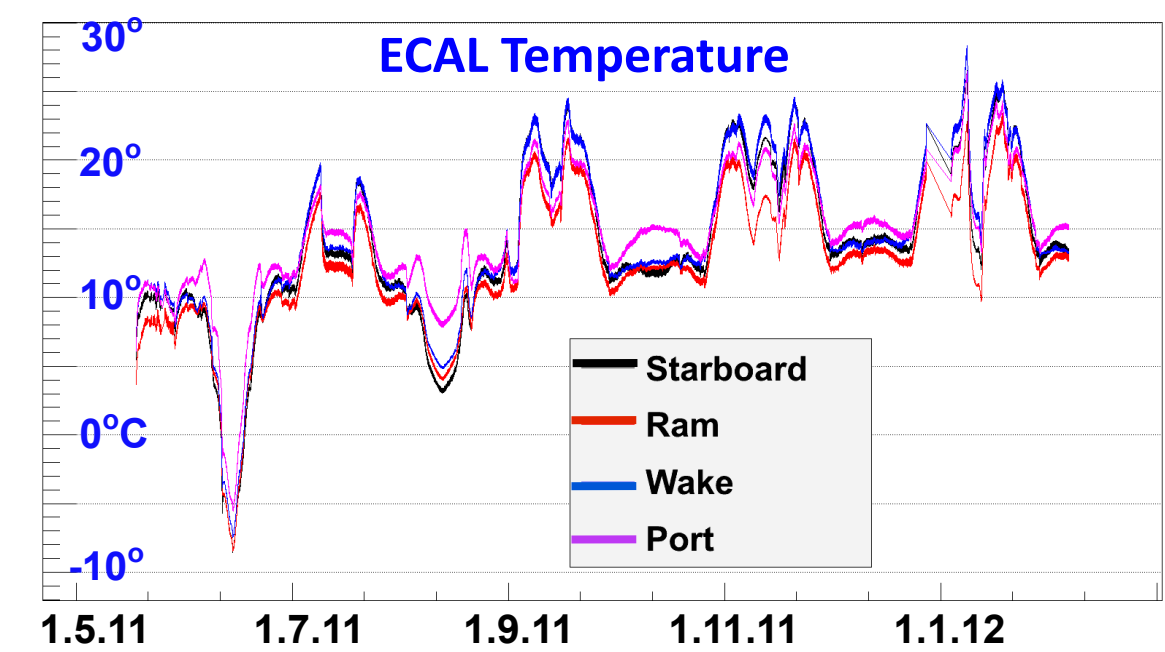
4 -Pressure Sensors, 32 Heaters
142 Temperature Sensors



80 Temperature Sensors



68 Temperature Sensors



Over 1,100 temperature sensors and 298 heaters are monitored around the clock in the AMS POCC to assure components stay within thermal limits and avoid permanent damage.

Appendice 2

(Un po' di teoria)

Particle Physics Timeline

For over two thousands years people have thought about fundamental particles from which all matter is made.

Starting with the gradual development of atomic theory, followed by a deeper understanding of the quantized atom, leading to the recent theory of the Standard Model.



Earliest times - 1550 AD: The Ancients

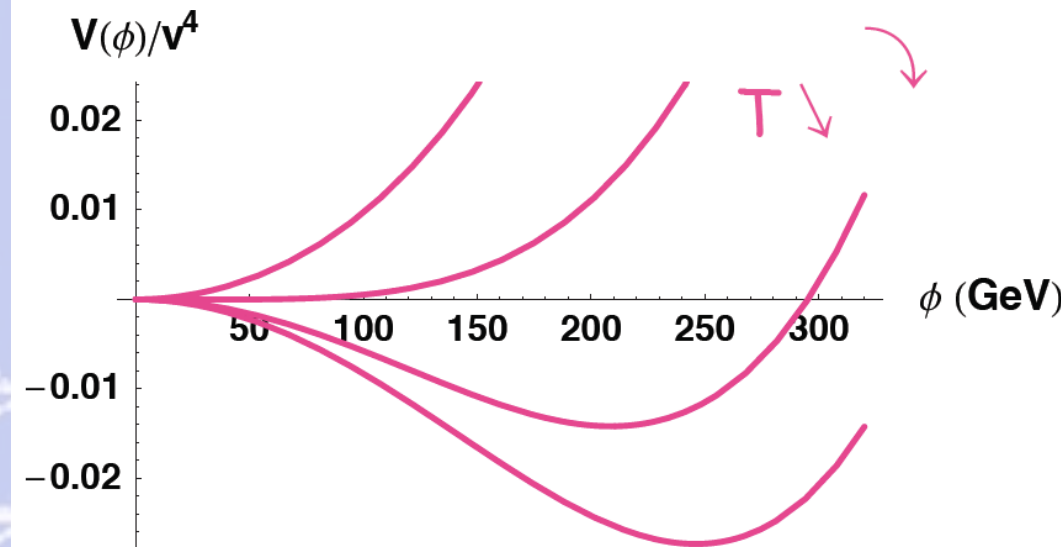
1550 - 1900 : The Scientific Revolution and Classical Mechanics

1900 - 1964 : Quantum Theory

1964 - Present: The Modern View (the Standard Model)

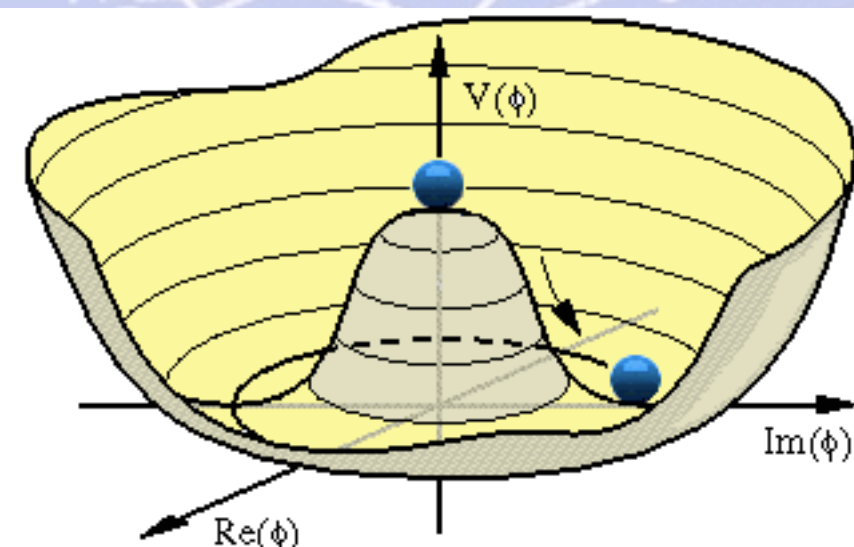
The (adhoc) Higgs Mechanism (a model without dynamics)

EW symmetry breaking is described by the condensation of a scalar field



$$\Phi = \begin{bmatrix} v + H + i\varphi_Z \\ \sqrt{2} \end{bmatrix}$$

Background value, Higgs medium
 Higgs boson: excitation of the higgs medium



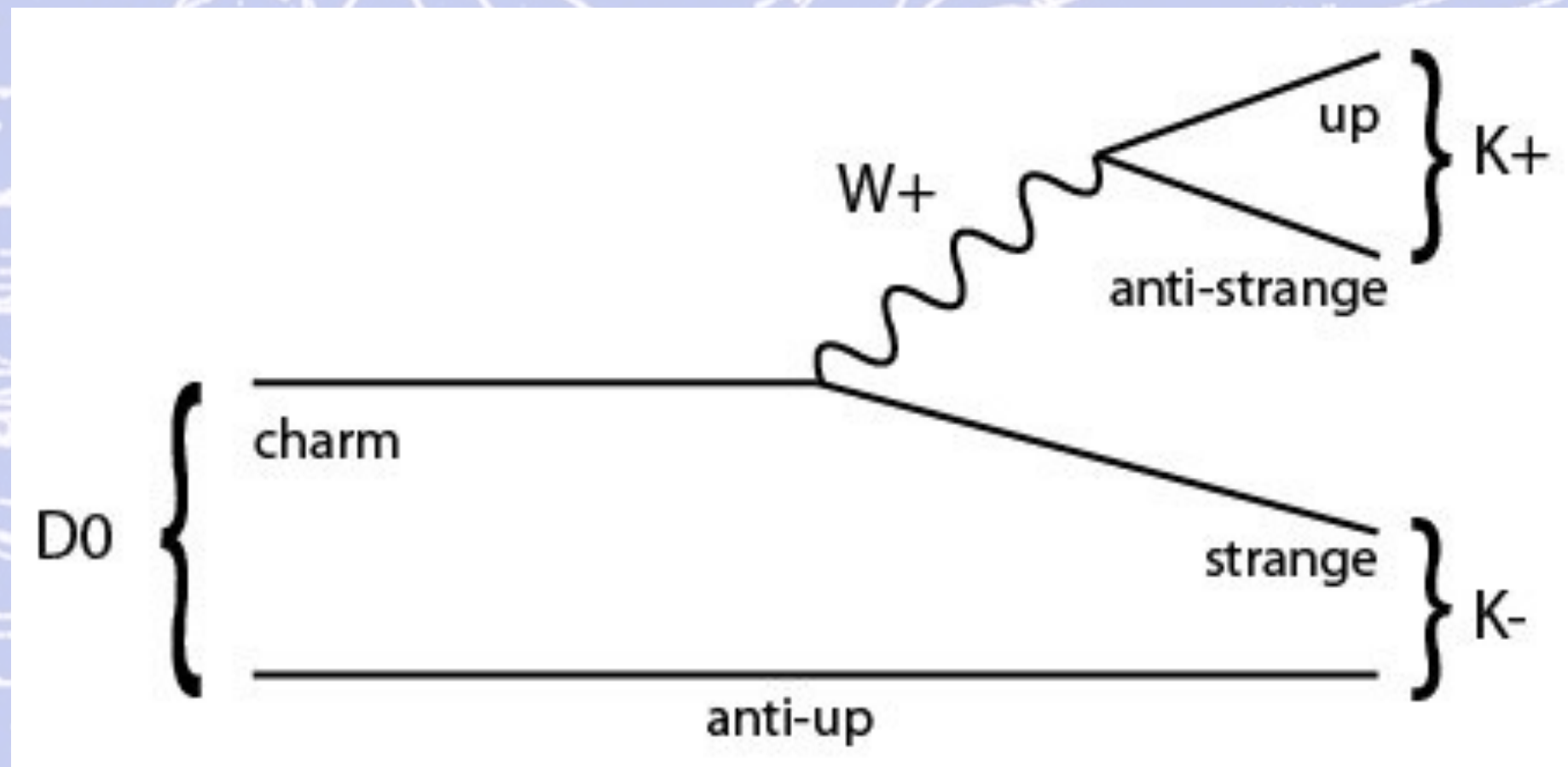
$$V(\Phi) = \frac{\mu^2}{2} \Phi^\dagger \Phi + \frac{\lambda}{4} \Phi^\dagger \Phi$$

Why is μ^2 negative ?

The Higgs selects a vacuum state by developing a non zero background value.
When it does so, it gives mass to SM particles it couples to.

We do not know what makes the Higgs condensate.
We ARRANGE the Higgs potential so that the Higgs condenses but this is just a parametrization that we are unable to explain dynamically.

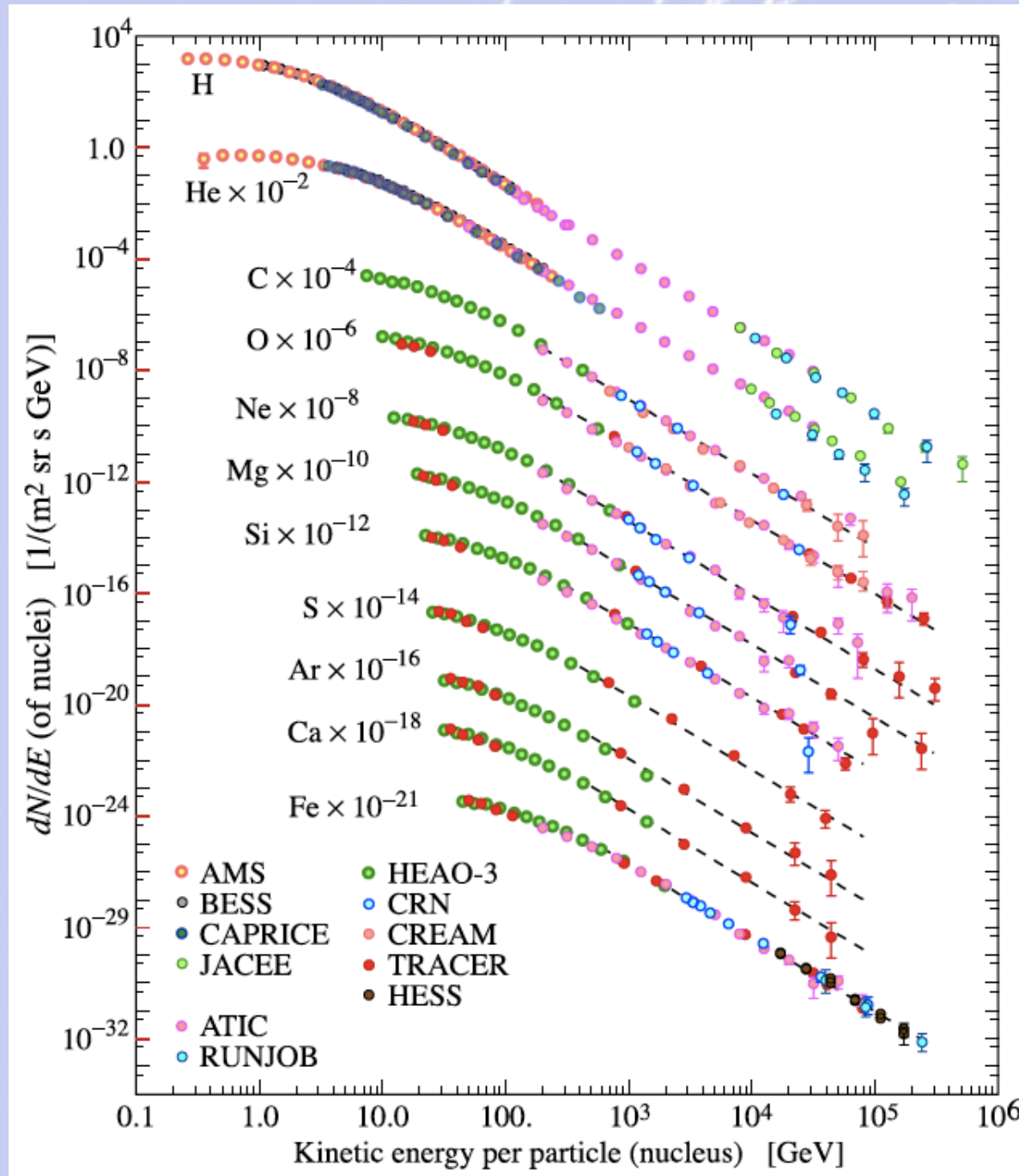
D^0 meson decay at LHCb



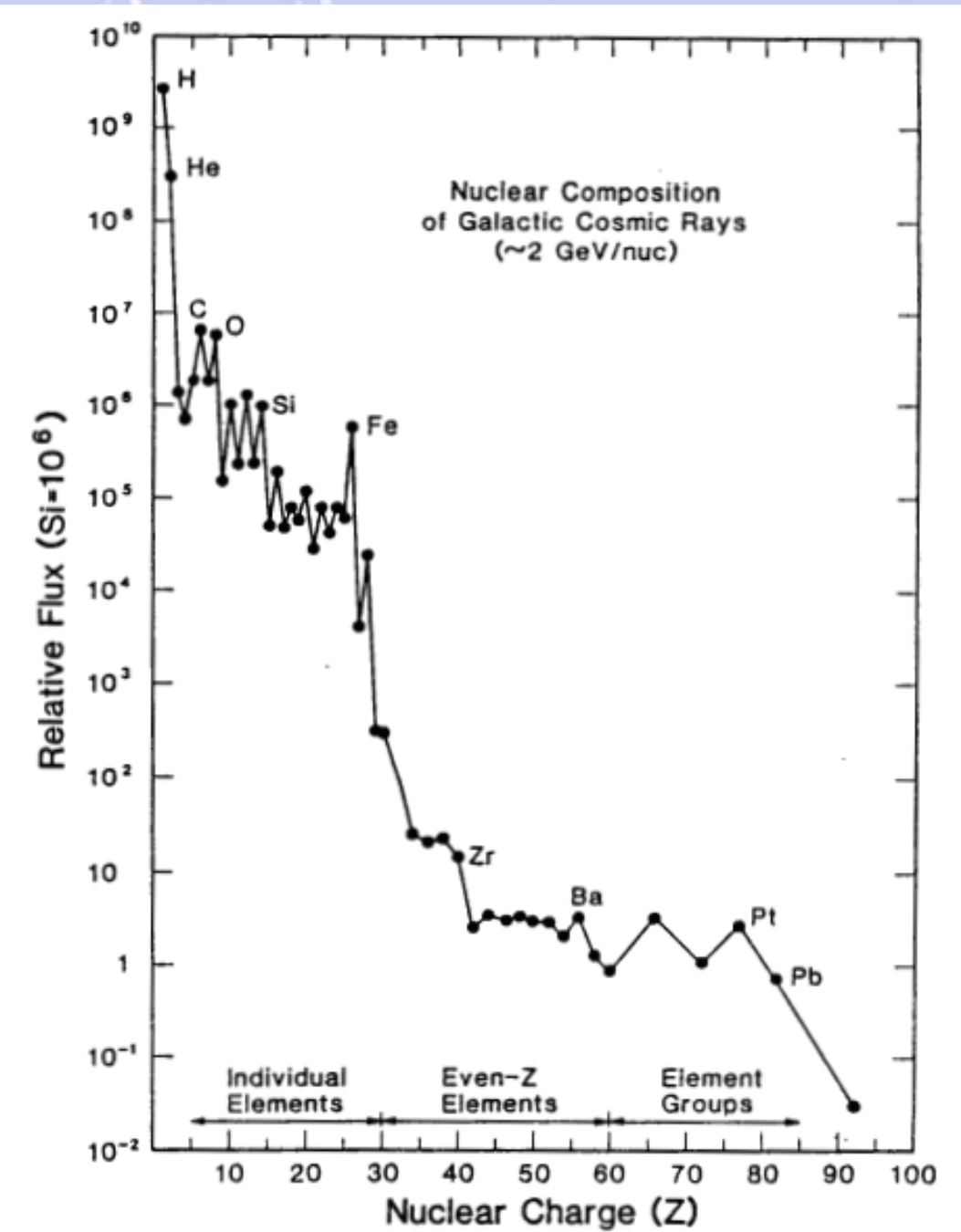
Appendice 3

(I raggi cosmici)

Abundance of different particles (\rightarrow identification)



Abundance of different nuclei (elements)



Appendice 4

(L'antimateria)

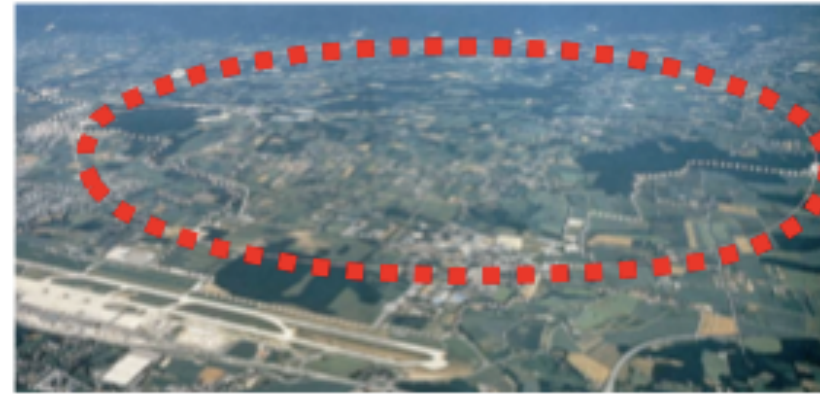
Physics of AMS: Search for Antimatter

in space



Ricerca dell'esistenza di un anti-Universo

on ground



Ricerca dell'origine dell'Universo

The Big Bang origin of the Universe requires
Matter and Antimatter
to be equally abundant at the very beginning

Anti-Universo

Universo

Physics of AMS: Search for Antimatter Universe

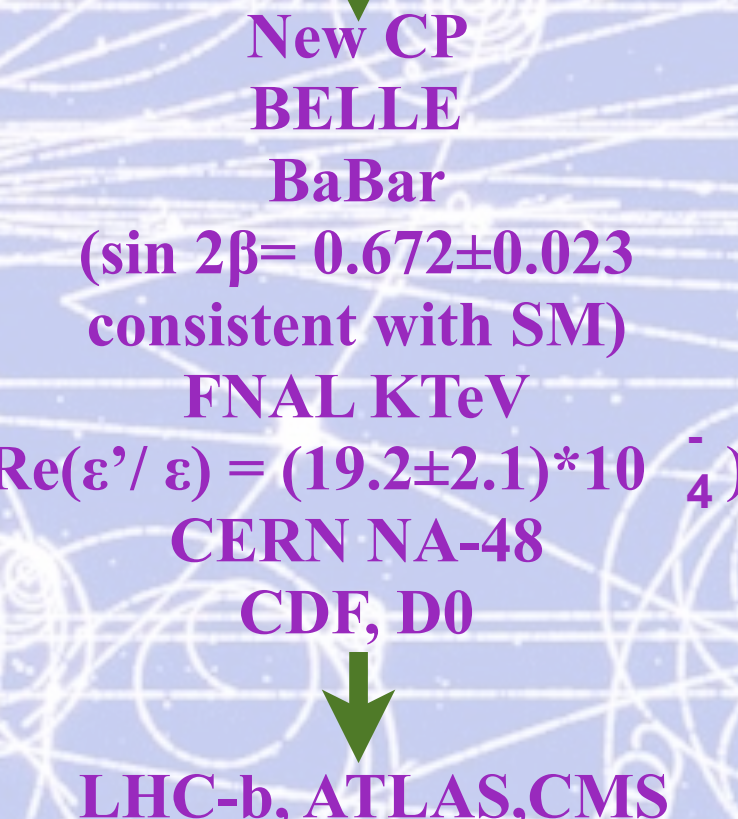
Experimental work on Antimatter in the Universe

Direct search



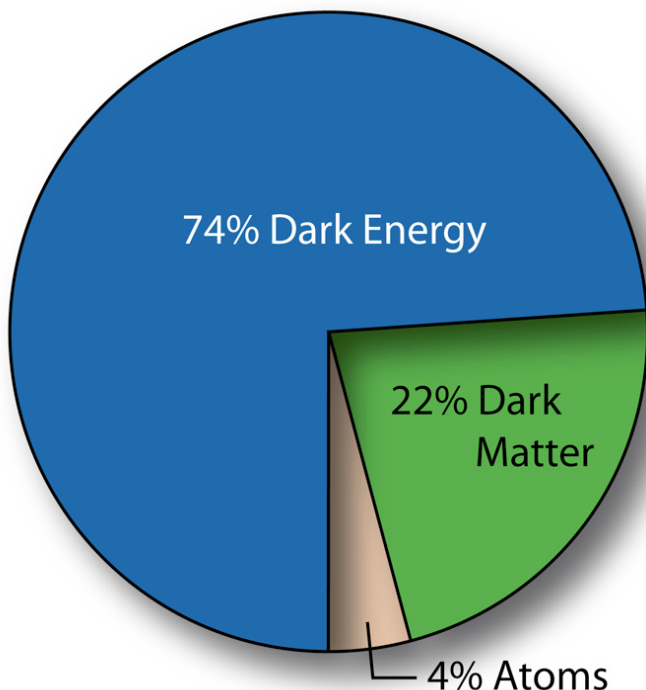
Increase in sensitivity: $\times 10^3 - 10^6$
Increase in energy to $\sim \text{TeV}$

Search for Baryogenesis



No explanation found for the absence of antimatter (no reason why antimatter should not exist)

Are Dark Matter and baryon abundances related ?



Baryonic asymmetry characterized in terms of the baryon to photon ratio

$$\frac{n_B - \bar{n}_B}{n_\gamma} \sim 6 \times 10^{-10}$$

$$\Omega_{DM} \approx 5-6 \Omega_{baryons}$$

if $n_{DM} - \bar{n}_{DM} \sim n_B - \bar{n}_B$

$$\frac{\Omega_{DM}}{\Omega_{baryons}} \sim C \frac{m_{DM}}{m_{baryons}}$$

Does this indicate a common dynamics?

Sakharov's conditions for baryogenesis (1967)

1) Baryon number violation

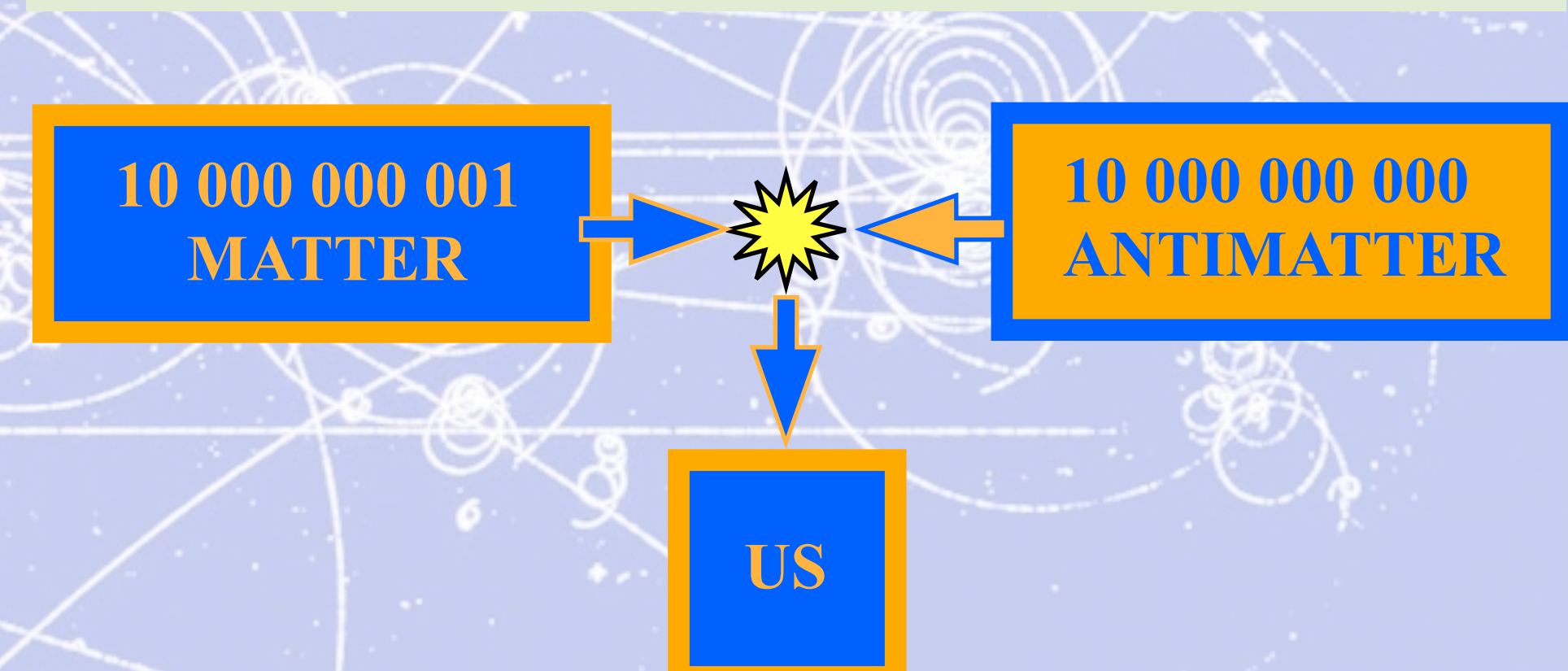
(we need a process which can turn antimatter into matter)

2) C (charge conjugation) and CP (charge conjugation × Parity) violation.

(we need to prefer matter over antimatter)

3) Loss of thermal equilibrium

(we need an irreversible process since in thermal equilibrium, the particle density depends only on the mass of the particle and on temperature, particles & antiparticles have the same mass , so no asymmetry can develop)

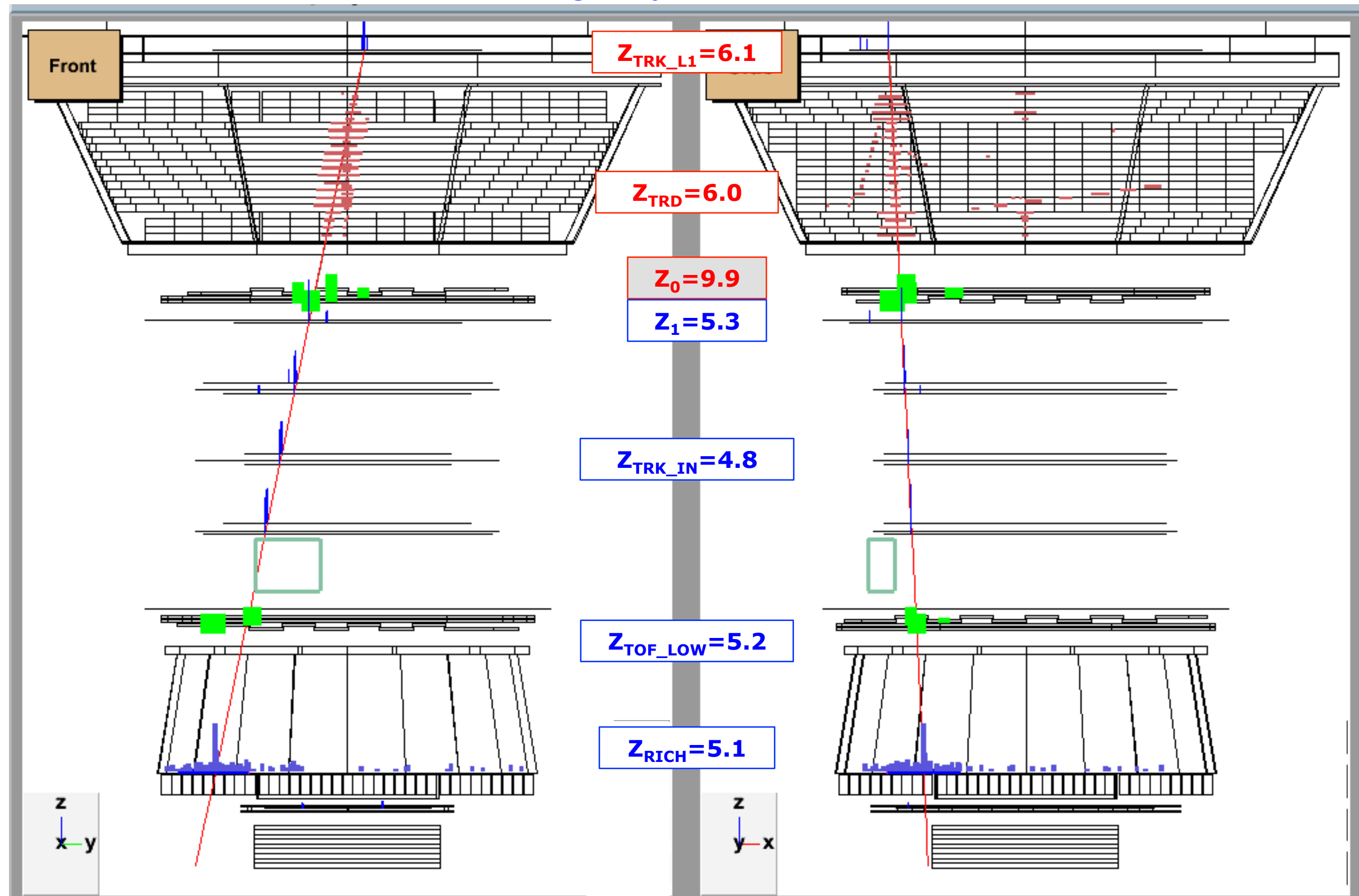


Appendice 5

(Rapporto Boro/Carbonio)

Carbon Fragmentation to Boron in Upper TOF

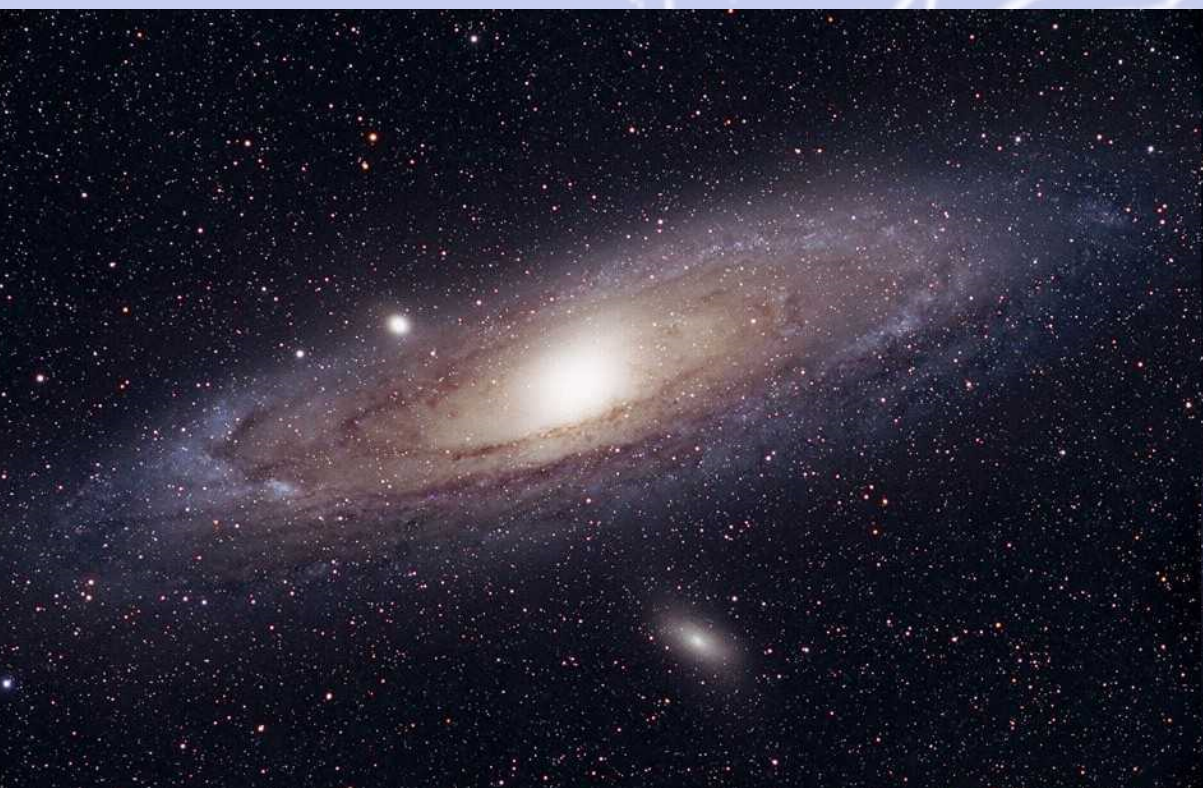
Rigidity 10.6 GV



Appendice 6

(La materia Oscura)

Dark Matter

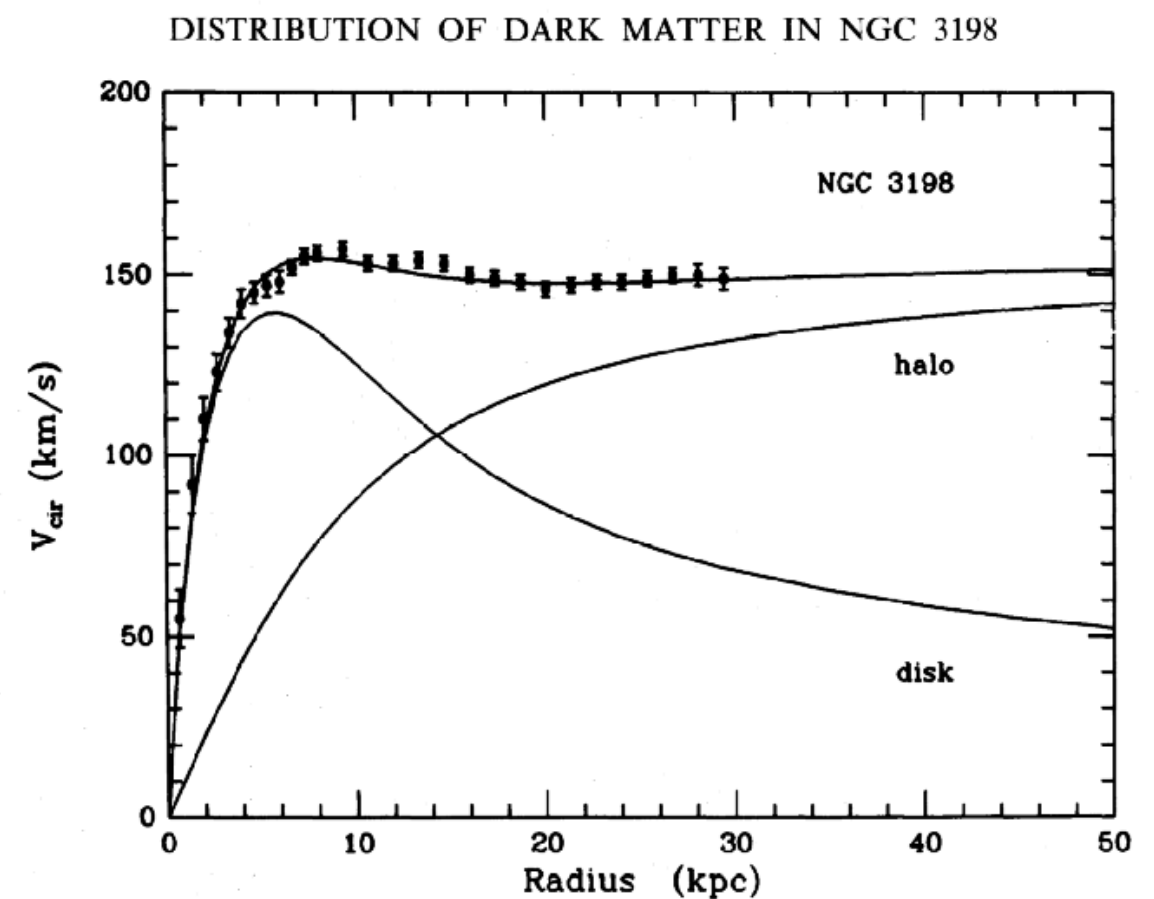


We don't know the nature of this new kind of matter we can only detect from its gravitational effects.

Several hypothesis exist to explain it.

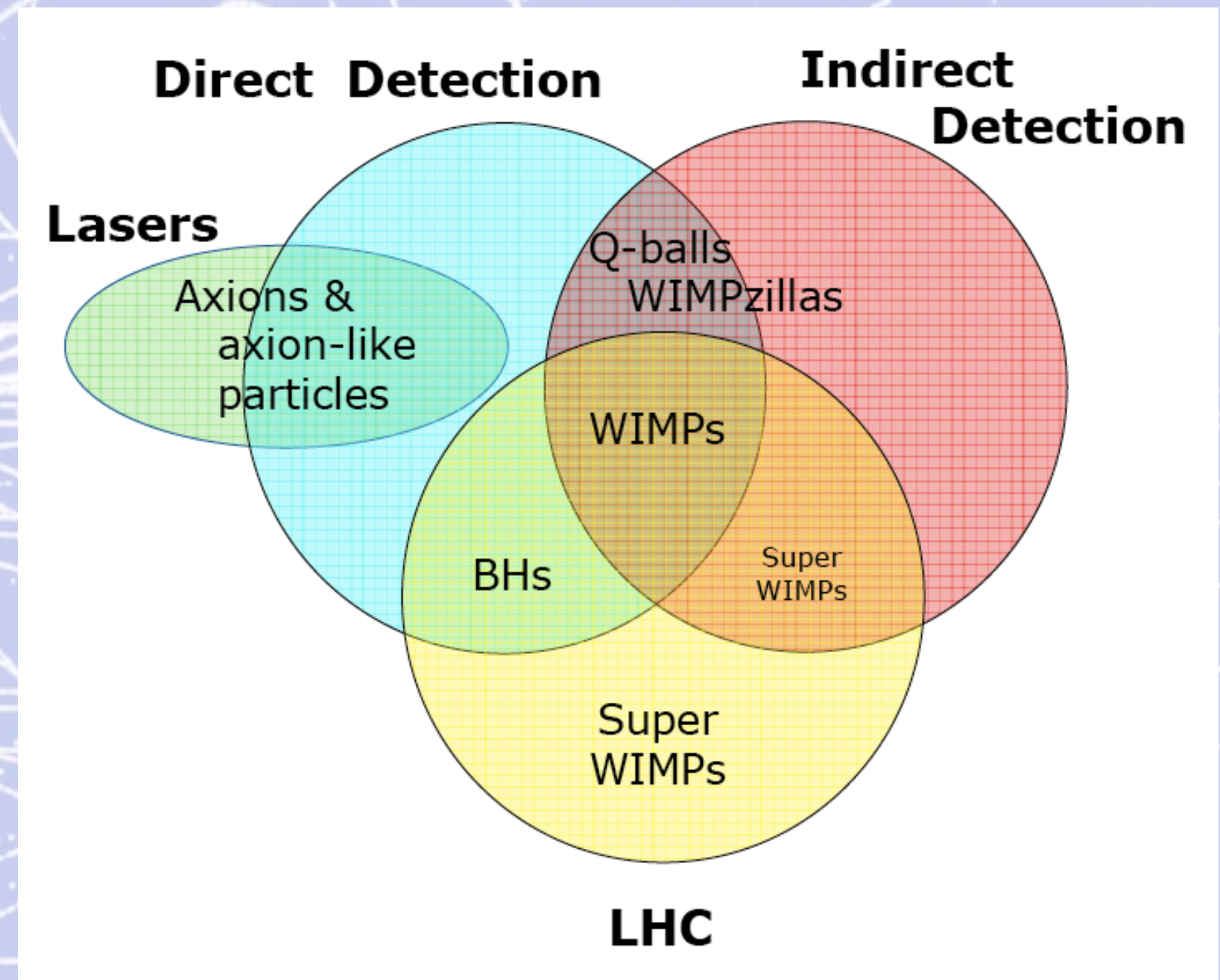
One of them tells that Dark Matter should be composed by supersymmetric particles not yet detected nowadays.

The velocity of stars lying at galaxies periphery indicate that there is much more matter in the galaxy than what we measure from visible stars.

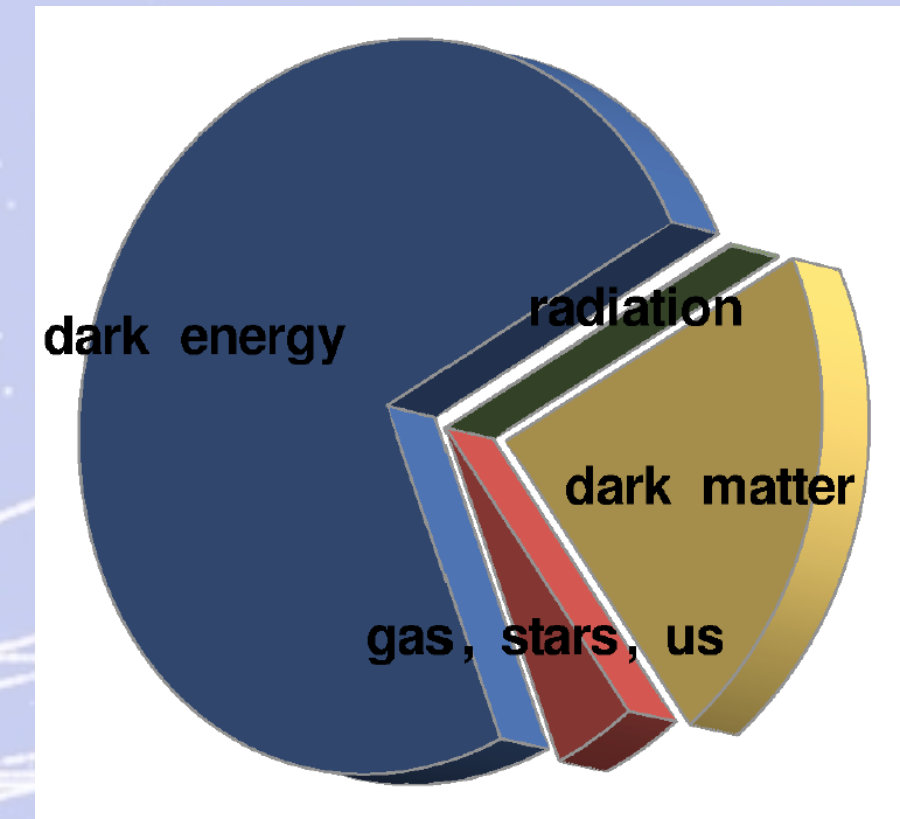
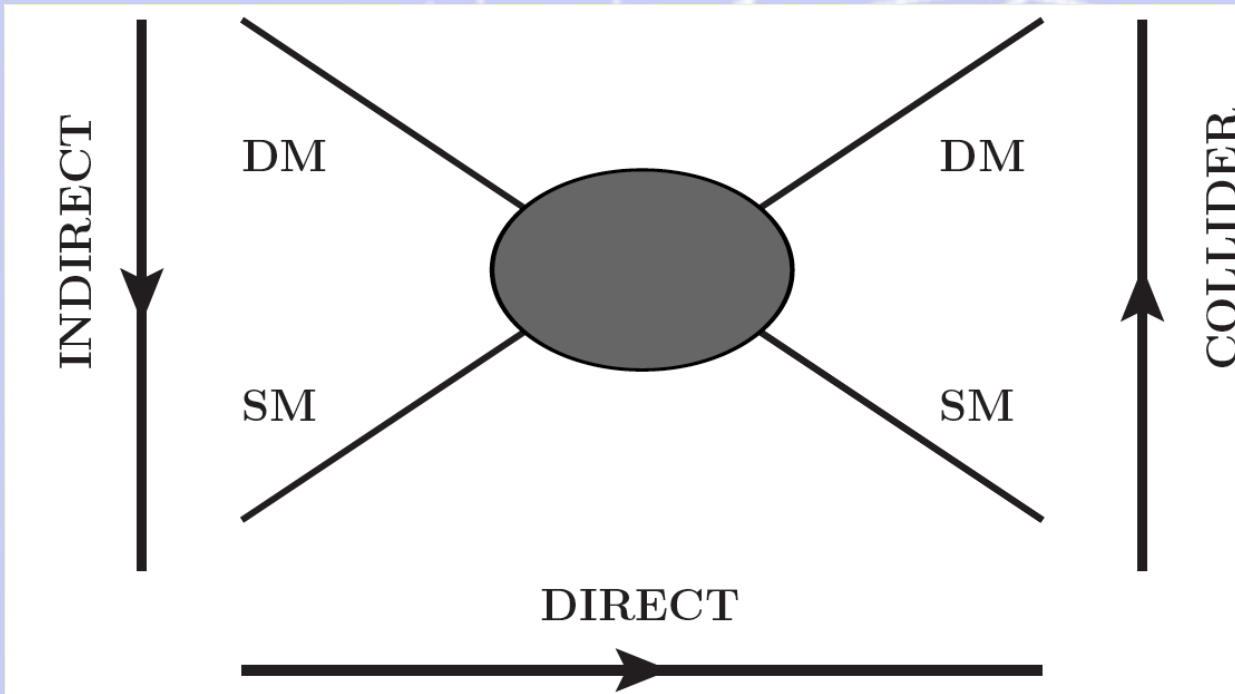


Dark Matter detection

- WIMPs
 - Neutralinos
 - Kaluza-Klein particles
 -
- Axinos
- Super-WIMPs
- Axions
- Axion-like light bosons
- Sterile neutrinos
- Q-balls
- WIMPzillas
- Elementary BHs



Ways of detecting dark matter



- 1 Direct detection.
- 2 Indirect detection: searching for products of annihilation.

High energy photons

- Space telescopes: COMPTEL, Fermi-LAT, **AMS**
- ACTs: HESS, Veritas, Magic.

Electrons/positrons: PAMELA, ATIC, Fermi-LAT, **AMS**, HESS, MAGIC.

Antiprotons: PAMELA, AMS.

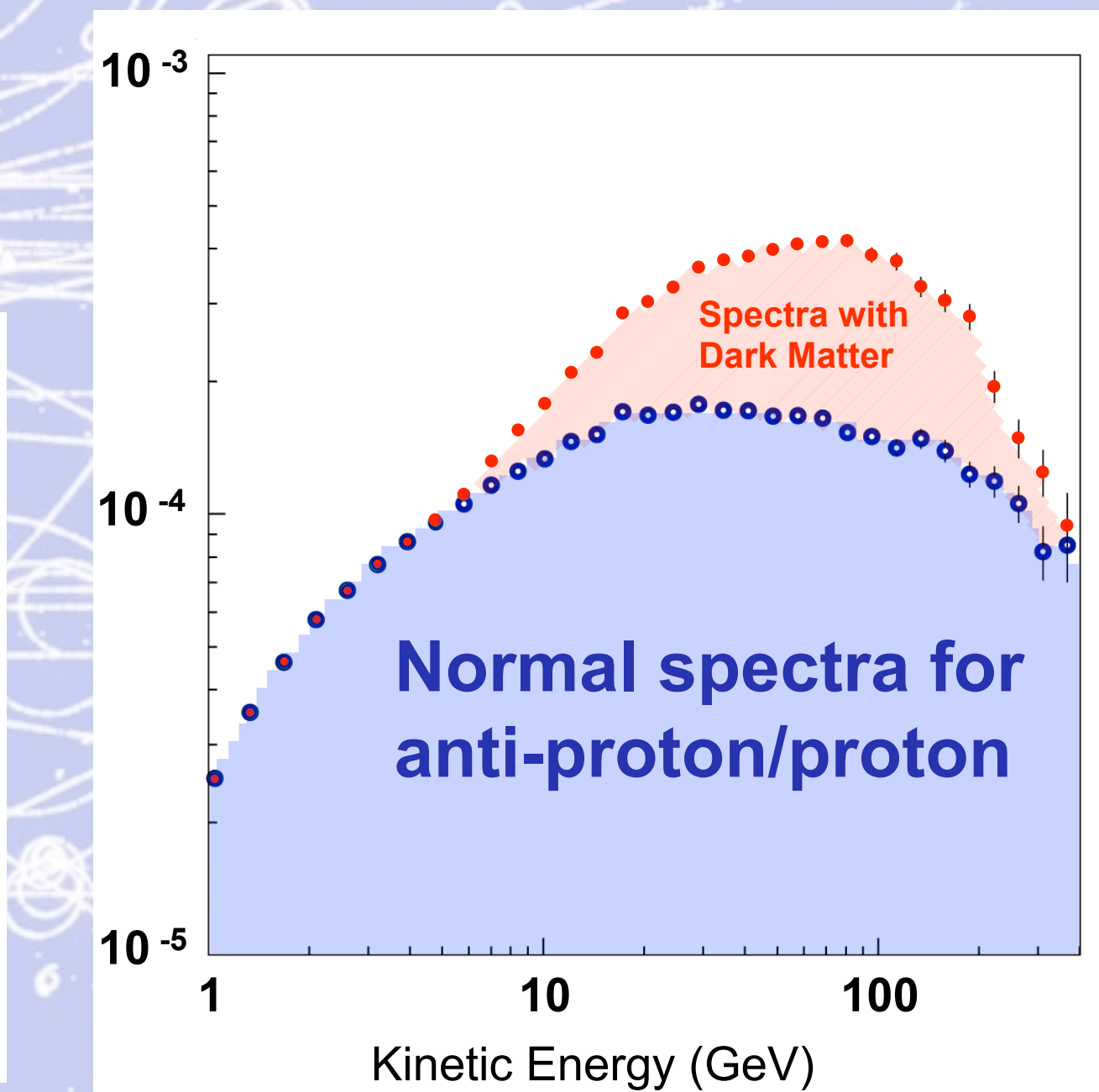
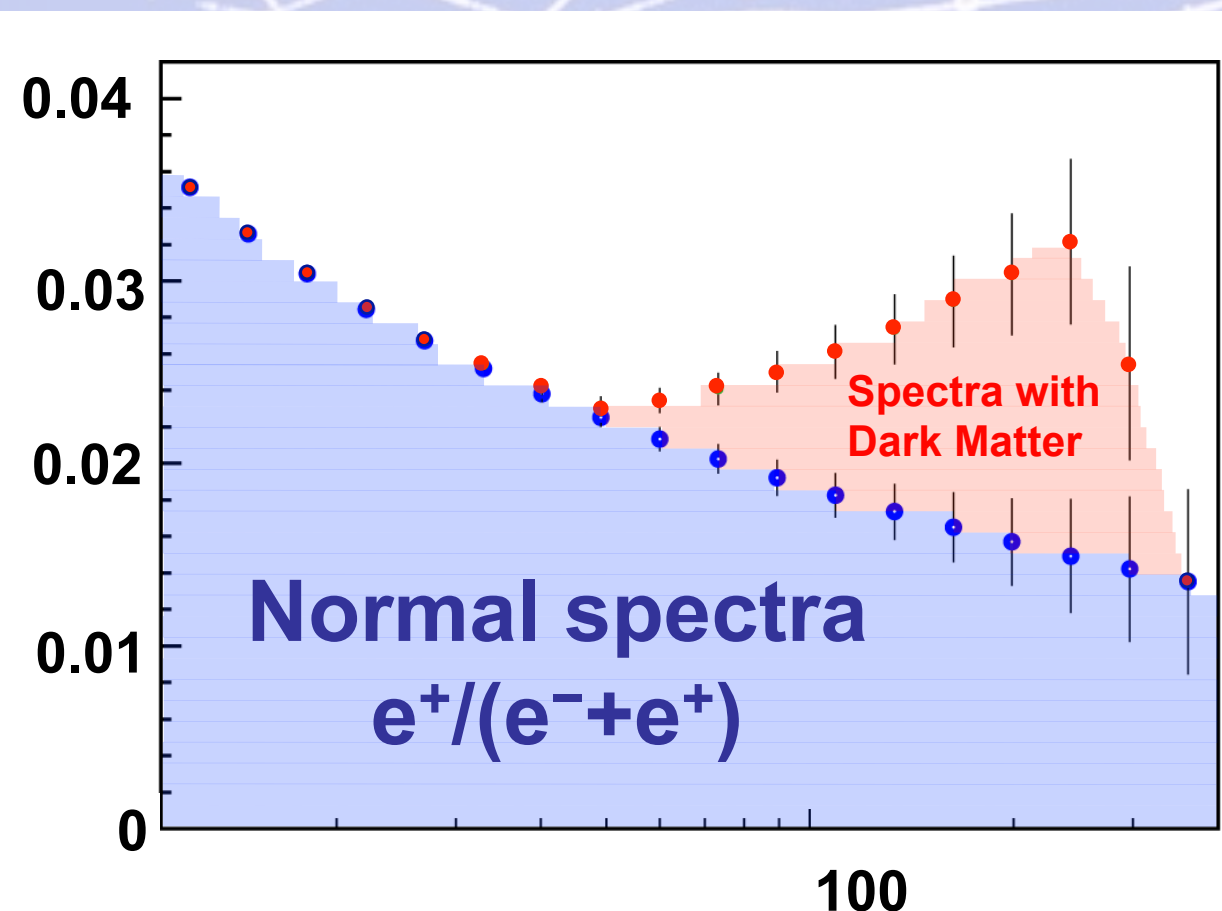
Neutrinos: ANTARES, IceCube.

- 3 Collider searches: LHC.
- 4 Indirect2: CMB optical depth and anisotropies, IGM temperature and 21 cm - recombination and reionization observables, BBN.

Dark Matter: neutralino annihilation

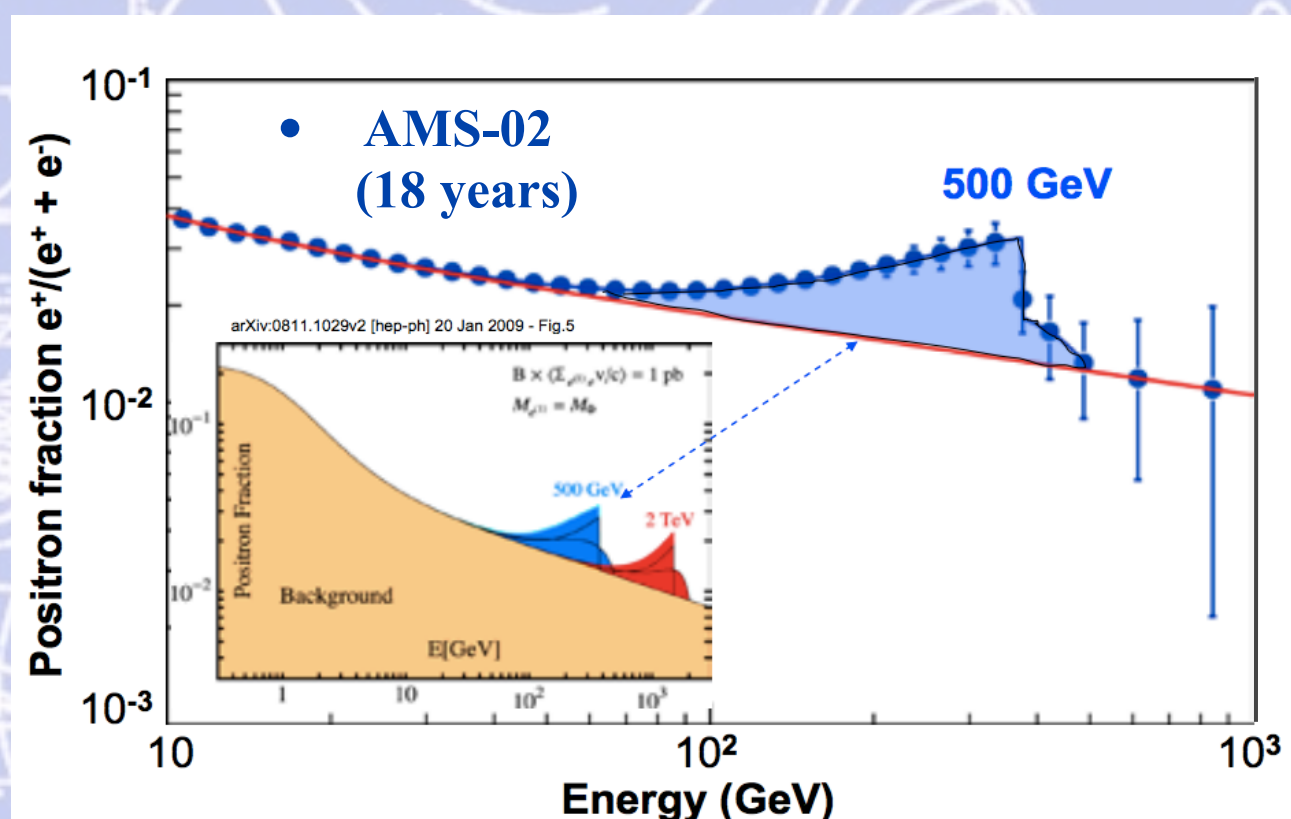
Lets suppose the existence of massive particles (χ) which are their own anti-particles.
If they meet they annihilate producing other particles and anti-particles
thanks to the available energy.

As a consequence, the cosmic rays spectrum will be modified.
These anomalies can be searched in positrons or anti-protons spectra.



Physics of AMS: Search for Dark Matter

The lightest Kaluza-Klein state is an excellent dark matter candidate if standard model particles propagate in extra dimensions (universal extra dimensions)



Expected spectrum from collisions of 500 GeV
Kaluza-Klein bosons based on Pontón and
Randall model

E.Pontón and L.Randall, preprint
arXiv:0811.1029v2 (2009)

Un esempio di modello (1)

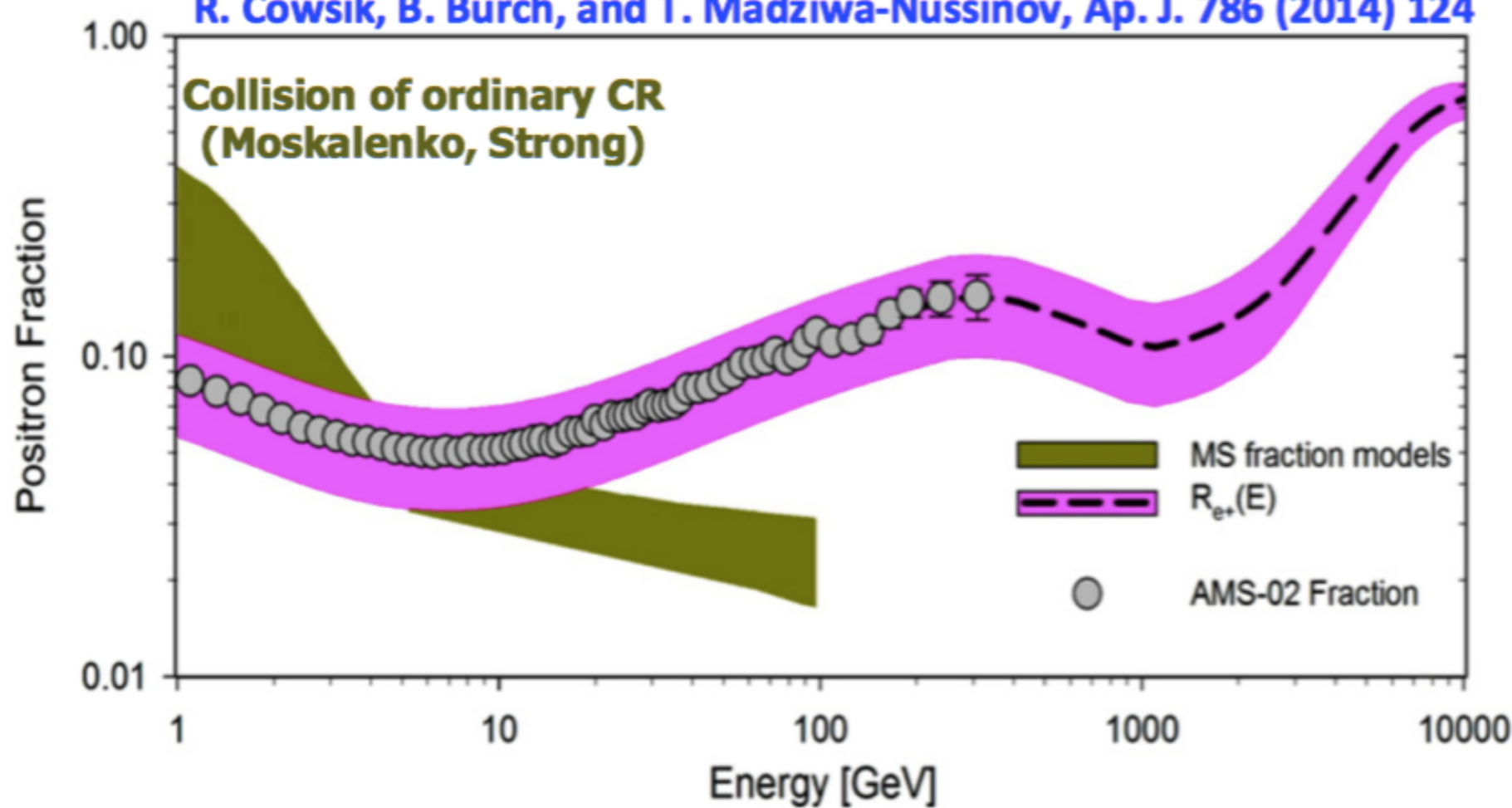
Theoretical models to explain the AMS positron fraction.

Among the 100's of models there are three classes:

- a) dark matter
- b) new forms of propagation
- c) pulsars.

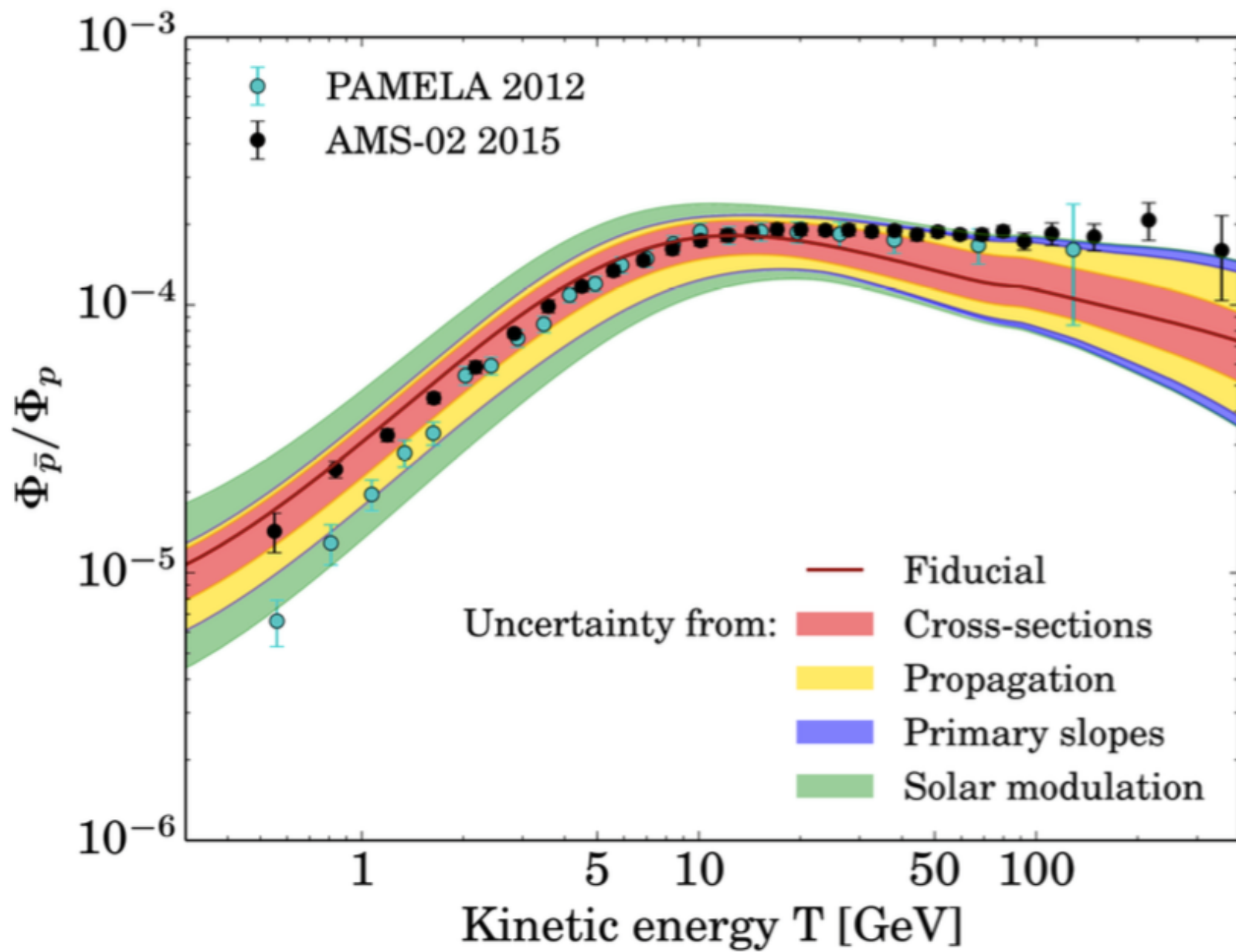
b) An example of new propagation:

R. Cowsik, B. Burch, and T. Madziwa-Nussinov, Ap. J. 786 (2014) 124



Un esempio di modello (2)

G.Giesen et al., JCAP09(2015) 023

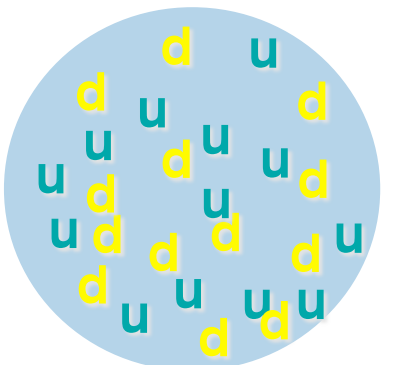


Appendice 7

(Materia “strana”)

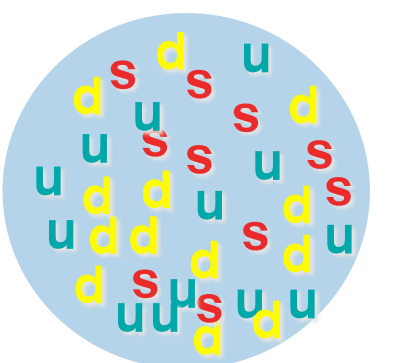
Search for Strangelets

All the known material on Earth is made out of u and d quarks



Diamond ($Z/A \sim 0.5$)

Is there material in the universe made up of u, d, & s quarks?

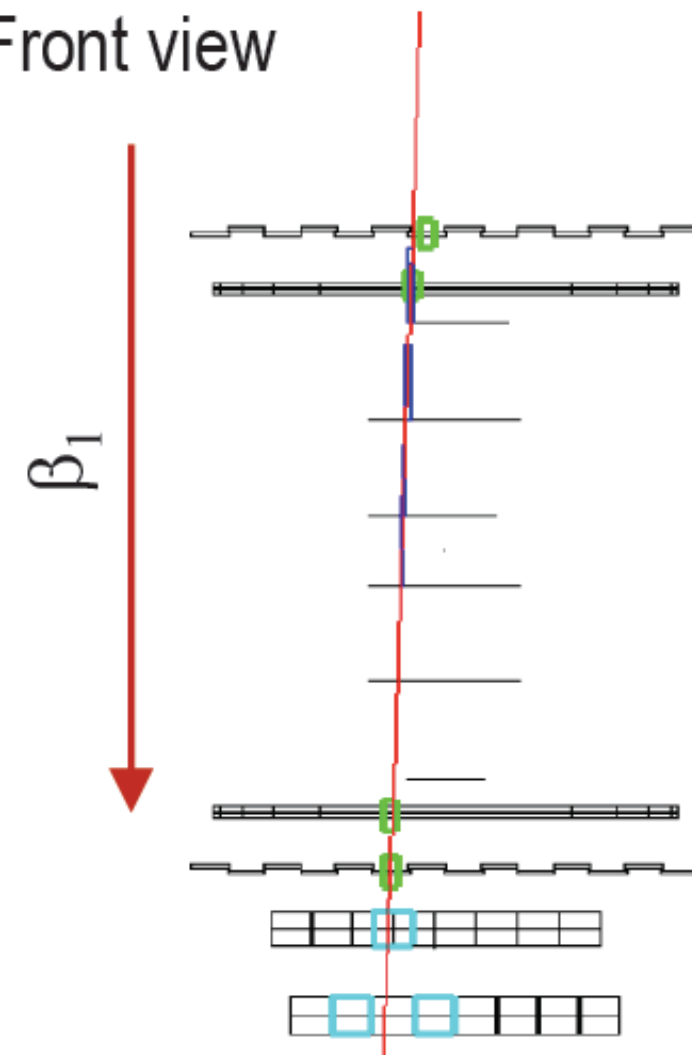


Strangelet ($Z/A < 0.1$)

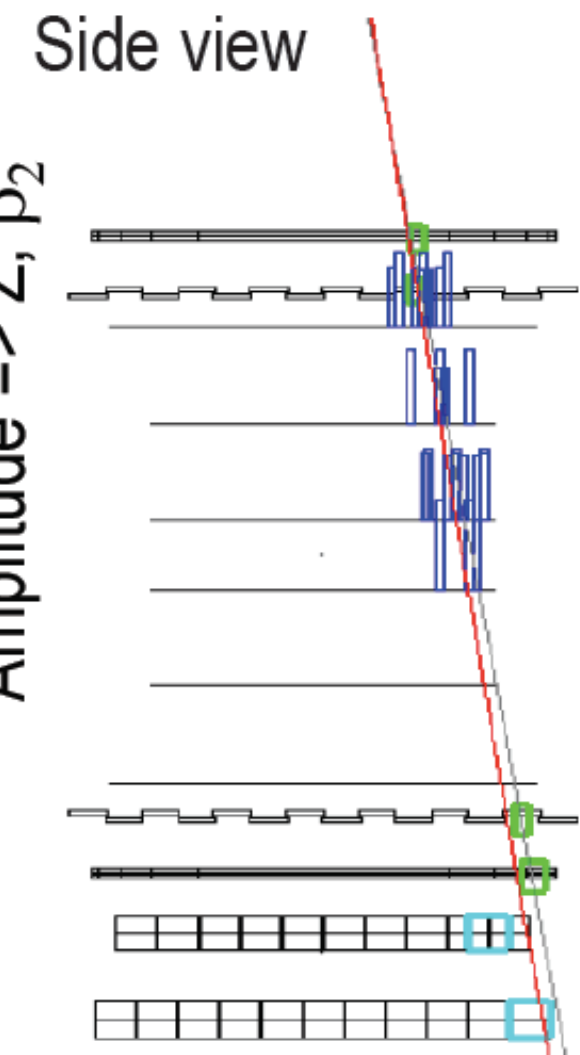
This can be answered definitively by AMS.

Candidate observed with AMS-01
5 June 1998 11:13:16 UTC

Front view



Side view



Rigidity = 4.31 ± 0.38 GV

Charge $Z = 2$

$\beta_1 = \beta_2 = 0.462 \pm 0.005$

Mass = 16.45 ± 0.15 GeV/c²

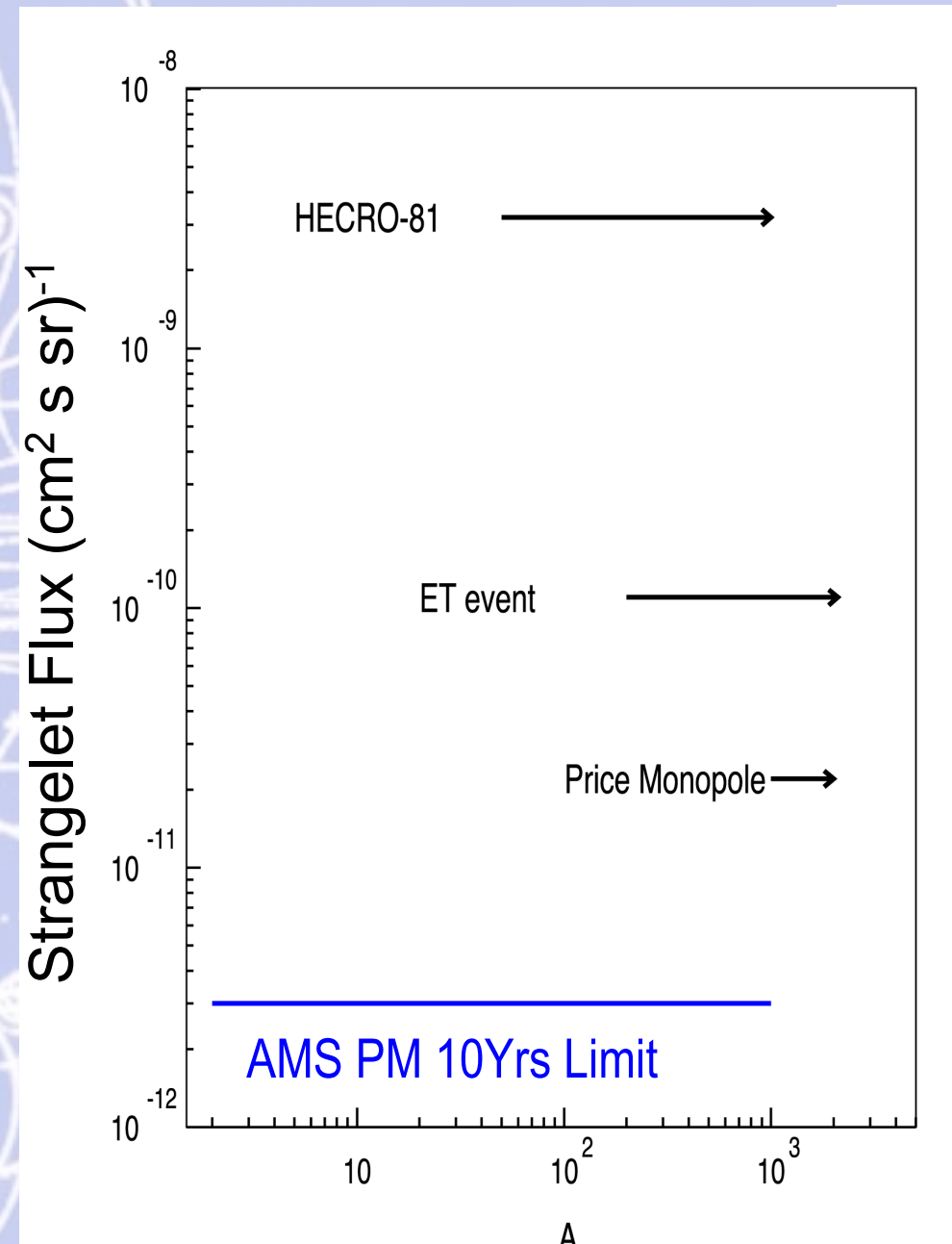
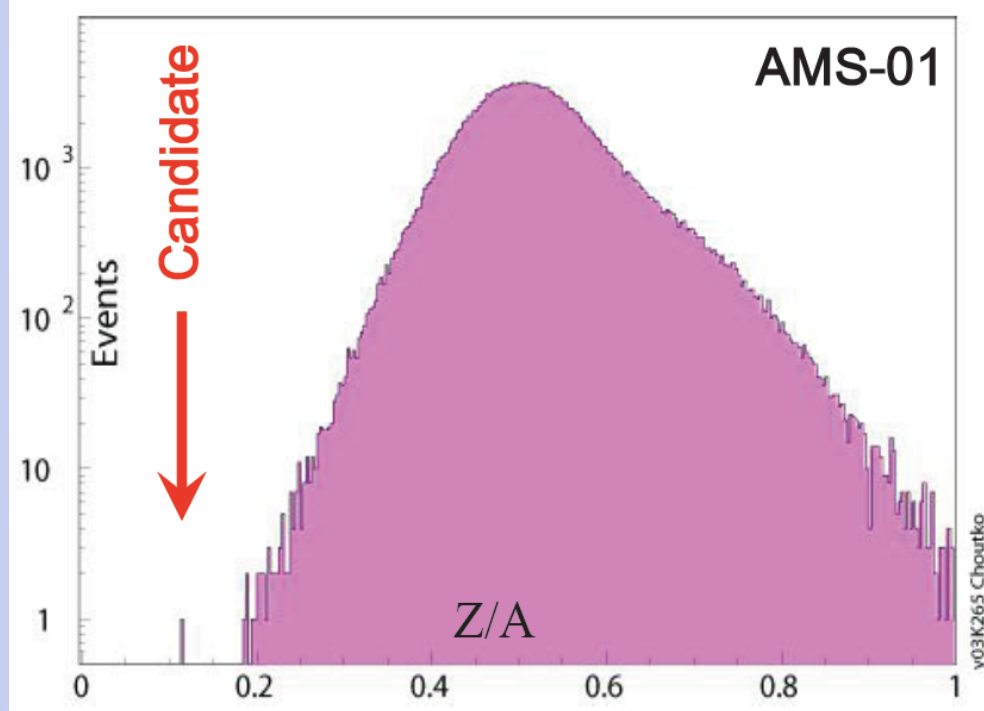
$Z/A = 0.114 \pm 0.01$

Flux ($1.5 < E_K < 10$ GeV) = 5×10^{-5} (m²sr sec)⁻¹

Search for Strangelets

E. Witten, Phys. Rev. D, 272-285 (1984)

Candidate observed with AMS-01
5 June 1998 11:13:16 UTC



Background probability $< 10^{-3}$
 $\Phi_{\text{strangelets}} = 5 \times 10^{-10} (\text{cm}^2 \text{s sr})^{-1}$
 or ~30 in 1st year for AMS-02

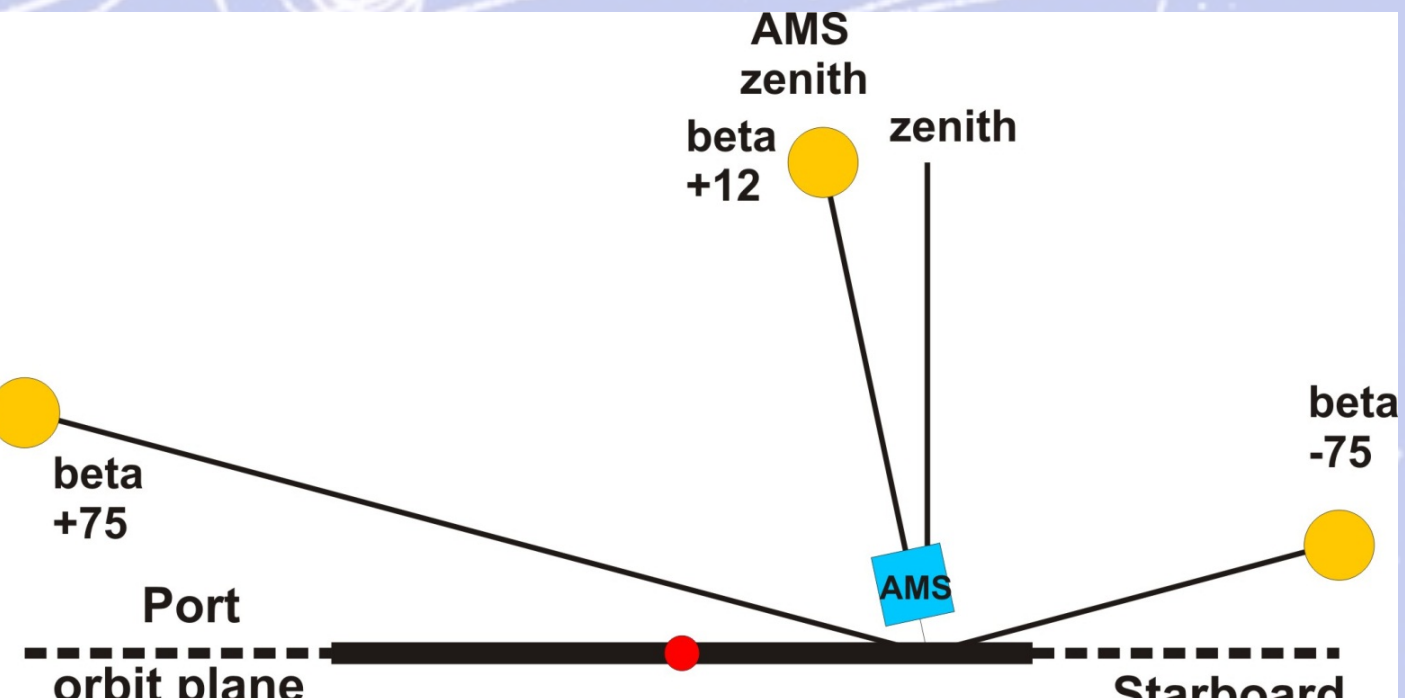
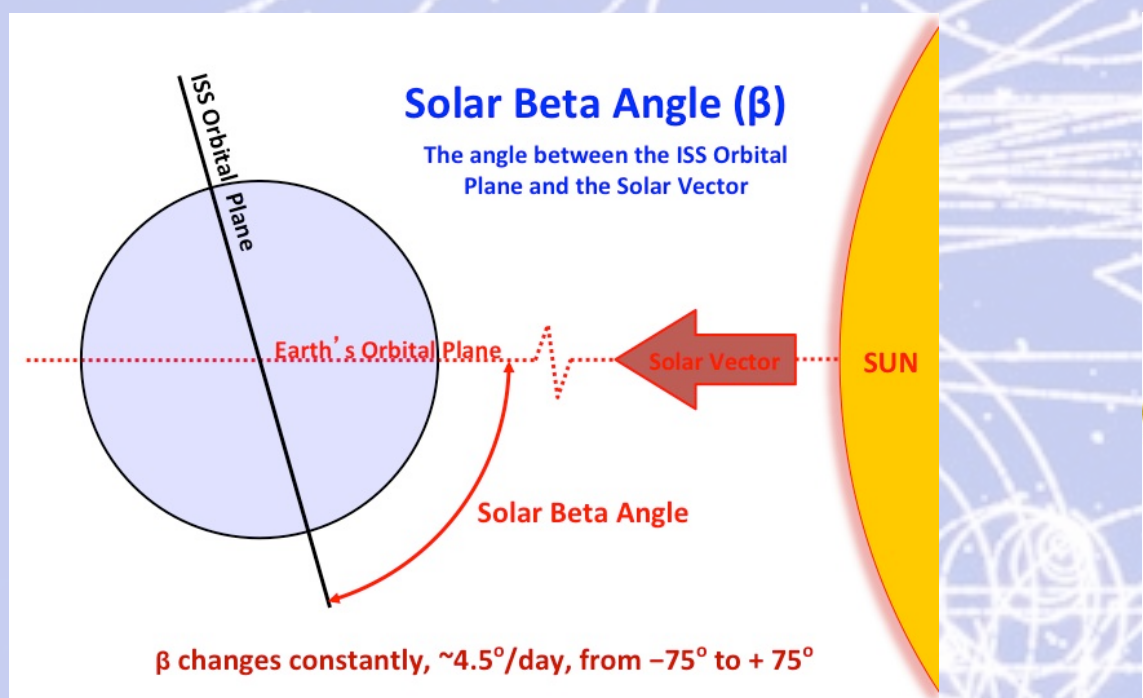
Appendice 8

(Condizioni termiche di AMS-02: angolo beta)

Thermal Control is the most challenging task in the operation of AMS

The thermal environment on ISS is constantly changing due to:

- Solar Beta Angle (β)
- Position of the ISS Radiators and Solar Arrays
- ISS Attitude



Over 1,100 temperature sensors and 298 heaters are monitored around the clock in the AMS POCC to assure components stay within thermal limits and avoid permanent damage.

Appendice 9

(Il tracciatore di AMS-02)

The momentum resolution ($\Delta p/p$) is the sum of two contributions:

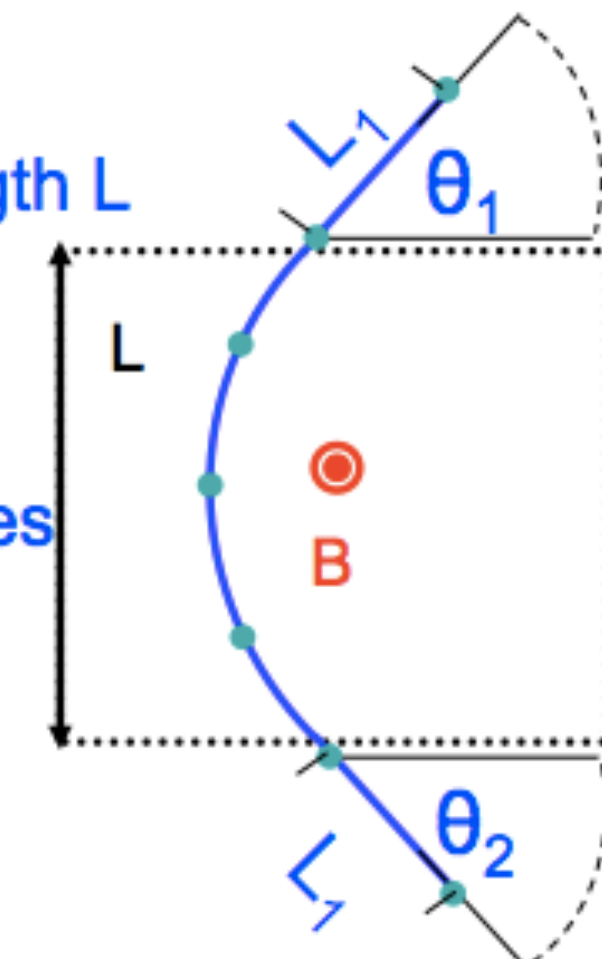
1. Measurement inside the magnet with an effective length L

$$(Q/p) \cdot (\Delta p/p) \propto 1/BL^2$$

2. Measurement of the incident (θ_1) and exit (θ_2) angles

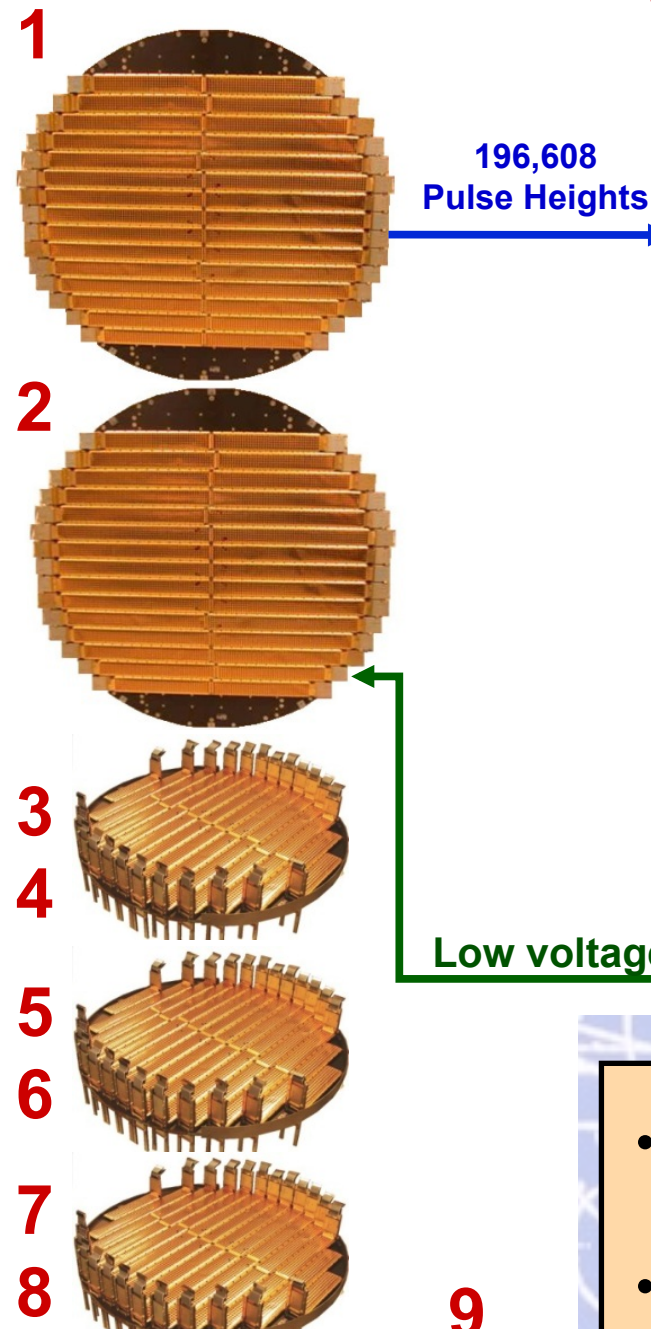
which depend on the length L_1

$$(Q/p) \cdot (\Delta p/p) \propto 1/BLL_1$$



For both magnets, $L \sim 80$ cm,
but in the permanent magnet B is 5 times smaller
to maintain the same $\Delta p/p$ we increase L_1 from ~ 15 cm
(Superconducting Magnet) to ~ 125 cm (permanent magnet)

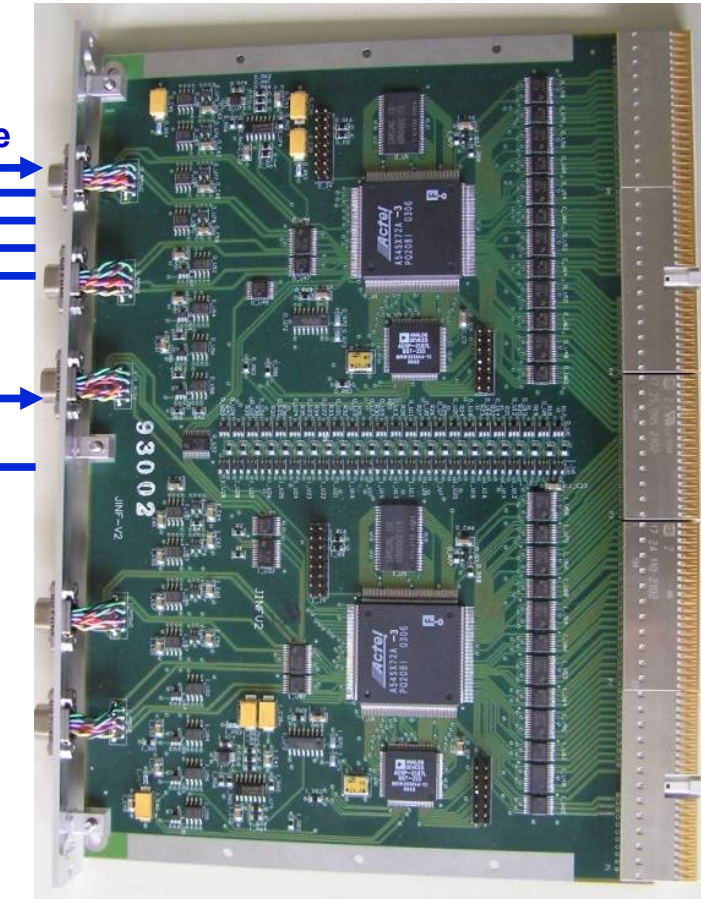
**196,608 Pulse Heights,
216 Low Voltages,**



192 Tracker Data Reduction (TDR)



16 Readout Computers (JINF-T)



- Analog to digital conversion
coordinate resolution of $10 \mu\text{m}$
- Data reduction:
Pedestal subtraction
Noise suppression
Cluster finding
- Format, send to next level

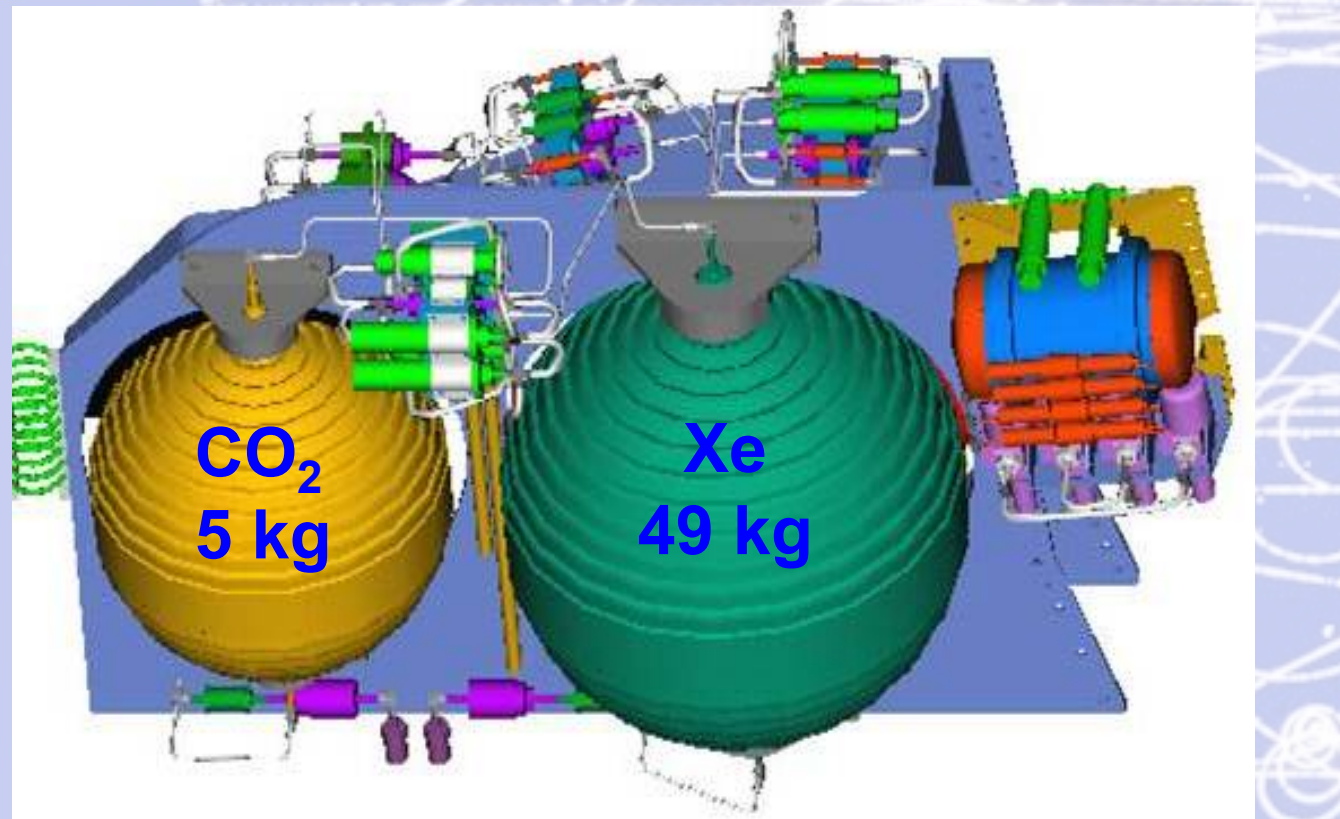
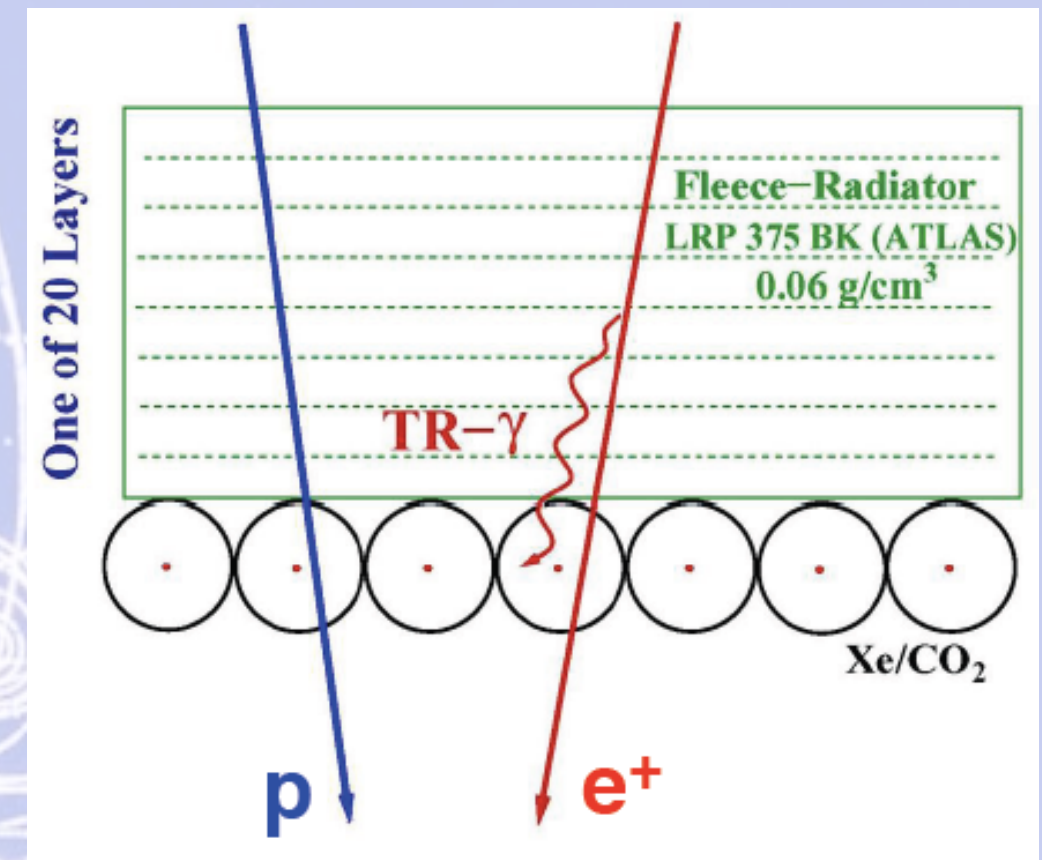
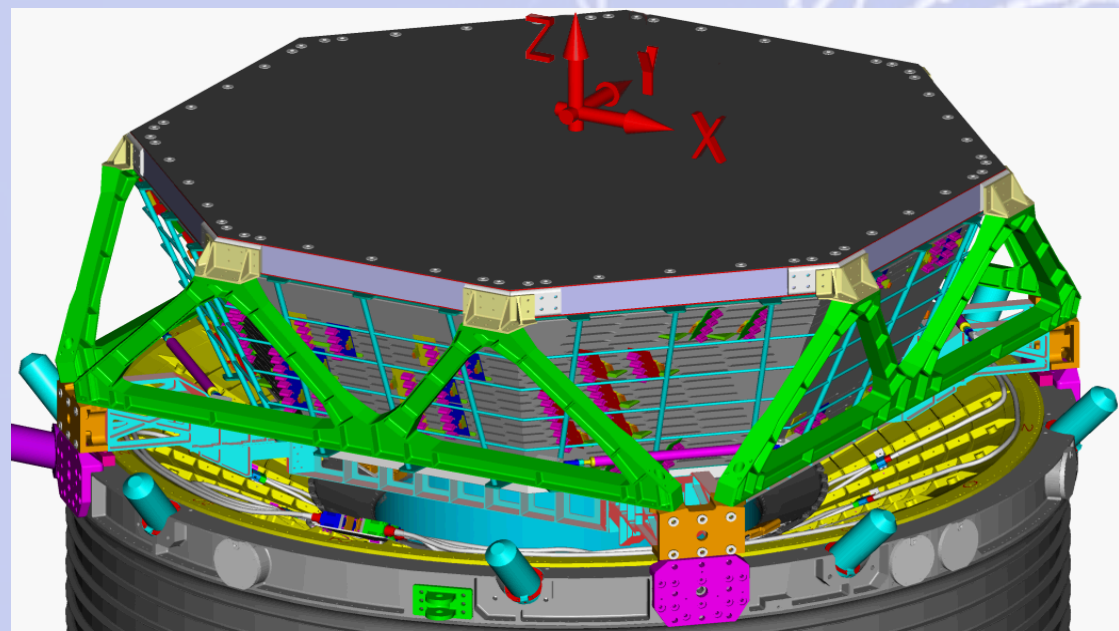
- Collect data from TDR (*)
- Format, send to next level
- Control Low Voltages
- Combine Busy signals
- Distribute Trigger
- Distribute command to TDR

(*) Tracker Data Reduction

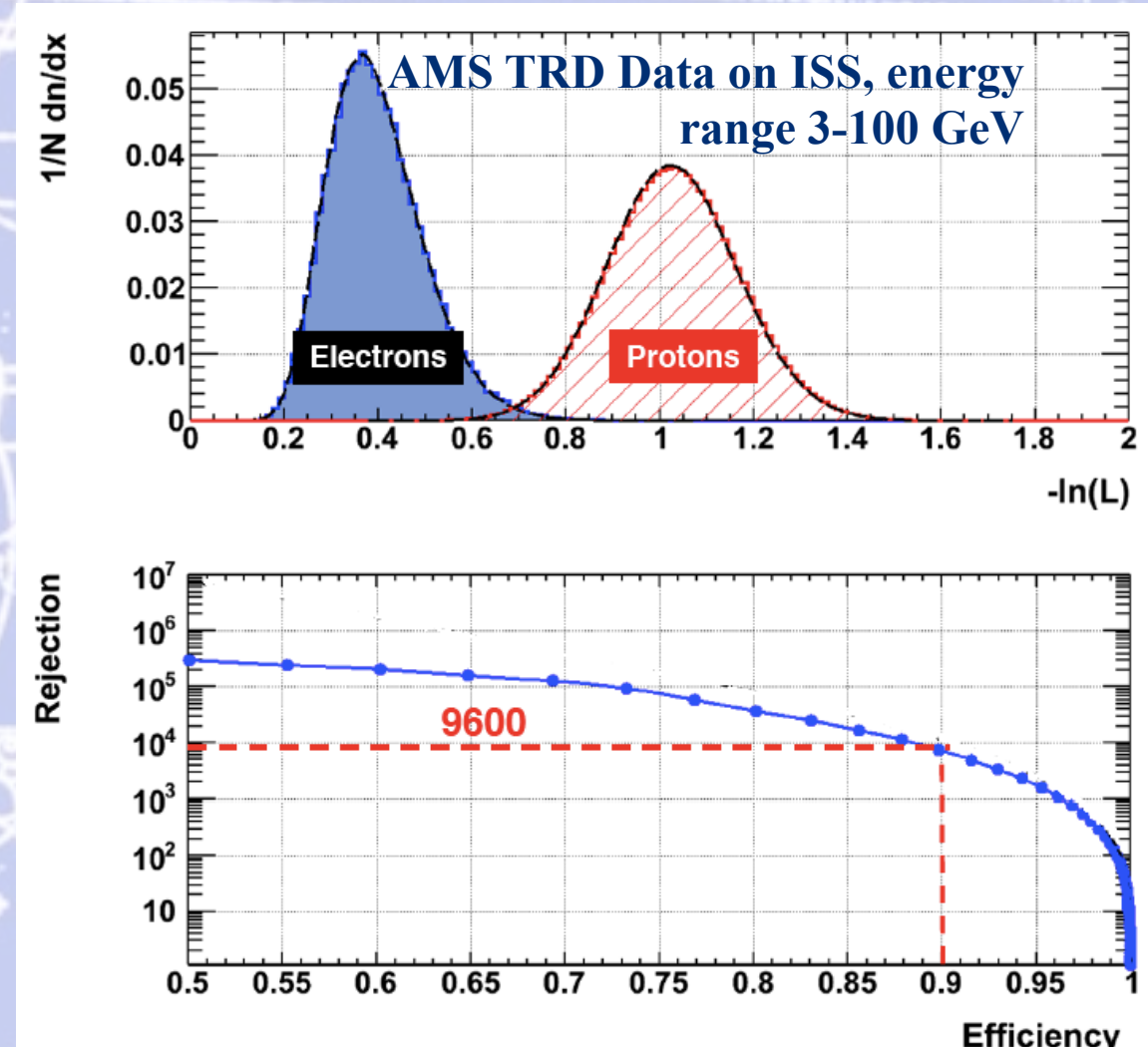
Appendice 10

(II TRD: Gas System)

Transition Radiation Detector (TRD)



Leakrate of $5 \mu\text{g/s}$, caused by CO_2 diffusion,
corresponds to a lifetime ~ 20 years in Space



Appendice 11

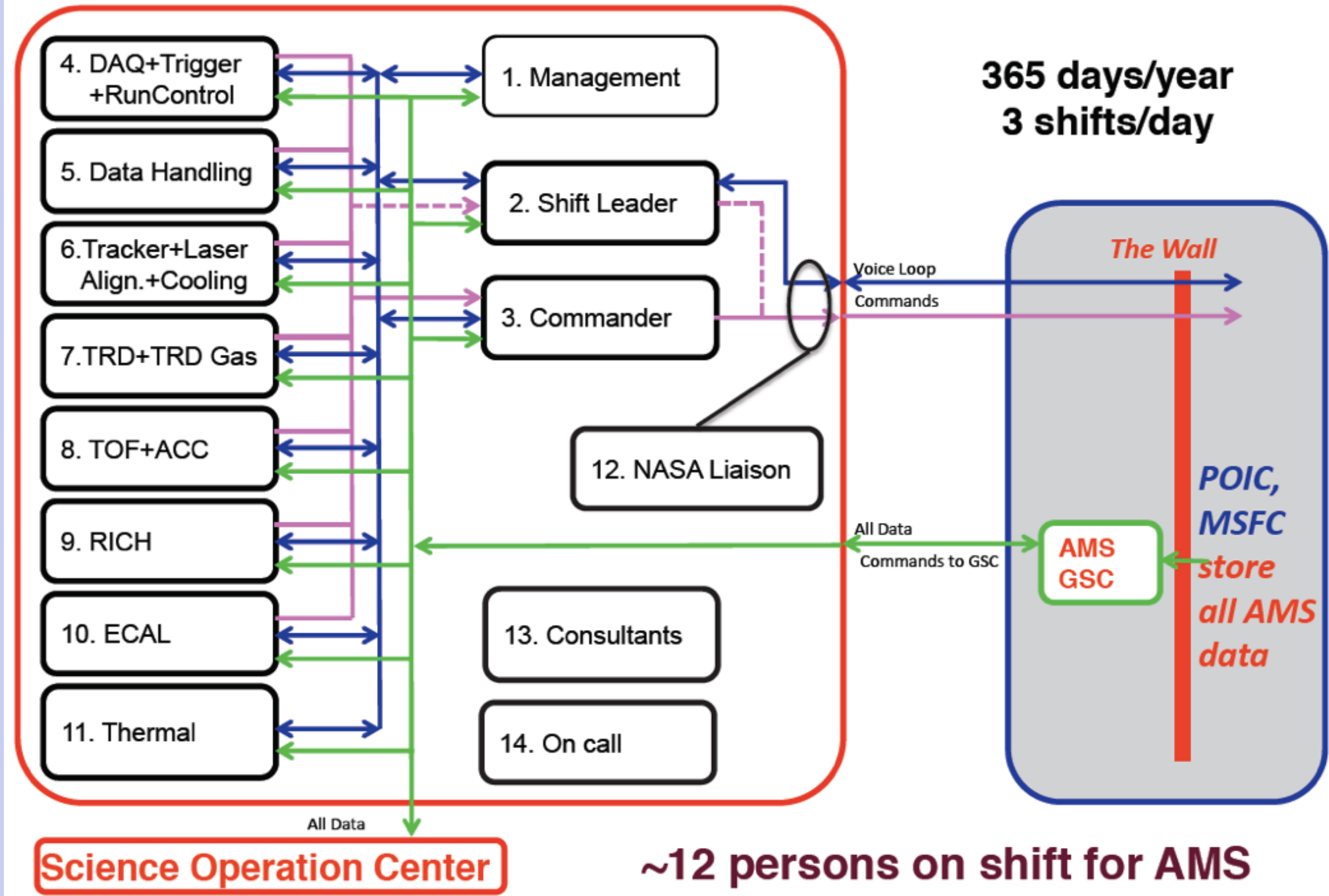
(AMS DAQ)

AMS Data Acquisition System



To read out 300,000 channels at up to 2 KHz, we developed a large set of computers (650) which are programmable from the POCC and which readout all the different detectors with up to 400% redundancy. Hundreds of these computers are interconnected in a tree like structure with an 100 MBit/s serial link.

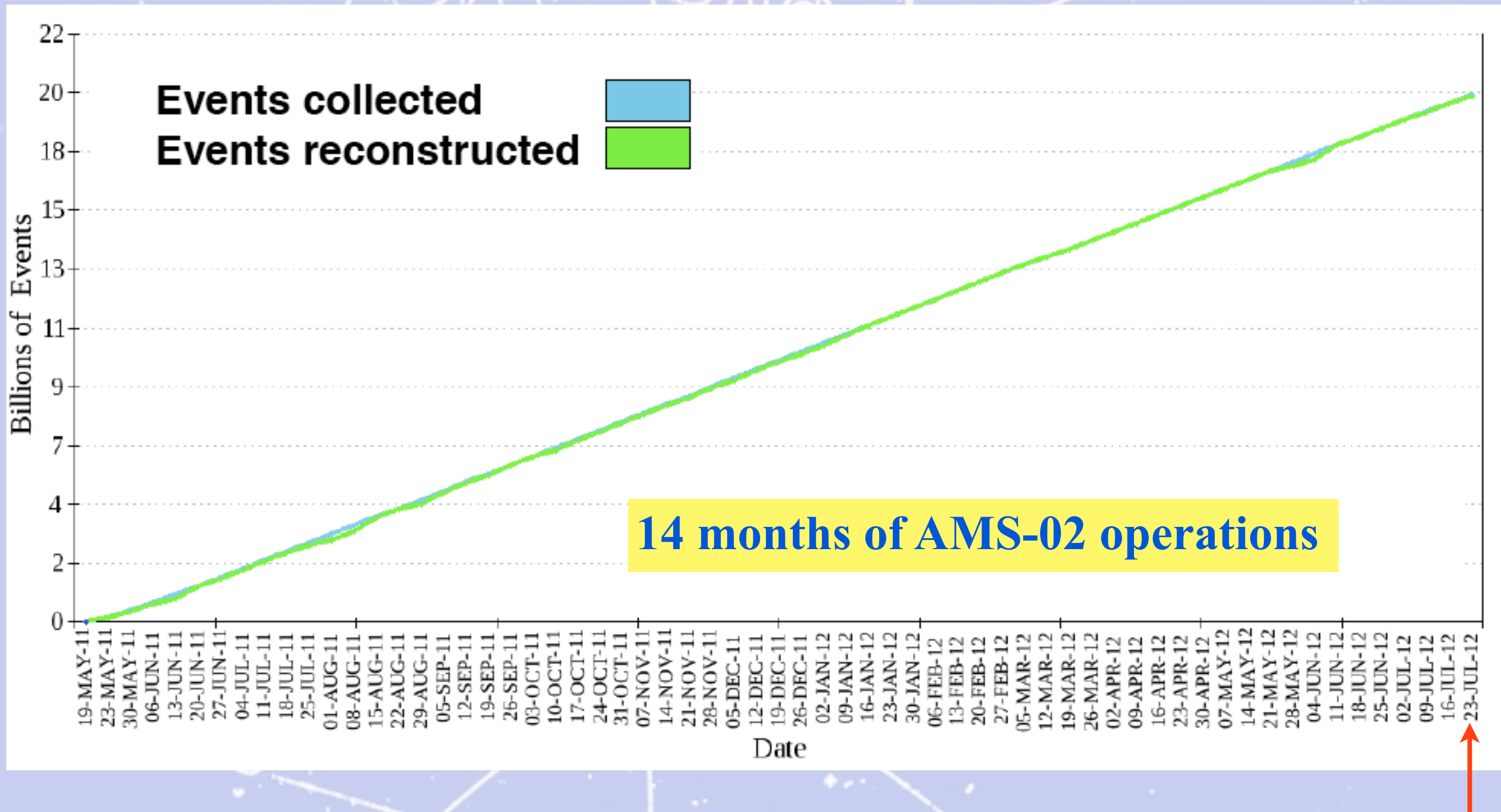
AMS Payload Operation and Control Center for ISS



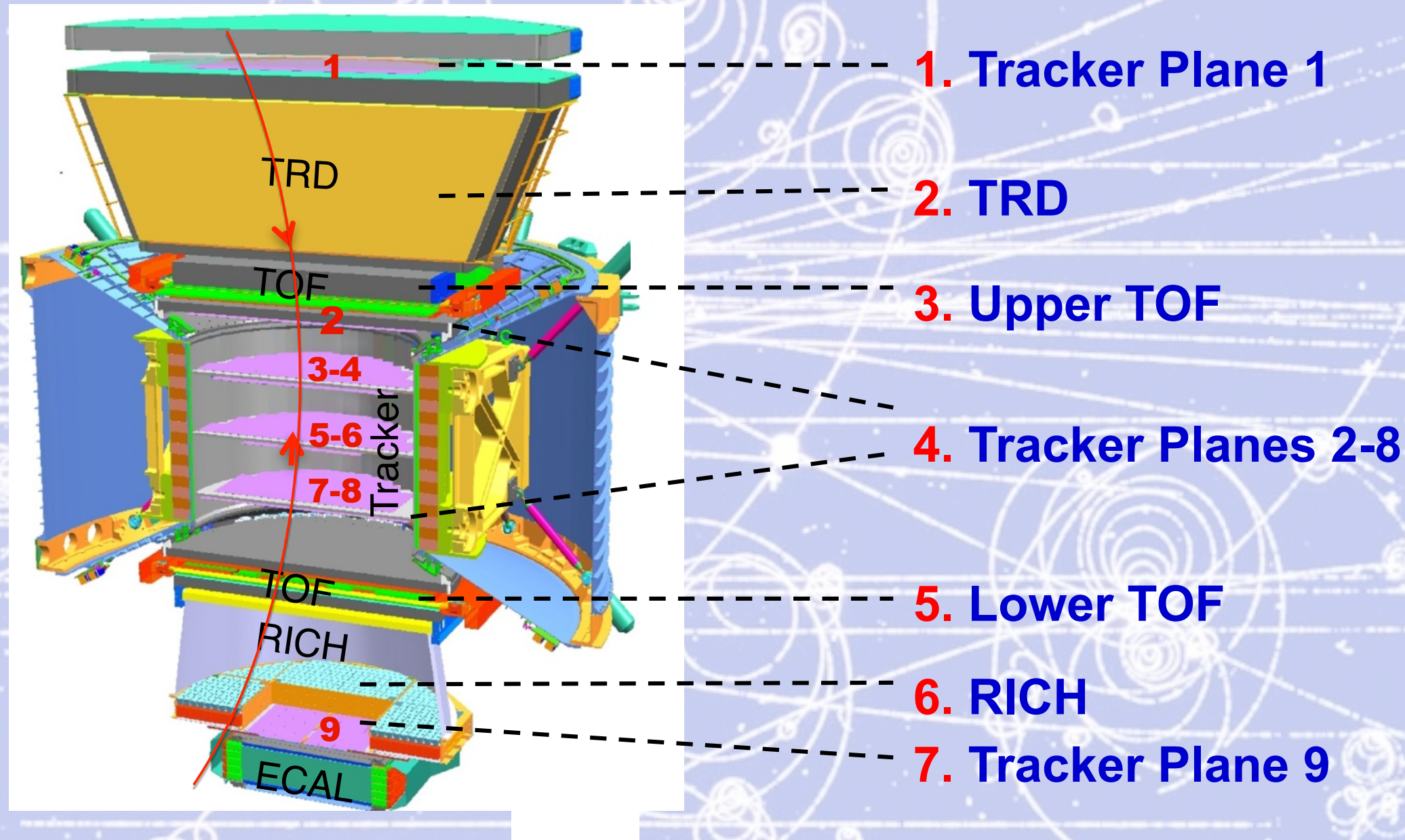
Appendice 12

(AMS-02 performance)

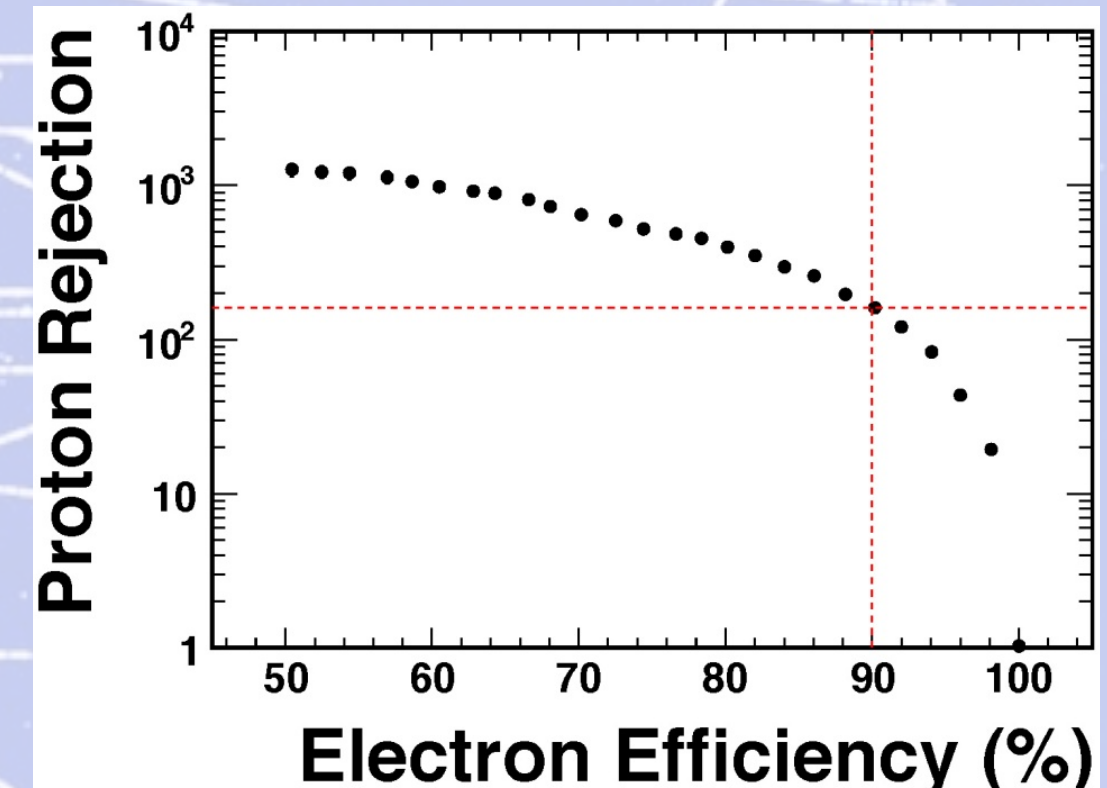
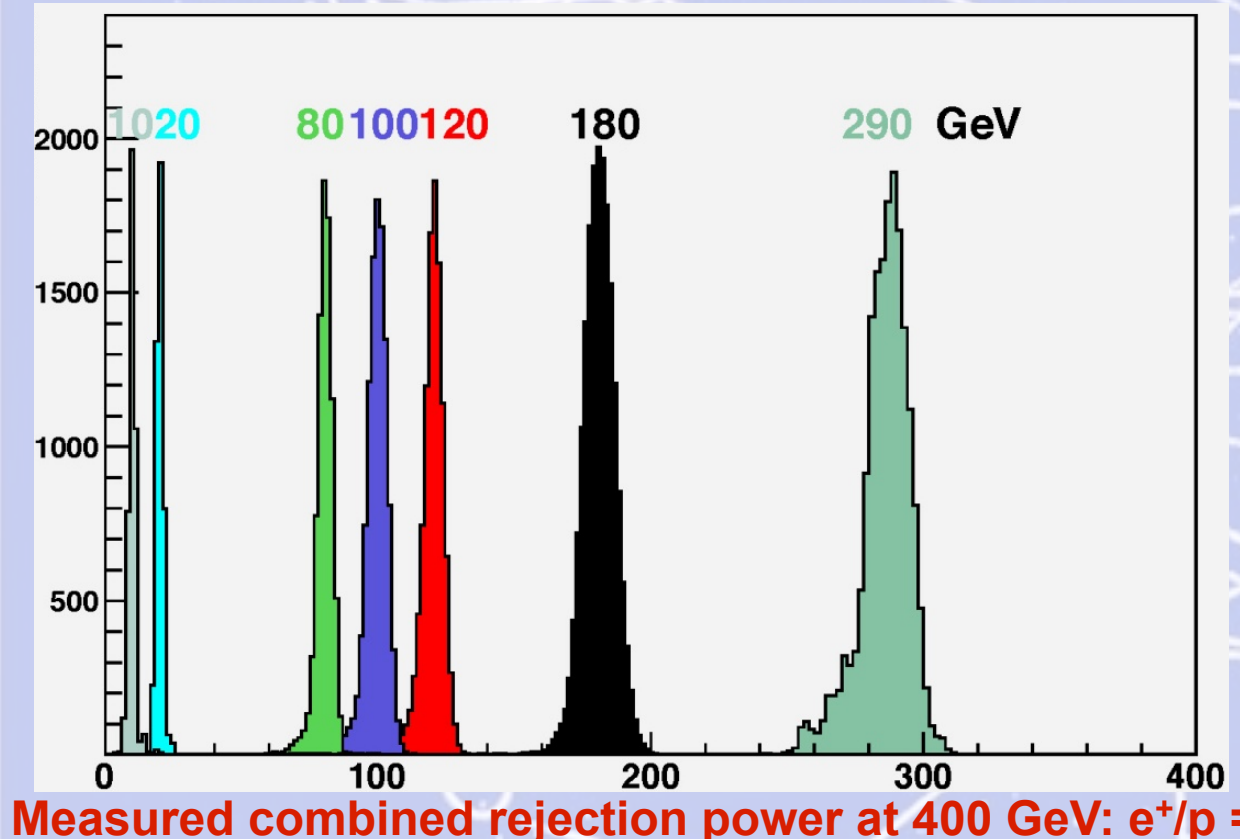
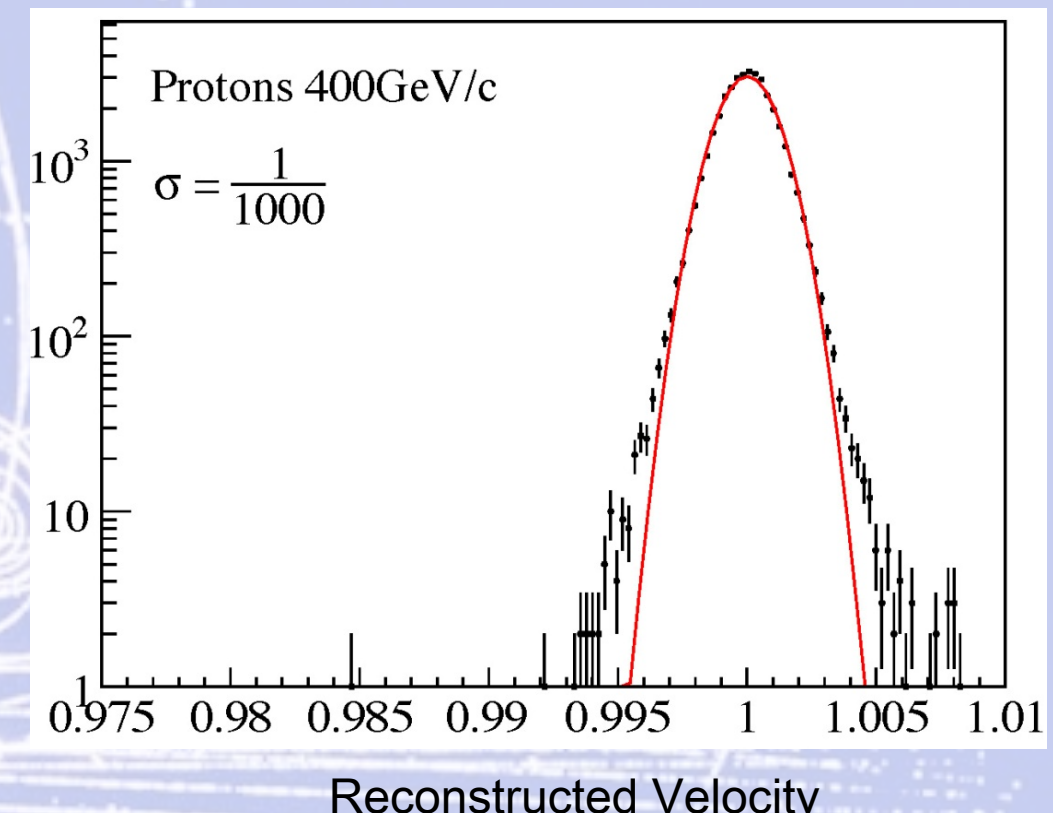
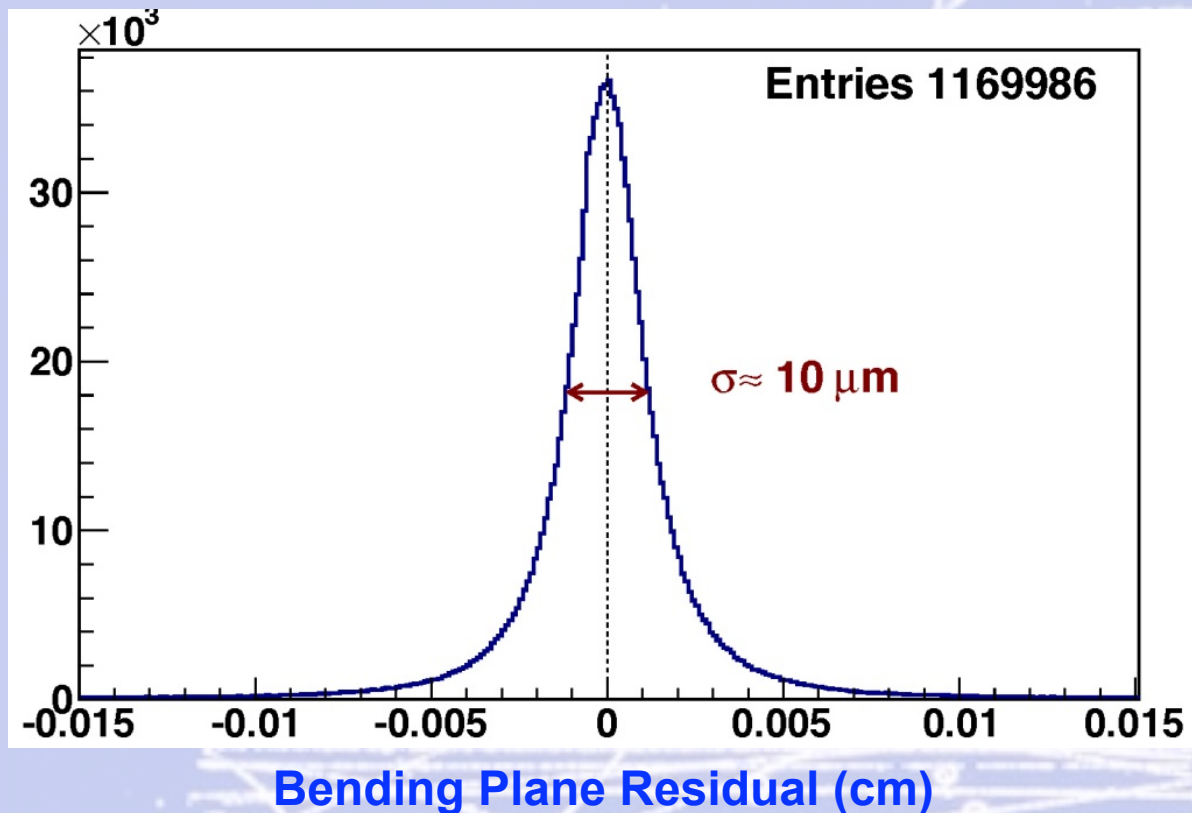
AMS-02 collected over 20 billion events in 14 months operation on ISS



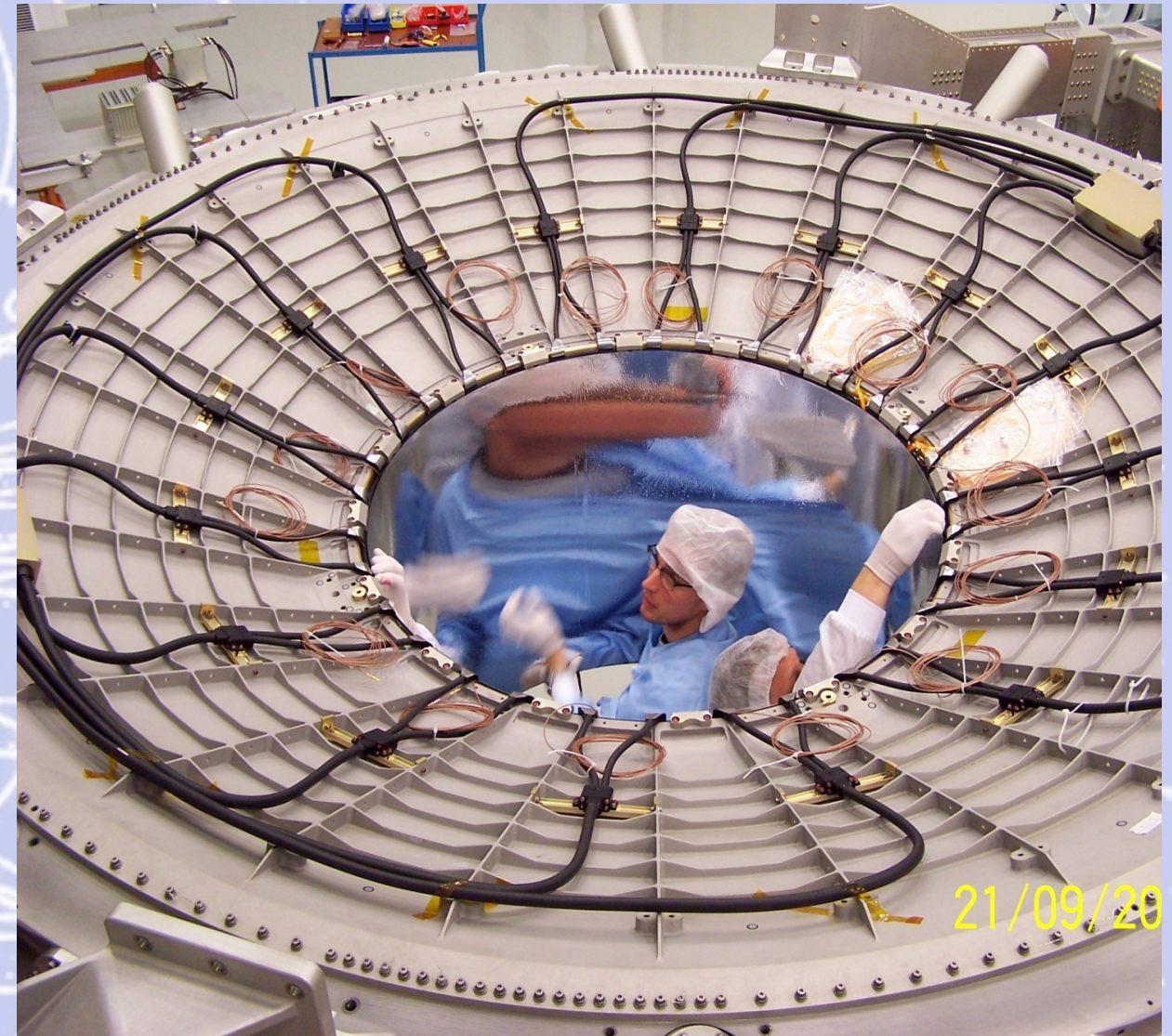
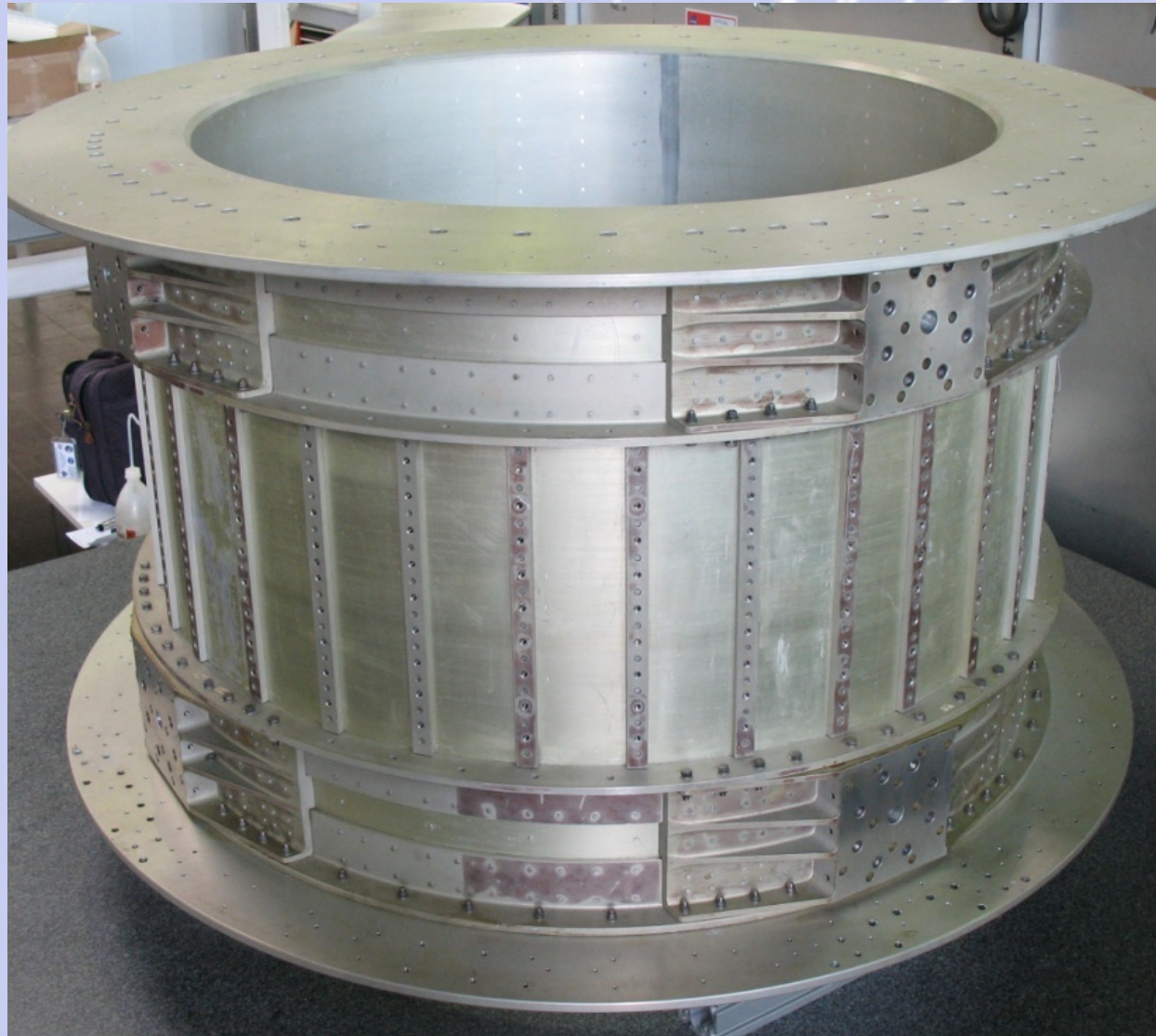
Multiple independent Measurements of the Charge ($|Z|$)



Test Beam Results at CERN 2010 (8-20 Aug)



The Magnet and the VETO System reject random Cosmic Rays



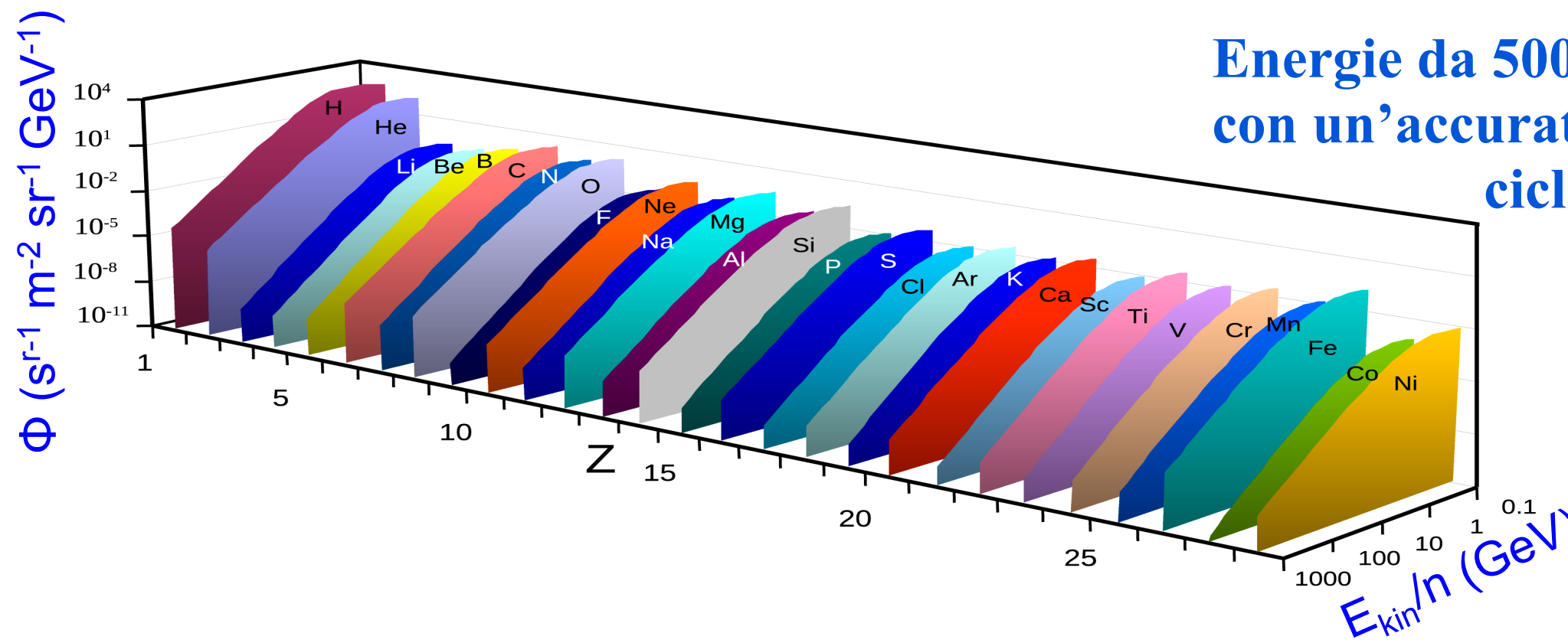
In 12 years the field has remained the same to < 1%
(from 1997 to 2010)

Measured VETO (ACC)
efficiency better than 0.99999

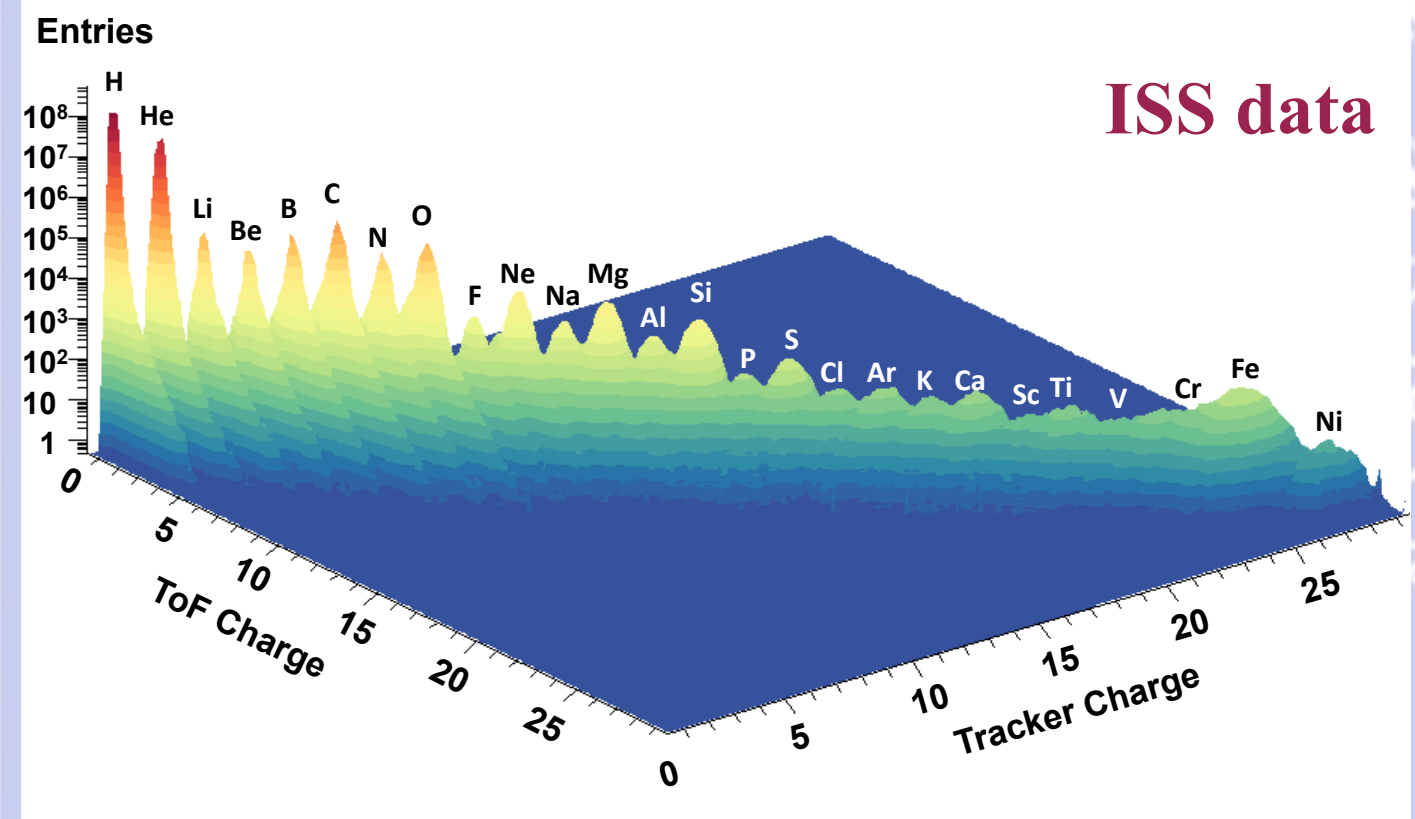
Appendice 13

(Risultati AMS-02 da maggio 2011 a settembre 2014)

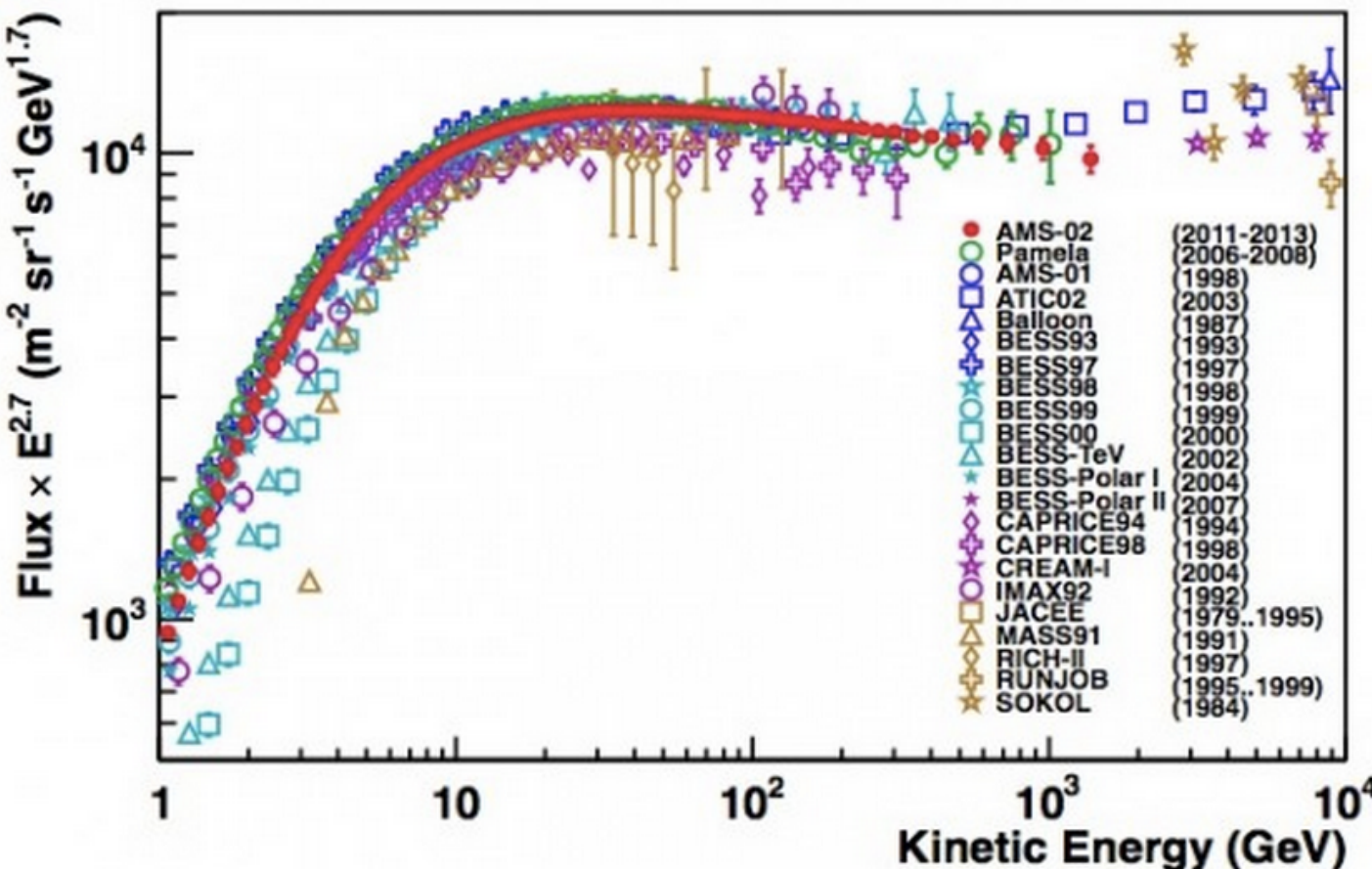
La fisica di AMS-02: misure di abbondanza nucleare



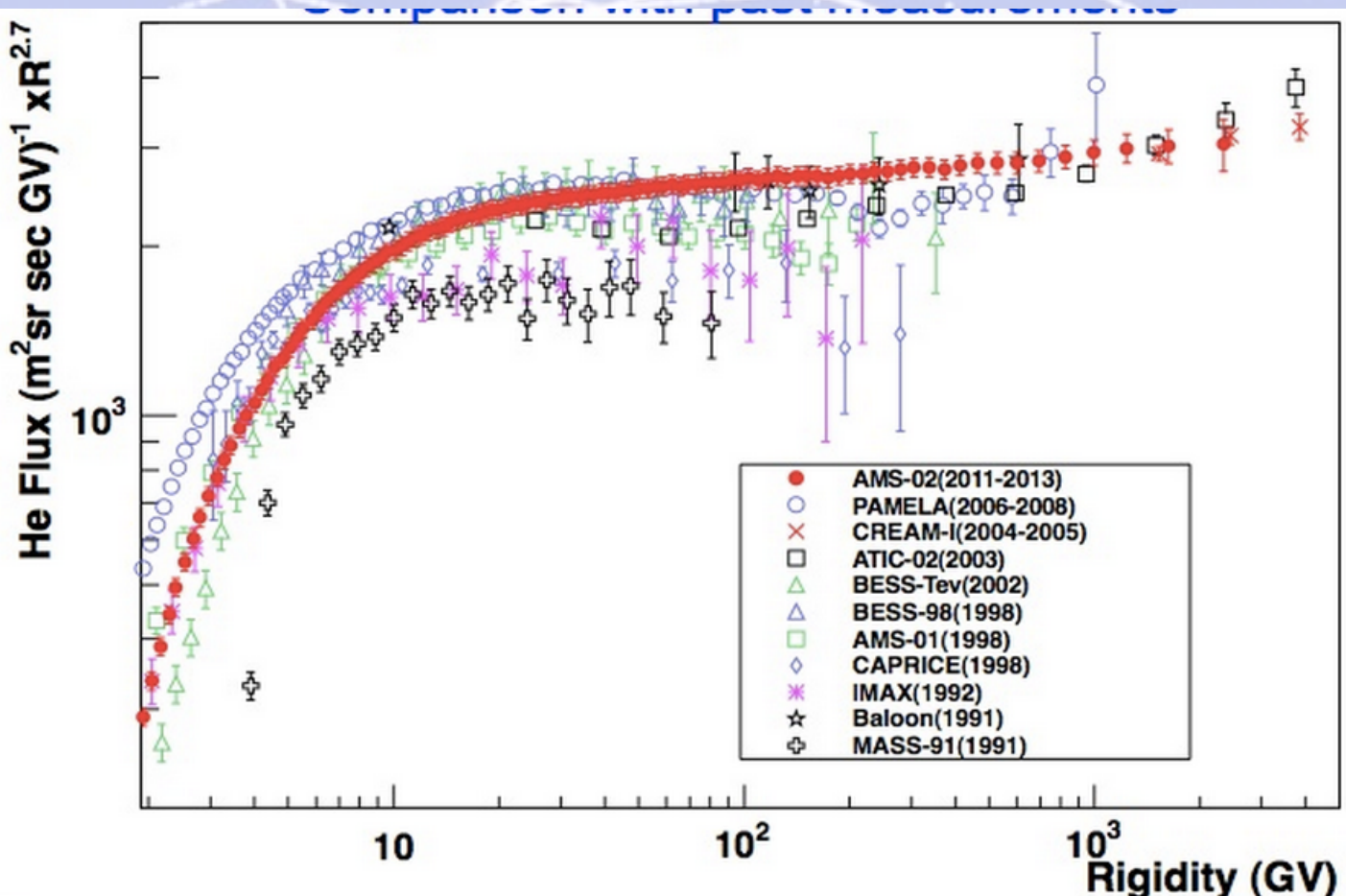
Energie da 500 MeV a 2 TeV
con un'accuratezza dell'1% sul
ciclo solare (11 anni).



Questi spettri forniscono
dati sperimentali necessari
per calcolare il
“background” nella ricerca
della Materia Oscura,
i.e., $p + C \rightarrow e^+, p, \dots$



Flusso di protoni (ICRC 2013)



Flusso dell'elio (ICRC 2013)

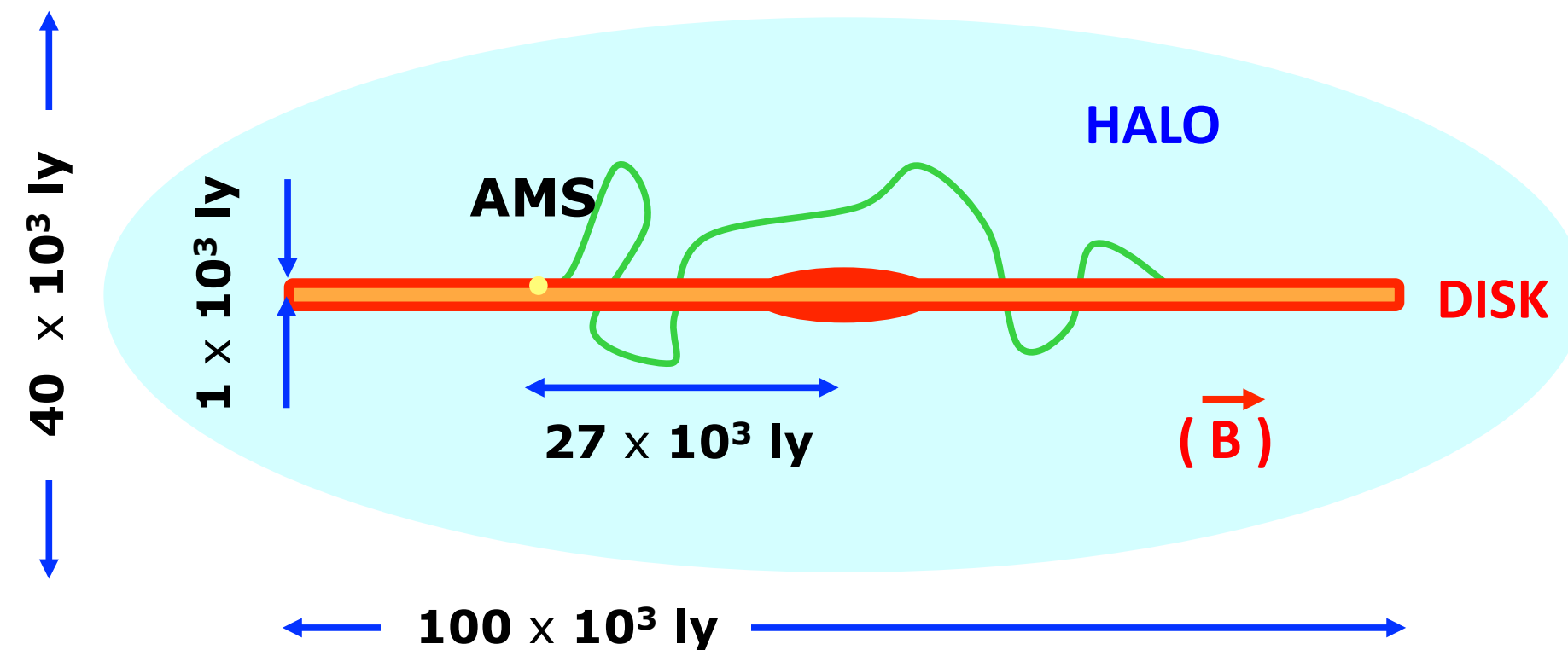
La fisica di AMS-02: rapporto Boro/Carbonio

Misure precise degli spettri di energia del B/C
forniscono informazioni sulle interazioni e la propagazione dei CR

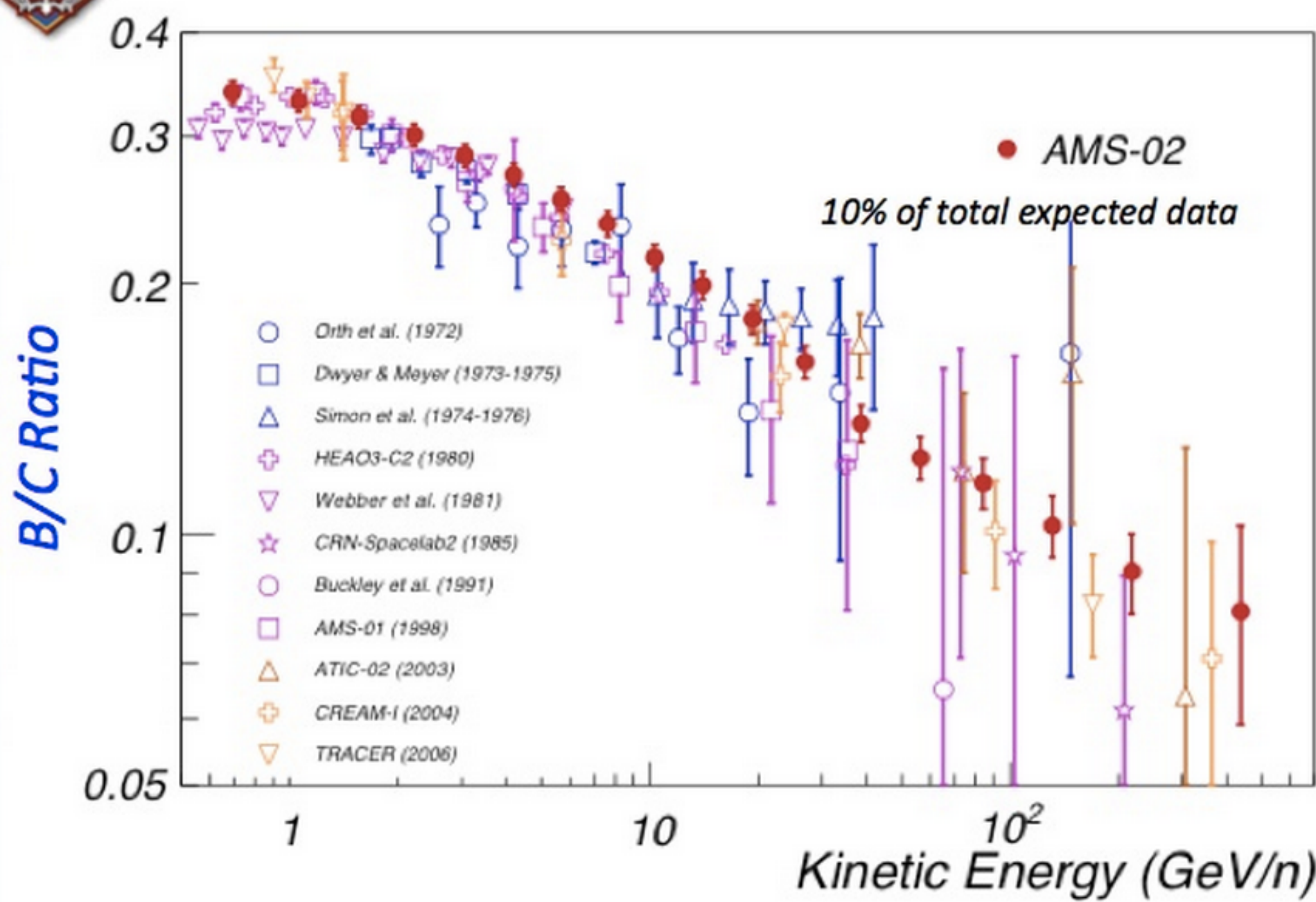
Interazioni con il Mezzo Interstellare:
 $C + (p, He) \rightarrow B + ...$

Diffusione
Convezione
Ri-accelerazione

Interactioni con il
Mezzo Interstellare (ISM):
• Frammentazione
• Secondari
• Perdite energetiche

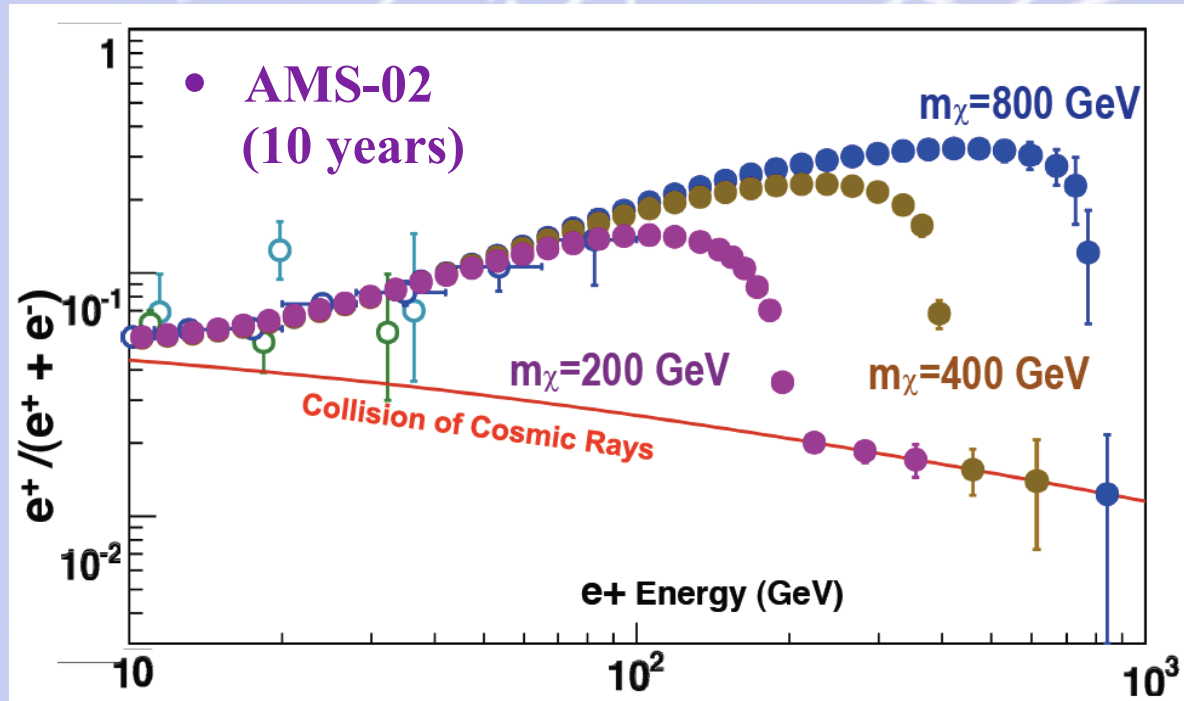


Rapporto Boro/Carbonio (ICRC 2013)

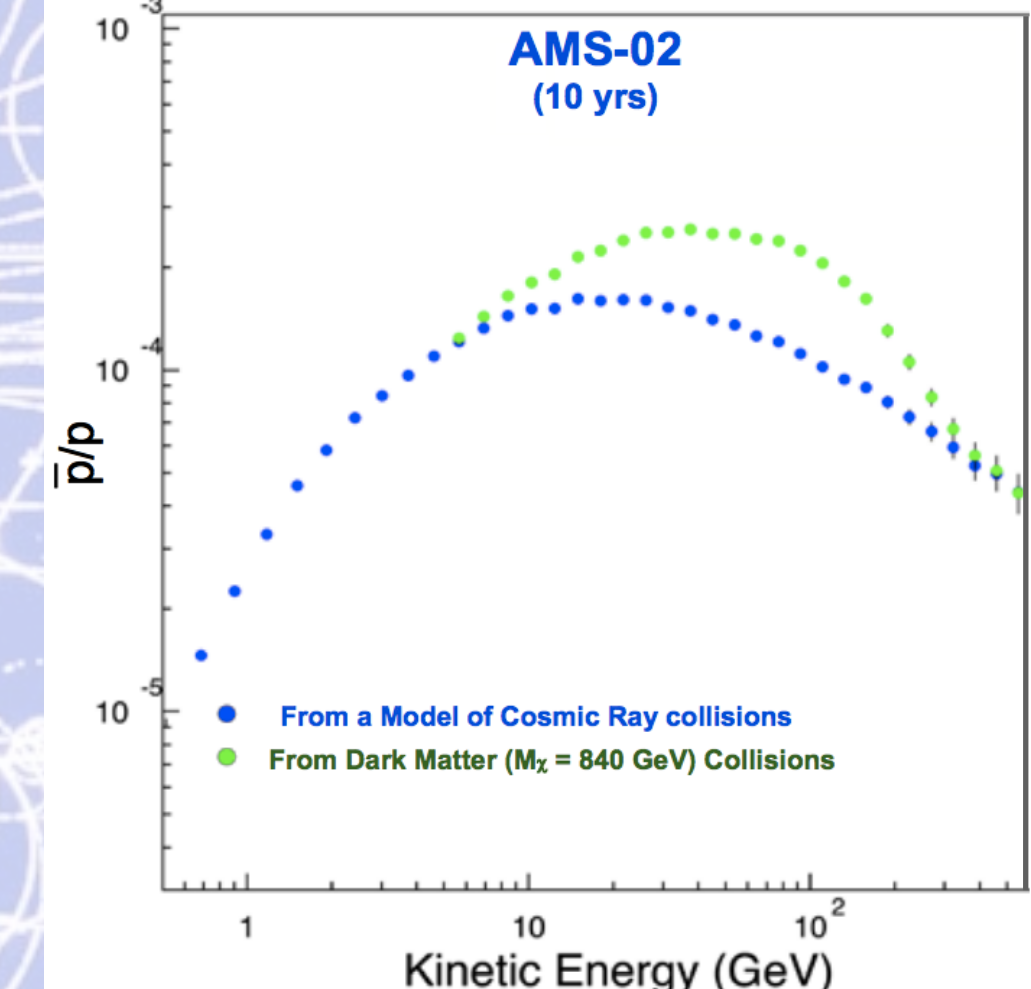


La fisica di AMS-02: ricerca indiretta della Materia Oscura

AMS-02 ha la capacita' di studiare l'annichilazione del Neutralino (candidato della Materia Oscura) usando simultaneamente quattro diversi stati finali di particelle: positroni, anti-protoni, anti-deuteroni and fotoni.

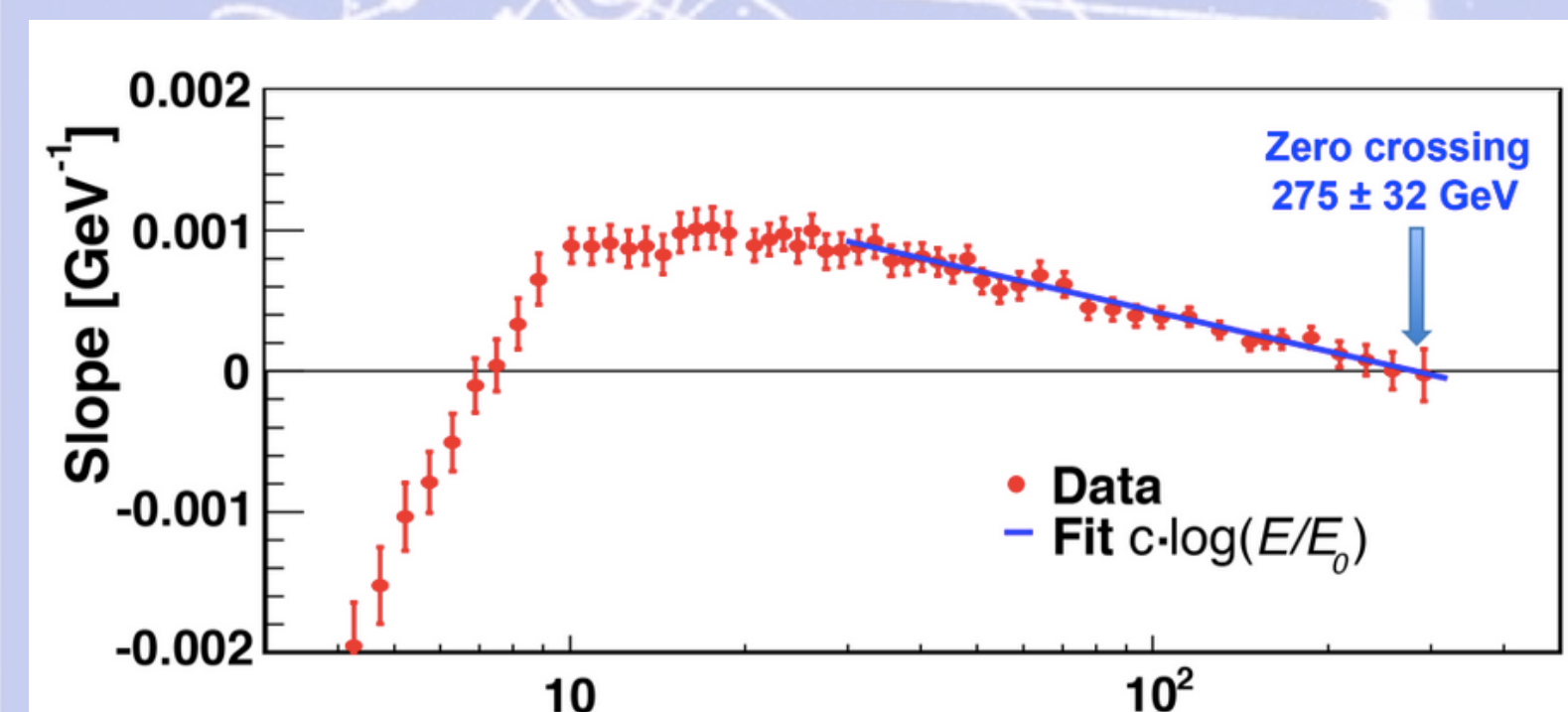
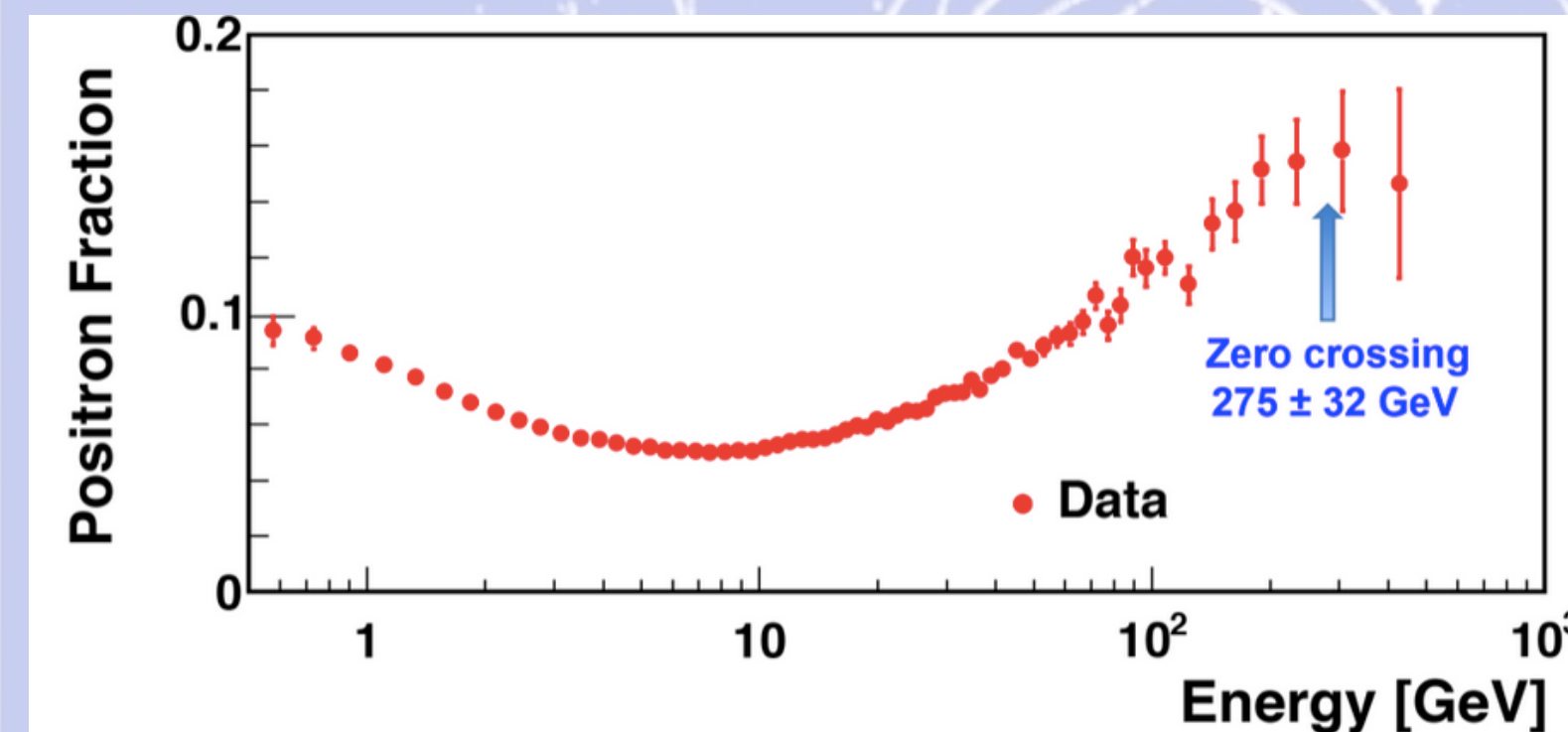


Segnale aspettato per la Materia Oscura da AMS-02 relativo alla misura della frazione del flusso di positroni e considerando diverse ipotesi della massa del Neutralino.



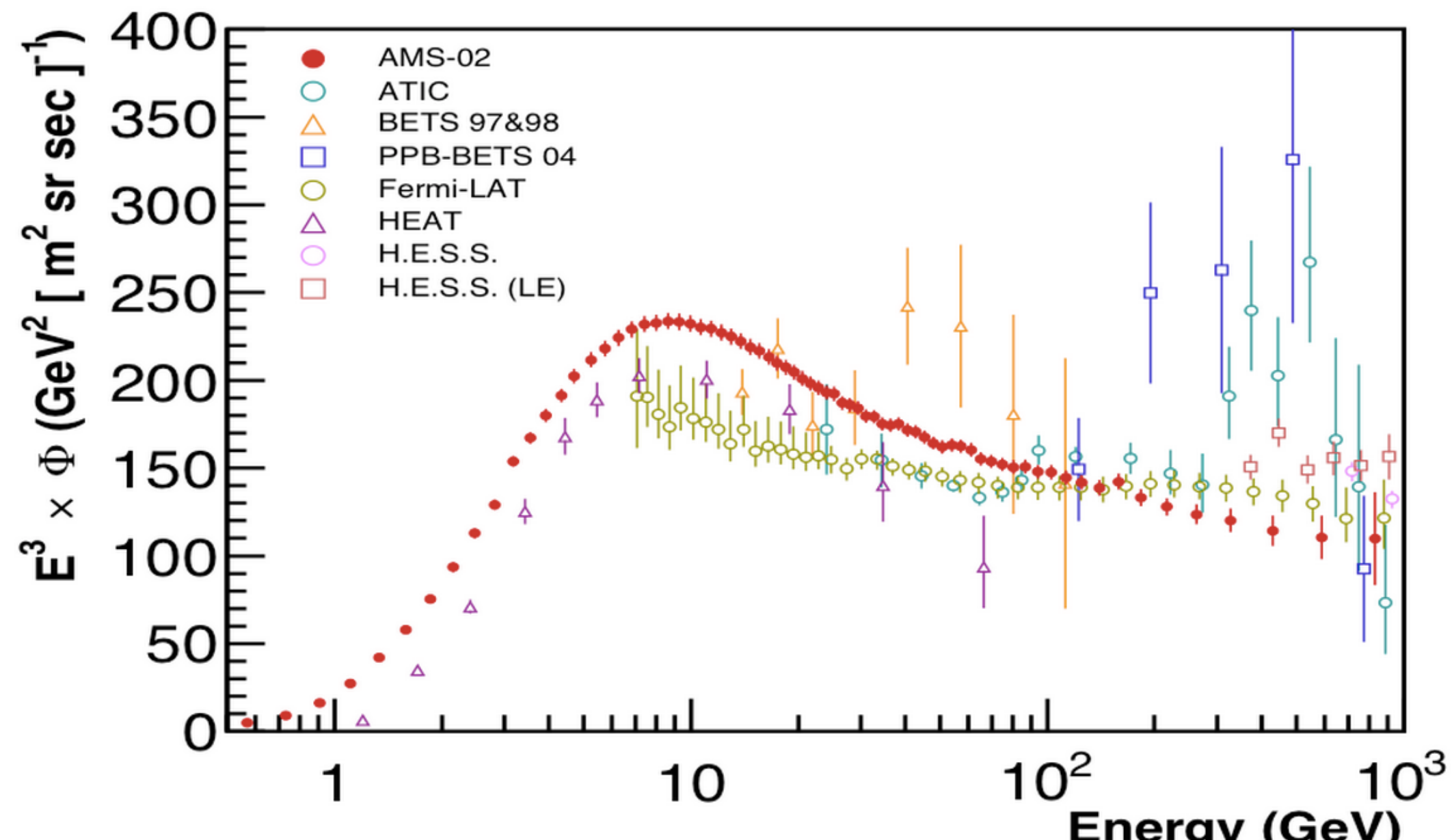
Segnale aspettato per la Materia Oscura da AMS-02 relativo alla misura della frazione del flusso di antiprotoni nell'ipotesi di massa del Neutralino $M_\chi = 840$ GeV .

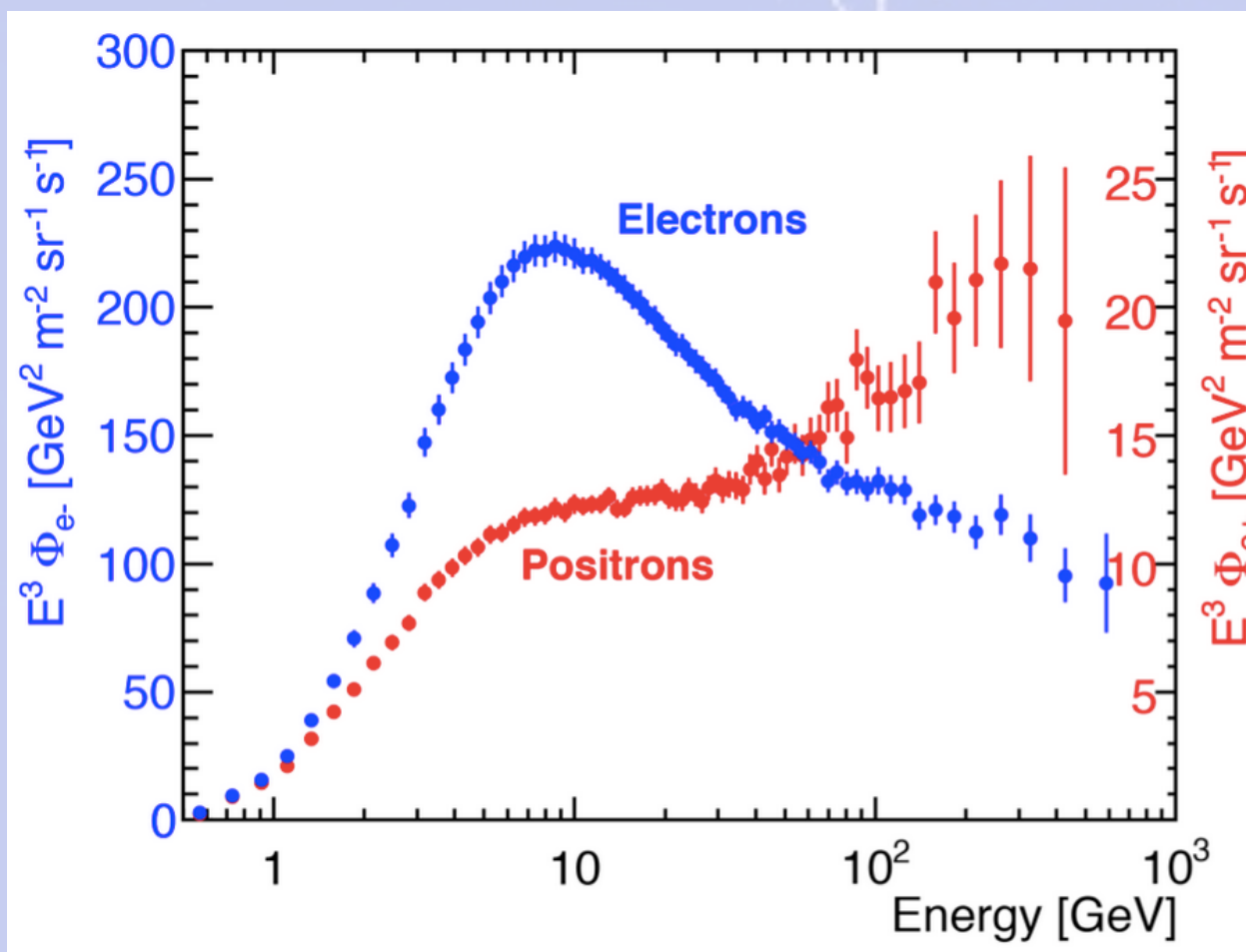
La fisica di AMS-02: ricerca indiretta della Materia Oscura



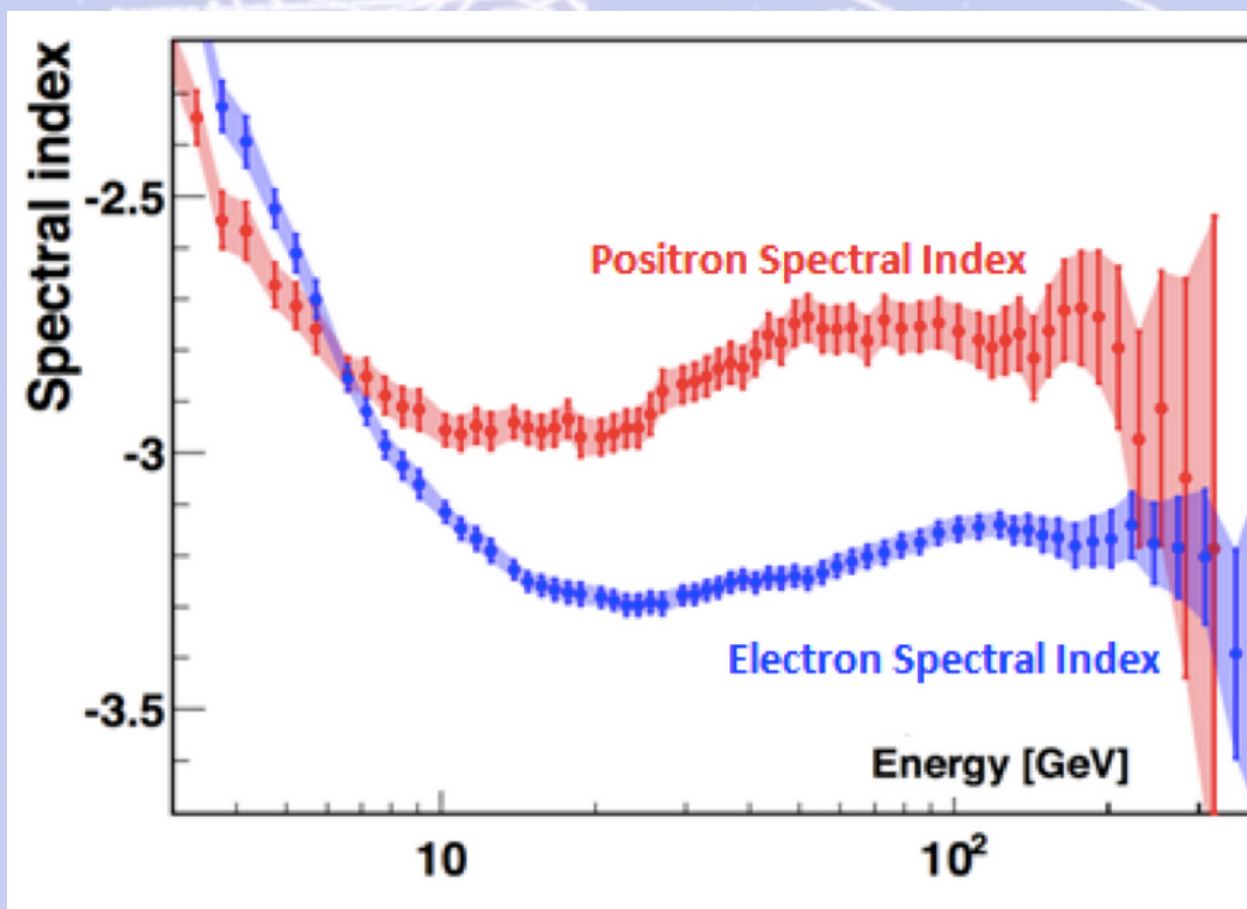
Frazione di positroni
misurata da AMS-02
(Sett. 2014)

Flusso combinato $e^\pm \times E^3$ misurato da AMS (Sett. 2014)



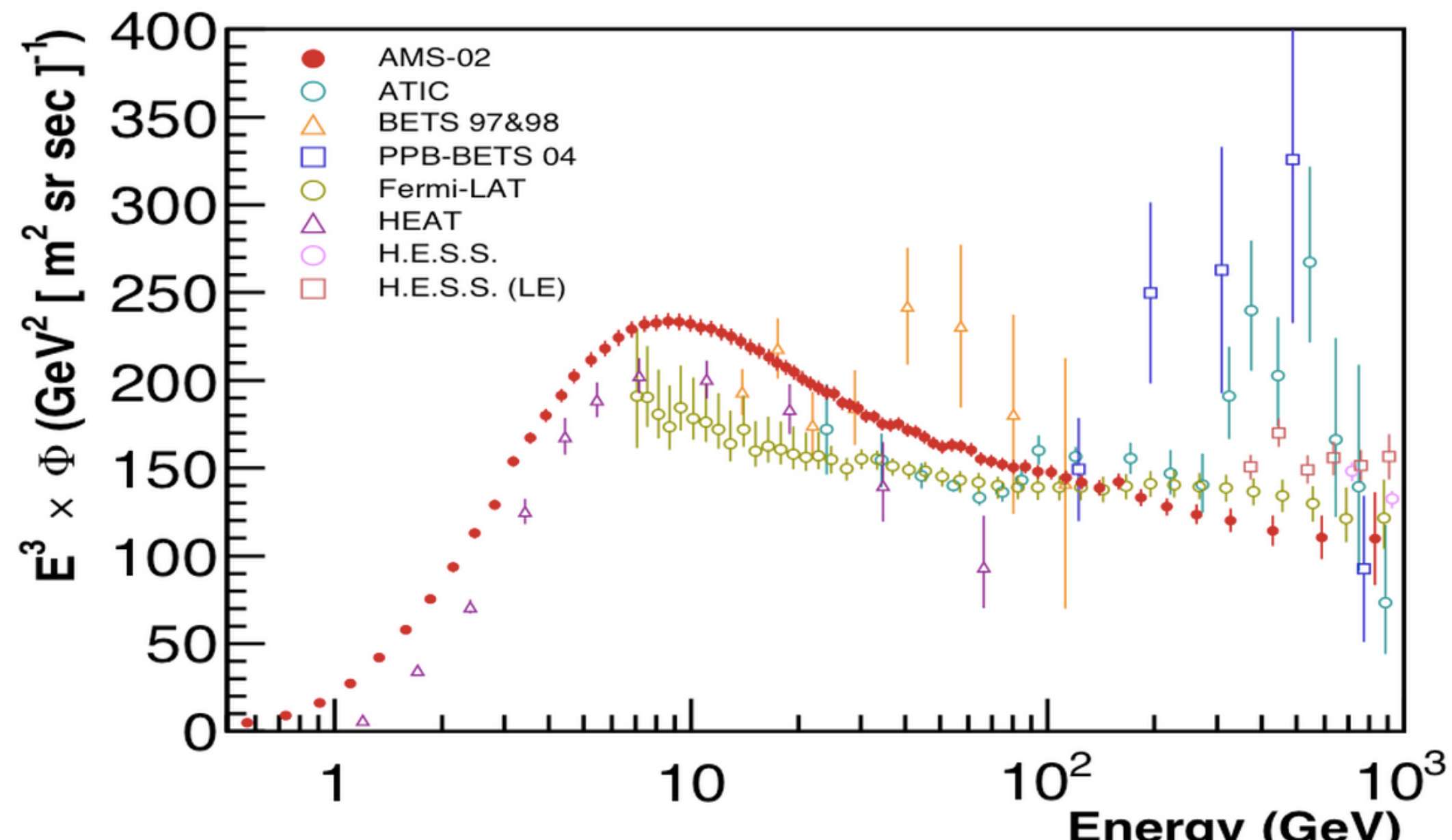


**Flusso degli elettroni e
dei positroni (Sett. 2014)**

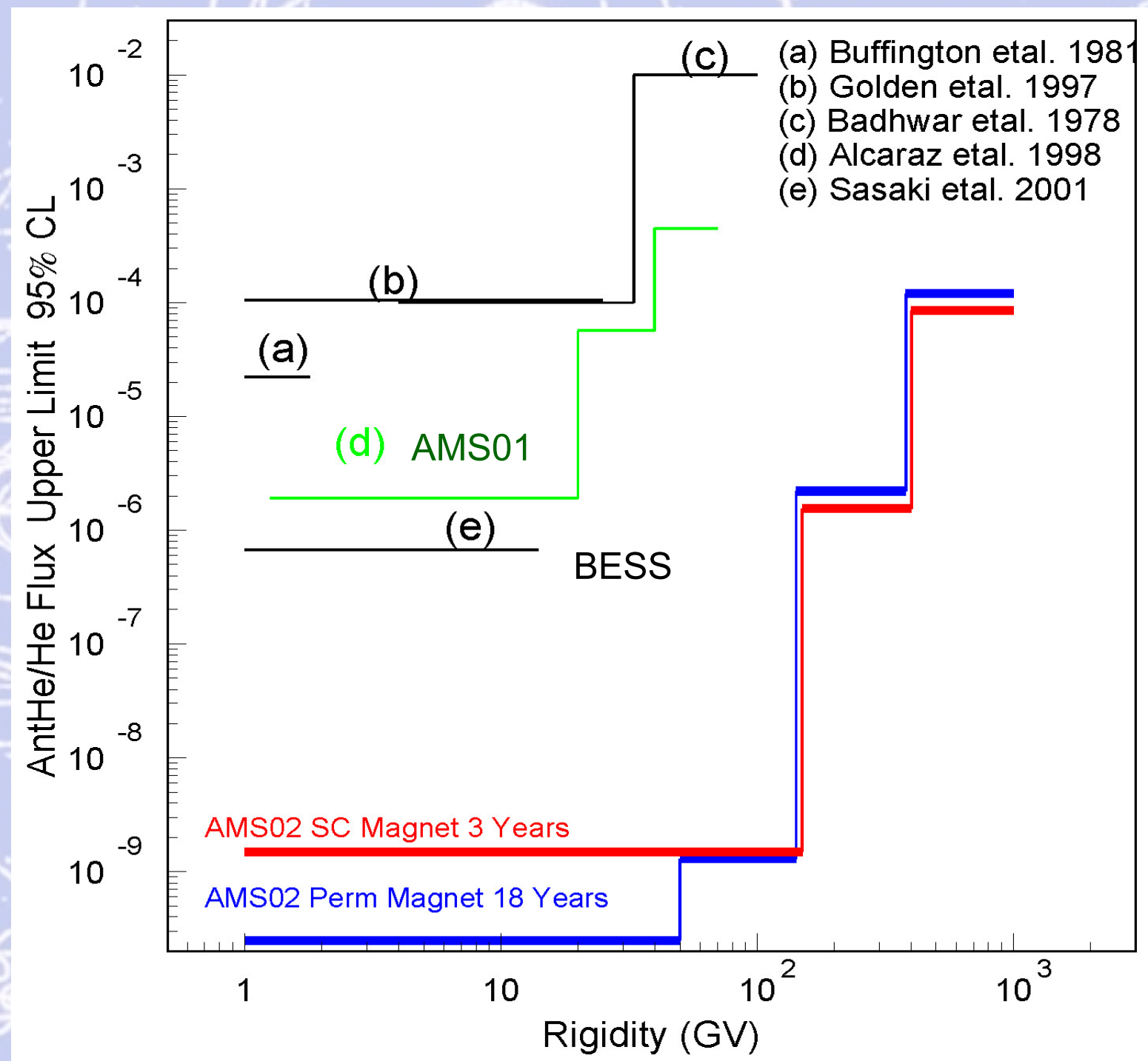


**Indice spettrale degli
elettroni e dei positroni
(Sett. 2014)**

Flusso combinato $e^\pm \times E^3$ misurato da AMS (Sett. 2014)



La fisica di AMS-02: ricerca di antimateria cosmica residua (limite sulla presenza di $\bar{\text{He}}$)

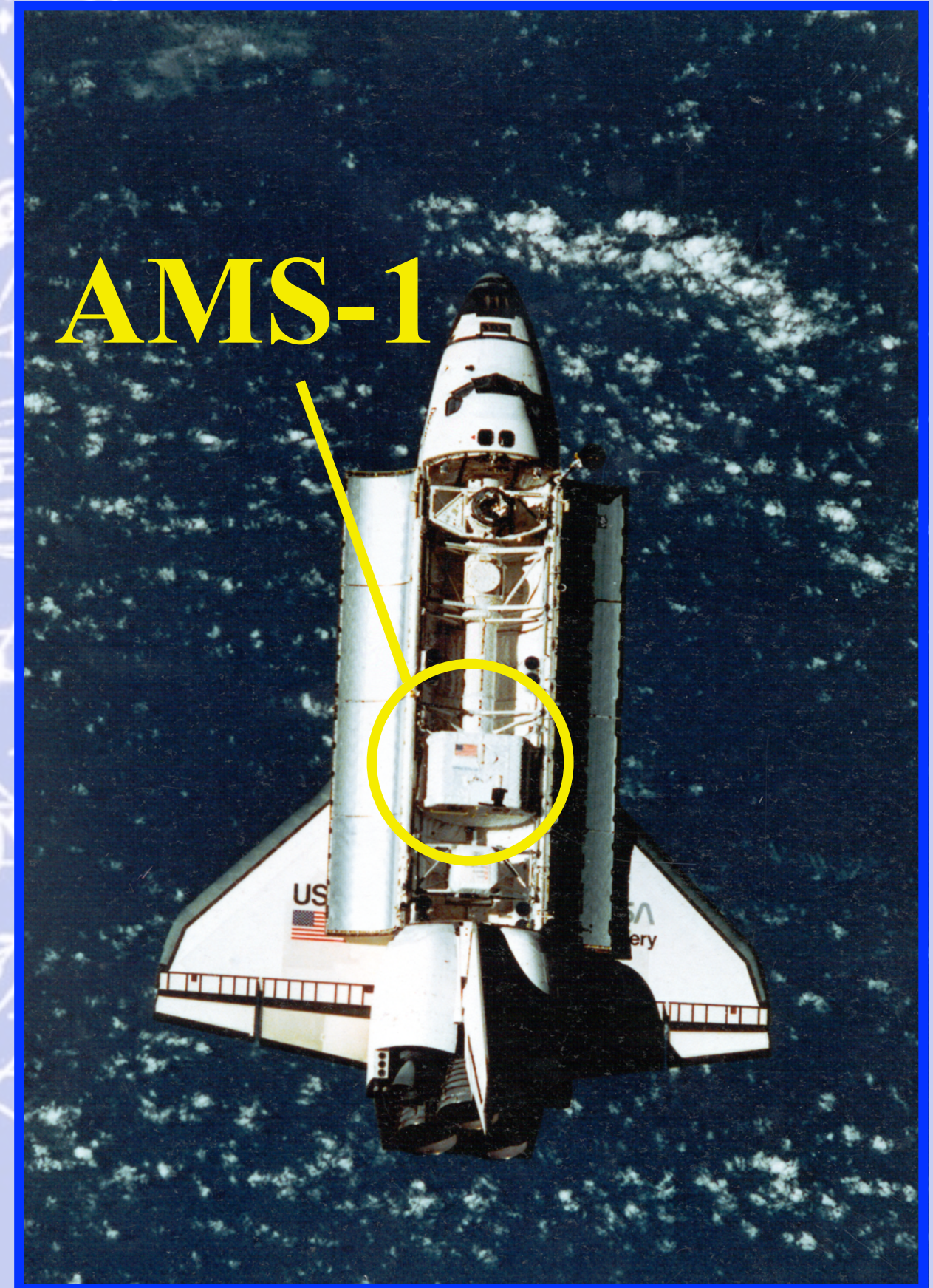
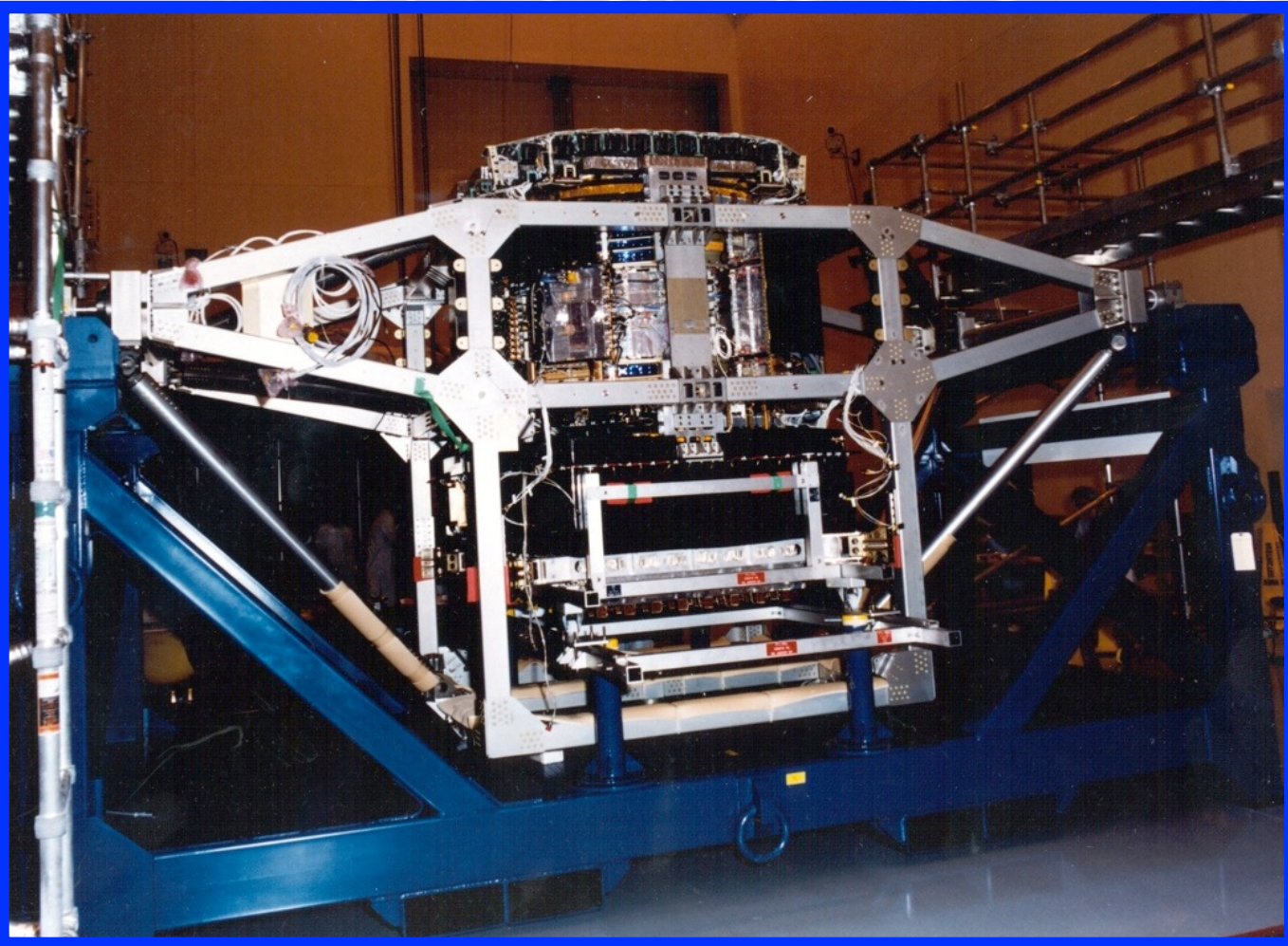


Appendice 14

(L'esperimento pilota AMS-01)

Experience from the AMS-1 flight (STS-91) 1998

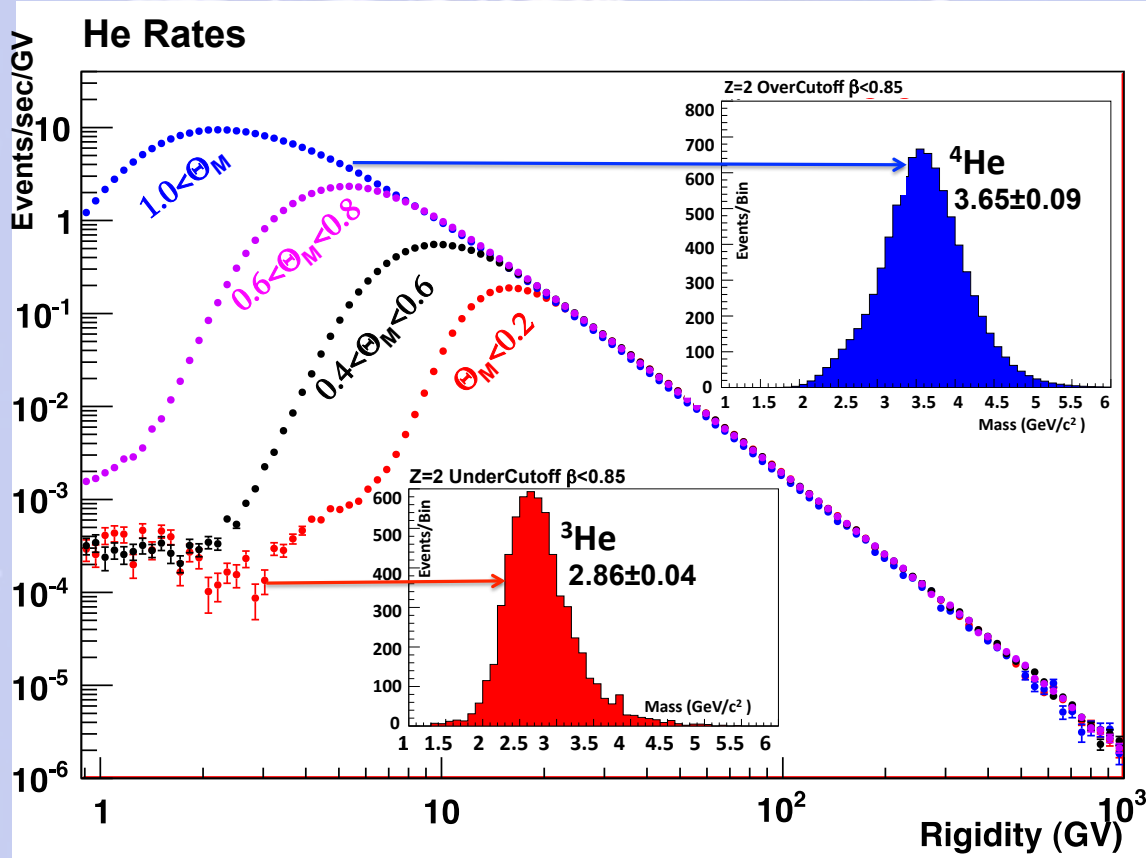
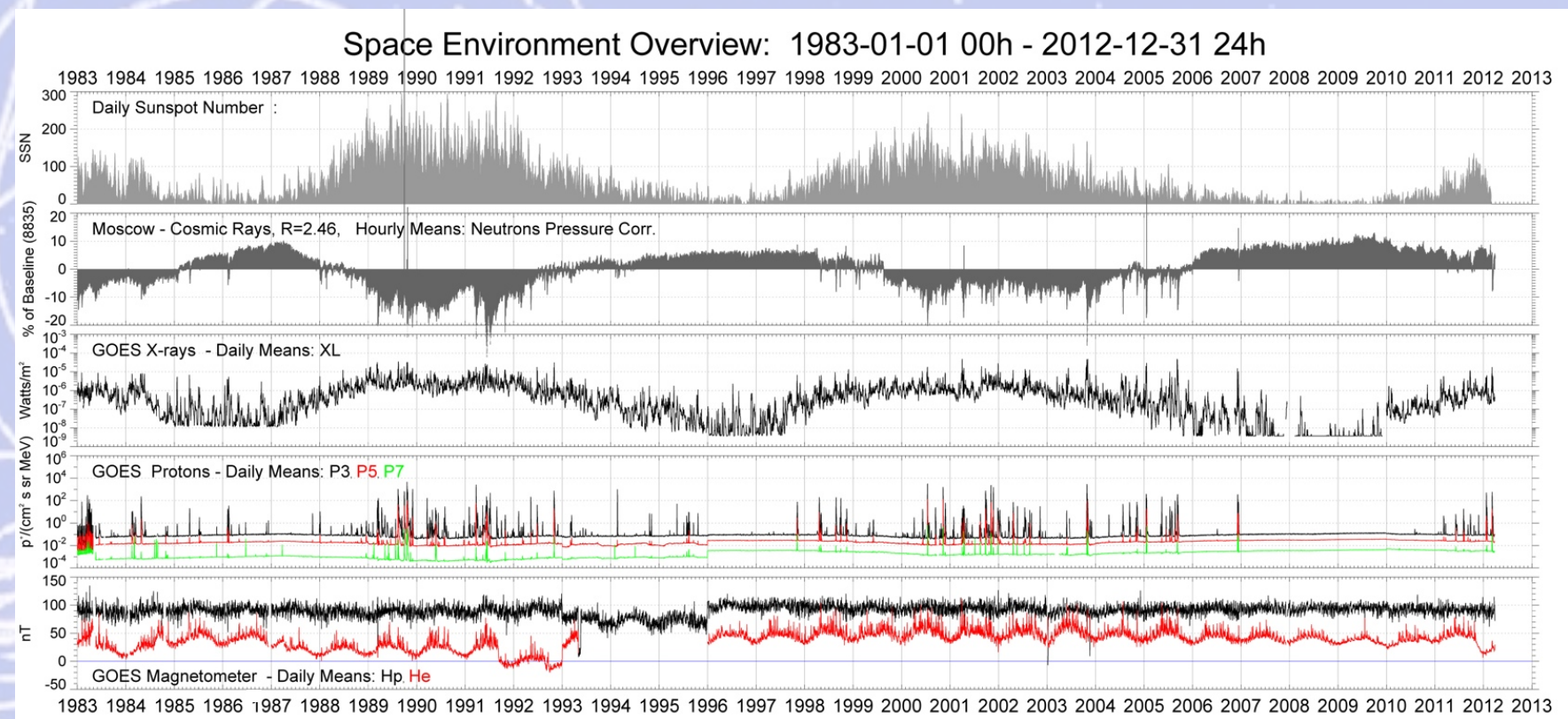
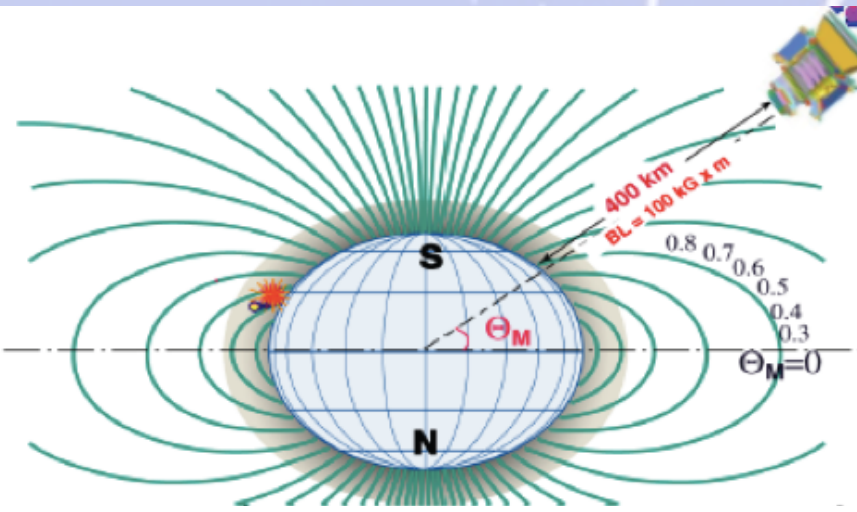
- Data taking \approx 135 hours;
- Shuttle altitude \approx 370 km;
- 100 million events recorded.



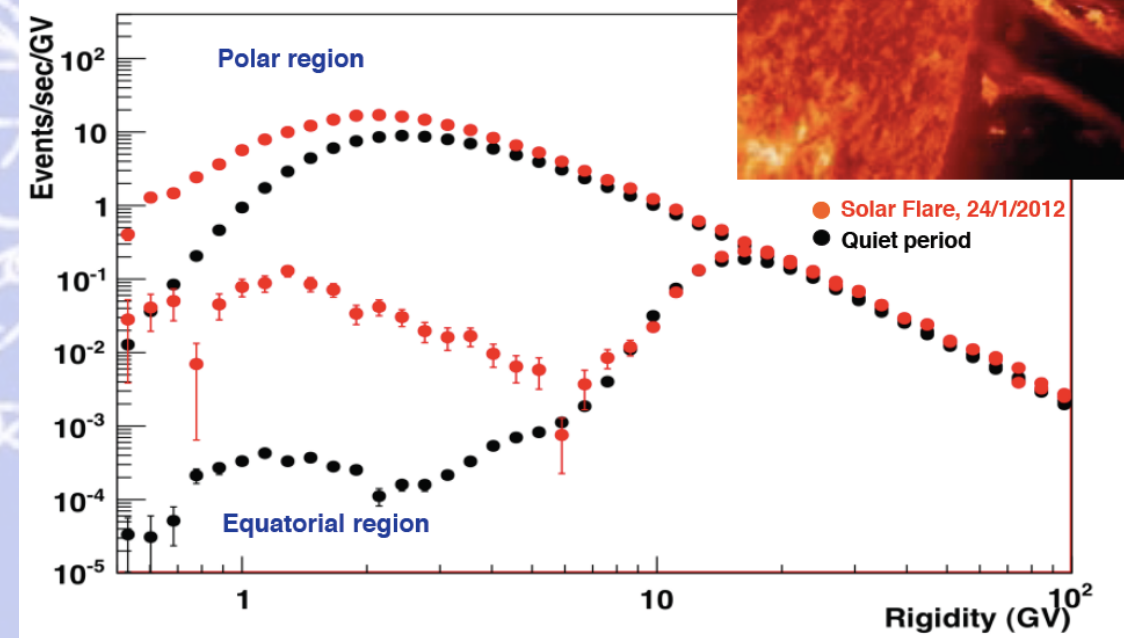
Appendice 15

(Varie ed eventuali)

Data from AMS on ISS: He rate



AMS data: He rate and Solar Flare

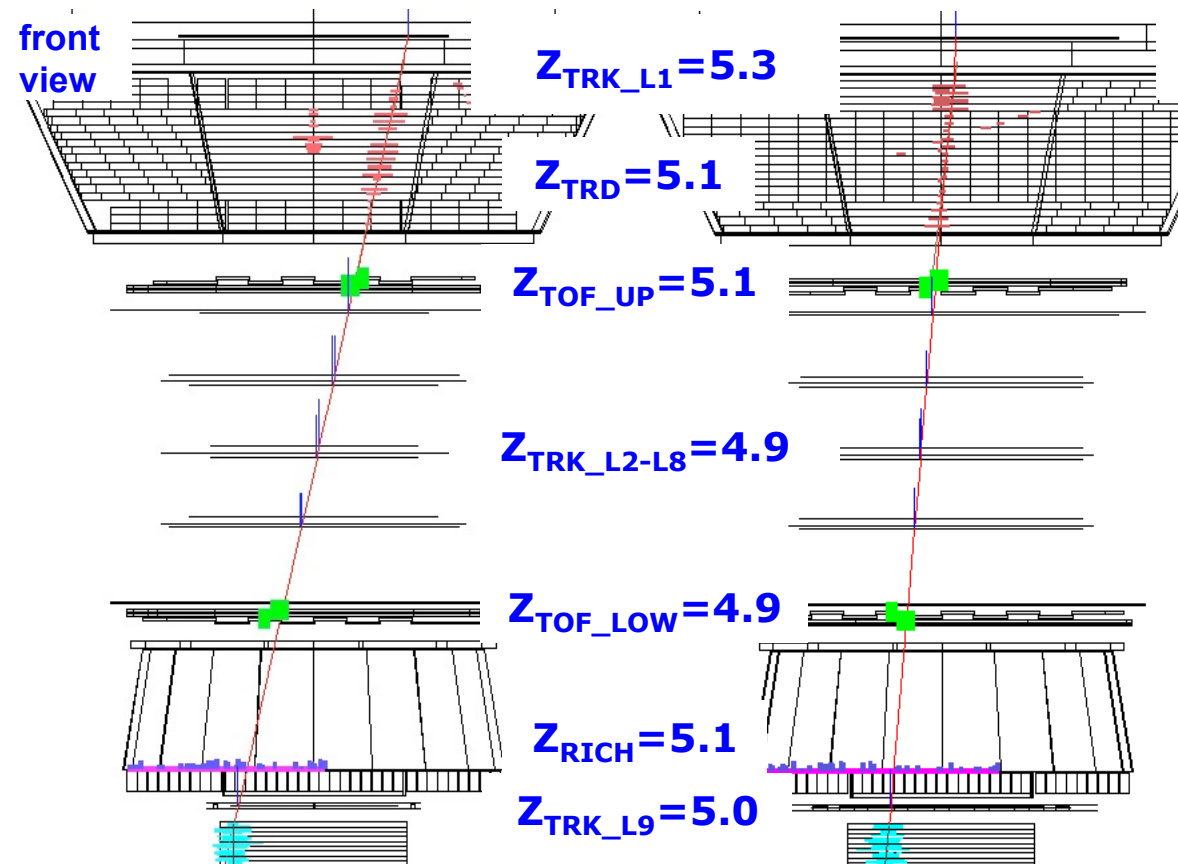


Rigidity ~ 3 GV

Boron

Rigidity=3.7 GV

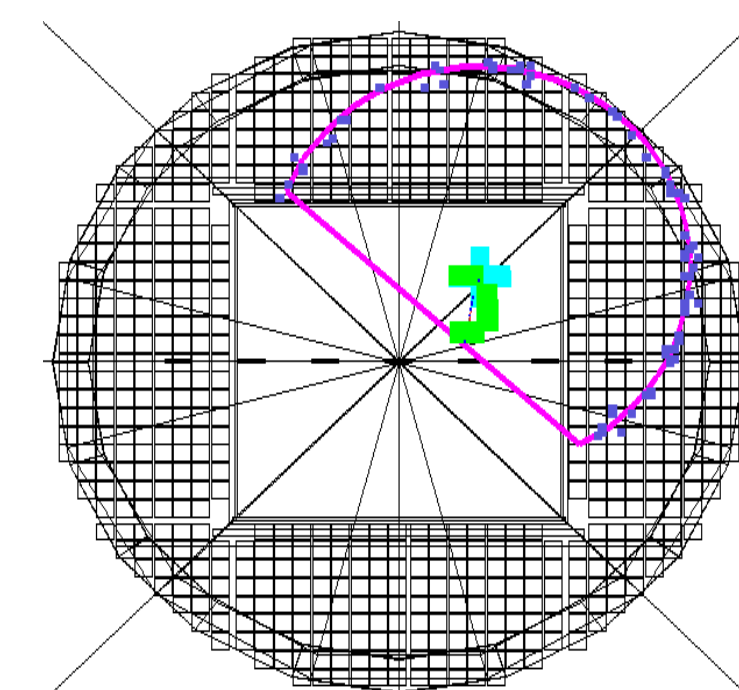
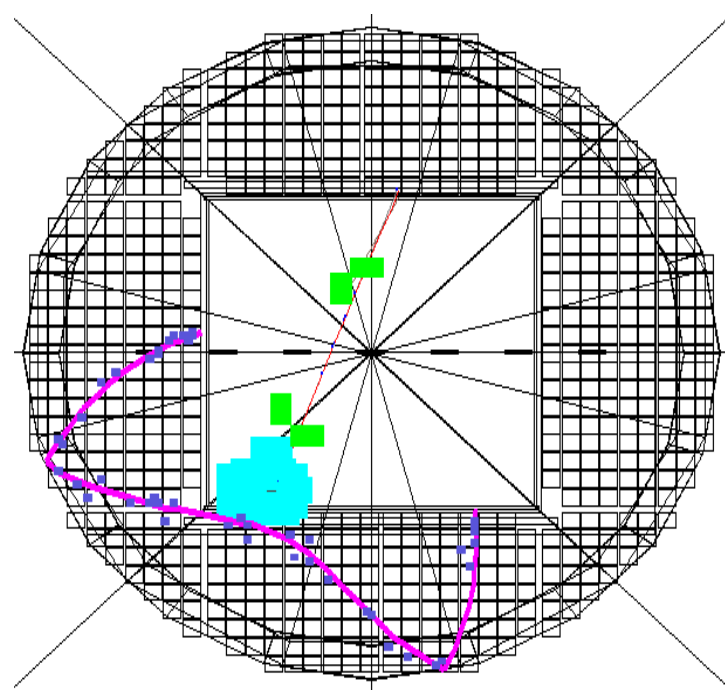
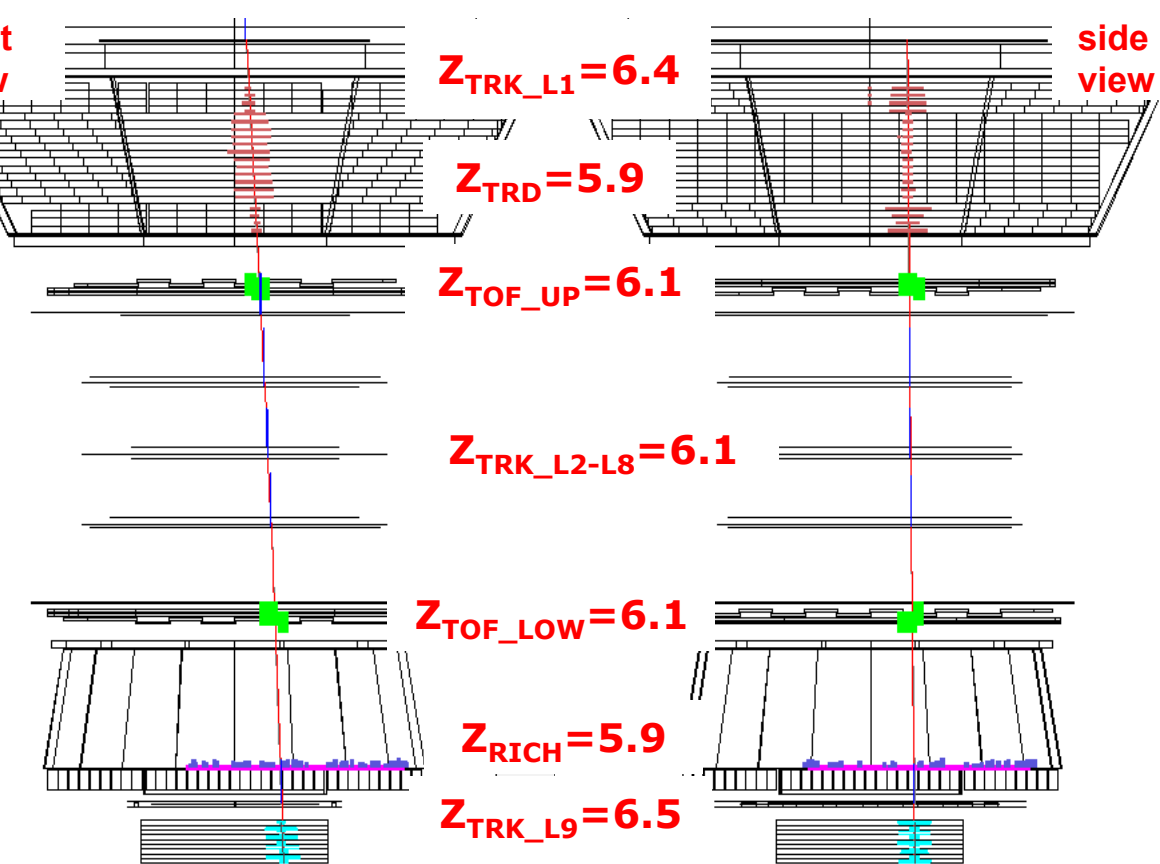
Run/Event 1333501084/ 42231



Carbon

Rigidity=3.3 GV

Run/Event 1327519853/ 487070

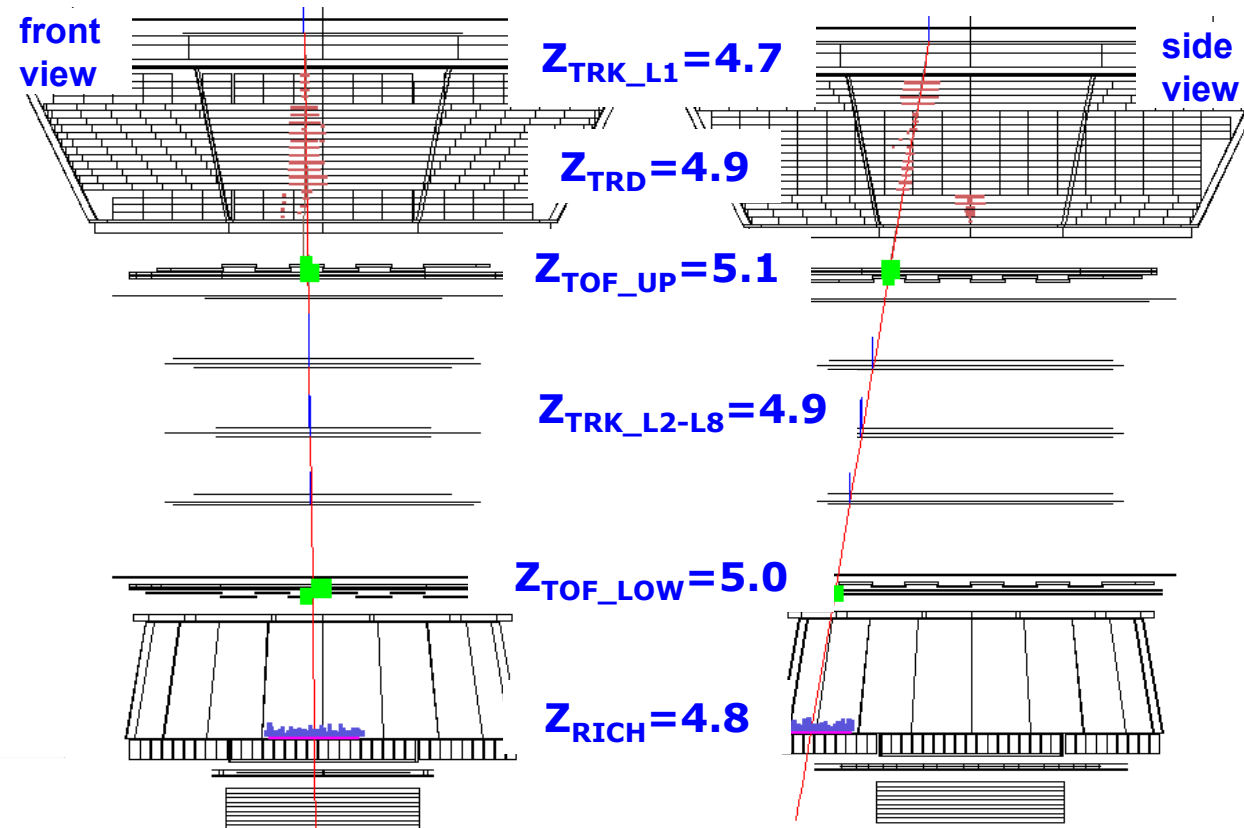


Rigidity ~ 20 GV

Boron

Rigidity=24 GV

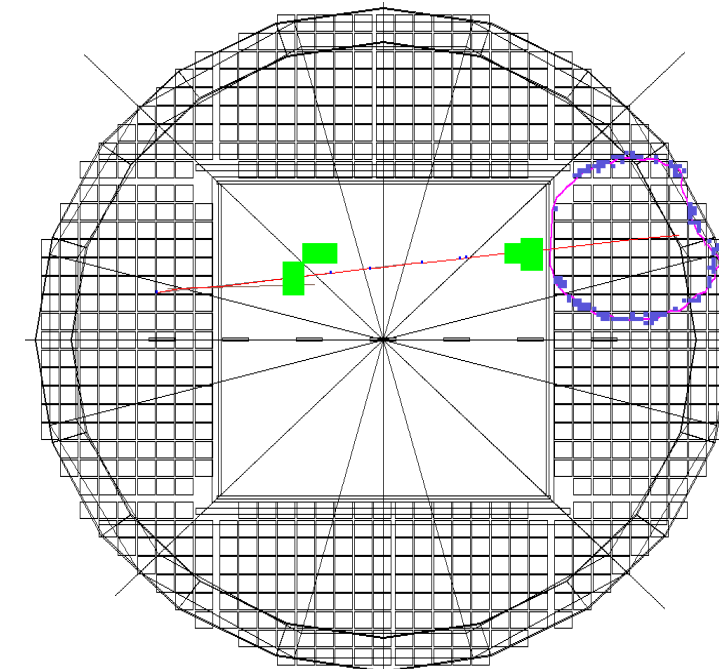
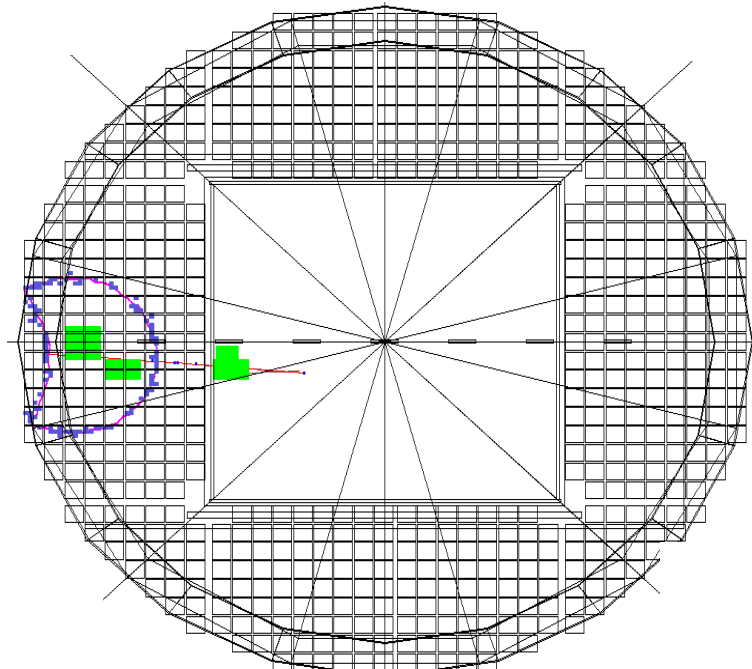
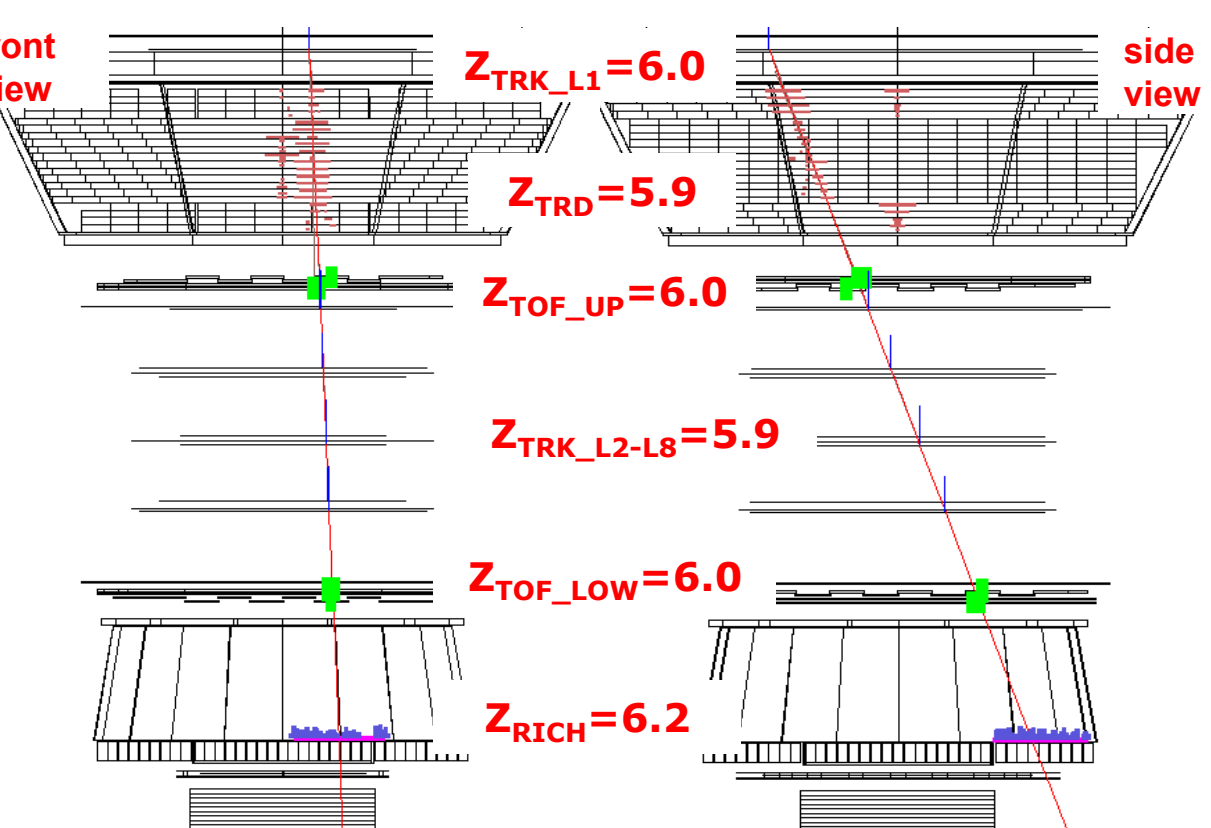
Run/Event 1326201809/ 798775



Carbon

Rigidity=24 GV

Run/Event 1329490720/ 473181

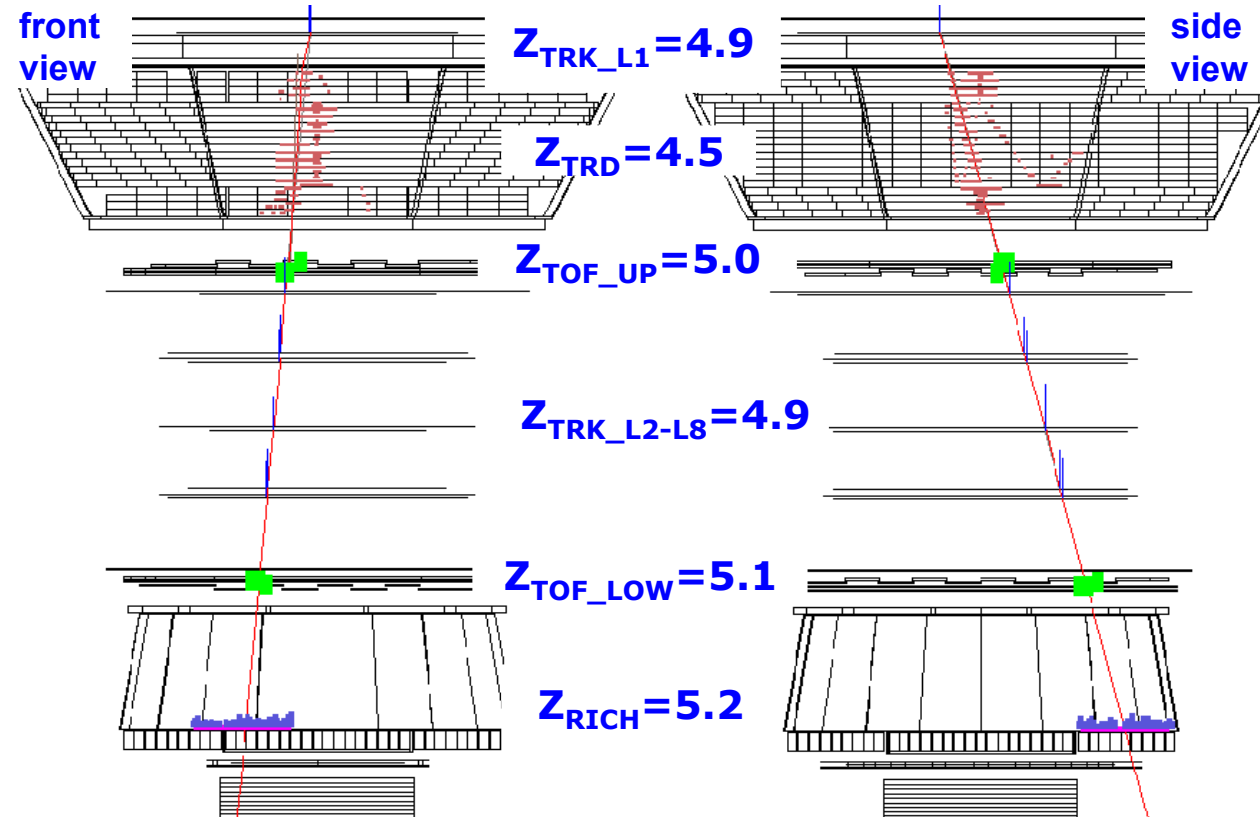


Rigidity ~ 200 GV

Boron

Rigidity=187 GV

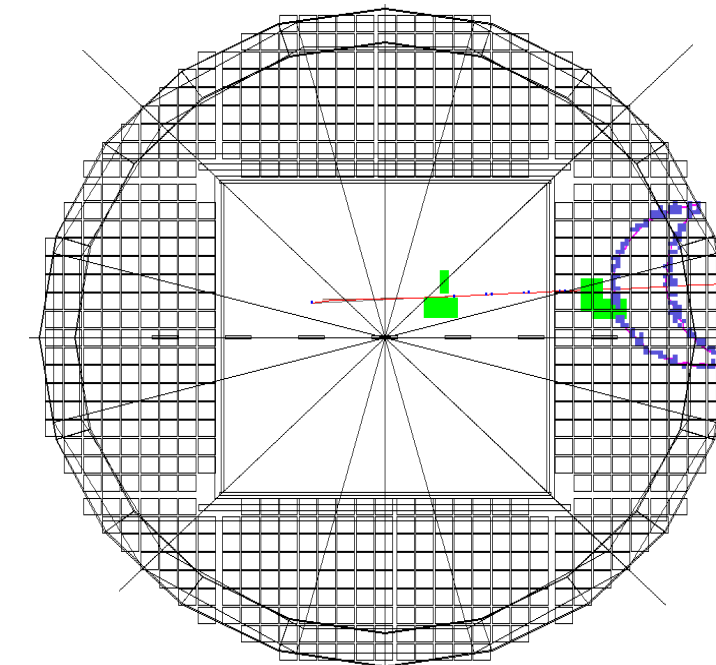
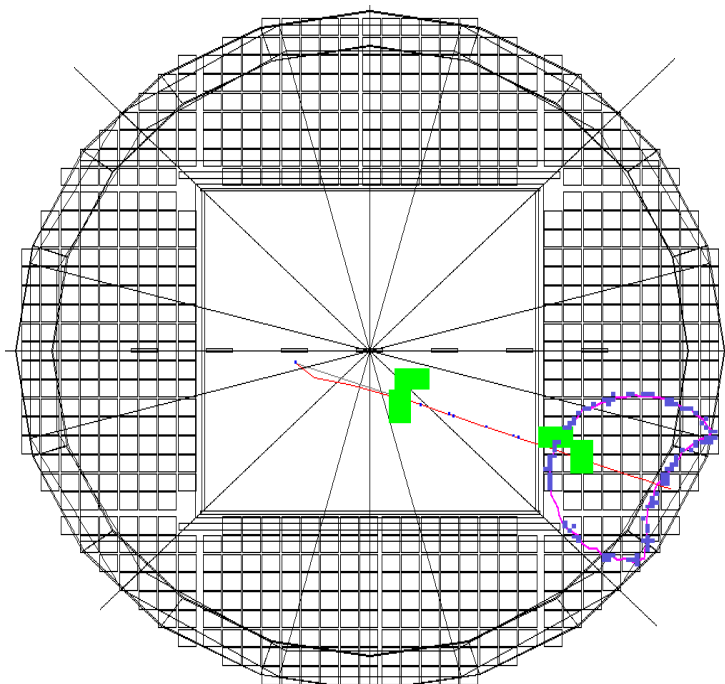
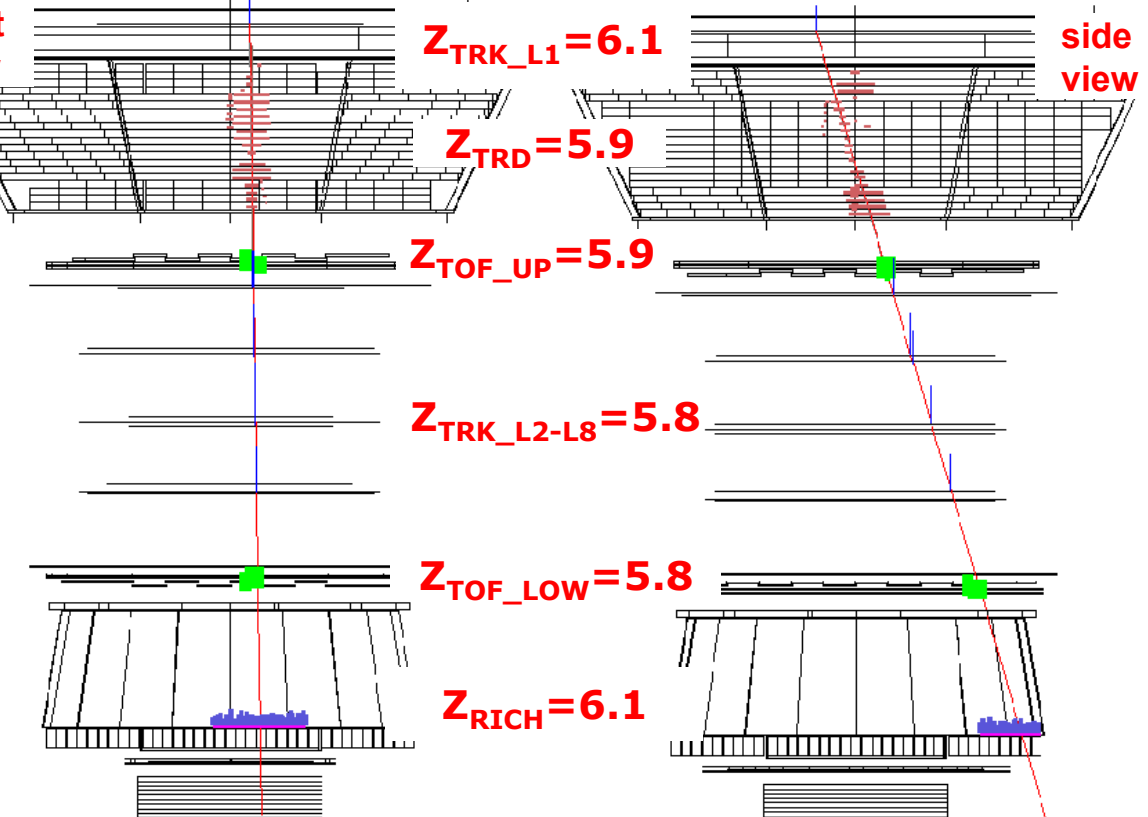
Run/Event 1329086299/ 747549



Carbon

Rigidity=215 GV

Run/Event 132643580/ 132197

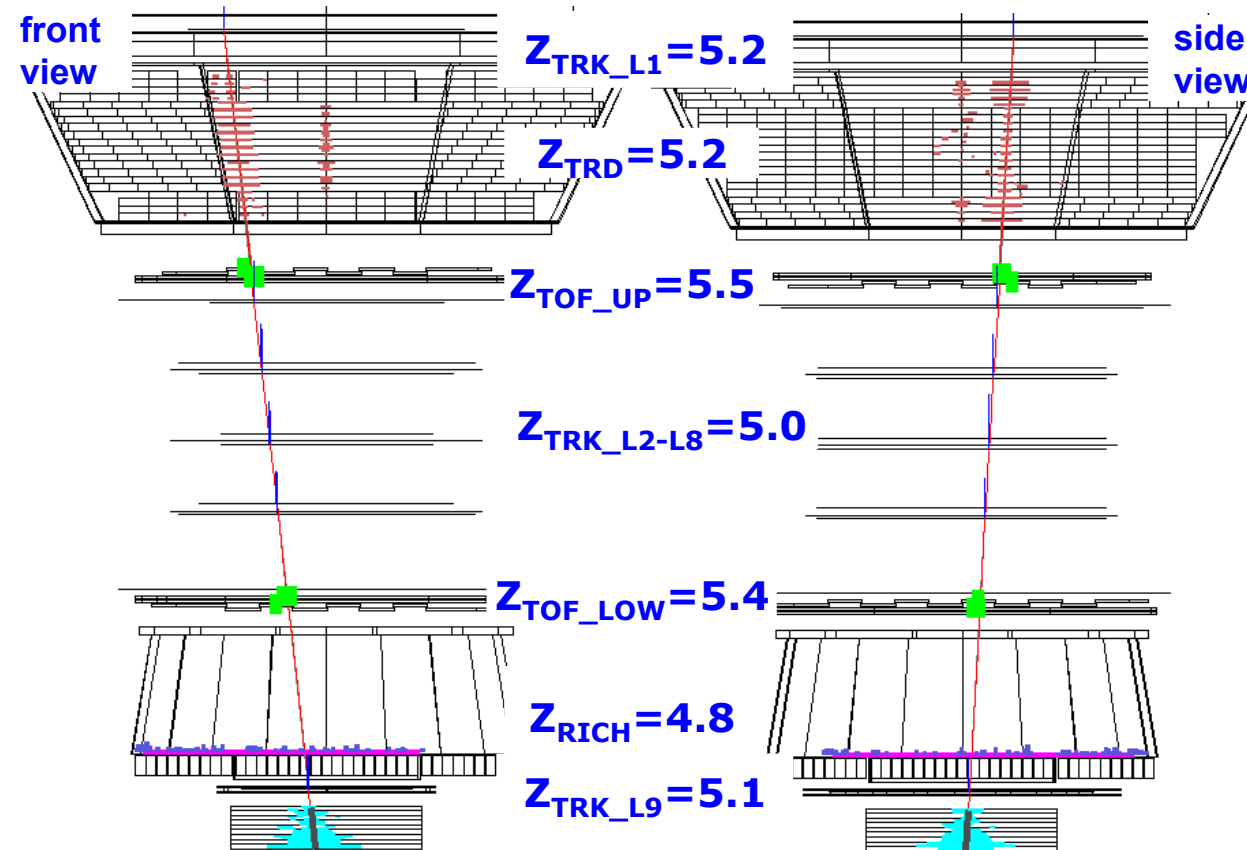


Rigidity ~ 700 GV

Boron

Rigidity=680 GV

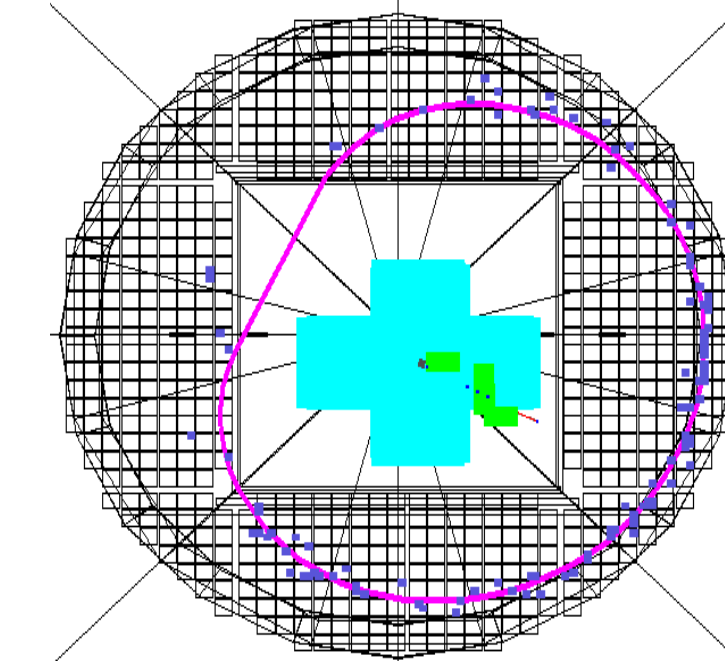
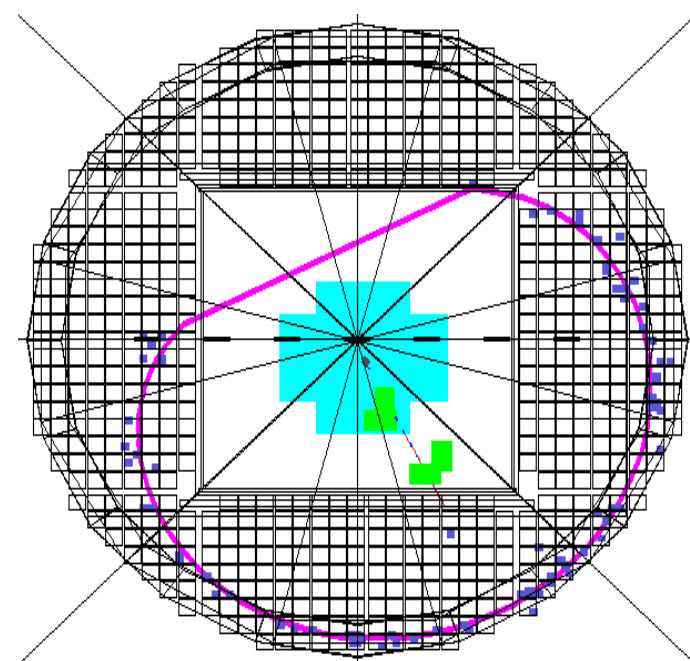
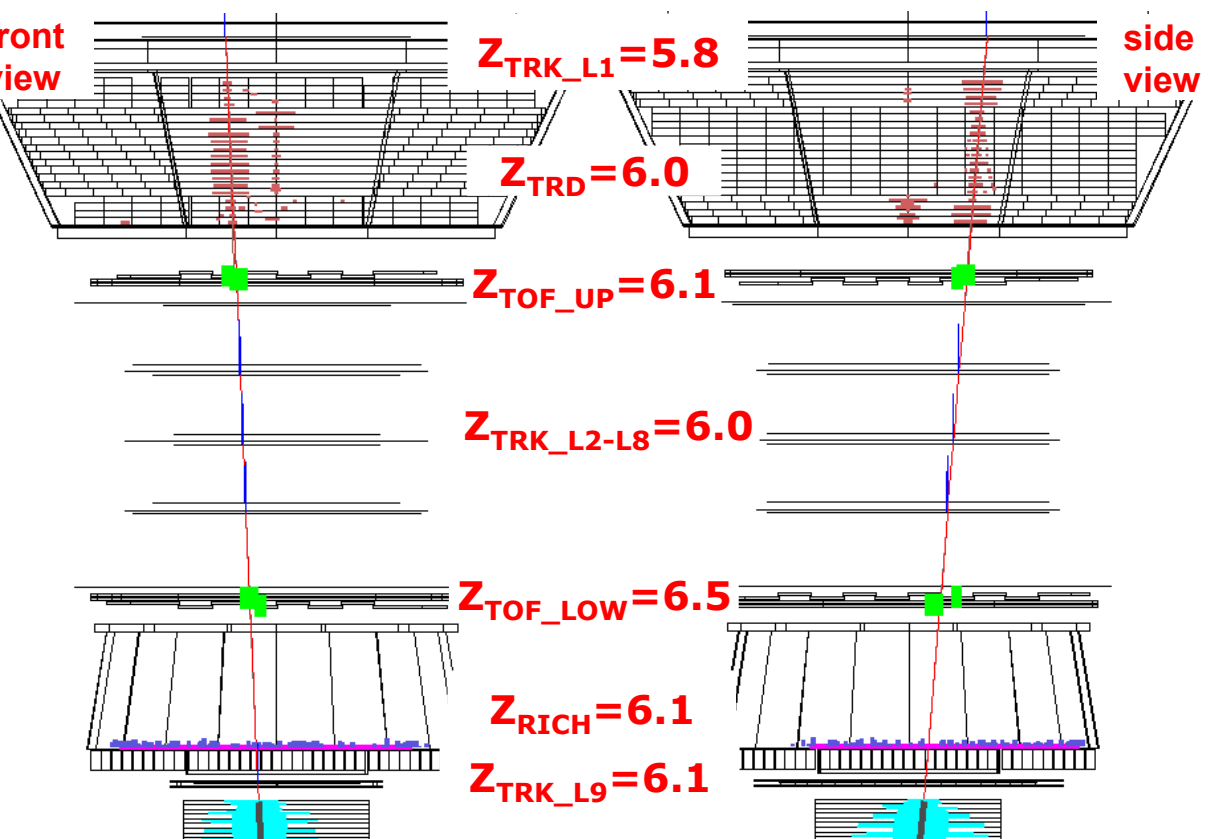
Run/Event 1319990213/ 235892



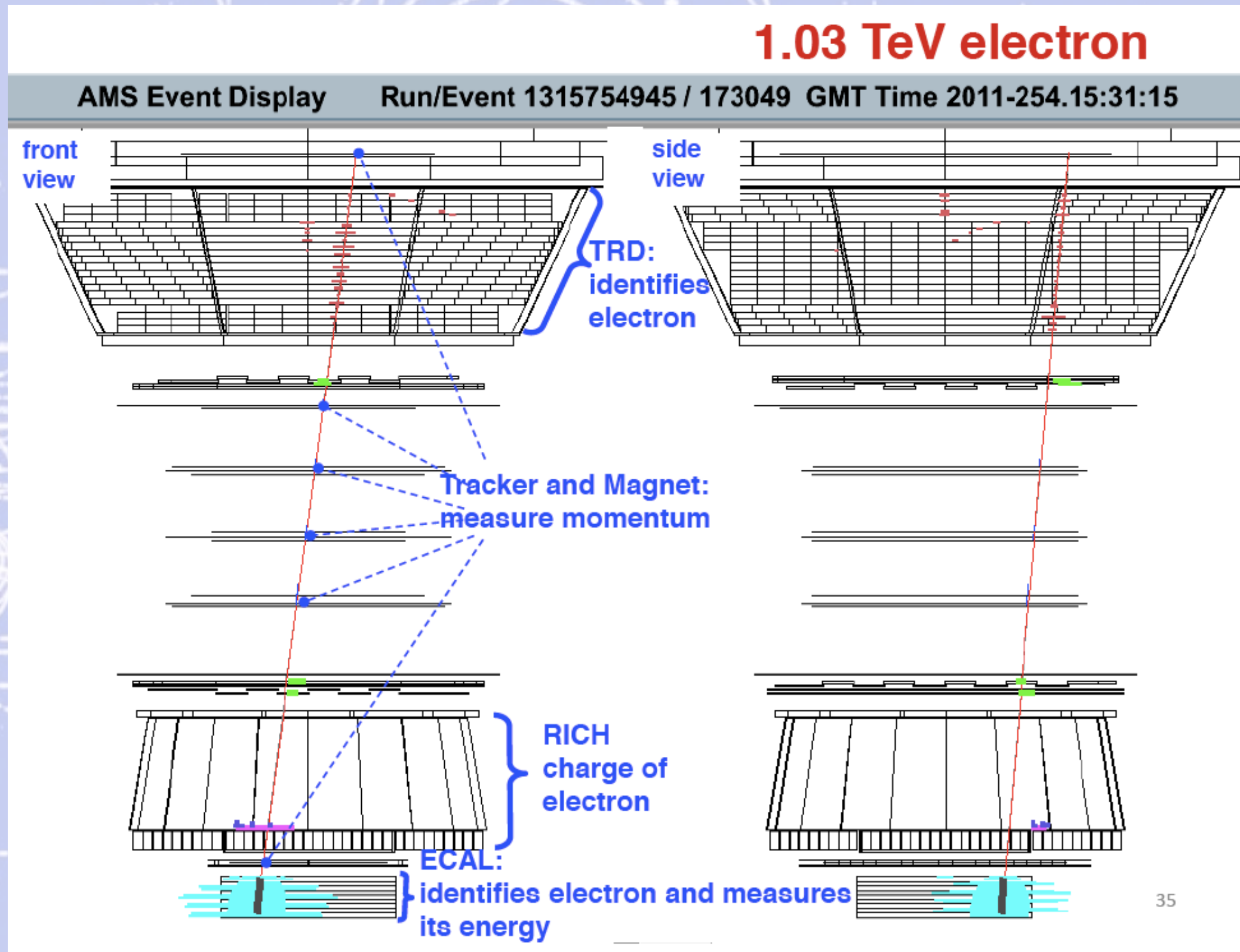
Carbon

Rigidity=666 GV

Run/Event 1327184805/ 266043



AMS ISS data: electrons



35

AMS ISS data: positrons

